

## تاریخچه شتابگرها در ایران از واندوگراف تا شتابگر بزرگ

محمد لامعی رشتی

آزمایشگاه واندوگراف - پژوهشگاه علوم و فنون هسته‌ای

و

پژوهشکده ذرات و شتابگرها- پژوهشگاه دانشهای بنیادی

### چکیده

از خرید شتابدهنده واندوگراف، اولین شتابدهنده ایران، در حدود پنجاه سال می‌گذرد. در این پنجاه سال، تحولات زیادی در زمینه علم فیزیک شتابگرها در جهان اتفاق افتاده است. شتابگرها که ابتدا برای پژوهش‌های فیزیک هسته‌ای و فیزیک ذرات ساخته می‌شدند، کاربردهای فراوان دیگری در شاخه‌های دیگر فیزیک، مهندسی شیمی و مواد، پزشکی و... یافتند. در کشور ما هم، چندین شتابگر (سیکلوترون - رودوترون - شتابگرهای خطی برای مصارف پزشکی) خریداری شد. کوشش در جهت ساخت شتابگرها، از حدود ده سال پیش با طرح شتابگر خطی کوچک شروع شد و از حدود دو سال پیش، مطالعات برای ساخت شتابگری بزرگ ایران آغاز شد. در این مقاله، پس از ارائه تاریخچه کوتاهی در باره شتابگرهای ایران، به طرح‌های در دست اجرا در زمینه ساخت شتابدهنده‌ها می‌پردازیم.

## Accelerator in Iran: from Van de Graaff to ILSF

Lamehi-Rachti, Mohammad

*Van de Graaff Laboratory, Nuclear Science and Technology Research Institute*

*And*

*Schools of Particles and Accelerators, Institute for Research in Fundamental Sciences (IPM)*

*The first accelerator of Iran, the Van de Graaff, was purchased fifty years ago. During this half century, accelerators, developed at the beginning for nuclear and particle physics, found many applications in other areas of physics and disciplines such as medicine, materials science, etc. A Cyclotron, a Rhodotron and many medical Linacs were purchased during the last 30 years. Studies for the construction of accelerators started 10 years ago, with the project of "The construction of a small Linac" and acquired a new dimension with the "Iranian Light Source Facility (ILSF)". In this paper, after a short history of the existing accelerators in Iran, the accelerator projects under construction and development are presented.*

## نتایج اخیر شتابدهنده هادرونی بزرگ در مورد مدل استاندارد و ماورای آن

محمدی نجف‌آبادی، مجتبی

پژوهشگاه دانشهای بنیادی

### چکیده

سال ۲۰۱۱ سال موفقیت آمیزی برای شتابدهنده هادرونی بزرگ و آزمایشهای وابسته به آن بود. مقدار داده جمع آوری شده ۵ برابر میزان مورد انتظار است. در این سخنرانی بعضی از نتایج جذاب بدست آمده نشان داده می شوند. علاوه بر آن برنامه آینده شتابدهنده هادرونی بزرگ نیز نشان داده می شود.

## Recent LHC Results on Standard Model and Beyond

Mojtaba. Mohammadi Najafabadi

IPM

*The year 2011 is another successful year for the LHC and their experiments. The accumulated integrated luminosity of 5/fb per experiment is 5 times more than the plan set at the beginning of the year. Some highlights on the physics results from the CMS experiments will be presented in this talk. The operation plan of the LHC in the near and far future will also be discussed*

## محاسبات QCD اختلالی و توابع توزیع پارتونی برای LHC

خرمیان، علی

دانشکده فیزیک، دانشگاه سمنان

پژوهشکده فیزیک ذرات و شتابگرها، پژوهشگاه دانشهای بنیادی

### چکیده

توابع ساختار یک ابزار کلیدی برای استخراج توابع توزیع پارتونی در نوکلئون‌ها هستند. در طول سالهای اخیر به سبب پیشرفتهای نظری گسترده و در دسترس بودن داده‌های تجربی جدید و بسیار دقیق، تلاشهای وسیعی برای فهم ساختار نوکلئون و دقت محتویات پارتونی آن صورت گرفته است. در این مقاله مروری بر تحقیقات اخیر در زمینه QCD اختلالی و ارتباط آن با برخورددهنده‌ی هادرونی بزرگ، خواهیم داشت. توابع ساختار کنونی و داده‌های تجربی مرتبط با آن و همچنین تکنیکهای به‌روز برای استخراج توابع توزیع پارتونی نیز مورد بررسی قرار خواهند گرفت و توجه ویژه‌ای به استخراج توابع توزیع پارتونی خواهد شد. تأثیر داده‌های تجربی جدید در توابع توزیع پارتونی استخراج شده از برازش QCD نیز از موارد مورد بحث در این مقاله است.

## Perturbative QCD calculations and PDF for LHC

Khorravian, Ali N.

Physics Department, Semnan University, Semnan, Iran

School of Particles and Accelerators, IPM (Institute for Studies

in Theoretical Physics and Mathematics), P.O.Box 19395-5531, Tehran, Iran

### Abstract

Structure functions are a key ingredient for deriving partons distributions in nucleons. In recent years dramatic progress has been made in the understanding of the nucleon structure and the precision of its partonic content, due to vast theoretical progress and the availability of new high precision measurements. In this talk, I will review some of the highlights of recent research in perturbative QCD as it relation to the LHC. The present structure functions and related data and also the most recent techniques used to extract new sets of parton distribution functions to describe the structure of the proton are studied and special attention is given to the determination of the parton distributions. The effect of new experimental data on PDFs extracted from QCD fit will be discussed too.

## ماده کوارکی در شرایط حاد

صدوقی، ندا

دانشکده فیزیک دانشگاه صنعتی شریف

### چکیده

در این سخنرانی به بررسی رفتار ماده کوارکی در شرایط حاد دما، پتانسیل شیمیایی و میدانهای مغناطیسی بسیار قوی میپردازیم. به طور خاص به بررسی اثر میدانهای مغناطیسی قوی بر تشکیل زوج کوارکی و پدیده ابررسانایی رنگ پرداخته و امکان تشکیل این پدیده را در دما و پتانسیل شیمیایی متناهی در آزمایشگاههای یونهای سنگین بررسی خواهیم نمود.

## Quark Matter under Extreme Conditions

Sadooghi, Neda

Physics Department  
Sharif University of Technology  
Tehran, Iran.

*In this talk, the properties of quark matter under extreme temperature, chemical potential and very large magnetic fields will be discussed. In particular, we will study the effect of external magnetic fields on the formation of diquarks at moderate temperatures and baryonic densities. The question whether color superconductivity can be observed in heavy ion collisions will be pointed out.*

## مدل استاندارد با نقض تقارن لورنتس

حقیقت، منصور

دانشکده فیزیک دانشگاه صنعتی اصفهان

### چکیده

در این سخنرانی ضمن معرفی مدل استاندارد دارای نقض تقارن لورنتس به ارتباط این مدل با فضای ناجایجایی و همچنین زمینه های الکترومغناطیس خواهیم پرداخت.

## Standard Model with Lorentz Violation

Haghighat, Mansour

*Department of Physics, Isfahan University of Technology, Isfahan*

### Abstrac

*I give a review on the Lorentz violating extension of the standard model and its relation to the noncommutative space and the electromagnetic background.*

# تأثیر تئوری وحدت شبه اختلالی بر تغییرات ثابت‌های جفت‌شدگی و پیش‌بینی جرم ذرات ابر تقارن در حوزه نظریه ابر تقارن حداقلی

فرزانه کرد، احمد<sup>۱</sup>

<sup>۱</sup> گروه فیزیک، دانشکده علوم، دانشگاه تربیت معلم سبزوار

## چکیده

ما در این تحقیق تئوری وحدت شبه‌اختلالی را معرفی کرده‌ایم. در این تئوری ذرات جدیدی اضافه بر ذرات مدل ابرتقارن حداقلی معرفی کرده و اثرات آن‌ها را روی ثابت‌های جفت‌شدگی و جرم ذرات ابرتقارن بررسی می‌کنیم.

## The Effects of the Semi-Perturbative Unification Scenario on the Running Couplings Analyses and Prediction of Sparticle Masses in the Context of MSSM

Farzaneh kord, Ahmad<sup>1</sup>

<sup>1</sup> Department of Physics, Tarbiat Moallem University of Sabzevar, Sabzevar

## Abstract

We consider the scenario of the semi-perturbative unification (SPU) where extra matter beyond that of the Minimal Supersymmetric Standard Model (MSSM) can be added at some intermediate scale. The effect of extra matter causes that the unification scale could be changed, also it affects the evolution of the gauge and Yukawa couplings. Besides we investigate the effects of the SPU scenario on the susy particles.

## مقدمه

مشکلات فوق به فیزیکی فراسوی مدل استاندارد نیاز داریم. ابرتقارن<sup>۴</sup> به عنوان یکی از نظریه‌هایی که می‌تواند پاسخگوی برخی از مشکلات مدل استاندارد باشد، مورد توجه قرار گرفته است [۱].

## ابر تقارن و مدل استاندارد ابر تقارن حداقلی

ابر تقارن، تقارن بین بوزون‌ها و فرمیون‌ها است. تبدیلات ابر تقارنی توسط عملگرهایی حاصل می‌شوند که حالت فرمیونی را به حالت بوزونی و برعکس تبدیل می‌کنند. مدل استاندارد ابر تقارن حداقلی<sup>۵</sup> (MSSM) ساده‌ترین بسط از مدل استاندارد است که شامل یک مولد ابر تقارن و حداقل ذرات ممکن می‌باشد. این مدل توسط لاگرانژی زیر توصیف می‌شود [۲]:

نظریه مدل استاندارد بر اساس نتایج کوشش‌های زیاد نظری و تجربی بنا نهاده شده و تا کنون موفقیت‌های فوق‌العاده‌ای داشته است. در واقع همه ذرات بجز بوزون هیگز بطور تجربی کشف شده‌اند؛ ولی علیرغم موفقیت‌های مدل استاندارد این مدل با مسائل حل نشده زیادی روبرو می‌باشد. از جمله اینکه وحدت بزرگ نیروها<sup>۱</sup> (GUT) در این مدل اتفاق نمی‌افتد. همچنین نمی‌تواند ذراتی را به عنوان نامزدهایی برای ماده تاریک<sup>۲</sup> معرفی کند. مسئله سلسله مراتب<sup>۳</sup> که از تصحیحات تابشی بر روی جرم بوزون هیگز ناشی می‌شود در این مدل پاسخی ندارد. بنابراین برای رفع

<sup>۱</sup> Grand unified Theory

<sup>۲</sup> Dark Matter

<sup>۳</sup> hierarchy problem

<sup>۴</sup> Supersymmetry

<sup>۵</sup> Minimal Supersymmetric Standard Model

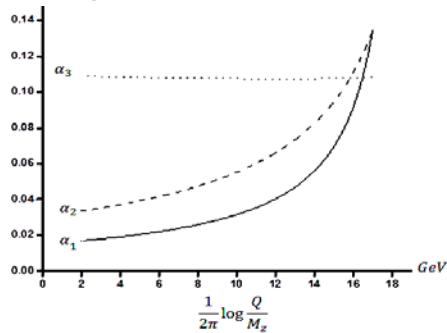
## محاسبات عددی

معادلات گروه بازبهنجارش که شامل معادلات مرتبه دوم مربوط به جفت‌شدگی‌های پیمان‌های و یوکاوا می‌شود را از مقیاس الکتروضعیف تا مقیاس انرژی وحدت ( $M_G$ ) اجرا می‌کنیم. این مقیاس جایی تعریف می‌شود که ثابت‌های جفت‌شدگی الکترومغناطیس ( $\alpha_1$ ) و هسته‌ای ضعیف ( $\alpha_2$ ) با هم برابر می‌شوند. مقادیر اولیه‌ای که برای این معادلات در نظر گرفته می‌شود، شامل تصحیحات تابشی ابرتقارنی نمی‌باشد.

سپس در  $M_G$ ، شرایط مرزی مربوط به شکست ابرتقارن را با استفاده از مدل ابرگرانش کمینه (MSUGRA) اعمال می‌کنیم. پس از اعمال این شرایط تمام معادلات را از  $M_G$  تا  $M_Z$  پایین می‌آوریم و این بار تصحیحات تابشی ابرتقارنی را در  $M_Z$  اعمال می‌کنیم و این فرآیند را آنگذر تکرار می‌کنیم تا به یک همگرایی بر روی جرم‌ها و جفت‌شدگی‌ها برسیم. به این ترتیب توانسته‌ایم مقادیر جفت‌شدگی‌های پیمان‌های و یوکاوا را با در نظر گرفتن تصحیحات تابشی در  $M_Z$  بدست آوریم. این تصحیحات به طور کامل در مرجع [۶]. آورده شده‌اند. لازم به ذکر است که در محاسبات فوق مقادیر مناسبی برای متغیرهای  $n_5$  و  $n_{10}$  در نظر گرفته‌ایم.

## نتایج

در این قسمت نتایج محاسبات را به صورت نمودار آورده‌ایم و در هر جدول مقادیر اولیه مربوط به نمودار و نتایج را ذکر کرده‌ایم.



شکل ۱: نمودار جفت‌شدگی‌های پیمان‌های بر حسب انرژی

$$L = L_{SUSY} + L_{soft-breaking} \quad (۱)$$

$$L_{SUSY} = L_{Gauge} + L_{Yukawa} \quad (۲)$$

$$L_{Gauge} = \sum_{su(3), su(2), u(1)} \frac{1}{4} (\int d^2\theta Tr W_\alpha W^\alpha) \quad (۳)$$

$$+ [\int d^2\theta Tr \bar{W}^{\dot{\alpha}} \bar{W}_{\dot{\alpha}}] + \sum_{matter} \int d^2\theta d^2\bar{\theta} \phi^+$$

$$+ e (g_3 v_3 + g_2 v_2 + g_1 v_1) \phi$$

$$L_{Yukawa} = \int d^2\theta W + h.c. \quad (۴)$$

در رابطه (۴)  $W$ ، ابرپتانسیل مدل استاندارد ابرتقارنی است.

ابرتانسیل توسط رابطه زیر تعریف می‌شود.

$$W_{MSSM} = \bar{u} y_u Q H_1 - \bar{d} y_d Q H_2 - \bar{e} y_e L H_2 + \mu H_1 H_2 \quad (۵)$$

$\bar{u}$ ،  $\bar{d}$ ،  $\bar{e}$  و  $L$  ابر میدان‌های کایرال هستند و  $y_u$ ،  $y_d$  و  $y_e$  ماتریس‌های  $3 \times 3$  یوکاوا می‌باشند [۳].

از آنجایی که در طبیعت هیچ بوزون و فرمیونی با جرم یکسان پیدا نمی‌شوند، بنابراین ابرتقارن باید جایی شکسته شده باشد. به همین دلیل در رابطه لاگرانژی MSSM جمله دوم که مربوط به شکست ابرتقارن است وارد می‌شود. در نتیجه این شکست جرم ذرات ابرتقارنی بسیار سنگین‌تر از ذرات مدل استاندارد می‌شود [۴].

## نظریه وحدت شبه اختلالی (SPU)

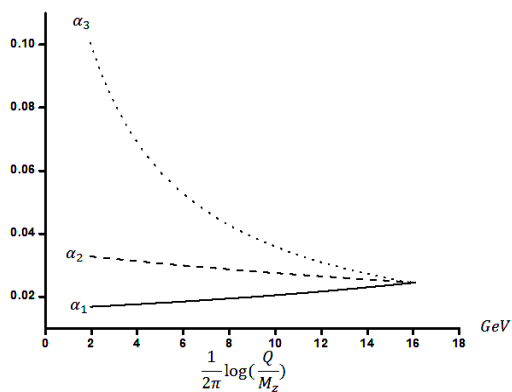
مطابق این نظریه فرض می‌کنیم ذرات جدیدی وجود دارند که می‌توانند به عنوان نمایش‌های ۵ تایی و ۱۰ تایی از گروه  $SU(5)$ ، یا نمایش‌های ۱۶ تایی از گروه  $SO(10)$  در نظر گرفته شوند و در یک مقیاس دلخواه به محتوی ذرات MSSM اضافه شوند. ما در این مقاله فقط نمایش‌های ۵ و ۱۰ تایی را در نظر می‌گیریم و فرض می‌کنیم این مقیاس دلخواه، مقیاس الکتروضعیف ( $M_Z$ ) باشد. اثر افزودن ذرات جدید به محتوی ذرات MSSM وارد شدن دو پارامتر  $n_5$  و  $n_{10}$  در معادلات گروه بازبهنجارش است [۵].

<sup>۱</sup>minimal super-gravity

<sup>۱</sup>semi-perturbative unification

جدول ۳: داده‌های مربوط به شکل ۳

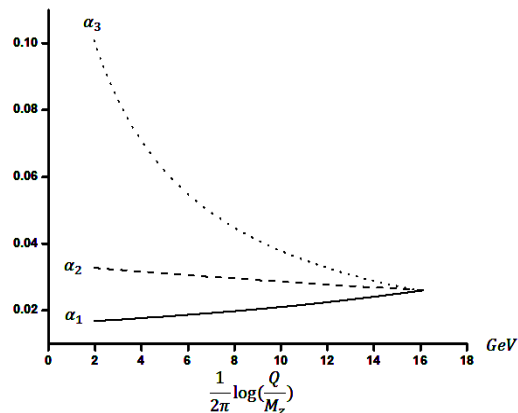
$m_t$ (GeV)	$\tan \beta$	$n_{10}$	$n_5$	$M_G$ (GeV)
۱۷۰	۵۹	-۴/۵	-۲	$1/48 \times 10^{16}$



شکل ۱: نمودار وحدت جفت‌شدگی‌های پیمانهای بر حسب انرژی

جدول ۱: داده‌های مربوط به شکل ۱

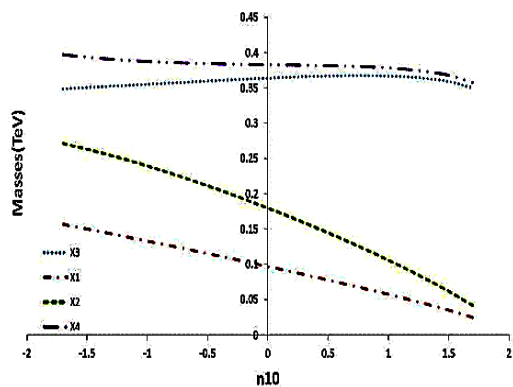
$m_t$ (GeV)	$\tan \beta$	$n_{10}$	$n_5$	$\alpha_G$	$M_G$ (GeV)
۱۷۳	۱۰	۱/۷	۰	./۱۳۴۴	$1 \times 10^{17}$



شکل ۲: نمودار وحدت جفت‌شدگی‌های پیمانهای بر حسب انرژی

جدول ۴: داده‌های مربوط به شکل ۴

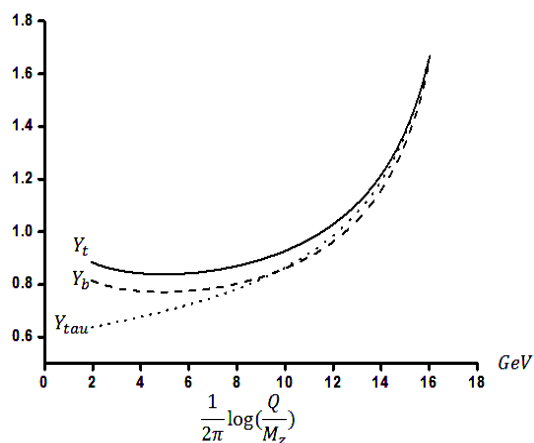
$m_t$ (GeV)	$\tan \beta$	$n_{10}$	$n_5$	$\alpha_G$	$M_G$ (GeV)
۱۷۰	۵۹	-۴/۵	-۲	./۱۸۹۲	$1/48 \times 10^{16}$



شکل ۳: نمودار وحدت جفت‌شدگی‌های یوکاوا بر حسب انرژی

جدول ۲: داده‌های مربوط به شکل ۲

$m_t$ (GeV)	$\tan \beta$	$n_{10}$	$n_5$	$M_G$ (GeV)
۱۷۳	۱۰	-۱/۷	۰	$1/33 \times 10^{16}$



شکل ۴: نمودار تغییرات جرم نیوترالینوها بر حسب  $n_{10}$



## نتیجه گیری

با توجه به جداول و نمودارهای ۱ تا ۴ می‌بینیم که مقیاس انرژی وحدت برای مقادیر مثبت  $n_5$  و  $n_{10}$  افزایش و به ازای مقادیر منفی آنها کاهش می‌یابد.

در MSSM امکان اتحاد ثابت‌های جفت‌شدگی یوکاوا وجود ندارد. اما با استفاده از نظریه وحدت شبه اختلالی و با انتخاب مقادیر مناسب برای جرم کوآرک بالا،  $n_5$  و  $n_{10}$ ، و مقادیر بزرگ  $\tan\beta$  توانستیم این ثابت‌های جفت‌شدگی را در  $M_G$  به وحدت برسانیم.

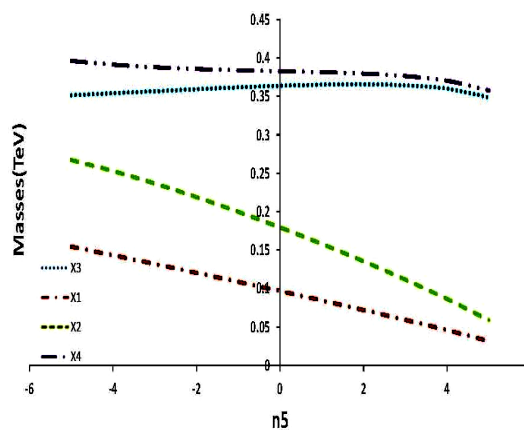
همچنین با توجه به نمودارهای ۵ و ۶ می‌توان نتیجه گرفت که جرم ذرات ابر تقارنی به ماده اضافی که به تئوری اضافه می‌شود، بستگی دارد.

## مرجع‌ها

- [1] D. I. Kazakov, [hep-ph/012288v2], (2001).
- [2] S.P. Martin, [hep-ph/9709356v5], (2008)
- [3] Ian J. R. Aitchison, Supersymmetry and the MSSM: An elementary Introduction, [hep-ph/0505105].
- [4] L.H. Ryder, "Quantum field theory", Second Edition (Cambridge University Press, 1966).
- [5] Christopher Kolda and John March-Russell Low-energy signature of semi-perturbative unification, Physical Review D, Volume 55, Number 7
- [6] J. A. Bagger, K. T. Matchy, Precision corrections in the minimal supersymmetric standard model, [hep-ph/9606211].

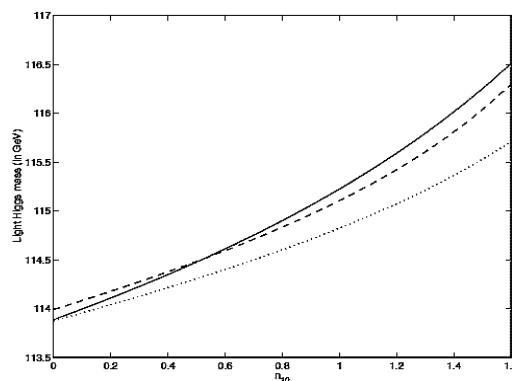
جدول ۵: داده‌های مربوط به شکل ۵

$m_t$ (GeV)	$\tan\beta$	$n_5$
۱۷۰	۱۰	۰

شکل ۶: نمودار تغییرات جرم نیوترالینوها بر حسب  $n_5$ 

جدول ۶: داده‌های مربوط به شکل ۶

$m_t$ (GeV)	$\tan\beta$	$n_{10}$
۱۷۰	۱۰	۰

شکل ۷: نمودار تغییرات جرم هیگز بر حسب  $n_{10}$ 

جدول ۷: داده‌های مربوط به شکل ۷

$m_t$ (GeV)	$\tan\beta$	$n_5$
۱۷۸	۱۰	۰

## دوگان گرانشی برای نظریه میدان همدیس لگاریتمی مرزدار

فارغ بال، رضا

پژوهشکده فیزیک، پژوهشگاه دانشهای بنیادی، تهران

### چکیده

در این مقاله یک دوگان گرانشی برای نظریه میدان همدیس لگاریتمی مرزدار معرفی می‌کنیم. نشان می‌دهیم که توابع دو نقطه ای که با استفاده از محاسبات گرانشی به دست می‌آید مطابق با مقادیری است که در نظریه میدان پیش بینی شده است.

## A Holographic Dual for Boundary Logarithmic Conformal Field Theory

Fareghbal, Reza

School of Physics, IPM, Tehran

### Abstract

*We propose a holographic dual for boundary logarithmic conformal field theory. We calculate the two-point correlation functions and show that they are in agreement with BLCFT.*

## توابع توزیع کوآرکی در حضور محیط هسته‌ای

ذوالفقارپور ، فرهاد

گروه فیزیک ، دانشکده علوم ، دانشگاه محقق اردبیلی ، خیابان دانشگاه ، اردبیل

### چکیده

پراکندگی ناکشسان ژرف الکترون از پروتون که در سال ۱۹۶۹ در شتاب دهنده خطی استانفورد صورت گرفت نشان داد پروتون‌ها ذرات بنیادی نبوده بلکه ساختار داخلی داشته و از سه ذره بنیادی بنام کوآرک تشکیل یافته اند. این کوآرک‌ها هر کدام درصدی از تکانه و انرژی پروتون که با توابع توزیع تکانه کوآرکی بیان می‌شوند را حمل می‌کنند و پراکندگی الکترون از این ذرات صورت می‌گیرد. این توابع توزیع تکانه نشان دهنده احتمال حمل درصدی از تکانه پروتون توسط کوآرک است که به توابع توزیع احتمال کوآرکی یا به توابع توزیع کوآرکی معروف هستند. در سال ۱۹۸۲ آزمایش EMC که در سرن انجام گرفت نشان می‌داد توابع توزیع کوآرکی که برای نوکلئون‌های آزاد اندازه‌گیری می‌شوند متفاوت از توابع توزیع کوآرکی است که از هدف‌های هسته‌ای اندازه‌گیری می‌شوند و در واقع توابع توزیع کوآرکی نوکلئون‌های مقید در داخل هسته و در حضور محیط هسته‌ای متفاوت از حالتی است که نوکلئون‌ها، آزاد هستند. اثرهای مختلفی که ناشی از فرار گرفتن نوکلئون‌ها مقید در محیط هسته‌ای است در این اختلاف نقش دارند از جمله اثر حرکت فرمی، اثر انرژی بستگی، اثر تبادل کوآرکی، اثر ابر پایونی، اثر سایه، اثر ذره  $\Delta$  و اثرهای دیگر هسته‌ای. در این مقاله نقش چهار اثر اول از اثرهای یاد شده در توابع ساختار و اثر EMC هسته‌ها مورد بررسی قرار گرفته است.

## Nuclear Medium Effect on Quark Distribution Functions

Zolfagharpour, Farhad<sup>1</sup>

<sup>1</sup> Department of Physics, University of Mohaghegh Ardabili, Daneshgah Avenue, Ardabil

### Abstract

Deep inelastic electron scattering off proton target that taking at the Stanford linear accelerator in the 1969, showed the proton to be made of some point like objects that Gell-Mann had called them quark. These quarks carry a fraction of proton's momentum and energy so one could introduce quark momentum distribution function for them. Quark momentum distribution function describes the probability that the quark carries a fraction of proton's momentum and indicated by probability distribution or quark distribution function. In 1982, at the CERN, the European Muon Collaboration pointed out that quark distribution to be little different from those measured off nuclear target and Some nuclear medium effect responsible for this modification like Fermi motion effect, binding energy, Quark exchange effect, sea pion contribution, shadowing effect, the role of  $\Delta$  particle, and etc. In this paper, the contribution of the first, four mentioned effects in the structure functions and EMC effect of nuclei investigated.

### مقدمه

پراکندگی الکترون از هسته‌ها با جمع غیره همدوسی سطح مقطع پراکندگی نوکلئون‌های داخل آنها بدست آید اما وقتی که در سال ۱۹۸۳ گروه اروپایی همکاری‌های تحقیقاتی در زمینه میون<sup>۳</sup>، نتایج مربوط به پراکندگی میون از هسته آهن و دوترون را منتشر کرد، دانشمندان با نتایج تجربی روبرو شدند که نشان می‌داد تابع ساختار

با توجه به اینکه هسته‌ها از پروتون‌ها و نوترون‌هایی که به‌وسیله نیروهای هسته‌ای قوی در داخل هسته مقید شده‌اند، تشکیل یافته‌اند و به علت اینکه انرژی پیوستگی آنها بسیار کمتر از جرم سکون نوکلئون‌ها است، بنابراین انتظار می‌رود سطح مقطع

<sup>3</sup> European Muon Collaboration

هسته بوده و به صورت زیر به تابع موج نوکلئون در فضای تکانه در حالت کوانتومی  $nl$  مرتبط است [۱]:

$$f^A(z)_{nl} = \int_{|M_N(z-1)-\varepsilon_{nl}|}^{\infty} \frac{dp p |\phi_{nl}(p)|^2}{(2\pi)^2} \quad (2)$$

در چارچوب مدل لایه ای نوسانگر هماهنگ داریم [۱]:

$$f^A(z) = \sum_{nl} \frac{1}{2} \left( \frac{M_N}{\hbar\omega} \right)^{1/2} \frac{n!}{\Gamma(n+l+\frac{3}{2})} \sum_{t_1=0}^n \quad (3)$$

$$\sum_{t_2=0}^n \frac{(-1)^{t_1+t_2}}{(t_1!)(t_2!)} \binom{n+l+\frac{1}{2}}{n-t_1} \binom{n+l+\frac{1}{2}}{n-t_1}$$

$$\times \Gamma\left(l+t_1+t_2+1, \frac{M_N}{\hbar\omega} (z-1 - \frac{\varepsilon_{nl}}{m_N})\right)$$

که با در نظر گرفتن  $\varepsilon_{nl}=0$  اثر حرکت فرمی و  $\varepsilon_{nl} \neq 0$  اثر انرژی بستگی در آن وارد می شود.

### اثر تبادل کواریکی

اثر تبادل کواریکی اولین بار بوسیله جف و هدبوی به عنوانی که در تغییر توابع ساختار نوکلئون ها در داخل هسته ها نقش دارد معرفی شد [۲]. این اثر که یک اثر کوانتومی بوده و ناشی از پاد متقارن بودن توابع موج نوکلئون ها در ابعاد کواریکی است و اینکه تمیز ناپذیری کواریک ها ایجاد می کند که یک کواریک صرفاً در داخل یک نوکلئون جایگزیده نباشد. سهم اثر تبادل کواریکی به صورت زیر به تابع ساختار هسته که فقط شامل اثر فرمی و انرژی بستگی می باشد اضافه می شود یعنی:

(۴)

$$F_2^A(x) = F_{2,Fermi+bindin}^A(x) + \delta F_{2,exchange}^A(x)$$

سهم اثر فرمی انرژی بستگی طبق روابط ۱ تا ۳ و مرجع [۱] حساب می شود و سهم تبادل کواریکی به صورت زیر برحسب توابع توزیع کواریکی داخل نوکلئون ها محاسبه می شود [۲]:

$$\delta F_{2,exchange}^A(x) = \sum_{i=u,d} e_i^2 q_i^A(x) \quad (5)$$

$$q_i^A(x) = 2\pi M \int_{k_{min}}^{\infty} \rho_i^A(k) k dk \quad (6)$$

$$k_{min}(x) = \frac{(xM+\varepsilon_0)^2 - m^2}{2(xM+\varepsilon_0)} \quad (7)$$

$$\rho_i^A(k) = \frac{\langle A | q_{\mu}^+ q_{\mu} | A \rangle}{\langle A | A \rangle} \quad (8)$$

نوکلئون های مقید و آزاد تفاوت هائی دارند که این تفاوت نه تنها از اثر حرکت فرمی (مدل مرسوم درهم روی در فیزیک هسته ای) ناشی شده بلکه پدیده های دیگری نیز در آن دخالت دارند که ناشی از حضور نوکلئون ها در داخل محیط هسته ای است و در واقع اثرات ناشی از محیط هسته ای داخل هسته است که ساختار داخلی نوکلئون ها و به تبع آن توابع توزیع کواریکی داخل نوکلئون های مقید را نسبت به نوکلئون های آزاد کمی متفاوت می سازد. این تغییر توابع توزیع کواریکی که تغییر توابع ساختار نوکلئون ها ی مقید نسبت به نوکلئون های آزاد را به همراه می آورد به اثر EMC معروف است. تعدادی از اثرهای محیط هسته ای که در اثر EMC نقش قابل توجه دارند و در این مقاله مورد بررسی قرار می گیرند عبارت اند از: اثر حرکت فرمی، اثر انرژی پیوستگی، اثر تبادل کواریکی، اثر ابر پایونی (ابر مزونی)، اثر ذره تشدید دلتا، اثر سایه و هستند که عمده ترین سهم مربوط به حرکت فرمی و انرژی بستگی است. تابع ساختار بدست آمده برای هدف هسته ای در مدل مرسوم برای محاسبه سهم حرکت فرمی همان درهم روی تابع ساختار نوکلئون آزاد در تابع توزیع تکانه ای یک نوکلئون در داخل هسته است که می توان انرژی پیوستگی نوکلئونی را نیز در آن مد نظر قرار داد.

### اثر حرکت فرمی و انرژی پیوستگی

حرکت فرمی و انرژی پیوستگی در فیزیک هسته ای معمولاً با مدل درهم روی هسته ای مورد بررسی قرار می گیرد این مدل بر دو اصل استوار است: الف) نوکلئونی که کواریک پراکنده کننده فوتون مجازی را در بر دارد، خود در داخل هسته دارای یک تابع توزیع تکانه ای است. ب) فوتون مجازی از کواریکی پراکنده می شود که خود کواریک در داخل نوکلئون دارای تابع توزیع است. بنابراین تابع ساختار هسته به صورت زیر بر حسب تابع توزیع نوکلئون در داخل هسته و تابع ساختار نوکلئون محاسبه می شود [۱].

$$F_{2,fermi}^A(x) = \sum_{N=np} \sum_{nl} \int_x^{\infty} dz g_{nl}^N f^A(z)_{nl} F_2^N\left(\frac{x}{z}\right) \quad (1)$$

که در آن  $F_2^N\left(\frac{x}{z}\right)$  تابع ساختار نوکلئون آزاد و همچنین  $f^A(z)_{nl}$  بیانگر تابع توزیع تکانه و انرژی نوکلئون در داخل

که در آن داریم:

$$xv_{\pi}(x) = \frac{\Gamma(\alpha+\beta+1)}{\Gamma(\alpha)\Gamma(\beta+1)} x^{\alpha}(1-x)^{\beta} \quad (13)$$

$$xs_{\pi}(x) = \frac{1}{6} A(p+1)(1-x)^p \quad (14)$$

$$\alpha = 0.36 - .0074\bar{s}, \beta = 0.99+0.6\bar{s} \quad (15)$$

$$Q_0^2 = 25(GeV_c^{-1})^2 \quad (16)$$

$$\Lambda = 0.2 GeV_c^{-1}, p = 8.7 \quad (17)$$

$$\bar{s} = \ln \left\{ \frac{\ln(Q^2/\Lambda^2)}{\ln(Q_0^2/\Lambda^2)} \right\} \quad (18)$$

$$A = 0.51 \frac{2\alpha}{\alpha+\beta+1} \quad (19)$$

### اثر ذره تشدید دلتا

مطالعه سطح مقطع پراکندگی  $\pi N$  نشان می‌دهد وقتی که انرژی  $\pi$  ورودی در محدوده ۱۹۰ MeV قرار دارد ذرات تشدید تولید می‌شوند که می‌توان آن را به صورت زیر نشان داد [۷]:

$$\pi + N \rightarrow \Delta^* \rightarrow \pi + N$$

که در آن  $\pi = \pi^+, \pi^0, \pi^-$  و  $N = p, n$ ، همچنین ذره تشدید  $\Delta^* = \Delta^{++}, \Delta^+, \Delta^0$  است. حال سوال این است وقتی نوکلئون‌ها در داخل هسته در دریای مزونی شناور هستند با چه احتمالی می‌توان ذرات دلتا را در داخل هسته مشاهده کرد و این ذرات چند درصد در تابع موج هسته‌ها نقش دارند. برای مطالعه محتویات دلتائی در داخل هسته‌ها، هسته‌های  $A < 4$  بهترین مورد هستند که برای هسته‌های  $A=3$  با در نظر گرفتن حضور ذره دلتا در آن تابع موج به صورت زیر نوشته می‌شود:

$$\psi(x) = a\psi(NNN) + b\psi(NN\Delta) + c\psi(N\Delta\Delta)$$

$$b^2 = 0.04 \sim 0.06 \quad \text{محدوده تجربی}$$

را برای احتمال حضور تک دلتا در تابع موج نشان می‌دهند [۸] و همچنین محاسبات نشان می‌دهد نقش تک دلتا در انرژی پیوستگی تریتون<sup>۴</sup> در حدود ۰.۸ MeV است [۷]. همچنین مقادیر  $c^2 = 0.02 \sim 0.03$  برای حضور جفت دلتا در داخل هسته‌ها است. انتظار می‌رود و سهم سه دلتائی صرف نظر کردنی باشد.

اینجا  $M$  و  $m$  به ترتیب جرم هسته و کوارک هستند  $\epsilon_0$  انرژی بستگی ذره آزاد داخل نوکلئون آزاد است. تابع توزیع کوارکی  $i$  در داخل هسته و  $\rho_i^A(k)$  تابع توزیع تکانه همان کوارک در داخل هسته هستند. تابع توزیع تکانه کوارک به وسیله رابطه ۸ و محاسبه چشمداشتی عملگر شمارنده کوارکی روی تابع موج هسته که در ابعاد کوارکی نوشته می‌شود محاسبه می‌شود. جزئیات را می‌توان در مرجع [۲،۳،۴] پیدا کرد.

### اثر ابر پایونی داخل هسته

با توجه به اینکه در انرژی‌های پایین ذره تبادلی نیروی هسته مزون‌ها می‌باشند و در آن پایون‌ها به دلیل سبک بودن نقش اصلی را دارند بنابراین نمی‌توان حضور پایون‌ها را در داخل هسته و سهم آنها را در چگونگی نتیجه حاصل برای اثر EMC نادیده گرفت. بنابراین برای بدست آوردن نتایج سازگار با نتایج تجربی نقش آنها را باید در نظر گرفت شود. سهم اثر ابرپایونی در توابع ساختار هسته‌ها به صورت زیر محاسبه می‌شود:

$$\delta F_{2,Pion}^A(x,A) = \int_0^{\frac{M_A}{m}} dz f_{\pi}(z) F_2^{\pi}\left(\frac{x}{z}\right) \quad (9)$$

$$f_{\pi}^N(z) = \frac{3g^2}{16\pi^2} z \int_0^{\infty} dt \frac{t|f(t)|^2}{(t+m_{\pi}^2)^2} \quad (10)$$

که در آن  $g=13.5$  ثابت جفت شدگی، و  $F_2^{\pi}\left(\frac{x}{z}\right)$  تابع ساختار پایون و  $f_{\pi}^N(z)$  تابع توزیع پایون در داخل هسته است [۵]. تابع توزیع پایون در داخل هسته شرط زیر را برآورده می‌کند:

$$\int_0^{\frac{M_A}{m}} dz z f_{\pi}^A(z) = \eta_{\pi} \quad (11)$$

که در آن  $\eta_{\pi}$  کسر تکانه حمل شده توسط پایون‌ها در داخل هسته می‌باشد و  $\lambda=0.026$  را برای هر دو هسته یکسان در نظر می‌گیرند. برای هسته تریتیم و هلیوم ۳ و دوتریون به ترتیب ۰.۰۱۵۵ و ۰.۰۱۳ بدست می‌آید [۸]. تابع ساختار برای هسته تریتیم و هلیوم بدون در نظر گرفتن و با در نظر گرفتن سهم پایون‌ها در ناحیه  $x \leq 0.4$  قابل توجه است و هرچه هسته بزرگتر شود سهم این اثر نیز بیشتر می‌شود تابع ساختار پایون به صورت زیر در نظر گرفته می‌شود [۶]:

$$F_2^{\pi}(x) = \frac{5}{9} xv_{\pi}(x) + \frac{4}{3} xs_{\pi}(x) \quad (12)$$

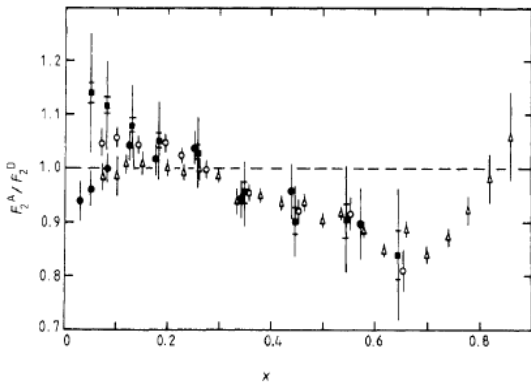
<sup>4</sup> Triton

ب) ناحیه ای که در آن  $0.3 \leq x \leq 0.8$  و  $R_{EMC}^A(x) < 1$  است. در این ناحیه نقش اصلی با اثر انرژی بستگی و تبادل کواری می باشد.

ج) ناحیه ای که در آن  $0.1 \leq x \leq 0.3$  و  $R_{EMC}^A(x) > 1$  است. در این ناحیه نقش اصلی با اثر ابرمزمونی، ذره تشدید دلتا، کواریک های ظرفیت و دریا می باشد.

د) ناحیه ای که در آن  $x \leq 0.1$  و  $R_{EMC}^A(x) < 1$  است. در این ناحیه نقش اصلی با اثر سایه می باشد.

محاسبات ما درستی نتایج بالا را بخوبی نشان می دهد و همچنین نشان می دهد که هیچ کدام از اثرهای هسته ای نمی تواند به تنهای اثر EMC را توضیح دهد و هر چه اثرهای بیشتری را در نظر بگیریم نتایج حاصل با نتایج تجربی در گستره بیشتری از مقیاس بیورکن سازگار می شود.



شکل ۱: نتایج تجربی مربوط به اثر EMC هسته آهن [۱۱].

## مراجع

- [1] S. V. Akulinichev, S. Shomo, S. A. Kulagin and G. M. Vagradov, Phys. Rev. Lett 55 (1985)
- [2] P. Hoodboy, R. L. Jaffe Phys Rev D 35 (1987) 113.
- [3] M. Modarres, F. Zolfagharpour, Nucl. Phys A 765 (2006) 112.
- [4] M. Modarres, M. M. Yazdanpanah, and F. Zolfagharpour Eur. Phys. J. A 28 (2006) 205–211 and Eur. Phys. J. A 32 (2007) 327–333.
- [5] T. Uchiyama, K. Satio, Phys. Rev C 38 (1988) 2245.
- [6] E. L. Berger, F. Coester, Phys. Rev. D 38 (1985) 1071.
- [7] G. Cattapan and L. S. Ferreira, Phys. Rep. 362 (2002) 303–407.
- [8] M. A. Preston and R.K. Bhaduri, Structure of the Nucleus, Addison-Wesley Press 1982.
- [9] R. L. Jaffe, Deep Inelastic Scattering with Application to Nuclear Target, Jon Wiley 1985 page 74.
- [10] R. L. Jaffe, The EMC Effect Today, QC 793.3 Q 35 W 68, Page 215.
- [11] R. P. Bickerstaff and A. W. Thomas, J. Phys. G: Nucl. Part. Phys 15 (1989) 1523-1569

علاوه بر پراکندگی پایون از نوکلئون ذرات تشدید دلتا در پراکندگی فوتون از یک نوکلئون نیز تولید می شود که به صورت زیر می توان نشان داد [۷]:

$$\gamma p \rightarrow \Delta^+ \rightarrow \pi^+ n, \quad \gamma n \rightarrow \Delta^0 \rightarrow \pi^- p$$

بنابراین در پراکندگی الکترون از هسته ها علاوه بر وارد شدن نقش ذره تشدید دلتا در تابع ساختار هسته ها از طریق تابع موج هسته ای، اثری که در آن فوتون تبدالی خود باعث تولید ذره تشدید دلتا می شود را نیز باید در نظر گرفت.

## اثر سایه

در پراکندگی ناکشسان ژرف الکترون از هسته ها در  $x$  های پائین یعنی  $0.07 \sim 0.03 < x < 5 \times 10^{-3}$  و انرژی های بالا سطح مقطع پراکندگی متناسب با  $A^{2/3}$  افزایش می یابد که شبیه رفتار اشباعی شعاع برای هسته ها با عدد جرمی  $A$  یعنی به صورت  $\pi R^2 \sim A^{2/3}$  است. همچنین در پراکندگی هادرونی از هسته ها نیز سطح مقطع پراکندگی متناسب با  $A^{2/3}$  می باشد و این به دلیل اثر سایه ای نوکلئون ها است. یعنی فوتون ورودی بیشتر توسط نوکلئون های سطحی (جلوئی) پراکنده شده و فرصت کافی برای پراکندگی از نوکلئون های داخلی هسته را پیدا نمی کند و یا عبارتی فوتون، نوکلئون های داخلی را کمتر مشاهده می کند و در نتیجه سطح مقطع بر واحد نوکلئون بدست آمده برای هسته ها از سطح مقطع بدست آمده برای یک نوکلئون آزاد کمتر می شود [۹۸]

## نتیجه گیری

اثر EMC اندازه گیری شده برای هسته ها یعنی نسبت تابع ساختار آنها به تابع ساختار دوترون که به صورت  $R_{EMC}^A(x) = \frac{F_2^A(x)}{F_2^d(x)}$  در نظر گرفته می شود از یک رفتار عمومی پیروی می کند که در شکل ۱ آمده است. با توجه به اثرهای هسته ای ذکر شده می توان اثر EMC را به چندین ناحیه به صورت زیر تقسیم بندی کرد.

الف) ناحیه ای که در آن  $x \rightarrow 1$  میل می کند و  $R_{EMC}^A(x) > 1$  است. در این ناحیه نقش اصلی با اثر حرکت فرمی می باشد.

## اندازه‌گیری بازدهی شناسایی جت‌های کوارک بی در آزمایش CMS

## با نخستین برخوردهای LHC

جعفری، عبیده<sup>۱</sup>؛ دونت، یورگن<sup>۲</sup><sup>۱</sup>دانشکده فیزیک دانشگاه صنعتی شریف، خیابان آزادی، تهران<sup>۲</sup>انستیتو بین‌دانشگاهی انرژی‌های بالا (یوآلب-وی‌یوب)

## چکیده

جت‌های حاصل از هادرونی شدن کوارک پایین، بی-کوارک جت‌ها، نقشی مهم در بررسی فرآیندهای مدل استاندارد و جستجو برای فیزیک جدید ایفا می‌کنند. در آزمایش CMS، توسعه، تعیین بازدهی و مطالعه عملکرد الگوریتمهایی که این جت‌ها را شناسایی می‌کنند، بخش قابل توجهی از تلاش فیزیک پیشگان را به خود اختصاص داده است. از سوی دیگر، کوارک تاپ که به صورت جفت و با آهنگ بسیار بالایی در برخورددهنده LHC تولید می‌شود، در حدود ۹۹٪ موارد به بی-کوارک واپاشی می‌کند و بدین ترتیب منبعی غنی از جت‌های بی-کوارک بدست می‌دهد. در این پایان‌نامه شیوه‌ای کاملاً مبتنی بر داده‌های حاصل از برخورد پروتون‌ها و مستقل از شبیه‌سازی برای اندازه‌گیری بازدهی الگوریتم‌های شناسایی جت‌های بی-کوارک در آزمایش CMS ارائه می‌شود. رویدادهایی با صورت بندی واپاشی نیمه-الکترونی جفت کوارک تاپ برای اندازه‌گیری استفاده می‌شوند. نتایج این شیوه‌بر روی داده‌های حاصل از برخورد پروتون‌ها در LHC در سال ۲۰۱۰ گزارش شده است. این روش قابل توسعه به اندازه‌گیری همزمان سطح مقطع تولید زوج کوارک تاپ و بازده الگوریتم شناسایی جت بی-کوارک می‌باشد که نهایتاً به عدم قطعیت کوچکتری منجر می‌شود.

## Measurement of the b-Tagging Efficiency in the CMS Experiment with the First LHC Collisions

Jafari, Abideh<sup>1,2,3</sup>; D'hondt, Jorgen<sup>3</sup><sup>1</sup> Department of Physics, Sharif university of Technology, Tehran,<sup>2</sup> CMS group, School of particles and accelerators, IPM,<sup>3</sup> IiHE - Interuniversity Institute of High Energies (ULB-VUB)

## Abstract

Jets originating from bottom (b) quarks, play an important role in the study of Standard Model processes together with the search for new physics. In the CMS experiment a considerable effort is dedicated to the development and the performance study of so-called b-tagging algorithms. On the other hand, the top quark which is produced in pair with a high rate at the LHC, decays near 99% of the time to a b-quark. Hence it provides a rich source of b-quark jets, suitable for b-jet identification studies. In this thesis, a fully data-driven method to measure the b-tagging efficiency, using top quark events in its semi-electron final state, is developed. The result of the application of the method on the first LHC collisions in 2010 is reported. The method can be extended to a simultaneous top quark cross section and b-tagging efficiency measurement, therefore resulting in smaller uncertainties.

## مقدمه

در تولید جت‌های ب نخست کوارک پایین که محصول مستقیم واپاشی ذرات است، در ترکیب با کوارکی دیگر (به استثنای کوارک بالا) به شبه‌مزون ب تبدیل می‌شود. مزونهای ب سپس واپاشی نموده، محصولاتشان جتی از ذرات پدید می‌آورند. وجه

در بسیاری از فرآیندهای فیزیکی که انتظار رخداد آنها در برخورددهنده بزرگ هادرونی [۱] می‌رود جت‌های برآمده از کوارک پایین، جت‌های ب، نقش عمده‌ای ایفا می‌کنند.

تولید جت منتهی شده) انتخاب می‌شود و تک جت باقیمانده به مرحله اندازه‌گیری بازدهی می‌رود.

#### - غنی کردن نمونه جت‌های ب:

با آنکه استفاده از تابع کای-مربع و اعمال فیدهای جرم  $W$  و کوارک بالا در بازسازی بخش هادرونی رویداد درجه خلوص نمونه جت ب را از ۵۰٪ در حالت انتخاب تصادفی به ۸۰٪ افزایش می‌دهد، برای اندازه‌گیری هرچه دقیق‌تر بازدهی، باید درجه خلوص جت ب را در نمونه حاصل بالاتر برد. ناخالصی موجود ناشی از خطای تابع کای-مربع در تشخیص ترکیب صحیح است.

در غنی کردن نمونه جت ب از خواص کینماتیک رویداد و همبستگی‌های موجود کمک گرفته می‌شود. از آنجاییکه انتظار می‌رود تک جت باقیمانده و الکترون از یک بوزون  $W$  آمده باشند، دارای خواص کینماتیکی همبسته هستند. در شکل ۱ جرم ناوردای تک جت باقیمانده (نامزد جت ب) و الکترون در رویداد شبیه سازی شده رسم شده است. رنگ آبی نشان‌دهنده جت‌های ب و رنگ زرد نشان‌دهنده جت‌های سبکی است که از ترکیبات اشتباه وارد نمونه شده‌اند. خطوط قائم نمایانگر بخشهایی هستند که در آن‌ها جتهای ب به ترتیب فراوان (چپ) و کم (راست) می‌باشند. در راستای بالا بردن سهم جت‌های ب در نمونه حاصل، اولاً تنها به جت‌های ناحیه چپ نگاه می‌شود و در ثانی، با کم کردن جت‌های غیر ب از ناحیه چپ طبق رابطه ۲ از ناخالصی موجود در ناحیه چپ کاسته می‌شود. در این رابطه، سمت چپ توزیع نهایی نمونه جت‌های ب است که اندازه‌گیری بروی آن انجام خواهد شد. در سمت راست، سهم جتهای غیر ب (جت‌های سبک) تخمین زده شده و از توزیع کل کم می‌شود. برای این تخمین، توزیع ناحیه راست که دارای فزونی جت‌های سبک است با عدد  $F$  مقیاس می‌شود. فاکتور  $F$  نسبت تعداد جتها در ناحیه چپ به ناحیه راست است. این ضریب می‌تواند با استفاده از اطلاعات شبیه‌سازی (Monte-Carlo) و به صورت نسبت تعداد جت‌های سبک در سمت چپ به تعداد جت‌های سبک در سمت راست تعریف شود. نیز می‌توان این ضریب را از خود داده‌ها و بدون تکیه بر MC استخراج نمود.

تمایز این جت‌ها وجود یک رأس ثانویه در محل واپاشی مزون ب است که از رأس اصلی برهمکنش پروتونها، فاصله دارد. این خاصیت، سبب توسعه الگوریتمهای مختلفی در شناسایی جت‌های ب شده است که در آزمایش سی.ام.اس [۲] مورد استفاده قرار می‌گیرند. منظور از بازدهی الگوریتم شناسایی جت ب، توانایی الگوریتم در انتخاب جت‌هایی است که واقعاً از مزون ب تولید شده باشند. شرط لازم برای روش‌های اندازه‌گیری بازدهی الگوریتم شناسایی جت ب استفاده از رویدادهایی است که بتوان بر مبنای مدل استاندارد به حضور جت ب در آن‌ها واقف بود. در این نوشتار، رویداد کوارک بالا-پادبالا به عنوان منبع غنی تولید کوارک پایین و در نتیجه جت ب در نظر گرفته شده است. کوارک بالا با آهنگ قابل توجهی در ال.اچ.سی به صورت جفت بالا-پادبالا تولید می‌شود [۳] و با توجه به درصد بالای واپاشی این کوارک به کوارک پایین (۹۹٪) منبعی بسیار غنی برای اندازه‌گیری بازدهی الگوریتم شناسایی جت ب به شمار می‌آید. در این نوشتار، حالت خاصی از محصولات نهایی رویداد بالا-پادبالا تحت عنوان حالت نیمه‌الکترونی مورد استفاده قرار گرفته است.

#### روش اندازه‌گیری:

برای تشکیل منبعی با درجه خلوص بالا از جت‌های ب، می‌باید ابتدا با ابزاری، جت‌های ب را از میان چهار جت موجود در رویداد استخراج کرد.

#### - بازسازی بخش هادرونی رویداد:

از میان چهار جت موجود، سه جت از یک کوارک بالا (یا پادبالا) آمده‌اند. چنانچه این سه جت پیدا شوند، جت باقیمانده جت ب خواهد بود و می‌تواند نامزد اندازه‌گیری بازدهی الگوریتم شناسایی جت ب باشد.

برای پیدا کردن این سه جت، ترکیب‌های مختلف سه از چهار در نظر گرفته شده‌اند با شرط اینکه جرم ناوردای دو جت به جرم بوزون  $W$  نزدیک باشد و به همراه جت سوم، جرم کوارک بالا را بازتولید کنند. هر ترکیبی که تابع کای-مربع در رابطه ۱ را کمینه کند، به عنوان بخش هادرونی رویداد (بخشی که تمام واپاشی‌ها به



تخمین حاصل از روش بهبود یافته است.

#### -بدست آوردن F بدون استفاده از اطلاعات MC :

در بازسازی بخش هادرونی رویداد، جت‌هایی که در ترکیب بوزون W وارد می‌شوند با تقریب خوبی جت‌های سبک (غیر ب) هستند. بنابراین می‌توان از آن‌ها در بدست آوردن F بهره گرفت. به این منظور جرم ناوردای هر یک از این جت‌ها با الکترون محاسبه شده و با تعیین ناحیه چپ و راست در توزیع این جرم ناوردا، F به صورت نسبت تعداد جت‌های سمت چپ به سمت راست محاسبه می‌شود. در این شیوه، اینکه آیا این جت‌ها واقعاً سبک هستند یا نه نامعلوم است و مهم خواص کینماتیکی آنهاست که در توزیع جرم ناوردا بروز می‌کند. در اولین تخمین، ضریب F که به این صورت بدست می‌آید (۲.۹۳) با آنچه با استفاده از اطلاعات MC بدست آمده بود (۱.۶۵) اختلاف زیادی دارد. علت این اختلاف هم تمایز خواص کینماتیکی این جت‌ها که در بازسازی بوزون W وارد شده‌اند با جت‌هایی است که توسط تابع کای-مربع به عنوان نامزدی برای جت ب معرفی شده‌اند. این تمایز را می‌توان با استفاده از یک تابع وزن دوبعدی برطرف کرد.

توزیع دوبعدی تکانه عرضی و شبه‌سرعت جت‌ها در نمونه جت‌های نامزد جت ب (نمونه سیگنال) بر همین توزیع در جت‌های سبک (مولفه‌های بوزون W در تابع کای-مربع) تقسیم می‌شود و حاصل به صورت وزن بر جت‌های سبک اعمال می‌گردد. F بعد از این بازتوزین (۱.۶۹) به صورتی که پیشتر گفته شد در مقیاس کردن جت‌های ناحیه راست در نمونه سیگنال به کار می‌رود. شکل ۴، نتیجه نهایی روش به صورت کاملاً مبتنی بر داده است.

#### خلاصه:

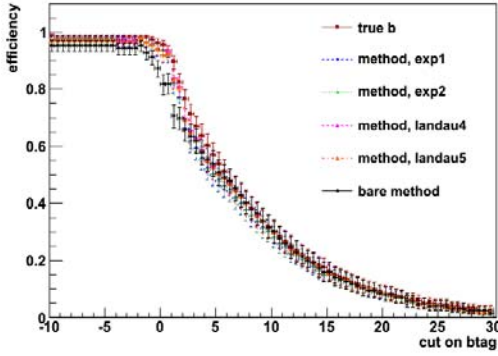
شیوه کاملاً مبتنی بر داده در تخمین بازدهی الگوریتم‌های شناسایی جت ب در رویدادهای بالا-پادبالا در آزمایش سی.ام.اس ارایه شد. در روند خالص‌سازی نمونه سیگنال و همچنین تخمین ضریب مقیاس از داده، بازتوزین با استفاده از خواص کینماتیکی خود رویداد انجام گرفت. نتیجه نهایی روش توافق خوبی با محاسبه بازده بر روی جت‌هایی دارد که با استفاده از اطلاعات شبیه‌سازی، منشاء کوارک پایین در آن‌ها محرز است.

توزیع بدست آمده از رابطه فوق، در اندازه‌گیری بازدهی الگوریتم مورد استفاده قرار می‌گیرد. هر الگوریتم به عدد نهایی ارائه می‌دهد که میزانی است از شباهت جت به جت ب. جت‌هایی که شاخص جت ب بودن آن‌ها از مقداری خاص بالاتر باشد به عنوان جت ب در نظر گرفته می‌شوند. این مقدار خاص بسته به نوع آنالیزی است که از تشخیص جت ب استفاده می‌کند. بازدهی الگوریتم برای هر مقدار خاص (برش) از عدد شاخص، به صورت تعداد جت‌های ب با شاخص بزرگتر از برش بخش بر تعداد کل جت‌های ب تعریف می‌شود. الگوریتم خاصی که در این مطالعه انتخاب شده است به جت‌های ب و غیر ب به ترتیب اعداد بزرگ‌تر و کوچکتر نسبت می‌دهد.

شکل ۲ نمایش بازدهی الگوریتم را بر حسب مقادیر مختلف برش نشان می‌دهد. در این شکل، بازدهی الگوریتم در نمونه‌ای که به شیوه گفته شده بدست آمد و در جت‌هایی که با استفاده از اطلاعات شبیه‌سازی منشاء کوارک پایین آن‌ها تایید شده است مقایسه شده‌اند. همانطور که در نمودار مشخص است در ناحیه شاخص‌های کوچک که محدوده جت‌های غیر ب است، در نتایج اختلاف به چشم می‌خورد.

#### -استفاده از همبستگی تکانه در از بین بردن اختلاف:

هنگامی که توزیع جت‌های سبک در ناحیه چپ با استفاده از جت‌های ناحیه راست تخمین زده می‌شود، اختلاف تکانه عرضی جت‌ها مغفول می‌ماند. جت‌های ناحیه راست که در محدوده جرم ناوردای بالا قرار دارند، دارای تکانه عرضی بیشتری نیز هستند. از سوی دیگر شاخص الگوریتم تشخیص جت ب با تکانه عرضی جت همبستگی کینماتیکی دارد. به همین علت در پی تخمینی نزدیک به واقعیت از توزیع جت‌های سبک در سمت چپ، باید اختلاف تکانه جت‌ها در دو ناحیه لحاظ شود. به این منظور، توزیع تکانه عرضی جت‌ها در ناحیه چپ به راست تقسیم شده حاصل آن با تابعی تطبیق داده می‌شود (fitting). سپس به هر جت سمت چپ برآمده از تابع مورد نظر اعمال می‌شود. شکل ۳ نتیجه روش را بعد از اعمال وزن برای توابع مختلف وزنی نشان می‌دهد. در مقایسه با نمودار سیاه‌رنگ که بدون وزن دادن به جت‌ها رسم شده،



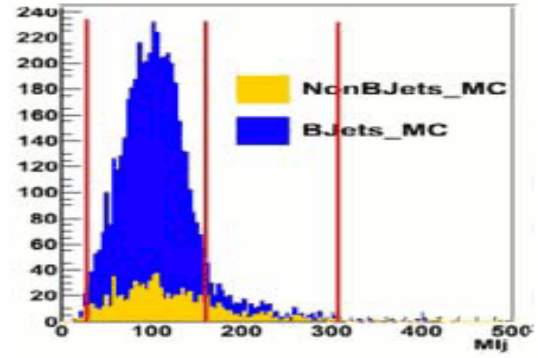
شکل ۴

روابط:

$$\chi^2 = \left( \frac{m_{jj} - M_W}{\sigma_W} \right)^2 + \left( \frac{m_{j\bar{b}} - M_{top}}{\sigma_{top}} \right)^2 \quad (1)$$

$$\Delta_L^{lepCand} = \Delta_L^{total} - F \cdot \Delta_R^{lightJets} \quad (2)$$

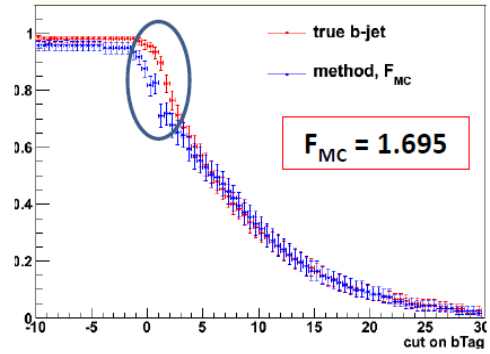
شکلها:



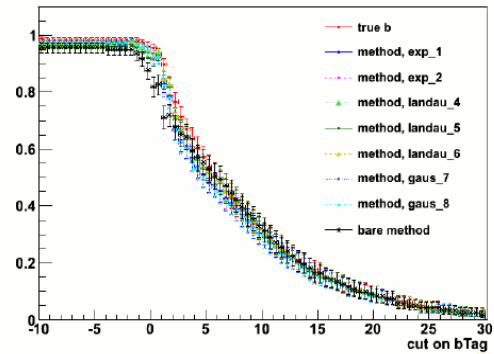
شکل ۱

مراجع:

- [۱] L. Evans and P. Bryant, JINST 3 S08001 (2008).
- [۲] The CMS Collaboration, JINST 3 S08004 (2008).
- [۳] N. Kondonaki, PoS(ICHEP 2010)059



شکل ۲



شکل ۳

## کوانتس میدان کلین گوردن در حجم محدود

چنارانی، شیرین؛ شیرزاد، احمد

دانشکده فیزیک، دانشگاه صنعتی اصفهان

### چکیده

در این مقاله کوانتس میدان کلین گوردن در حجم محدود با استفاده از سازگاری قیود بررسی می‌شود. روشی که ما برای کوانتس میدان کلین گوردن به کار می‌بریم به این صورت است که ابتدا شرایط مرزی را به عنوان قید نخستین در نظر می‌گیریم و سازگاری شرایط مرزی با هامیلتونی کل را محاسبه می‌کنیم. این کار باعث بوجود آمدن زنجیره نامحدود قیود می‌شود. سپس قیود را برکلی‌ترین بسط مولفه‌های میدان اعمال می‌کنیم. اعمال قیود باعث حذف برخی از ضرایب بسط و رفتن به فضای فاز کاهش یافته می‌شود و در نهایت برای رفتن به حوزه کوانتومی با استفاده از روش دو فرم سمپلکتیک و معکوس آن براکت بین مدهای فیزیکی را تعیین نموده و سپس براکت زمانی مولفه‌های میدان را حساب می‌کنیم.

## Quantization of Klein-Gordon Field in Finite Volume

Chenarani, Shirin; Shirzad, Ahmad

Department of Physics, Isfahan University of Technology, Isfahan

### Abstract

*In this article we have investigated quantization of Klein Gordon fields in a finite volume using the method of constrained systems. We consider the given boundary conditions as primary constraints, consistency of primary constraints leads to infinite chains of constraints. Then, without solving the equation of motion, we impose the set of the constraints on a suitably expansion of the fields. We show that if the new set of coordinates, such as Fourier modes, are chosen properly, imposing the constraints omits a few number of canonical pairs. So the reduced phase space, with canonical pairs as coordinates, is achieved quantization of the theory then can be done easily by converting canonical coordinates of the reduced phase space to quantum operators. We emphasize that, except consistency of the constraints, the complete dynamics of the systems, i.e. solving the equations of motion, is not necessary for quantization.*

### مقدمه

گروه پواسون کمیتهای کلاسیک به جابجاگرهای کوانتومی نظیر آنها، بدل می‌شود. در مورد دستگاه مقید فرایند کوانتس تا حدودی متفاوت است. کوانتیده کردن دستگاهی با قیود نوع اول با اعمال شرایط قیدی روی فضای حالتها صورت می‌گیرد. ازسوی دیگر اگر دستگاه مقید شامل قیود نوع دوم نیز باشد اعمال این قیود منجر به حذف برخی از درجات آزادی شده و کوانتس از طریق تبدیل گروه پواسون به گروه دیراک انجام می‌گیرد [۱].

کوانتس در فیزیک از اهمیت زیادی برخوردار است از آنجا که طبیعت در مقیاس میکروسکوپی با مکانیک کوانتومی شرح داده می‌شود برای بررسی میدان‌ها و برهمکنش بین آنها از تئوریهای کوانتومی استفاده می‌کنیم. یکی از روش‌های کوانتس یک دستگاه معمولی (غیرمقید) روش کوانتس کانونیک است. در این روش برای کوانتیده کردن دستگاه،

### بررسی سازگاری قیود:

در ابتدا ما سازگاری قیود ابتدایی سیستم را بررسی می‌کنیم به منظور بدست آوردن گروه پواسون هامیلتونی کل و شرایط مرزی سیستم از گروه پواسون های اساسی مولفه های میدان به شرح زیر استفاده می‌کنیم.

$$\{\varphi(x, y, z), \pi(x', y', z')\} = \delta^3(x - x') \quad (1-3)$$

گروه پواسون سایر مولفه های میدان صفر است.

در نخستین قدم سازگاری برای بدست آوردن قید مرتبه اول در شرط مرزی  $x=0$  با استفاده از روابط (1-2) و (1-3) خواهیم داشت:

$$\{\varphi(0, y, z), H_T\} = \pi(0, y, z)$$

برای بدست آوردن قید مرتبه بعدی سیستم ابتدا گروه

پواسون  $\pi(0, y, z)$  با هامیلتونی کل را محاسبه کرده که  $\nabla^2 \varphi$  بدست می‌آید. برای محاسبه سازگاری  $\pi(0, y, z)$  با  $\lambda_i \psi_i$  جمله ای که از محاسبه قید مرتبه دوم و  $\lambda_i \psi_i$  بدست می‌آید از مرتبه پایین تر نسبت به  $\nabla^2 \varphi$  است. در نتیجه در این مرحله ضرایب نامعین لاگرانژی صفر بدست می‌شود اما روند سازگاری ادامه می‌یابد [2].

$$\{\pi(0, y, z), H_T\} = \nabla^2 \varphi(0, y, z)$$

برای بدست آوردن قیود مرتبه بعدی فقط گروه پواسون قید قبلی با هامیلتونی کانونیک محاسبه می‌گردد.

$$\{\nabla^2 \varphi(0, y, z), H_T\} = \nabla^2 \pi(0, y, z)$$

در نتیجه پس از محاسبات انجام شده قیود سیستم عبارت خواهند شد:

$$\nabla^2 \varphi|_0 = 0 \quad \text{و} \quad \nabla^2 \pi|_0 = 0 \quad n = 0, 1, 2, \dots \quad (1-4)$$

### اعمال قیود بر مدهای فوریه:

در این مرحله به اعمال قیود بر بسط فوریه مولفه های میدان  $\varphi$  و  $\pi$  می‌پردازیم.

کلی ترین بسط مولفه های میدان عبارت است از:

$$\varphi(\vec{x}, t) = \frac{1}{2\pi^{\frac{3}{2}}} \int \alpha(\vec{k}, t) e^{i\vec{k}\vec{x}} d^3k \quad (1-5)$$

$$\pi(\vec{x}, t) = \frac{1}{2\pi^{\frac{3}{2}}} \int b(\vec{k}, t) e^{-i\vec{k}\vec{x}} d^3k$$

اکثر فیزیكدانها برای کوانتش میدان‌ها از حل کامل معادلات حرکت آنها استفاده می‌کنند. ما در این مقاله روش سازگاری قیود و اعمال زنجیره نامحدود قیود بر کلی ترین بسط مولفه های میدان رابه کار می‌بریم و بدون حل کامل معادلات حرکت به کوانتش میدان موردنظرمان می‌پردازیم و از حل دینامیک دستگاه فقط برای بررسی قیود استفاده می‌کنیم [5],[2]. این روش سازگاری خوبی با کوانتش میدان‌ها از طریق حل کامل معادلات حرکت دارد و ما پیشنهاد می‌کنیم در مواردی که نمی‌خواهیم به حل کامل دینامیک دستگاه بپردازیم یا حل کامل دینامیک دستگاه مقدور نمی‌باشد از این روش برای کوانتش میدان‌ها استفاده شود.

### کوانتش میدان کلین گوردن در حجم محدود:

در این مقاله ما کوانتش میدان کلین گوردن را در حجم محدود درسه دستگاه مختصات دکارتی، استوانه ای و کروی بررسی می‌کنیم.

لاگرانژی میدان کلین گوردن عبارت است از:

$$L = L \frac{1}{2} (\partial_\mu \varphi)^2 - \frac{1}{2} m^2 \varphi^2$$

### کوانتش میدان کلین گوردن در دستگاه مختصات دکارتی:

میدان کلین گوردن در جعبه ای به ابعاد a,b,c و با شرایط مرزی دیریکله را در نظر می‌گیریم. شرایط مرزی موردنظر عبارتست از صفر شدن مولفه های میدان بر روی سطح جعبه.

$$\begin{aligned} \varphi(0, y, z) = 0 & \quad \varphi(a, y, z) = 0 \\ \varphi(x, 0, z) = 0 & \quad \varphi(x, b, z) = 0 \\ \varphi(x, y, 0) = 0 & \quad \varphi(x, y, c) = 0 \end{aligned}$$

شرایط مرزی به عنوان قیود نخستین سیستم در نظر گرفته می‌شود. به منظور بررسی سازگاری قیود، هامیلتونی سیستم را بصورت زیر بدست می‌آوریم.

$$H_C = \int \dot{\varphi} \frac{\partial L}{\partial \dot{\varphi}} d^3x - L = \int \frac{1}{2} \pi^2 + \frac{1}{2} \nabla \varphi^2 + \frac{1}{2} m^2 \varphi^2 d^3x \quad (1-1)$$

هامیلتونی کل مجموع هامیلتونی کانونیک و شرایط مرزی

سیستم با ضرایب  $\lambda_i$  است  $\lambda_i$  ضرایب لاگرانژی هستند)

$$H_T = H_C = \sum \lambda_i \psi_i$$

در این قسمت به کوانتس میدان کلین گوردن در استوانه ای نامحدود به شعاع  $a$  می پردازیم . با انتخاب شرط مرزی دیریکله تابع  $\Phi$  روی سطح استوانه صفر می شود  $\Phi(a, \theta, \varphi) = 0$ . این شرط به عنوان قید ابتدایی سیستم به کار می رود.

همایلتونی سیستم در دستگاه مختصات استوانه ای عبارت است از:

$$H_C = \frac{1}{2} \int \pi^2 + \left(\frac{\partial \Phi}{\partial r}\right)^2 + \frac{1}{r^2} \left(\frac{\partial \Phi}{\partial \theta}\right)^2 + \frac{1}{r^2 \sin^2 \theta} \left(\frac{\partial \Phi}{\partial \varphi}\right)^2 + M^2 \Phi^2 \quad (2-1)$$

و همایلتونی کل نیز بصورت زیر نوشته می شود:

$$H_T = H_C + \int d\varphi dz \lambda(\varphi, z) \mathcal{L}(a, \varphi, z) \quad (2-2)$$

در این مرحله کروه پواسون مولفه های میدان را بصورت زیر تعریف می کنیم.

$$\{\varphi(\rho, \varphi, z), \pi(\rho', \varphi', z')\} = \frac{1}{\rho \rho'} \delta(\rho - \rho') \delta(\varphi - \varphi') \delta(z - z') \quad (2-3)$$

باقی کروه پواسون مولفه های میدان صفر است.

قیود سیستم:

با محاسبه کروه پواسون شرایط مرزی و همایلتونی کل (2-2) با استفاده از روابط (2-3) زنجیره نامحدودی از قیود سیستم به صورت زیر بدست خواهد آمد.

$$\nabla^{2n} \Phi|_a = 0, \quad \nabla^{2n} \Pi|_a = 0 \quad (2-4)$$

$$n = 0, 1, 2, 3, \dots$$

اعمال قیود برمد های فوریه:

کلی ترین بسط بسط فوریه مولفه های میدان را بصورت زیر

تعریف می کنیم.

$$\Pi(\rho, \varphi, z, t) = \sum_m \quad (2-5)$$

$$\int d\lambda dk E_m(\lambda, k, t) e^{-i\lambda z} e^{-im\varphi} j_m(k\rho)$$

$j_m$  ها توابع بسط معمولی هستند. حال قیود (2-4) را برکلی ترین

بسط فوریه مولفه های میدان اعمال می کنیم. با اعمال قیود بر مولفه

های میدان از بین کلیه ضرایب بسط فقط آنهایی باقی می ماند که  $=0$

$$j_m(ka) \rightarrow k_{mn} a = x_{mn}$$

و بقیه ضرایب حذف می شوند.  $x_{mn}$  ها صفرهای تابع بسط هستند

در نتیجه مولفه های میدان در فضای فاز کاهش یافته عبارتند از:

با اعمال قیود  $x=0$  و  $y=0$  و  $z=0$  بر مولفه های میدان (1-5) ضرایب جملات کسینوسی حذف می شوند فقط ضرایب سینوسی باقی می ماند [4]. با اعمال سری دوم قیود  $x=a$  و  $y=b$  و  $z=c$  بر مولفه های میدان فقط ضرایب بسطی باقی می

مانند که به ازای آنها  $k_x = \frac{m\pi x}{a}$  و  $k_y = \frac{m\pi y}{b}$  و  $k_z = \frac{l\pi z}{c}$  و بقیه ضرایب حذف می شوند.

در نتیجه به فضای فاز کاهش یافته زیر خواهیم رسید.

$$\varphi(\vec{x}, t) = \sum_{mnl} a_{mnl}(t) \sin \frac{m\pi x}{a} \sin \frac{m\pi y}{b} \sin \frac{l\pi z}{c}$$

$$\pi(\vec{x}, t) = \sum_{mnl} b_{mnl}(t) \sin \frac{m\pi x}{a} \sin \frac{m\pi y}{b} \sin \frac{l\pi z}{c} \quad (1-6)$$

همایلتونی کانونیک در فضای فاز کاهش یافته با قرار دادن

معادلات (1-6) در (1-1) عبارت است از:

$$H_C = \frac{abc}{16} \sum_{mnl} [b_{mnl}^2 + k^2 a_{mnl}^2]$$

که در آن

$$k^2 = m^2 - \left(\frac{a^2}{m^2 \pi^2} + \frac{b^2}{n^2 \pi^2} + \frac{c^2}{l^2 \pi^2}\right)$$

و در انتها کوانتس میدان در فضای فاز کاهش یافته را با استفاده از

روش سیمپلکتیک بررسی می کنیم

ماتریس دو فرم سیمپلکتیک به صورت زیر تعریف می شود.

$$\Omega = \int d^3 x d\pi(x, t) \wedge d\varphi(x, t) \quad (1-7)$$

باقرار دادن (1-6) در داخل (1-7) خواهیم داشت:

$$\Omega = \sum_{mnl} \frac{abc}{8} db_{mnl} \wedge da_{mnl}$$

از روی  $\Omega$  می توان مستقیما ماتریس سیمپلکتیک  $\omega$  را خواند

$$. \omega = \begin{pmatrix} 0 & 1 \\ -1 & 0 \end{pmatrix} \text{ که } \omega = \frac{abc}{8} j$$

ماتریس سیمپلکتیک، یک ماتریس استاندارد است. معکوس  $\omega$

کروه دیراک بین مدهای فیزیکی را بدست می دهد. [6]

$$[a_{mnl}, b_{m'n'l'}] = \frac{16}{abc} \delta_{mn} \delta_{nn'} \delta_{ll'}$$

و با استفاده از براکت بالا و معادله (1-6) براکت زمانی مولفه

های میدان بصورت زیر بدست خواهد آمد.

$$[\varphi(x, t), \pi(x', t)] = \sum_{mnl} \frac{16}{abc} \sin \frac{m\pi x}{a} \sin \frac{m\pi x'}{a} \sin \frac{m\pi y}{b} \sin \frac{m\pi y'}{b} \sin \frac{l\pi z}{c} \sin \frac{l\pi z'}{c}$$

کوانتس میدان کلین گوردن در دستگاه مختصات استوانه‌ای:

حال کلی ترین بسط بسط فوریه مولفه های میدان  $\Phi$  و  $\Pi$  را در دستگاه مختصات کروی می نویسیم.

$$\Phi(r, \theta, \varphi, t) = \sum_{lm} \int dk A_{lm}(k, t) j_l(kr) y_l^m(\theta, \varphi)$$

$$\Pi(r, \theta, \varphi, t) = \sum_{lm} \int dk B_{lm}(k, t) j_l(kr) y_l^m(\theta, \varphi)$$

$j_l$  ها توابع بسط کروی هستند.

با اعمال قیود بر کلی ترین بسط بسط فوریه مولفه های میدان ضرایب اضافی حذف می شوند و فقط ضرایبی باقی می ماند که  $=0$

$$j_l(ka) \Rightarrow k_{mn} a = x_{mn}$$

در نتیجه مولفه های میدان در فضای فاز کاهش یافته به صورت زیر در خواهد آمد.

$$\Phi(r, \theta, \varphi, t) = \sum_{lm} A_{lmn}(t) j_l(k_{lm} r) y_l^m(\theta, \varphi)$$

$$\Pi(r, \theta, \varphi, t) = \sum_{lm} B_{lmn}(t) j_l(k_{lm} r) y_l^m(\theta, \varphi)$$

و پس از محاسبه ماتریس دو فرم سیمپلکتیک با استفاده از رابطه (۱-۶)، کروشه بین ضرایب بسط عبارت خواهد شد از:

$$[A_{lmn}(t), B_{l'm'n'}(t)] = \frac{1}{[j_{l'+1}(k_{lm})]^2} \delta_{ll'} \delta_{mm'} \delta_{nn'}$$

نتیجه گیری:

در این مقاله ما کوانتش میدان کلین گوردن در حجم محدود را در سه دستگاه مختصات متفاوت با استفاده از بررسی سازگاری قیود بدست آوردیم. و نشان دادیم که می توان با بررسی قیود سیستم بدون حل کامل معادلات حرکت (بررسی دینامیک دستگاه) به کوانتش میدان موردنظرمان پردازیم. این روش در مواردی که نمی خواهیم به حل کامل معادلات پردازیم روشی بسیار مناسب است و اگر نتیجه ای که از این روش بدست می آید را با کوانتش از طریق حل کامل دینامیک دستگاه مقایسه کنیم سازگاری کاملی را مشاهده خواهیم کرد..

مرجع ها:

[1] P. A. M. Dirac, lecture Notes on Quantum Mechanics. Yashiva University, New York, 1964  
 [2] M. M. Sheikh-jabbari, A. Shirzad, Eur. Phys. J. C 19 (2001) 383-390, hep-th/9907055  
 [3] C-S. Chu, P.-A. Ho, Nucl. Phys. B 568(2000) 447-456, hep-th/9906192  
 [4] M. Dehghani, A. Shirzad, Eur. Phys. J. C 48, 315-325(2006)  
 [5] J. M. Remero, J. M. Vergara, Hep-th., V1 0212035, (2002).  
 [6] M. Mojiri, A. Shirzad, Mod. Phys. Lett. V 16(2001)

$$\Phi(\rho, \varphi, z, t) = \sum_{mn} \int d\lambda A_{mn}(\lambda, t) e^{i\lambda z} e^{im\varphi} J_m(k_{mn}\rho)$$

$$\Pi(\rho, \varphi, z, t) = \sum_{mn} \int d\lambda B_{mn}(\lambda, t) e^{-i\lambda z} e^{-im\varphi} J_m(k_{mn}\rho)$$

و در انتها با استفاده از روش سیمپلکتیک و بدست آوردن کروشه ضرایب بسط به کوانتش می پردازیم. ماتریس دو فرم سیمپلکتیک با استفاده از رابطه (۷-۱) و مختصری انتگرال گیری عبارت خواهد شد از:

$$\Omega = \sum_{mn} [j_{m+1}(k_{mn})]^2 2\pi r^2 dB_{mn}(\lambda, t) \wedge dA_{mn}(\lambda, t)$$

و در نتیجه کروشه ضرایب بسط بصورت زیر در خواهد آمد:

$$[A_{mn}(\lambda, t), B_{m'n'}(\lambda', t)] = \frac{1}{\pi^2} [j_{m+1}(k_{mn})]^2 \delta_{mm'} \delta_{nn'} \delta(\lambda - \lambda')$$

کوانتش میدان کلین گوردن در دستگاه مختصات کروی:

اگر میدان کلین گوردن را به کره ای به شعاع a محدود کنیم شرایط مرزی سیستم عبارت خواهد شد از صفر شدن مولفه میدان بر روی سطح کره  $\Phi(\alpha, \theta, \varphi) = 0$

هامیلتونی سیستم در دستگاه مختصات کروی عبارت است از:

$$H_C = \frac{1}{2} \int \pi^2 + \left(\frac{\partial \Phi}{\partial r}\right)^2 + \frac{1}{r^2} \left(\frac{\partial \Phi}{\partial \theta}\right)^2 + \frac{1}{r^2 \sin^2 \theta} \left(\frac{\partial \Phi}{\partial \varphi}\right)^2$$

$$M^2 \varrho^2 r^2 \sin \theta dr d\theta d\varphi$$

و هامیلتونی کل مجموع هامیلتونی سیستم در دستگاه مختصات کروی و شرایط مرزی سیستم در ضرایب لاگرانژی است.

$$H_T = H_C + \int d\theta d\varphi \lambda(\theta, \varphi) \Phi(\alpha, \theta, \varphi) \quad (3-1)$$

کروشه پواسون اساسی بین مولفه های میدان در دستگاه مختصات کروی به صورت زیر تعریف می شود.

$$\{\Phi(r, \theta, \varphi), \Pi(r', \theta', \varphi')\} = \frac{1}{r^2 \sin^2 \theta} \delta(r - r') \delta(\theta - \theta') \delta(\varphi - \varphi') \quad (3-2)$$

کروشه پواسون سایر مولفه های میدان صفر است. با محاسبه

کروشه پواسون شرط مرزی سیستم و هامیلتونی کل با استفاده از رابطه (۲-۳) قیود سیستم به طور خلاصه عبارت خواهند شد از:

$$\nabla^{2n} \Phi|_a = 0 \quad \nabla^{2n} \Pi|_a = 0$$

$$n=0,1,2,3,4,\dots \quad (3-3)$$

اعمال قیود بر مدهای فوریه:

## تازه‌ترین پیشرفت‌ها در مطالعه‌ی پلاسمای کوارک گلوئون با استفاده از AdS/CFT

بی‌تقصیر فدافن، کاظم

دانشکده فیزیک، دانشگاه صنعتی شاهرود

### چکیده

تازه‌ترین پیشرفت‌ها در مطالعه‌ی پلاسمای کوارک گلوئون تولید شده در  $RHIC$  و  $LHC$  مورد بحث قرار می‌گیرند. دو ویژگی مهمی که شرح داده می‌شوند عبارتند از: اهمیت مزون‌های سنگین و تأثیر محیط پلازما بر تابش کوارک شتابدار نشان داده می‌شود که چگونه با استفاده از  $AdS/CFT$  و نظریه ریسمان می‌توان این ویژگی‌ها را مطالعه کرد.

## On recent developments in studying Quark-Gluon-Plasma using AdS/CFT

Bitaghsir fadafen, Kazem

Shahrood University of Technology. Department of physics

### Abstract

*We discuss recent developments in studying Quark-Gluon-Plasma which was produced in RHIC and the LHC. Especially, we explore two important properties which are: the importance of heavy mesons and effect of medium on the radiation by an accelerated quark. It is shown that how one can investigate these properties using AdS/CFT and string theory*

## اثرات حجم شبکه در فرم فاکتور اسکالر نیمه لپتونی کایون

قربانی، کریم<sup>۱ و ۲</sup>

<sup>۱</sup>گروه فیزیک، دانشکده علوم، دانشگاه اراک، ۳۸۱۵۶-۸-۸۳۴۹

<sup>۲</sup>پژوهشگاه ذرات و شتاب دهنده‌ها، IPM

### چکیده

فرم فاکتور اسکالر نیمه لپتونی کایون در یک شبکه محدود را در چارچوب نظریه میدان موثر محاسبه کرده ایم. برای دو شبکه با طول خطی  $1/13$  فرمی و  $2/13$  فرمی اثرات اندازه حجم را تخمین می‌زنیم. نتایج موید اثرات بزرگ برای فرم فاکتور اسکالر می‌باشد و این به سبب جرم بزرگی است که برای پایون در نظریه میدان موثر به کار رفته است. یافته‌های ما می‌تواند برای انجام برون‌یابی داده‌های کرومودینامیک شبکه به حجم بزرگ به کار رود.

## Lattice Size Effects of the Semi-Leptonic Kaon Scalar form Factor

Ghorbani, Karim<sup>1,2</sup>

<sup>1</sup> Department of Physics, Faculty of Sciences, Arak University, Arak 38156-8-8349, Iran

<sup>2</sup> School of Particles and Accelerators, IPM, Tehran, Iran

### Abstract

We calculate the semi-leptonic kaon scalar form factor in a finite lattice in the framework of effective field theory. Two lattice sizes with  $L=1.83$  fm and  $L=2.73$  fm are considered to evaluate size effects for. Our results indicate large size effects and this turns out to be due to the large pion mass used in our effective field theory. Our finding can be useful for lattice practitioners to extrapolate their data to large volume.

PACS No.: 13.20.Eb, 12.39.Fe, 11.15.Ha.

آمده خالی از خطاهای سیستماتیک نیست. در سایه این خطاها، استخراج عنصر ماتریسی فوق با کمترین خطا امکان پذیر نمی‌باشد. با توجه به اینکه امکان استفاده از نظریه میدان موثر برای سیستم‌های در حجم محدود وجود دارد می‌توان از این طریق اندازه خطاهای سیستماتیک شامل اثرات حجم و کایرال را به دست آورد [۲-۴].

اثرات حجم محدود رد پای خود را در تصحیحات کوانتمی می‌گذارد و این به دلیل کوانتیزه شدن تکانه ذرات منتشر شده در فضا-زمان برای یک سیستم محبوس در یک شبکه می‌باشد. بطوریکه برای یک شبکه به حجم  $L^3$  و با شرایط مرزی دوره‌ای تکانه مقادیر زیر را خواهد داشت:

### مقدمه

لازمه تخمین دقیق  $V_{us}$ ، به عنوان یکی از عناصر ماتریس کبیو، کوبیاشی و ماسکوا [۱] داشتن یک تخمین درست از برهمکنش‌های قوی در انرژی‌های پایین می‌باشد. در ناحیه غیراختلالی، QCD همچنان یک مسئله مشکل به حساب می‌آید.

بطور تجربی تنها امکان اندازه‌گیری حاصلضرب  $V_{us}$  و فرم فاکتور برداری کایون وجود دارد، بنابراین استخراج  $V_{us}$  منوط به محاسبه فرم فاکتور برداری کایون می‌باشد که در اصل در چارچوب کرومودینامیک شبکه امکان پذیر است.

هرچند امروزه محاسبات کوانتم کرومودینامیک با کوارک‌های کم جرم در شبکه امکان پذیر شده است، اما همچنان نتایج بدست



و برای ثابت واپاشی پایون مقدار  $F_\pi = 0.092 \text{ GeV}$  استفاده شد. در اینجا ابتدا فرم فاکتور را تا مرتبه یک حلقه ای به دست آوردیم و سپس تصحیحات به دست آمده برای انتگرال های فاینمن را اعمال می کنیم. مقدارهای عددی برای فرم فاکتور اسکالر در حجم محدود،  $f_0^V$ ، برای برای جرم های متفاوت پایون و کایون در جدول ۱- آورده شده است. این نتایج با یافته‌های مرجع [۹] نیز مقایسه گردیده است. همان طور که مشاهده می‌شود به ازای جرم های کوچک تر پایون مقادیر فرم فاکتور با هم همخوانی بیشتری دارند و این به این دلیل، قابل توجیه است که در حالی که تکانه انتقالی ماکزیمم مقدارش را در اینجا دارد، نظریه میدان موثر برای مقادیر بزرگ جرم پایون به کندی همگرا می شود و بنابراین قابل کاربرد برای جرم های نزدیکتر به جرم فیزیکی می باشد.

جدول ۱: مقایسه نتایج ما برای فرم فاکتور اسکالر در شبکه با یافته های منتشر شده در [۹]

$m_\pi (\text{GeV})$	$m_K (\text{GeV})$	$f_0^V$	$f_0^V$ [9]
.۳۲۹	.۵۷۵	۱/۰۹۵۳۲	۱/۰۲۱۴۳
.۴۱۶	.۶۰۴	۱/۱۱۳۶۰	۱/۰۰۸۸۷
.۵۵۶	.۶۶۳	۱/۱۲۱۷۹	.۰۰۱۹۲
.۶۷۱	.۷۱۹	۱/۱۱۳۸۲	۱/۰۰۰۲۹

از طرفی انتظار داریم برای مقادیر کوچکتری از تکانه انتقال یافته بتوان کاربرد وسیع تری از نظریه اختلالی را در اختیار داشت که در حال حاضر ما در حال انجام این محاسبات هستیم.

## مرجع‌ها

- [۱] N. Cabibbo, *Phys.Rev. Lett.* **10**, 531 (1963)  
 [۲] J. Gasser, H. Leutwyler, *Phys. Lett. B* **184**, 83 (1987)  
 [۳] J. Gasser, H. Leutwyler, *Phys. Lett. B* **188**, 477 (1987)  
 [۴] J. Gasser, H. Leutwyler, *Nucl. Phys. B* **307**, 763 (1987)  
 [۵] G. Colangelo, C. Haefeli, *Nucl. Phys. B* **744**, 14 (2006)  
 [۶] G. Colangelo, C. Haefeli, *Phys.Lett.* B **590**, 258 (2004)  
 [۷] J. Bijnens, K. Ghorbani, *Phys. Lett. B* **636**, 51 (2006)  
 [۸] G. Amoros, J. Bijnens, P. Talavera, *Nucl. Phys. B* **602**, 87 (2001)  
 [۹] P. A. Boyle et al., *Phys.Rev. Lett.* **100**, 141601 (2008)

$$\bar{q} = \frac{2\pi}{L} \bar{n}. \quad (1)$$

در چارچوب نظریه اختلالی کایرال محاسبه فرم فاکتورها انجام می‌شود ولی به خاطر مقادیر گسسته تکانه، تغییراتی در انتگرال‌های فاینمن صورت می‌گیرد و این تغییرات همان نقش تصحیحات حجم محدود را بازی می‌کند که برای ما اهمیت کلیدی دارند. شکل تغییر شکل یافته انتشارگر مزون ها بر حسب انتشارگر در حجم بینهایت به این صورت در می‌آید:

$$g_{finite} = \frac{1}{2\pi L} \sum_p \int dp^0 g_\infty(p) \quad (2)$$

برای فرایند مورد نظر در این مقاله توانستیم برای انتگرال های فاینمن شامل ذرات پایون و کایون به یک فرمول بسته برسیم ولی انتگرال های فاینمن شامل ذرات کایون و اتا را به صورت عددی حل کردیم. کارهای قبلی که در چارچوب انجام شده است را می‌توان در مراجع [۷-۵] یافت.

## فرم فاکتور اسکالر

شکل کلی عنصر ماتریسی برداری که در اینجا محاسبه کردیم به صورت زیر بر حسب فرم فاکتور های برداری تعریف می‌شود:

$$\langle \pi^0(q') | \bar{s} \gamma_\mu u | K^+(q) \rangle = \quad (3)$$

$$\frac{1}{\sqrt{2}} ((q+q')_\mu f^+(t) + (q-q')_\mu f^-(t)),$$

که  $t = (q-q')^2$  مربع تکانه انتقالی در واپاشی فوق می‌باشد.

برای ماکزیمم مقدار تکانه انتقالی،  $t_m$ ، فرم فاکتور اسکالر بدین صورت بر حسب عنصر ماتریسی به دست می‌آید:

$$f_0(t_m) = \frac{\sqrt{2}}{m_\pi + m_K} \langle \pi^0(q') | \bar{s} \gamma_0 u | K^+(q) \rangle_{t=t_m}. \quad (4)$$

عبارت فوق را در مرتبه یک حلقه ای در چارچوب نظریه اختلالی کایرال به دست آورده ایم.

## نتایج و نتیجه گیری

تنها ثابت انرژی پایینی که در عبارت تحلیلی مربوط به فرم فاکتور اسکالر در حجم نامحدود باقی می‌ماند  $L_5^r$  است که ما مقدار عددی  $L_5^r = 0.972 \times 10^{-3}$  را به کار می‌بریم [۸]

## آشنایی با نظریه میدان همدیس

روحانی، شاهین

دانشکده فیزیک، دانشگاه صنعتی شریف

در این سخنرانی ما نظریه میدان همدیس و برخی از کاربردهای آن را مرور می‌کنیم. علی‌الخصوص به جبر ویراسورو، نظریه‌های کسری و نظریه میدان همدیس لگاریتمی می‌پردازیم. ما همچنان نظریه‌های جدید مبتنی بر تقارن گالیله‌ای را مرور کرده و جبرهای گالیله‌ای را ارایه می‌کنیم. ما برخی از کاربردها را با ریزه‌کاری بیشتر باز می‌کنیم مانند پدیده‌های بحرانی، تحول  $SLE$  تناظر  $AdS/CFT$ ، لگاریتم  $AGE$  و لگاریتم  $KPZ$ .

## Introduction to Conformal Field Theory

Shahin Rouhani

Physics Department  
Sharif University of Technology

### Abstract

*In this talk we review Conformal Field Theory (CFT) and some areas of its applications. We pay attention to Conformal Field Theory in two dimensions, in particular Virasoro Algebra, Rational CFT and Logarithmic CFT. We shall also cover the more recent advances in non-relativistic CFT in particular  $l$ -Galilei algebras, which have Galilean invariance. We discuss some applications detail; such as Critical Phenomena, Schramm-Loewner Evolution (SLE), the Ads/CFT correspondence, Logarithmic Age (contact process) and Logarithmic Kardar Parisi Zhang equation.*

## کاربردهای دوگانگی AdS/CFT

علیشاهیها، محسن

پژوهشگاه ذرات و شتابگرها، پژوهشگاه دانشهای بنیادی، لارک

یکی از کشفیات مهمی که بیش از یک دهه بعنوان موضوع داغ مورد توجه فیزیکدانان قرار گرفته است حدس مالداسنا یا تناظر AdS/CFT می باشد. براساس این حدس یک نظریه میدان پیمانانه ای چهار بعدی با تقارن ابرهمدیس دوگانه یک نظریه گرانشی پنج بعدی در پس زمینه AdS می باشد. یکی از اهمیت های این حدس فراهم آوردن یک چارچوب برای بررسی نظریه میدان های کوانتومی با برهمکنش قوی، که بطور مستقیم برای فهم قسمت عمده ای از جهان به آن نیاز داریم، می باشد. معمولاً توصیف معادل نظریه میدانهای کوانتومی با برهمکنش قوی توسط یک نظریه گرانش کلاسیک بیان می شود. در این سخنرانی به جنبه های کاربردی این حدس در QCD و فیزیک ماده چگال خواهیم پرداخت.

### Abstrac

*AdS/CFT correspondence has provided us with a powerful framework to study strongly coupled conformal field theories. This is done by making use of weakly coupled gravities on backgrounds containing an AdS part. According to the AdS/CFT duality there is a one to one correspondence between objects on the field theory. The aim of this talk is to review certain features of the AdS/CFT applications in high energy as well as condensed matter physics.*

## نتایج اخیر شتابدهنده LHC در رابطه با کشف ذره هیگز

هاشمی، مجید

بخش فیزیک، دانشکده علوم، دانشگاه شیراز

### چکیده

در این سخنرانی مروری خواهیم داشت بر نتایج اخیر شتابدهنده LHC علی‌الخصوص نتایج تجزیه و تحلیل داده این آزمایش در گروه همکاری آشکارساز CMS در رابطه با بررسی سیگنال ذره هیگز مدل استاندارد ذرات بنیادی و همچنین مدل ابرتقارنی MSSM. گرچه هنوز سیگنال این ذره مشاهده نشده نتایجی مربوط به اعمال محدودیت‌هایی بر روی جرم این ذره و همچنین پارامترهای مدل MSSM ارائه خواهد شد.

## Recent Results of the LHC Experiment on the Higgs Boson Searches

Hashemi, Majid

Physics Department, College of sciences, Shiraz University, Shiraz

### Abstract

*In this lecture a brief review on the recent results of the LHC experiment related to the Higgs boson signal in Standard model of particle physics as well as MSSM is presented. Focus is made on the analyses carried out in the CMS collaboration. Although no signal has been observed yet, limits on the Higgs boson mass and other parameters of MSSM are presented.*

### مقدمه

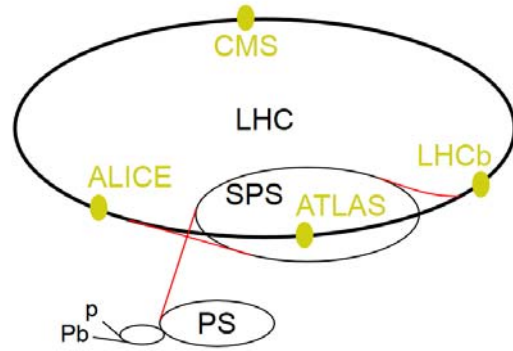
که قبلاً توسط شتابدهنده الکترون-پوزیترون به کار رفته بود. در این تونل که حدوداً ۱۰۰ متر زیر زمین قرار دارد پروتون‌ها به انرژی 7 TeV خواهند رسید که این به این معنی است که انرژی مرکز جرم دو باریکه 14 TeV خواهد بود. قابل ذکر است که در حال حاضر انرژی پروتون‌ها 3.5 TeV می باشد که در سالهای آتی به انرژی پیش بینی شده خواهد رسید. شکل ۱ مجموعه شتابدهنده LHC را نشان می دهد. باریکه پروتون‌ها در حلقه PS به انرژی 25 GeV خواهند رسید و سپس به حلقه بزرگتر SPS وارد شده و در آنجا به انرژی 450 GeV رسیده و وارد حلقه LHC می شوند. در حلقه LHC پروتون‌ها شتاب گرفته و تقریباً پس از گذشت ۲۰ دقیقه به انرژی مورد نظر می رسند. از آن زمان برخوردها ذخیره شده و برای آنالیز در رایانه های مخصوص که در کشورهای مختلف قرار دارند به صورت فایل داده نگه داری می شوند.

در این مقاله به مروری بر نتایج آزمایش LHC (شتابدهنده بزرگ هادرونی) در رابطه با امکان مشاهده ذره هیگز می پردازیم. برای این کار ابتدا خلاصه ای از مشخصات و نحوه عملکرد این شتابدهنده ارائه خواهد شد. سپس به بررسی روشهای تجزیه و تحلیل داده این شتابدهنده پرداخته و مشخصات سیگنال ذره هیگز و تفاوت‌های آن را از دیدگاه پدیده شناختی مورد بررسی قرار خواهیم داد. در خاتمه نتایج آنالیز داده این شتابدهنده در جستجوی ذره هیگز که با ترکیب نتایج دو آشکارساز CMS و ATLAS به دست آمده ارائه خواهیم داد.

### شتابدهنده بزرگ هادرونی

این شتابدهنده در مرز سوییس و فرانسه در تونلی ساخته شد

بدون جرم باقی ماند. با مشاهده این ذرات در آزمایشگاه سرن در سوییس که محل قرار گرفتن شتابدهنده LHC می باشد انگیزه جستجو برای ذره هیگز که عنصر مشاهده نشده این مدل بود شکل گرفت. گرچه این ذره در آزمایش LEP در سرن و Tevatron در آمریکا مشاهده نشد اما با توجه به این که این آزمایشها دارای انرژی کافی برای تولید این ذره به میزان کافی نبودند و سطح مقطع تولید این ذره پایین بود، پروژه LHC برای تولید این ذرات به تعداد کافی پیشنهاد شد و ساخته شد.



شکل ۱: شتابدهنده LHC و مجموعه حلقه های پیش شتابدهنده و تغذیه کننده آن

### پدیده شناسی فرایندهای تولید کننده ذره هیگز

در جستجوی ذره هیگز معمولا دو روش در پیش گرفته می شود. در روش اول تفاوت‌های مربوط به توپولوژی سیگنال و نویز و همچنین تفاوت‌های چهار بردار انرژی و تکانه ذرات در نظر گرفته می شود. بر اساس این تفاوتها فیلترهایی اعمال می شود که هدف از آن فیلترها افزایش نسبت سیگنال به نویز می باشد. در این جا سیگنال نمودارهای فاینمن شامل ذره هیگز بوده و نویز شامل هر فرایندی است که حالت نهایی آن شبیه به سیگنال می باشد. در روش دوم تلاش می شود جرم ناورداى ذرات حالت نهایی فرایند محاسبه گردد. طبیعی است که در صورت وجود سیگنال این جرم ناوردا همان جرم ذره مادر یعنی ذره هیگز را خواهد داد. روش اول در مورد فرایندهایی به کار می رود که شامل بیش از یک نوترینو در حالت نهایی می باشند و در نتیجه جهت یابی تک نوترینوها امکان پذیر نمی باشد و این مساله محاسبه جرم ناوردا را مشکل می سازد. همچنین در مواردی که با ذراتی سر و کار داریم که تشخیص آنها به لحاظ الگوریتم به کار رفته مشکل بوده یا اندازه گیری چهار بردار انرژی - تکانه آنها مشکل می باشد، از روش اول استفاده می نمایم.

روش دوم در مواردی به کار می رود که ذرات حالت نهایی به راحتی قابل تشخیص بوده (مثل الکترونها و میونها) و فرایند مورد نظر برای محاسبه جرم ناورداى سیستم مناسب می باشد. نکته ای که در اینجا قابل ذکر است پایین بودن سطح مقطع تولید فرایندهایی است که از آنها می توان برای محاسبه جرم ناورداى حالت نهایی فرایند و در نتیجه جرم ذره هیگز استفاده کرد.

### اهداف اصلی شتابدهنده LHC

پیش از تصویب و شروع به ساخت این شتابدهنده اهداف آن از نقطه نظر پتانسیل کشف ذرات جدید یا تایید مدل‌های نظری پیش بینی شده مورد بررسی قرار گرفت. این اهداف به دو رده تقسیم می شوند:

رده اول شامل اندازه گیری دقیق پارامترهای مدل استاندارد ذرات بنیادی می باشد. این پارامترها شامل جرم ذرات مدل استاندارد از قبیل کوارک تاپ، بوزونهای  $W$  و  $Z$  می باشد. علاوه بر این اندازه گیری دقیق سطح مقطع فرایندهای مهم مدل استاندارد نیز جزو اهداف این آزمایش بوده است.

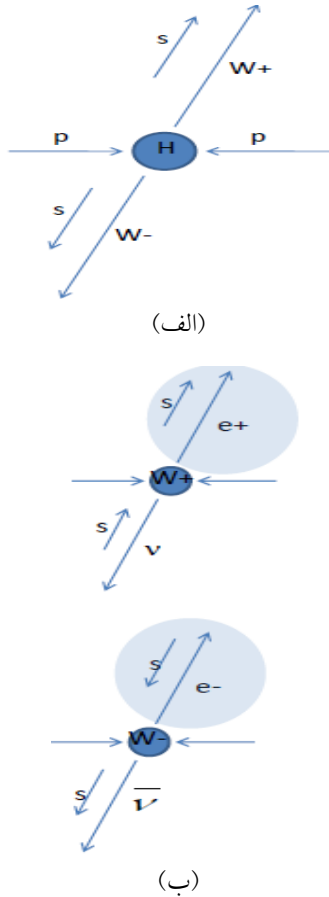
رده دوم شامل جستجو برای مدلها یا ذرات جدید می باشد. به عنوان مثال تولید کوارک تاپ به تنهایی و نیز فرایندهایی که شامل ذره هیگز یا ذرات ابرتقارنی می باشند جزو این رده قرار می گیرند. همچنین مشاهده ذرات  $Z'$  یا  $W'$  یا کوارکهای نسل چهارم یا حتی مدل‌های خاص مثل ابعاد اضافه که سیاه چاله های کوچک را پیش بینی می کنند جزو اهداف این پروژه می باشد.

### جستجو برای ذره هیگز

بدون شک یکی از اهداف مهم پروژه LHC بررسی وجود یا عدم وجود ذره هیگز می باشد. در مدل الکتروضعیف بدون جرم ذرات حامل نیروی ضعیف یعنی  $W$  و  $Z$  بدون جرم بودند گرچه شواهد تجربی خلاف این را نشان می داد. در مکانیسمی که به این مدل اضافه شد و به مکانیسم هیگز معروف شد این ذرات جرم دار شده و دارای جرم  $80 \text{ GeV}$  و  $90 \text{ GeV}$  شدند در حالی که فوتون

### واپاشی ذره هیگز به دو $W$

تفاوت اصلی سیگنال و نویز در این حالت به این نکته بر می‌گردد که ذره هیگز دارای اسپین صفر می‌باشد. همچنین اگر نمودار فاینمن سیگنال و نویز (شکل ۲) را در نظر بگیریم به این نتیجه می‌رسیم که اگر جرم ناوردای دو  $W$  را رسم کنیم انتظار داریم توزیع این کمیت شامل پیوستاری ناشی از فرایند نویز باشد که بر روی آن توزیع نسبتاً تیزی از سیگنال قرار دارد. این پیش‌بینی به خاطر این مساله است که در سیگنال اگر جرم ذره هیگز حدوداً دو برابر جرم ذره  $W$  باشد یعنی حدود 160 GeV یک فرایند تشدید داریم که فقط نویز داریم ظاهر می‌شود. همچنین ملاحظات مربوط به اسپین ذره هیگز را نیز می‌توان به صورت زیر خلاصه کرد.

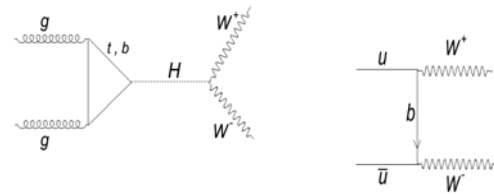


شکل ۳: فرایند تولید ذره هیگز که متعاقباً به دو ذره  $W$  واپاشی می‌نماید. جهت گیری اسپین ذرات نشان می‌دهد که لپتونهای نهایی به صورت مرجح هم راستا پرواز خواهند کرد.

شکل بگیرد که بعضی از آنها مخالف با حالت نهایی سیگنال می‌باشد. مثالی از این موضوع در شکل ۴ نشان داده شده است. در این حالت همان‌طور که مشاهده می‌شود لپتونهای نهایی ترجیح می‌دهند در جهات متفاوت حرکت کنند تا اصل پایستگی تکانه زاویه ای را حفظ نمایند. این تفاوت سیگنال و نویز وقتی که شبیه سازی مربوط به رویدادها انجام می‌شود منجر به مشاهده توزیع متفاوت زاویه بین دو لپتون در سیگنال و نویز می‌شود که برای جدا نمودن سیگنال و نویز به کار می‌رود.

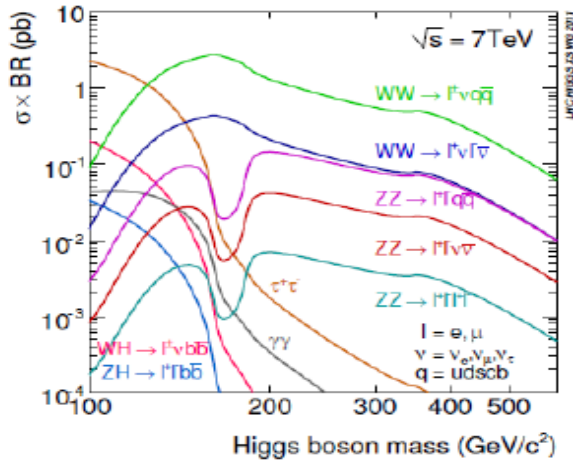
### نتایج LHC در رابطه با ذره هیگز

با استفاده از الگوریتمهایی که در قسمتهای قبل به آن اشاره شد و الگوریتمهای مشابه حالتهای نهایی نشان داده شده در شکل ۵ مورد مطالعه قرار گرفته اند.

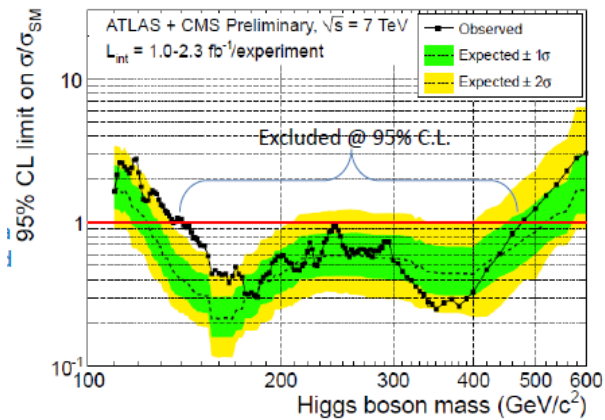


شکل ۲: نمودارهای فاینمن سیگنال (چپ) و نویز (راست) در حالتی که سیگنال به عنوان واپاشی ذره هیگز به دو ذره  $W$  در نظر گرفته شده باشد.

فرض کنیم در اثر برخورد دو پروتون یک ذره هیگز تشکیل شده و به دو ذره  $W$  که یکی بار مثبت و دیگری بار منفی دارد واپاشی کند. از آنجا که ذره هیگز اسپین ندارد ذرات  $W$  باید یا هردو راست دست یا چپ دست باشند. حالت اول در شکل ۳ (الف) نشان داده شده است. حال اگر ذرات  $W$  به لپتون (الکترون) و نوترینو واپاشی کنند چون هردو  $W$  راست دست می‌باشند پیکربندی نهایی به صورت نشان داده در شکل خواهد بود (قسمت ب). این حالت مرجحی است که ذرات نهایی اتخاذ می‌نمایند که به خاطر پاسته ماندن تکانه زاویه ای (اسپین) می‌باشد. در نتیجه این امر لپتونها در جهات نزدیک به هم و تقریباً هم راستا حرکت می‌نمایند. اگر این فرایند با نویز مقایسه شود از آنجا که در آن حالت اسپین ذرات  $W$  وابستگی به همدیگر ندارد حالتی مختلفی می‌تواند



شکل ۵: حالتهای نهایی مطالعه شده برای کشف ذره هیگز در شتابدهنده LHC توسط دو آشکارساز ATLAS و CMS



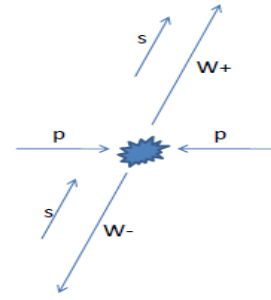
شکل ۶: نتایج LHC در رابطه با کشف ذره هیگز. نقاط زیر خط افقی در ۱ منتفی شده اند.

### سپاسگزاری

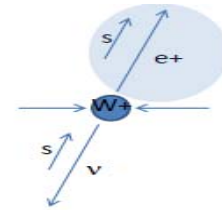
از همکاری آقای دکتر خرمیان و دکتر ارفعی در شرکت اینجانب در کنفرانس صمیمانه تشکر می‌کنم. همچنین از همکاری بخش فیزیک دانشگاه شیراز صمیمانه متشکرم.

### مرجع‌ها

[1] Combined Standard Model Higgs boson searches with up to 2.3 inv-fb of pp collision data sqrt(s) = 7 TeV at the LHC, ATLAS-CONF-2011-157  
CMS PAS HIG-11-023



(الف)



(ب)

شکل ۴: فرایند نویز و پیکر بندی نهایی ذرات حالت نهایی سیستم و جهت گیری اسپینی آنها

شکل ۶ نشان دهنده نتایج می باشد [1]. محور عمودی این شکل مقدار داده مورد نیاز برای منتفی کردن ذره هیگز تقسیم بر مقدار داده جمع آوری شده را نشان می دهد. البته این مساله تابع جرم ذره هیگز می باشد.

### نتیجه گیری

نتایج فعلی شتابدهنده LHC نشان دهنده سیگنالی از ذره هیگز نمی باشد. البته به ازای جرمهای پایین به خاطر این که داده آنالیز شده کافی نمی باشد نمی توان با قطعیت نظر داد. بنابراین باید منتظر شد تا کل داده سال ۲۰۱۱ تجزیه و تحلیل شده و نتایج نهایی به دست آید. در هر حال نتایج فعلی ذره هیگز با جرم بالاتر از 141 GeV و پایین تر از 476 GeV را منتفی می کند

## مقدمه ای بر نظریه کمینه ابر تقارن مدل استاندارد (MSSM)

ایازی، سید یاسر

پژوهشگاه دانشهای بنیادی، پژوهشکده ذرات و شتابگرها

### چکیده

در این سخنرانی ما مروری خواهیم داشت بر نظریه ابر تقارنی کمینه در ساختار مدل استاندارد. علاوه بر این نتایج حاصل از برخورد دهنده LHC که ناظر بر این مدل است را نیز بررسی می‌کنیم.

## Introduction to Minimal Supersymmetric Standard Model (MSSM)

Ayazi, Seyed Yaser

*School of Particles and Accelerators, Institute for Studies in Theoretical Physics and Mathematics (IPM)*

### Abstract

*In this talk, we briefly review supersymmetry in particle physics and present new results which arise from LHC experiment.*



## دوگانی شاره / گرانش

داودی ، علی<sup>۱</sup>

پژوهشکده ذرات و شتابدهنده‌ها - پژوهشگاه دانشهای بنیادی، تهران

### چکیده

در این صحبت مروری خواهیم داشت بر هم ارزی  $AdS/CFT$  و بویژه حد خاصی از آن یعنی دوگانی گرانش/شاره را مرور می‌کنیم. نشان می‌دهیم که چگونه این هم ارزی می‌تواند اطلاعات مفیدی در مورد شاره  $QCD$  به ما بدهد.

## Fluid/Gravity Duality

Davody, Ali

*School of Particles and Accelerators, Institute for Research in Fundamental Sciences  
(IPM), P.O. Box 19395-5531, Tehran, Iran*

### Abstract

*AdS/CFT correspondence is a duality between the strongly coupled conformal field theories and string theory in a higher-dimensional Anti-de-Sitter space-time . The generalization of AdS/CFT correspondence to more realistic gauge theories like QCD, provides new insights to understanding the dynamical non-perturbative effects in QCD, such as confinement, chiral symmetry breaking, color superconductivity and so on. In this talk, we review general aspects of Fluid/ Gravity duality. In particular we consider to holographic dual of  $N=4$  SYM plasma and calculate its viscosity.*

## واپاشی کوارک "سر" در تئوری‌های SM و MSSM

موسوی نژاد، سید محمد<sup>۱،۲</sup>

<sup>۱</sup> دانشکده فیزیک دانشگاه یزد، یزد

<sup>۲</sup> پژوهشکده فیزیک ذرات و شتابگرها، پژوهشگاه دانش‌های بنیادی (IPM)، تهران

### چکیده

کوارک "سر" ( $top$ ) به عنوان یک ذره بنیادی در تئوری استاندارد مدل، دارای جرم بسیار سنگین با عدم قطعیت بزرگ در مقدار آن است. شناخت خواص این ذره جهت فهم بهتر تئوری استاندارد مدل ضروری است. در تئوری‌های ماورای استاندارد مدل حضور بوزون هیگز باردار در واپاشی کوارک "سر" پیش‌بینی می‌شود. در این پژوهش، طیف انرژی هادرون تولید شده از واپاشی کوارک "سر" با در نظر گرفتن دو مد اصلی واپاشی در تئوریهای استاندارد مدل (SM) و تئوری تعمیم یافته MSSM بررسی شده است. محاسبات تئوری تا مرتبه NLO و بر پایه رهیافت ZM-VFNS انجام شده و تابع ترکش بکار برده شده در محاسبه تابع توزیع انرژی از برازش داده‌های نابودی الکترون-پوزیترون بدست آمده است.

## Top-Quark Decay in the SM and MSSM Theories

Moosavi Nejad, Seyed Mohammad<sup>1,2</sup>

<sup>1</sup> Department of Physics, University of Yazd, Yazd,

<sup>2</sup> School of particles and accelerators, Institute for research in fundamental science (IPM), Tehran

### Abstract

Top quark is the heaviest elementary particle in the Standard Model theory, with a large uncertainty in its mass. The top quark is essential for our understanding of the SM. In theories beyond the Standard Model (SM) the presence of the charged Higgs-boson in top-quark decay is predicted. In this research we studied the energy spectrum of Hadron produced through top decay in SM and MSSM theories considering two main decay modes. Calculations are done by NLO in ZM-VFN scheme. Fragmentation functions used in the calculation of energy contribution function obtained through a global fit to Electron-Positron annihilation into a Hadron.

PACS No.: 13

می‌تواند سالانه بیش از ۹۰ میلیون زوج  $t\bar{t}$  تولید کند. لذا این حجم زیاد از داده‌ها امکان مطالعه دقیق خواص این ذره از جمله آهنگ واپاشی کل، جرم ذره و ... را می‌دهد. در تئوری مدل استاندارد (SM)، مطابق با عناصر ماتریس CKM، محتملترین مد واپاشی کوارک "سر" عبارت است از  $t \rightarrow b + W^+$ . در تئوریهای تعمیم یافته استاندارد مدل (شامل بوزون هیگز) مانند تئوری MSSM<sup>۵</sup>، کوارک "سر" از طریق مد

### مقدمه

کوارک "سر" به عنوان سنگین‌ترین ذره بنیادی (با جرم  $172.0 GeV$ ) در طبیعت شناخته می‌شود [۱]. با این جرم بسیار زیاد، ذره فرصت هادرونی شدن را نداشته و سریعاً واپاشیده می‌شود. اگر محدودیت محصور شدگی بار رنگ نبود این ذره می‌توانست به عنوان ذره آزاد در نظر گرفته شود. این خاصیت به ما اجازه می‌دهد تا واپاشی کوارک "سر" را در تئوری اختلال بررسی کنیم. آزمایشگاه LHC به عنوان بزرگترین کارخانه تولید کوارک "سر"،

Minimal Supersymmetric Standard Model °

به صورت تحلیلی در تئوری اختلال قابل محاسبه است. بخش غیر اختلالی فرایند، شامل گذار کوارک "ته" و گلوئون به هادرون نهایی بوده و از طریق تابع ترکش  $\hat{D}_a^B(z, \mu_F)$  در قضیه جداسازی وارد می‌شود. در این مقاله، فرم تحلیلی توابع ترکش در مقیاس اولیه از مرجع [۳] استخراج شده و به کمک دسته معادلات تحول DGLAP مقدار آن در هر مقیاس دلخواه به دست آمده است. مطابق با قضیه جداسازی، تابع توزیع انرژی B-ها درون (ها درون با طعم کوارک "ته") از رابطه زیر به دست می‌آید.

$$\frac{d\Gamma}{dx_B} = \sum_{a=b,g} \int \frac{dx_a}{x_a} \frac{d\Gamma}{dx_a}(\mu_R, \mu_F, x_a) D_a^B\left(\frac{x_B}{x_a}, \mu_F\right) \quad (1)$$

$$= \frac{d\Gamma}{dx_a} \otimes D_a^B\left(\frac{x_B}{x_a}, \mu_F\right).$$

که در آن تابع  $d\Gamma/dx_a$  آهنگ واپاشی دیفرانسیلی فرایند  $t \rightarrow b+W^+/H^+(g)$  می‌باشد (ضرایب ویلسون). ضرایب  $\mu_F$  و  $\mu_R$ ، به ترتیب، سنجه جداسازی و بازبهنجاش بوده که مقدار آنها اختیاری است. در این پژوهش مقدار عددی آنها را  $\mu_F = \mu_R = m_t$  اختیار می‌کنیم.

**نتایج تحلیلی برای  $d\Gamma/dx_a$  در دو مدل SM و MSSM**  
 با در نظر گرفتن نحوه جفت شدگی بوزون  $H^+$  به کوارک  $b$  و  $t$  در تئوری MSSM، دامنه گذار فرایند  $t \rightarrow b+H^+$  در تقریب بورن به صورت  $M_0 = \bar{u}_b (a+b\gamma_5)u_t$  بیان می‌شود [۴].

جفت شدگی  $H^+$  به دو کوارک  $b$  و  $t$  در دو مدل بیان می‌شود که در حد  $m_b \rightarrow 0$  این دو مدل به یک فرم تبدیل می‌شوند. در مدل اول، ضرایب  $a$  و  $b$  در دامنه گذار به صورت

$$a = \frac{g_w}{\sqrt{2}m_w} |V_{tb}| (m_t \cot\beta + m_b \tan\beta), \quad (2)$$

$$b = \frac{g_w}{\sqrt{2}m_w} |V_{tb}| (m_t \cot\beta - m_b \tan\beta)$$

بیان می‌شوند که در حد  $m_b \rightarrow 0$  داریم  $b=a$ . در رابطه فوق  $\tan\beta = v_2/v_1$  و  $G_F = \sqrt{2}m_w^{-2}G_F$  (که در آن  $G_F$  ثابت فرمی است) و

$t \rightarrow b+H^+$  نیز واپاشیده می‌شود. همانگونه که در مرجع [۲] اشاره شده است این دو مد واپاشی در آزمایشگاه LHC قابل تفکیک خواهند بود.

از آنجائیکه کوارک "ته" سرانجام از طریق یک فرایند غیر اختلالی هادرونی خواهد شد لذا در این مقاله تابع توزیع انرژی هادرون خروجی از واپاشی کوارک "سر" در دو مد واپاشی  $(t \rightarrow b+H^+/W^+ \rightarrow B-Hadron+X)$  بررسی خواهد شد. اندازه-گیری آهنگ واپاشی این فرایند برای تستهای آتی از جفت شدگی بوزون هیگز در تئوری MSSM مهم خواهد بود. فرایند هادرونی شدن کوارک "ته" بزرگترین چشمه عدم قطعیت در تعیین جرم کوارک "سر" می‌باشد.

## فرمولبندی

در محاسبه تابع توزیع انرژی هادرون خروجی از واپاشی کوارک "سر" از رهیافت ZM-VFN<sup>۶</sup> استفاده می‌کنیم که در آن جرم کوارک "ته" از ابتدا صفر در نظر گرفته می‌شود. فرایند واپاشی در تئوری MSSM به شرطی قابل انجام است که  $m_t > m_b + m_{H^+}$ . در این محاسبه، سهم گلوئون در تصحیحات تابشی از مرتبه دوم وارد می‌شود. جهت کاربردهای بعدی، متغیر سنجه  $x_b = \sqrt{2}E_b / (m_t(1-\gamma))$  را تعریف می‌کنیم که در آن  $0 < x_b < 1$  و در تئوری MSSM متغیر  $\gamma$  به صورت  $\gamma = m_H^2 / m_t^2$  و در تئوری استاندارد مدل  $\gamma = m_w^2 / m_t^2$  تعریف می‌شود.

هدف نهایی، محاسبه تابع توزیع انرژی هادرون خروجی (مشاهده پذیر آزمایشگاهی) از واپاشی کوارک "سر" است. مطابق با قضیه جداسازی<sup>۷</sup> در تئوری QCD، می‌توان بخش اختلالی و غیر اختلالی فرایند را از یکدیگر جدا نمود. در این جداسازی، سنجه جداسازی ( $\mu_F$ ) وارد شده که مقدار آن اختیاری بوده و ما مقدار آن را جرم کوارک "سر" در نظر می‌گیریم. بخش اختلالی فرایند که شامل واپاشی کوارک "سر" به بوزون هیگز (یا بوزون W)، کوارک "ته" و گلوئون بوده  $(t \rightarrow b+W^+/H^+(g))$  و

<sup>۸</sup> Fragmentation Function

<sup>۶</sup> Zero-Mass Variable Flavor Number Scheme  
<sup>۷</sup> Factorization Theorem

$$\alpha = 1/137, \sin^2 \theta_W = 0.231$$

در محاسبه  $\alpha_s^{n_f}(\mu_R)$  در مرتبه NLO، معادله (۸) از مرجع [۶] را با  $n_f = 5$  طعم فعال و  $\Lambda_{MS}^{(5)} = 0.231 GeV$  بکار می‌بریم. جرم کوارک "ته" تنها از طریق شرط اولیه روی تابع ترکش غیر اختلاالی وارد مسئله می‌شود.

تابع ترکش غیر اختلاالی، توصیف کننده گذار  $b \rightarrow B$ ، در مرتبه NLO در رهیافت ZM-VFNS از برازش داده‌های بدست آمده از گروه‌های ALEPH، OPAL و SLD برای فرایند نابودی الکترون-پوزیترون به دست آمده است. در این پژوهش ما از فرم "توانی"

$$D_b^B(z, \mu) = N z^\alpha (1-z)^\beta \quad (5)$$

برای تابع ترکش در سنجه اولیه  $\mu_0 = 4.5 GeV$  استفاده می‌کنیم که مطابق با مرجع [۳] ضرایب این تابع عبارتند از:

$$N = 4684.1, \beta = 2.628, \alpha = 16.87$$

برای مطالعه تابع توزیع انرژی هادرون خروجی، کمیت  $d\Gamma/dx_B$  را بر حسب متغیر سنجه  $x_B = 2E_B / (m_t(1-y))$  رسم می‌کنیم که در فرایند  $t \rightarrow BH^+ + X$  متغیر  $y$  به صورت  $y = m_H^2 / m_t^2$  و در فرایند  $t \rightarrow BW^+ + X$  این متغیر به صورت  $y = m_W^2 / m_t^2$  تعریف می‌شود. با توجه به اینکه برای جرم بوزون هیگز و همچنین مقدار  $\tan \beta$  در رابطه (۲) مقدار مشخص و دقیقی وجود ندارد لذا نتایج به شدت تحت تاثیر مقادیر عددی انتخابی برای این پارامترها خواهد بود. در این مقاله فرض کردیم  $\tan \beta = 1$  و  $m_H = 120 GeV$ . به دلیل حضور جرم هادرون خروجی ( $m_B = 5.28 GeV$ )، کمترین مقدار متغیر سنجه  $x_B$  برابر است با  $x_B = 0.12$  اگر فرایند  $t \rightarrow BH^+ + X$  در نظر گرفته شود و برای فرایند  $t \rightarrow BW^+ + X$  این مقدار کمینه برابر است با  $x_B = 0.08$ . این مقادیر در نمودار نشان داده شده‌اند.

نسبت مقادیر چشمداشتی دو عضو ختثای الکتريکی از میدان هیگز-دوگانه می‌باشد. بدین صورت آهنگ واپاشی در تقریب مرتبه اول عبارت است از

$$\Gamma_0 = \frac{m_t^2}{8\sqrt{2}\pi} |V_{tb}|^2 G_F (1 - \frac{m_H^2}{m_t^2})^2 \cot^2 \beta \quad (3)$$

دامنه گذار فرایند  $t \rightarrow b + W^+$  در تقریب بورن به صورت

$$M_0 = -\frac{e|V_{tb}|}{\sqrt{2}\sqrt{\sin^2 \theta_W}} \varepsilon^{*\mu} \bar{u}_b \gamma_\mu (1 - \gamma_5) u_t$$

آن  $\varepsilon^\mu$  بردار قطبش بوزون  $W^+$  است [۵]. در این صورت آهنگ واپاشی در تقریب مرتبه اول عبارت است از

$$\Gamma_0 = \frac{m_t |V_{tb}|^2 \alpha (1-\omega)^2 (1+2\omega)}{16\pi \sin^2 \theta_W}, \quad \omega = \frac{m_W^2}{m_t^2} \quad (4)$$

که  $\alpha$  ثابت جفت شدگی QED است.

جهت محاسبه تابع توزیع انرژی هادرون از رابطه (۱)، نیاز به

محاسبه آهنگ واپاشی دیفرانسیلی برای دو فرایند مذکور می‌باشد)  $(d\Gamma/dx_a(t \rightarrow b + W^+ / H^+))$ . مطابق با تعریف سطح مقطع، کمیت مورد نظر در مرتبه NLO از رابطه زیر به دست می‌آید.

$$d\Gamma^{NLO} = \frac{(2\pi)^4}{2E_t} \frac{d^3 |\vec{P}_b|}{(2\pi)^3 2E_b} \frac{d^3 |\vec{P}_g|}{(2\pi)^3 2E_g} \frac{d^3 |\vec{P}_{H^+/W^+}|}{(2\pi)^3 2E_{H^+/W^+}} \times$$

$$\delta^4(p_t - p_b - p_g - p_{H^+/W^+}) |\bar{M}|^2$$

محاسبات در چار-چوب مرکز جرم کوارک "سر" انجام می-

شود که در آن  $\vec{p}_t = 0$ ، بنابراین  $E_t = m_t$ . در محاسبه فوق باید سهم تصحیحات گلوئون مجازی و حقیقی را در نظر گرفت. جزئیات محاسبه فرایند  $t \rightarrow B + H^+ + X$  در مرجع [۴] و فرایند  $t \rightarrow B + W^+ + X$  در مرجع [۵] آمده است.

## نتایج عددی

در تئوری MSSM جرم بوزون هیگز باردار به شدت وابسته به جرم سایر بوزون‌های هیگز می‌باشد. در این تئوری، جرم بوزون هیگز در محدوده  $m_W < m_H < m_t$  قرار دارد [۱]. جهت انجام محاسبات عددی، مقادیر پارامتر ورودی را از مرجع [۱] به صورت زیر انتخاب می‌کنیم.

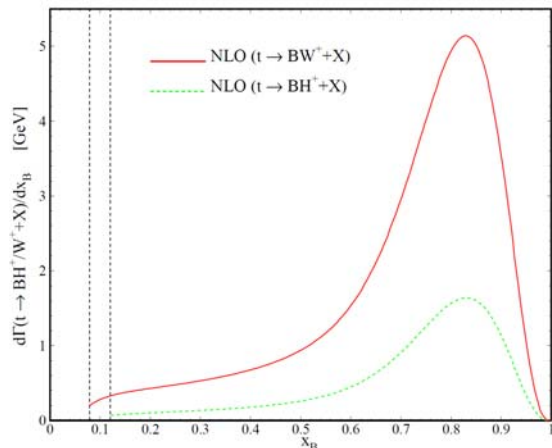
$$m_b = 4.90 GeV, m_t = 172 GeV, m_W = 80.399 GeV,$$

[۳] B. A. Kniehl, G. Kramer, I. Schienbein and H. Spiesberger, *Phys. Rev. D* **77**(2008).

[۴] M. Moosavi Nejad, "B-mesons from top-quark decay in presence of the charged-Higgs boson in the Zero-Mass Variable-Flavor-Number Scheme", arXiv: 1110.1601[hep-ph].

[۵] S. M. Moosavi Nejad, "Bottom-hadron production through top quark decay". DESY-THESIS-2009-017.

[۶] G. Corcella and A. D. Mitov, *Nucl. Phys. B* **623** (2002) 247.



شکل ۱: طیف انرژی هادرون بوجود آمده از واپاشی کوارک "سر". با در نظر گرفتن دو مد واپاشی اصلی در تئوریهای SM و MSSM.

## نتیجه گیری

در تئوری استاندارد مدل، به دلیل آنکه  $|V_{tb}| \approx 1$ ، کوارک "سر" در مد غالب  $t \rightarrow BW^+ + X$  واپاشی می‌کند. در تئوریهای ماورای استاندارد مدل مانند MSSM، کوارک "سر" در مدهای دیگر همچون  $t \rightarrow BH^+ + X$  نیز می‌تواند واپاشی کند. بوزون هیگز باردار تاکنون دیده نشده و تلاش برای یافتن آن همچنان ادامه دارد. برای مطالعه بوزون هیگز باردار، همچنین فیزیک جدید در ماورای تئوری استاندارد مدل در LHC، نیاز به فهم دقیق فرایند واپاشی کوارک "سر" داریم. لذا در این مقاله طیف انرژی هادرون بوجود آمده از دو مد اصلی واپاشی کوارک "سر" در دو تئوری SM و MSSM مطالعه گردید و نشان داده شد که سهم مد واپاشی کوارک "سر" به کوارک b و بوزون W همواره بیشتر است. نتایج حاصله را می‌توان با داده‌هایی که در آینده نزدیک توسط LHC گزارش خواهد شد مقایسه نمود.

## مرجع‌ها

[۱] K. Nakamura *et al.*, (Particle Data Group), *J. Phys. G* **37**, 075021 (2010).

[۲] A. Alia, F. Barreiro and J. Liorente, "Improved sensitivity to charged Higgs searches in Top quark decay  $t \rightarrow bH^+ + b(\tau + \nu_\tau)$  at the LHC using polarization and multivariate techniques", arXiv:1103.1827 [hep-ph].

## جستجو برای ابر تقارن در رویدادهای با دو الکترون هم‌بار در آزمایش CMS

بخشیان، حامد<sup>۱</sup> ۲ - از طرف همکاری سی ام اس

<sup>۱</sup>دانشکده فیزیک دانشگاه صنعتی شریف، خیابان آزادی، تهران

<sup>۲</sup>گروه فیزیک ذرات و شتابگرها - مرکز تحقیقات فیزیک نظری و ریاضیات، لارک، تهران

### چکیده

نتایج جستجو برای فیزیک جدید در رویدادهای با دو الکترون هم‌بار منزوی، جتهای هادرونی و انرژی عرضی گم‌شده نمایش داده شده‌است. برای این مطالعه  $35\text{pb}^{-1}$  از داده‌های برخورد پروتون-پروتون با مرکز جرم  $7\text{TeV}$  که توسط آزمایش CMS در سال ۲۰۱۱ جمع‌آوری شده است استفاده گردیده. تعداد رویدادهای باقی‌مانده پس از پایان مطالعه در توافق کامل با پیش‌بینی‌های نظریه استاندارد ذرات است و هیچ نشانه‌ای از فیزیک جدید هنوز دیده نشده است.

## Search for New Physics with Same-Sign Isolated Dielectron Events at the CMS Experiment

Bakhshian, Hamed<sup>1,2</sup>, on behalf of CMS collaboration

<sup>1</sup> Department of Physics, Sharif University of Technology, Tehran,

<sup>2</sup> School of particle physics and accelerators, IPM, Tehran

### Abstract

The results of searches for new physics in events with two same-sign isolated electrons, hadronic jets, and missing transverse energy in the final state are presented. The searches use an integrated luminosity of  $35\text{pb}^{-1}$  of  $pp$  collision data at a centre-of-mass energy of  $7\text{TeV}$  collected by the CMS experiment at the LHC. The observed numbers of events agree with the standard model predictions, and no evidence for new physics is found.

PACS No. 12

آزمایش CMS یکی از چهار آزمایشی است که برخورد در آنها صورت می‌گیرد. طی سال ۲۰۱۰ CMS توانست حدود  $36\text{pb}^{-1}$  از داده‌های تولید شده توسط LHC را ضبط و تحلیل نماید [۲]. با این میزان از داده، آزمایش CMS توانست دستگاه را اشکال یابی و میزان نماید و همچنین نظریه استاندارد ذرات را باز کشف کند. ناحیه‌های جدیدی از فضای پارامترهای نظریه‌های فراتر از نظریه استاندارد نیز بررسی شدند و هنوز هیچ اثری از آنها دیده نشده است.

### مقدمه

برخورد دهنده بزرگ هادرونی (LHC) پس از گذراندن بیش از ۱۰ سال مراحل طراحی و ساخت، در اواخر سال ۲۰۰۹ میلادی شروع به کار کرد و طی سال ۲۰۱۰ میلادی توانست در حدود  $40\text{pb}^{-1}$  داده از برخورد پروتون تولید کند. انرژی مرکز جرم این پرتوها نصف مقداری است که LHC برای آن طراحی شده و قرار است تا پایان سال ۲۰۱۰ میلادی با همین انرژی  $7\text{TeV}$  به کار خود ادامه دهد. اما درخشندگی (Luminosity) دستگاه در حال افزایش و هم اکنون نزدیک به مقدار اسمی می‌باشد.

این‌صورت که **gluino** در هر شاخه به **squark** و سپس به **chargino** و پس از آن به الکترون و انرژی گم شده واپاشی نماید.

### روش آزمایش

رویدادهای پس زمینه‌ای که ممکن است شرط انتخاب دو الکترون هم بار را بگذرانند، عمدتاً یا از الکترونهاى تقلبى ( Fake Electrons) یا از خطای اندازه‌گیری در بار الکترون ناشی می‌شوند. مثلاً اگر در یک رویداد  $W \rightarrow e + \text{neutrino}$  اگر یکی از جتهایی که به همراه  $W$  تشکیل شده‌اند خود را به شکل یک الکترون منزوی نشان دهد و بتواند تمام شرایط یک الکترون خوب را بگذراند، آنگاه ممکن است ما یک رویداد با دو الکترون هم‌بار داشته باشیم که در اصل یکی از الکترونهاى آن تقلبى می‌باشد. همچنین است اگر در رویداد  $tt$  یکی از جتهای  $b$  یک الکترون منزوی و تمیز از خود تولید کند.

رویدادهای با دو الکترون مختلف‌العلامه مانند  $z \rightarrow ee$  یا  $tt$  هایی که به صورت کاملاً الکترونی واپاشی می‌کنند نیز اگر بار یکی از الکترون‌ها به اشتباه اندازه‌گیری شود، به عنوان پس‌زمینه وارد انتخاب ما می‌شود و برای هرگونه اظهار نظری در مورد ابرتقارن این موارد باید در نظر گرفته شود.

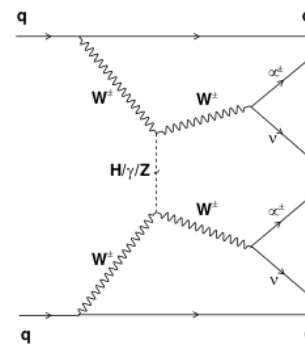
در این مطالعه تمام رویدادهایی که دو الکترون هم‌بار و تعداد کافی جت و همچنین انرژی عرضی گم شده بزرگ دارند انتخاب گردیده و تعدادی که ممکن است از خطاهای اندازه‌گیری منجر شده باشند به روشهای کاملاً مبتنی بر داده (Data Driven Methods) محاسبه شده‌اند. سپس از روی تعداد باقی‌مانده رویدادها در مورد صحت یا عدم صحت ابرتقارن در ناحیه‌ای از فضای فاز متغیرهای این نظریه اظهار نظر گردیده است.

### نتیجه‌گیری

با مطالعه  $35 \text{ pb}^{-1}$  از داده‌های آزمایش CMS که در سال ۲۰۱۰ جمع‌آوری شده است، در مجموع ۳ رویداد با دو الکترون هم بار و انرژی عرضی گم‌شده بیشتر از ۳۰ به همراه دو جت با انرژی عرضی  $30 \text{ GeV}$  تولید شده است. احتمال خطا در اندازه‌گیری بار الکترون با مطالعه رویدادهای  $Z$  با دقت اندازه‌گیری شده و نشان داده شد با از دست دادن ۱۵٪ الکترون‌ها،

نظریه استاندارد ذرات اگرچه توانسته است تقریباً تمام مشاهدات ما از دنیای زیراتمی را توصیف کند ولی دارای مشکلات نظری و نواقصی می‌باشد. از آن جمله می‌توان مشکل سلسله مراتبی، مشکل واگرا بودن برخی از محاسبات مربوط به جرم هیگز و وجود ماده تاریک را نام برد. نظریه ابرتقارن با معرفی کردن یک تقارن جدید و پیچیده بین بوزون‌ها و فرمیون‌ها می‌تواند پاسخ به بسیاری از این پرسش‌ها را بدهد. در صورت صحت این نظریه، ذرات و پارامترهای جدیدی در نظریه به وجود می‌آیند که می‌توان آثار آن‌ها را در برخورد دهنده بزرگ هادرونی جستجو کرد. **Squark** که هم‌تای ابرتقارنی کوارک‌ها می‌باشد و یا **gluino** که هم‌تای ابرتقارنی گلئون می‌باشد از این دسته ذرات محسوب می‌شوند [۳].

آزمایش CMS با مجهز بودن به سیستم ردیاب قوی و گرماسنج الکترومغناطیسی بسیار قوی، می‌تواند الکترون‌های تولید شده از برخورد پروتون-پروتون با انرژی مرکز جرم  $7 \text{ TeV}$  در شتابدهنده LHC را با دقت بالا بازسازی کند. طبق پیش‌بینی نظریه استاندارد ذرات، تنها واکنشی که منجر به تولید دو الکترون هم‌بار از این برخورد می‌شود، تولید دو بوزون  $W$  با بار یکسان و واپاشی الکترونی هر دو می‌باشد. این واکنش طبق نمودار شکل ۱ صورت می‌پذیرد. سطح مقطع این واکنش در حدود  $0.2 \text{ pb}^{-1}$  می‌باشد و با توجه به احتمال واپاشی  $W$  به الکترون، کم بودن تعداد این رویدادها واضح می‌گردد.



شکل ۱: نحوه تشکیل دو الکترون هم بار از برخورد دو پروتون در نظریه استاندارد ذرات

در صورت صحت نظریه ابرتقارن، تشکیل زوج **gluino** منبع نوعی خوبی برای تولید دو الکترون هم‌بار خواهد بود. به

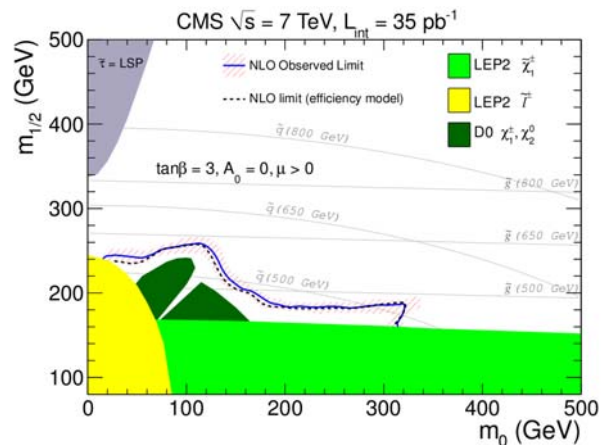
## مرجع‌ها

- [۱] Search for new physics with same-sign isolated dilepton events with jets and missing transverse energy at the LHC, CMS Physics Analysis Summary, CMS-SUS-10-004 ([arXiv:1104.3168](https://arxiv.org/abs/1104.3168)), To be published in Journal of High Energy Physics
- [۲] CMS Collaboration, "The MS experiment at the CERN LHC", JINST 3 (2008) S08004.  
doi:10.1088/1748-0221/3/08/S08004.
- [۳] Stephen P., Martin, A Supersymmetry Primer, hep-ph:9709356.

می‌توان این میزان خطا را به 0.0009 کاهش داد. این بدان معنی است که کمتر از ۵.۰ رویداد از این ۳ رویداد در اثر خطای اندازه‌گیری بار به وجود آمده‌اند.

با جدا سازی نمونه‌ای از رویداد های QCD بوسیله جدا کردن رویدادهای با انرژی عرضی کم شده کم، می‌توان محاسبه کرد که چه مقدار از الکترون‌هایی که شرایط بسیار ساده و ابتدایی را فقط رد می‌کند و از رویداد های QCD منجر شده‌اند شرایط نهایی برای انتخاب الکترون را نیز رد خواهند کرد. به این مقدار نسبت Tight/Loose گفته می‌شود. بوسیله آن تعداد رویداد هایی که به واسطه یک الکترون تقلبی به صورت رویداد با دو الکترون هم‌بار خود را نشان می‌دهند تخمین زده شد و نشان داده شد بیش از ۲ رویداد ممکن است از این قسمت ناشی شده باشد.

این بدان معنی است که در بین رویدادهای با دو الکترون هم‌بار هیچ نشانه‌ای از ابرتقارن هنوز دیده نشده است. با استفاده از این مشاهده می‌توان ناحیه جدیدی از در فضای فاز ابرتقارن را با توجه به مقدار پیش‌بینی تئوری برای سطح مقطع این ناحیه‌ها حذف کرد. نمودار ناحیه حذف شده توسط این مشاهده در مقایسه با نتایج آزمایش‌های پیشین در شکل شماره ۲ نمایش داده شده است.



شکل ۲: ناحیه حذف شده در فضای فاز پارامترهای ابرتقارن با استفاده از نتایج ۲۰۱۰ آزمایش CSM و با استفاده از رویدادهای دو لپتون هم‌بار.

در تمام مراحل، مقدار مشاهده شده در داده‌ها با شبیه‌سازی مقایسه گردید و توافق خوبی مشاهده شد.



## سیاه چاله Horava-Lifshitz به عنوان شتاب دهنده ذرات

صادقی، جعفر

دانشکده علوم پایه، گروه فیزیک دانشگاه مازندران، مازندران، بابلسر

### چکیده

در این مقاله ما انرژی مرکز جرم دو ذره که در نزدیکی سیاه چاله Horava-Lifshitz دورانی و استاتیکی به هم برخورد می‌کنند را محاسبه می‌کنیم. در حالتی که دوران سیاه چاله Horava-Lifshitz نوع KS آهسته باشد، ما جواب‌های خود را می‌توانیم با نتایج به دست آمده در سیاه چاله Kerr مقایسه کنیم. ما برای سیاه چاله استاتیکی مقداری متناهی و برای سیاه چاله دورانی مقداری نامتناهی برای انرژی مرکز جرم به دست می‌آوریم. ما به صورت عددی در مورد وابستگی دمایی انرژی مرکز جرم در افق رویداد سیاه چاله هم بحث خواهیم کرد. ما همچنین یک تکانه زاویه ای بحرانی به دست می‌آوریم که در آن انرژی مرکز جرم دو ذره در نزدیکی سیاه چاله Horava-Lifshitz دورانی می‌تواند مقداری بسیار بزرگ داشته باشد. ما شرایط مناسبی را به دست می‌آوریم که تکانه زاویه ای بحرانی می‌تواند به یک حرکت مداری در خارج از افق سیاه چاله منتهی گردد و سپس انرژی مرکز جرم متناظر با حرکت دایره ای را پیدا خواهیم کرد.

## Particle acceleration in Horava-Lifshitz black holes

Sadeghi, Jafar

Department of Physics, University of Mazandaran, Babolsar

### Abstract

*In this paper we calculate the center-of-mass energy of two colliding test particles near the rotating and non-rotating Horava-Lifshitz black hole. For the case of slowly rotating KS solution of Horava-Lifshitz black hole we compare our results with the case of Kerr black holes. We confirm the limited value of the center-of-mass energy for the static black holes and unlimited value of the center-of-mass energy for the rotating black holes. Numerically, we discuss temperature dependence of the center-of-mass energy on the black hole horizon. We obtain the critical angular momentum of particles. In this limit the center-of-mass energy of two colliding particles in the neighborhood of the rotating Horava-Lifshitz black hole could be arbitrarily high. We found appropriate conditions where the critical angular momentum could have an orbit outside the horizon. Finally, we obtain center-of-mass energy corresponding to this circle orbit.*

## مسأله حل نشده محبوس شدگی رنگ

دلدار، صدیقه

دانشگاه تهران، دانشکده فیزیک

### چکیده

با وجود اینکه نزدیک ۴۰ سال است که عدد کوانتومی رنگ به عنوان یکی از درجات آزادی ذراتی مانند کوارک شناخته شده است؛ ولی مشاهده آزمایشگاهی ذرات رنگی هنوز امکان پذیر نشده است. این حقیقت به همراه شواهد دیگر؛ فیزیکدانان را بر این داشته است که متقاعد شوند که ذرات رنگی محبوس بوده و قابل مشاهده نیستند. با این وجود مکانیزم محبوس کننده رنگ هنوز شناخته نشده است. در این سخنرانی نگاهی به برخی روشهای عددی و مدل‌های پدیده شناختی که تلاش به حل این مسأله دارند خواهیم داشت.

## The unsolved problem of color confinement

Deldar, Sedigheh

Department of Physics, Tehran University, Tehran

### Abstract

*Abstract: Even though, the color has been known as one of the degrees of freedom of particles like quarks for about 40 years, but observation of the colored particles has not been doable experimentally, yet. This fact and some other evidences have convinced physicists that the colored particles are confined and can not be observed in the laboratories. However, the mechanism of color confinement has not been known yet. In this talk, some numerical methods and phenomenological models that try to solve this problem are discussed .*

## اندازه‌گیری مقادیر تصحیحات وارد بر مقیاس انرژی جتها در آزمایش سی.ام.اس با استفاده از اولین برخوردهای پروتونی در شتابدهنده بزرگ هادرونی (ال.اچ.سی)

زینلی، مریم<sup>۱</sup>؛ دانت، یورگن<sup>۲</sup>؛ حقیقت، منصور<sup>۱</sup>

<sup>۱</sup>دانشکده فیزیک، دانشگاه صنعتی اصفهان، اصفهان

<sup>۲</sup>دانشکده فیزیک، دانشگاه آزاد بروکسل، بروکسل

### چکیده

کالیبراسیون دقیق انرژی جت‌ها دارای اهمیت فراوانی است و در کشف فیزیک جدید موثر است. در پراکندگی‌های نیمه الکترونی سیستم تاپ-آنتی تاپ، انرژی جت‌های بازسازی شده در حالت خروجی در محدوده دقت اندازه‌گیری شده شان تغییر می‌کنند تا قیود جرم بوزون  $W$  و کوارک تاپ را برآورده سازند. قیود جرم با استفاده از ابزار برازش کینماتیکی اعمال می‌شوند. این آنالیز روی داده‌های واقعی ناشی از برخورد پروتون-پروتون که توسط آشکارساز سی-ام-اس در سال ۲۰۱۰ میلادی جمع‌آوری شده، اعمال شده و نتایج گزارش شده است. همخوانی خوبی میان پراکندگی‌های شبیه‌سازی شده و داده‌های واقعی دیده می‌شود.

## Measurement of the Jet Energy Scale in the CMS experiment with the First LHC Proton Collisions

Zeinali, Maryam<sup>1</sup>; D'Hondt, Jorgen<sup>2</sup>; Haghghat, Mansour<sup>1</sup>

<sup>1</sup>Department of Physics, Isfahan University of Technology, Isfahan

<sup>2</sup>Department of Physics, Vrije Universiteit Brussel, Brussels

### Abstract

Calibration of jets are important in the studies of new physics. In  $e^+jets$   $t\bar{t}$  events, the reconstructed jets in the final state are constrained to fulfill the mass constraints of both the  $W$  boson and the top quark. Mass constraints are imposed in an event-by-event least square technique by means of Lagrange Multipliers which is referred to as a kinematic fit. The method is applied on the 2010 collision data recorded by the CMS experiment and the results have been reported. Good agreement between simulation and collision data is found.

### مقدمه

ابرتقارن تنها بخشی از سؤالاتی است که ال.اچ.سی به دنبال پاسخی برای آن است. در این میان، مطالعه ویژگی‌های کوارک تاپ به عنوان سنگین‌ترین ذره بنیادی شناخته شده در طبیعت، از اهمیت چشم‌گیری برخوردار است (۲). کوارک تاپ که در سال ۱۹۹۵ میلادی توسط شتاب دهنده تواترون (۳) در آزمایشگاه فرمی واقع در ایالات متحده آمریکا کشف شد، مهر تأییدی دیگر بر پیش‌گویی نظریه مدل استاندارد مبنی بر وجود جفت فرمیونی برای کوارک باتوم بود. بدین ترتیب، کوارک تاپ کشف شد تا تکمیل

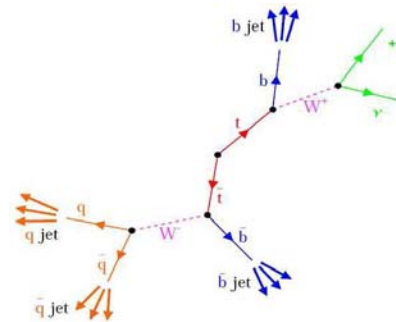
شتاب دهنده ال.اچ.سی (۱) که در نزدیکی شهر ژنو در مرز بین دو کشور سوئیس و فرانسه قرار دارد، هم‌اکنون بزرگ‌ترین برخورددهنده در سطح جهان محسوب می‌شود که قادر است دو بیم پروتونی را با انرژی مرکز جرم چندین ترا الکترون‌ولت به هم بتاباند. جستجو به دنبال ذره هیگز، اندازه‌گیری دقیق جرم کوارک تاپ، تحقیق محدوده صحت تئوری مدل استاندارد با استفاده از تأیید و یا عدم تأیید تئوری‌های فراتر از مدل استاندارد مانند نظریه

ذرات" می‌گویند. در نتیجه این فرآیند، ویژگی‌های اولیه ذرات مانند انرژی، تکانه، بار و جرم اندازه‌گیری می‌شود. در پراکندگی سیستم تاپ - ضد تاپ که در شکل ۱ نمایش داده شد، بخش لپتون به دلیل حضور یک نوترینو به طور کامل بازسازی نمی‌شود در حالی که بخش هادرونی به طور کامل قابل بازسازی است. در نتیجه انتظار می‌رود در بازسازی کوارک تاپ در بخش هادرونی با استفاده از آزمایش سی.ام.اس، بتوان جرم دقیق ذره تاپ منطبق بر مقادیر جهانی را به دست آورد. مشاهده هرگونه انحراف در بازسازی مجدد جرم تاپ در مقایسه با مقدار پذیرفته شده جهانی، می‌تواند بیان‌گر این حقیقت باشد که انرژی و تکانه جت‌هایی که در واپاشی هادرونی کوارک تاپ تولید شده‌اند، نیاز به تصحیح دارند. این رساله، با به کارگیری ابزار "برازش کینماتیکی" (۶) سعی در ارزیابی مقادیر تصحیحات وارد بر مقیاس انرژی جت‌ها دارد.

### ارزیابی مقادیر تصحیحات وارد بر مقیاس انرژی جتها

در ابتدای آنالیز به منظور حذف پراکندگی‌های زمینه، کات‌های انتخاب اعمال می‌شود. پس از اعمال این کات‌ها، نمونه نهایی شامل پراکندگی‌های سیگنال خواهد بود. در هر پراکندگی  $t\bar{t}$ ، جت‌هایی که در حالت خروجی تولید می‌شوند، تمیز ناپذیرند. به منظور برجسب زدن جت‌ها به کوارک‌هایی که در پراکندگی سخت تولید می‌شوند، از ابزار ام-وی-ای استفاده می‌کنیم. در نتیجه، سه جت در حالت خروجی پراکندگی سیگنال، به کوارک‌های ناشی از واپاشی هادرونی کوارک تاپ، یعنی  $t \rightarrow t^h$  و  $\bar{t} \rightarrow \bar{t}^h$  منتسب می‌شوند که در برازش کینماتیکی نیز وارد می‌شوند. دو کوارک سبک  $q$  که از واپاشی بوزون  $W$  می‌آیند، تقاضا می‌شود که معادله جرم ذره بوزون  $W$  را ارضا کنند. همچنین تقاضا می‌شود دو کوارک سبک  $q$  به همراه کوارک سنگین  $b$  معادله جرم کوارک تاپ را برآورده کنند. به دلیل اینکه روی مقادیر اندازه‌گیری شده انرژی جت‌ها همواره عدم قطعیتی وجود دارد، معادلات جرم لزوماً برقرار نمی‌باشند. در برازش کینماتیکی، انرژی جت‌ها در محدوده خطای اندازه‌گیری نظیرشان آنگقدر تغییر می‌کنند تا قیود اعمال شده را تا حد قابل قبولی ارضا کنند. در واقع، خروجی این ابزار، یک عدد است که  $\frac{E_{jet}}{E_{bjet}}$

کننده نسل سوم کوارک‌ها باشد. با استفاده از داده‌های جمع‌آوری شده تا به امروز، جرم کوارک تاپ با دقت نسبتاً خوبی اندازه‌گیری شده است (۴). اگر چه کوارک تاپ هم به صورت منفرد و هم به صورت جفت می‌تواند خلق شود، ولی احتمال تولید یک جفت کوارک تاپ بیشتر است. در محدوده انرژی‌های مرکز جرم به اندازه کافی بالا، این جفت کوارک تاپ اغلب از هم جوشی یک جفت گلوئون به وجود می‌آید. شکل ۱، خلق یک جفت کوارک تاپ در محدوده انرژی ال.اچ.سی را نمایش می‌دهد که بلافاصله، پیش از آنکه هادرونیزه شود، واپاشی می‌کند.



شکل ۱: واپاشی نیمه لپتونی از پراکندگی یک جفت کوارک تاپ.

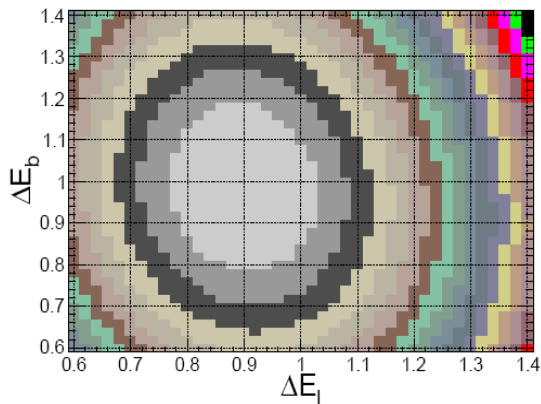
کوارک تاپ تقریباً در ۱۰۰٪ موارد به یک  $W$  و یک کوارک باتوم،  $b$ ، واپاشی می‌کند. کوارک  $b$  بلافاصله هادرونیزه می‌شود و بوزون  $W$  خواه به صورت هادرونی (در ۶۶/۶٪ موارد) یا به صورت لپتونی (در ۳۳/۳٪ موارد) واپاشی می‌کند. شکل ۱ نمایش دهنده واپاشی نیمه لپتونی از پراکندگی یک جفت کوارک تاپ است که در آن یکی از  $W$ ‌ها به صورت هادرونی و  $W$  دیگر به صورت لپتونی واپاشی کرده است. در نتیجه این پراکندگی، آنچه در آشکارساز دیده می‌شود عبارت است از:

- یک لپتون باردار منفرد،
- حداقل چهار جت پرنرژی که دو تا از این جت‌ها از هادرونیزه شدن دو کوارک سنگین  $b$  ناشی می‌شوند،
- مقداری انرژی گم شده به خاطر عدم برهم کنش نوترینوی تولید شده با ماده.

در واقع آشکارسازی ذرات بر اساس برهم کنش آنها با ماده است (۵). ذرات به هنگام عبور از آشکارساز انرژی بر جای می‌گذارند و این انرژی قابل بازیابی است. به این فرآیند "بازسازی

شکل ۲ بر می آید، ماکزیمم احتمال، در جایی غیر از این نقطه مرکزی رخ می دهد که بیانگر این واقعیت است که انرژی جت ها در این پراکندگی نوعی، نیاز به تصحیح دارد

برای هر پراکندگی و در هر نقطه از فضای دو بعدی، برازش کینماتیکی، احتمال درست بودن قیود جرم اعمال شده بر سیستم را باز می گرداند که برای هر اتفاق، ماکزیمم احتمال در جایی در این فضای دو بعدی رخ می دهد. این فضای دو بعدی، در دو راستای تصحیحات وارد بر مقیاس انرژی جت های سبک،  $\Delta E_t$  و تصحیحات وارد بر مقیاس انرژی جت های سنگین،  $\Delta E_b$ ، ساخته می شود. به طور معادل، به جای  $P_{KinFit}(\Delta E_t, \Delta E_b)$ ، می توان توزیع  $\chi^2(\Delta E_t, \Delta E_b)$  را داشت. بنابراین، برای همه پراکندگیهایی که موفق به پاس کردن کاتهای انتخاب گردیده اند؛ توزیع  $\chi^2(\Delta E_t, \Delta E_b)$  مربوطه را با هم جمع می کنیم که در شکل ۳ نمایش داده شده است.



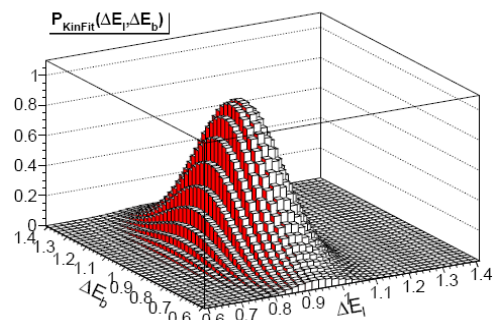
شکل ۳: توزیع  $\chi^2(\Delta E_t, \Delta E_b)$  که از مجموع توزیع  $\chi^2$  همه پراکندگیهای باقی مانده از کاتهای انتخاب به دست آمده است.

نقطه ای که توزیع دو بعدی  $\chi^2(\Delta E_t, \Delta E_b)$  را کمینه می کند، معرف مقادیر ارزیابی تصحیحات به انرژی جت های سبک و سنگین است. بدین منظور کافیتست، نمودار دو بعدی شکل ۳ را در هر یک از دو راستا تصویر کنیم و سپس مقدار کمینه توزیع های یک بعدی بدست آمده را محاسبه کنیم. به جای بیان کردن کمینه این نمودارها بر حسب  $\Delta E_t$  و  $\Delta E_b$ ، می توان تصحیحات  $\Delta s_t$  و  $\Delta s_b$  را معرفی کرد که به صورت زیر به هم مربوط می شوند

$$\begin{aligned}\Delta E_t &= 1 + \Delta s_t; \\ \Delta E_b &= 1 + \Delta s_b;\end{aligned}$$

نامیده می شود و تعبیر احتمالاتی دارد. این خروجی بیانگر این واقعیت است که با چه احتمالی فرضیه نشات گرفتن سه جت بازسازی شده در حالت خروجی پراکندگی  $t\bar{t}$  از کوآرک تاپ، و ناشی شدن دو جت از سه جت بازسازی شده در حالت خروجی پراکندگی  $t\bar{t}$  از بوزون W، درست است. به طور معادل، می توان خروجی ابزار برازش کینماتیکی را کمیت  $\chi^2$  دانست که مقادیر کوچک این کمیت، این تعبیر را خواهد داشت که قیود جرم با تقریب خیلی خوبی برآورده شده اند.

به منظور تخمین مقادیر تصحیحات به مقیاس انرژی جت ها، در هر پراکندگی  $t\bar{t}$ ، هر یک از چهار-بردارهای مربوط به جت های بازسازی شده در بخش هادرونی، در ضریب  $\Delta E$  که در بازه ۶۰٪ تا ۱۴۰٪ تغییر می کند، ضرب می شود. این تغییرات در گام های ۲٪ اجرا می شود، به این معنا که انرژی یک جت نوعی که برابر ۱۰۰ گیگا الکترون-ولت اندازه گیری شده است، در بازه ۶۰ تا ۱۴۰ گیگا الکترون-ولت با فواصل ۲ گیگا الکترون-ولت تغییر می کند. در هر یک از این گام ها، برازش کینماتیکی اعمال می شود و  $P_{KinFit}(\Delta E)$  در آن نقطه محاسبه می شود. با توجه به اینکه، در بخش هادرونی واپاشی نیمه الکترونی پراکندگی  $t\bar{t}$  جت های با طعم کوآرک متفاوت وجود دارد، بنابراین، برازش کینماتیکی در یک فضای دو بعدی که از ضرایب تصحیح  $\Delta E_t$  و  $\Delta E_b$  ساخته می شوند، اجرا می شوند. خروجی این برازش در این فضای دو بعدی،  $P_{KinFit}(\Delta E_t, \Delta E_b)$  است که برای یک پراکندگی  $t\bar{t}$  نوعی در شکل ۲ نشان داده شده است.



شکل ۴: توزیع  $P_{KinFit}(\Delta E_t, \Delta E_b)$  برای یک پراکندگی  $t\bar{t}$  نوعی. نقطه با مختصات  $(\Delta E_t = 1, \Delta E_b = 1)$ ، جایی است که هیچ تصحیحی به انرژی جت ها اعمال نشده است. همانطور که از

اعمال کردن روش معرفی شده روی داده های واقعی ناشی از برخورد بیم های پروتونی با انرژی مرکز جرم هفت ترا الکترون-ولت، که توسط سی-ام-اس در سال ۲۰۱۰ میلادی جمع آوری شده است، مقادیر ارزیابی شده در جدول ۱ جمع آوری شده است

جدول ۱: نتایج نهایی تخمین زده شده روی مقادیر تصحیحات وارد بر مقیاس انرژی جت ها توسط روش برازش کینماتیکی

جدول ۱: نتایج نهایی تخمین زده شده روی مقادیر تصحیحات وارد بر مقیاس انرژی جت ها توسط روش برازش کینماتیکی

جدول ۱: نتایج نهایی تخمین زده شده روی مقادیر تصحیحات وارد بر مقیاس انرژی جت ها توسط روش برازش کینماتیکی

	simulation	data
$\Delta\epsilon_l^{est}(\%)$	$-8.5 \pm 2.4(stat.) \pm 0.9(sys.)$	$-8.6 \pm 2.7(stat.)$
$\Delta\epsilon_b^{est}(\%)$	$-3.2 \pm 3.5(stat.) \pm 1.0(sys.)$	$-5.0 \pm 3.9(stat.)$

آنچه که از جدول ۱ بر می آید، تطابق و همخوانی قابل توجه نتایج ارزیابی شده توسط ابزار برازش کینماتیکی در محدوده عدم قطعیت ذکر شده است. بنابراین می توان نتیجه گرفت که پراکندگی های شبیه سازی شده به خوبی داده های واقعی را توصیف می کنند و ابزار معرفی شده به خوبی مقادیر تصحیحات را برآورد می کند.

## مرجع ها

- [۱] O. S. Bruning, P. Collier, P. Lebrun, S. Myers, R. Ostojic, J. Poole, and P. Proudlock. *LHC Design Report*. Geneva : CERN, 2004.
- [۲] M. Beneke, et al. Top Quark Physics. [Online] 2000. hep-ph/0003033.
- [۳] [Online] <http://www-bdnew.fnal.gov/tevatron/>. The Tevatron Collider.
- [۴] T. E. W. Group, CDF, and D. Collaborations. *Combination of CDF and DO results on the mass of the top quark using up to 5.8 fb<sup>-1</sup> of data*. 1107.5255.
- [۵] Virdee, T. S. *Calorimetry*. Geneva : CERN, 1999. oai:cds.cern.ch:529421.
6. J. D'Hondt, S. Lowette, et al. *Fitting of Event Topologies with External Kinematic Constraints in CMS*. CMS Note-2006/023.

## خلاصه و نتیجه گیری

جت ها در حالت خروجی بسیاری از پراکندگیها ظاهر می شوند و بنابراین تعیین انرژی دقیق آنها می تواند در کشف فیزیک جدید موثر باشد. در این آنالیز، انرژی جت ها با استفاده از قیود جرم بوزون W و کوارک تاپ که تا دقت بسیار زیادی در دیگر آزمایشگاه های ذرات بنیادی تعیین شده اند، تصحیح می شوند. پراکندگی های  $tt \rightarrow bbWW \rightarrow bbqqe\nu_e \rightarrow e+jets$  که در آن یک جفت کوارک تاپ از برخورد دو بیم پروتونی خلق می شوند و در محصولات واپاشی دارای یک الکترون منزوی و حداقل چهار جت بازسازی شده می باشند، در نظر گرفته می شوند. بخش هادرونی پراکندگی  $tt \rightarrow e+jets$  که در آن بوزون W به صورت هادرونی واپاشی می کند؛ کاملاً قابل بازسازی است در حالیکه بخش لپتونی این برهمکنش، به دلیل حضور نوترینو، قابل بازسازی نیست. بنابراین، با اندازه گیری انرژی جت های بازسازی شده در بخش هادرونی پراکندگیهای سیگنال،  $t\bar{t} \rightarrow W^+b^0 \rightarrow qq^0b^0$ ، و با

# نابودی ماده تاریک فرمیونی تکتایی به دو فوتون

اتفاقی، محمد مهدی؛ معظمی، رضا

گروه فیزیک دانشگاه قم، جاده‌ی قدیم اصفهان، قم

## چکیده

آشکار سازی پرتوهای کیهانی، به ویژه پرتو گاما، که بر اثر نابودی یا واپاشی ماده‌ی تاریک ایجاد می‌شود، می‌تواند روشی برای کنکاش در مورد ماهیت ماده‌ی تاریک باشد. در این مقاله ما یک تعمیم از مدل استاندارد که علاوه بر ذرات معمول، شامل یک فرمیون تکتایی و یک اسکالر تکتایی نیز می‌شود، در نظر می‌گیریم. در این مدل فرمیون تکتایی به عنوان ماده‌ی تاریک و ذره‌ی اسکالر تکتایی به عنوان هیگز در نظر گرفته می‌شود. متوسط گرمایی سطح مقطع نابودی ماده تاریک به دو فوتون در این چارچوب محاسبه خواهد شد. همچنین در ادامه شار قابل پیش بینی توسط این مدل را به دست خواهیم آورد.

## Annihilation of singlet fermionic dark matter into two photons

Ettefaghi, Mohammad Mehdi; Moazemmi, Reza

Department of Physics, University of Qom, Qom

### Abstract

*Detecting the cosmic ray, in particular gamma ray, coming from the dark matter annihilation or decay is an indirect way to survey the nature of the dark matter. We consider an extension of the standard model in which a singlet fermionic particle, to serve as cold dark matter, and a singlet Higgs are added. We compute the thermally averaged pair annihilation cross section of singlet fermionic dark matters into two photons in this framework.*

PACS No. (11 Times New Roman, italic)

فوتون دارای اهمیت ویژه‌ای هستند زیرا این ذرات اطلاعات مربوط به منبع‌شان را در طی انتشار از دست نمی‌دهند. اما کوچک بودن سطح مقطع پراکندگی نوترینوها آشکار سازی آنها را مشکل می‌سازد. بنابراین فوتون‌ها مهم‌ترین ذراتی هستند که در راستای شناسایی ماده تاریک برای آشکار سازی آنها تلاش شده است. تلاش‌هایی هم برای نسبت دادن بعضی از خطوط شناخته شده از قبیل خط مشهور به 511 KeV به ماده تاریک نیز صورت گرفته است. اما این گونه تحلیل‌ها به طور کامل با بقیه آزمایش‌ها سازگار نبوده است [۳]. ولی جدا از این نوع

### مقدمه

با وجود این که بسیاری از داده‌های رصدی وجود ماده‌ی تاریک را پیش بینی می‌کند، تاکنون ماهیت این کسر عمده‌ی ماده‌ی تشکیل دهنده‌ی عالم ناشناخته باقی مانده است (برای مرور در این زمینه می‌توان به مراجع [۱] و [۲] مراجعه کرد). تلاش‌هایی که در راستای شناختن ماده‌ی تاریک صورت می‌گیرد را می‌توان در سه گروه عمده دسته‌بندی کرد: ۱- ایجاد ماده تاریک در شتاب دهنده‌ها ۲- آشکار سازی مستقیم ماده تاریک ۳- آشکار سازی ذرات ناشی از نابودی ماده تاریک. از بین ذراتی که از نابودی ماده تاریک ایجاد می‌شوند، نوترینو و

مطالعات بررسی شار فوتونی ماده تاریک همواره مورد توجه بوده است.

مدل استاندارد ذرات بنیادی با آزمایش‌هایی که تاکنون در راستای بررسی این مدل صورت گرفته است کاملاً سازگار بوده است. اما برخی پدیده‌ها در فیزیک، مثل ماده تاریک با مدل استاندارد قابل توضیح نیست. از این رو نیاز به یک مدل فرای مدل استاندارد احساس می‌شود. شتاب دهنده‌های نسل اخیر (مثل LHC) روشن خواهد کرد چه فیزیکی فرای مدل استاندارد حاکم خواهد بود. ولی در حال حاضر در غیاب این آگاهی مدل‌های متنوعی فرای مدل استاندارد به وجود آمده است. هدف اکثر این مدل‌ها توضیح پدیده‌هایی همچون ماده تاریک، نوسان نوترینو و غیره می‌باشد. چیزی که بین همه‌ی این مدل‌ها مشترک است وجود درجات آزادی اضافی نسبت به مدل استاندارد است. اما هیچ درجه اضافی نسبت به مدل استاندارد تا کنون تایید آزمایشگاهی نداشته است. بنابراین شاید معقول‌تر باشد که کمینه‌ترین تعمیم بر مدل استاندارد را برای توضیح ناسازگازی‌ها انتخاب کنیم. از این رو برای توضیح ماده تاریک، به عنوان مثال، می‌توان تنها یک فرمیون جرم دار که تحت گروه تقارن مدل استاندارد در حالت تکتابی است، در نظر گرفت. برهمکنش این ذرات جدید با مدل استاندارد می‌تواند یا از طریق اضافه کردن جملات با بُعد بیشتر از چهار به لاگرانژی [۴] و یا، اگر بخواهیم بازه‌نچار پذیری نظریه را از دست ندهیم، از طریق اضافه کردن یک هیگز اسکالر [۵] توضیح داده شود. در این مقاله ما قصد داریم نابودی ماده تاریک به دو فوتون را در غالب مدل دوم بررسی کنیم.

### ماده تاریک فرمیونی تکتابی

یک ذره فرمیون،  $\psi$ ، که تحت گروه تقارنی مدل استاندارد بدون بار و یا اصطلاحاً در حالت تکتابی است را در نظر می‌گیریم. از این رو این ذره بدون عدد لپتونی و عدد باریونی خواهد بود. علاوه بر این یک ذره اسکالر،  $S$ ، که آن هم تحت گروه مدل استاندارد در حالت تکتابی است، نیز در نظر

می‌گیریم. یک برهمکنش یوکاوا بین این دو ذره به صورت زیر می‌توان نوشت:

$$L_{int} = -g_s \bar{\psi} \psi S. \quad (۱)$$

این ذره اسکالر علاوه بر برهمکنش بالا، می‌تواند با هیگز مدل استاندارد نیز برهمکنش داشته باشد

$$L_{SH} = -\lambda_1 H^\dagger H S - \lambda_2 H^\dagger H S^2, \quad (۲)$$

که در اینجا  $H$  هیگز مدل استاندارد است. بنابراین از این طریق جفت شدگی این بخش تکتابی با ذرات مدل استاندارد رخ می‌دهد. حال این دو جمله را به همراه دو جمله‌ی

$$L_\psi = \bar{\psi} (i \partial_\mu \gamma^\mu - m) \psi, \quad (۳)$$

$$L_S = \frac{1}{2} \partial^\mu S \partial_\mu S - \frac{m_0^2}{2} S^2 - \frac{\lambda_3}{3!} S^3 - \frac{\lambda_4}{4!} S^4, \quad (۴)$$

به لاگرانژی مدل استاندارد اضافه می‌کنیم. کمینه کردن پتانسیل کل (یعنی پتانسیل هیگز معمول مدل استاندارد و اسکالر جدید) منجر به مقدار انتظاری خلا

$$\langle H \rangle = \frac{1}{\sqrt{2}} \begin{pmatrix} 0 \\ v_0 \end{pmatrix}, \quad (۵)$$

برای هیگز مدل استاندارد و مقدار انتظاری خلا  $x_0$  برای  $S$  می‌شود. پارامترهای  $v_0$  و  $x_0$  با استفاده از روابط زیر بر حسب پارامترهای استفاده شده در (۴) و  $\mu$  و  $\lambda_0$  که در پتانسیل هیگز مدل استاندارد به صورت

$$-\mu^2 H^\dagger H + \lambda_0 (H^\dagger H)^2$$

$$\mu^2 = \lambda_0 v_0^2 + (\lambda_1 + \lambda_2 x_0) x_0, \quad (۶)$$

$$m_0^2 = -\frac{\lambda_3}{2} x_0 - \frac{\lambda_4}{6} x_0^2 - \frac{\lambda_1 v_0^2}{2x_0} - \lambda_2 x_0^2. \quad (۷)$$

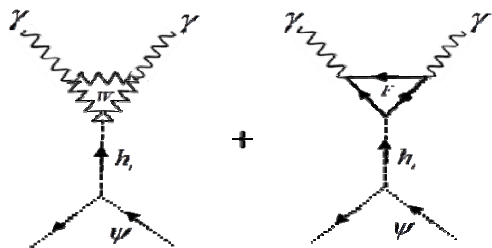
از آن جایی که در کمینه‌ی پتانسیل میدان‌های  $H$  و  $S$  دارای مقادیر غیر صفر هستند، لاگرانژی را بر حسب میدان‌های  $h$  و  $S$  که به ترتیب به صورت افت‌وخیز حول مقادیر  $v_0$  و  $x_0$  تعریف می‌شوند، می‌نویسیم.  $h$  و  $S$  ویژه حالت جرم نیستند. در این پایه عناصر ماتریس جرم به صورت

$$\mu_h^2 \equiv \left. \frac{\partial^2 \mathcal{V}}{\partial h^2} \right|_{h=S=0} = 2\lambda_0 v_0^2, \quad (۸)$$



جرم‌اند حاصل ضرب سطح مقطع نابودی زوج ماده تاریک در سرعت نسبی آنها را می‌توان به شکل زیر نوشت

$$\sigma v = \frac{1}{8\pi s} \frac{1}{4} \sum_{\text{spins}} |M_{\bar{\psi}\psi \rightarrow \gamma\gamma}|^2, \quad (13)$$



شکل ۱ نمودارهای فاینمن برای نابودی زوج ماده تارک به دو فوتون.

$$M_{\bar{\psi}\psi \rightarrow \gamma\gamma} = \sum_{i=1,2} \bar{v}^{r'}(p)(ig_s S_i \theta) u^r(p) \times \frac{i}{s - m_{h_i}^2 - im_{h_i} \Gamma_i} M_{h_i \rightarrow \gamma\gamma}.$$

که در آن  $\sqrt{s}$  انرژی مرکز جرم است و (14)

در رابطه بالا  $S_1 \theta = \sin \theta$  و  $S_2 \theta = \cos \theta$  و  $M_{h_i \rightarrow \gamma\gamma}$  دامنه واپاشی یکی از هیگزها به دو فوتون را نشان می‌دهد و

$$\Gamma_i = \Gamma_{h_i} + \Gamma_{SM}$$

مجموع

$$\Gamma_{h_i} = \lambda_2^2 \frac{v^2}{8\pi m_{h_i}} \sqrt{1 - \frac{4m_{h_c}^2}{m_{h_i}^2}}$$

سنگین‌تر به هیگز سبکتر (به شرط اینکه  $m_{h_i} > 2m_{h_c}$ )، و

$$M_{h_i \rightarrow \gamma\gamma} = \frac{\sqrt{1 - S_i \theta^2} \alpha g s}{8\pi M_W} [3(\frac{2}{3})^2 F_t + F_W],$$

$\Gamma_{SM}$  آهنگ واپاشی به ذرات مدل استاندارد می‌باشد.

$M_{h_i \rightarrow \gamma\gamma}$  را نیز می‌توان به صورت زیر نوشت [6,7]

$$(15)$$

که در آن  $F_t$  و  $F_W$  به این صورت تعریف می‌شوند:

$$F_t = -2\tau[1 + (1 - \tau)f(\tau)], \quad (16)$$

$$F_W = 2 + 3\tau + 3\tau(2 - \tau)f(\tau), \quad (17)$$

$$\mu_s^2 \equiv \frac{\partial^2 V}{\partial s^2} \Big|_{h=s=0} = \frac{\lambda_3}{2} x_0 + \frac{\lambda_4}{6} x_0^2 - \frac{\lambda_1 v_0^2}{2x_0}, \quad (9)$$

$$\mu_{hs}^2 \equiv \frac{\partial^2 V}{\partial s \partial h} \Big|_{h=s=0} = (\lambda_1 + 2\lambda_2 x_0) v_0, \quad (10)$$

می‌شوند. اما می‌توان ماتریس جرم را با تبدیل زیر قطری کرد:

$$h_1 = \sin \theta s + \cos \theta h,$$

$$h_2 = \cos \theta s - \sin \theta h, \quad (11)$$

که  $\theta$  به صورت

$$\tan \theta = \frac{y}{1 + \sqrt{1 + y^2}}, \quad (12)$$

با  $y \equiv \frac{2\mu_{hs}^2}{\mu_h^2 - \mu_s^2}$  تعریف می‌شود. با توجه به این که  $\theta$  باید

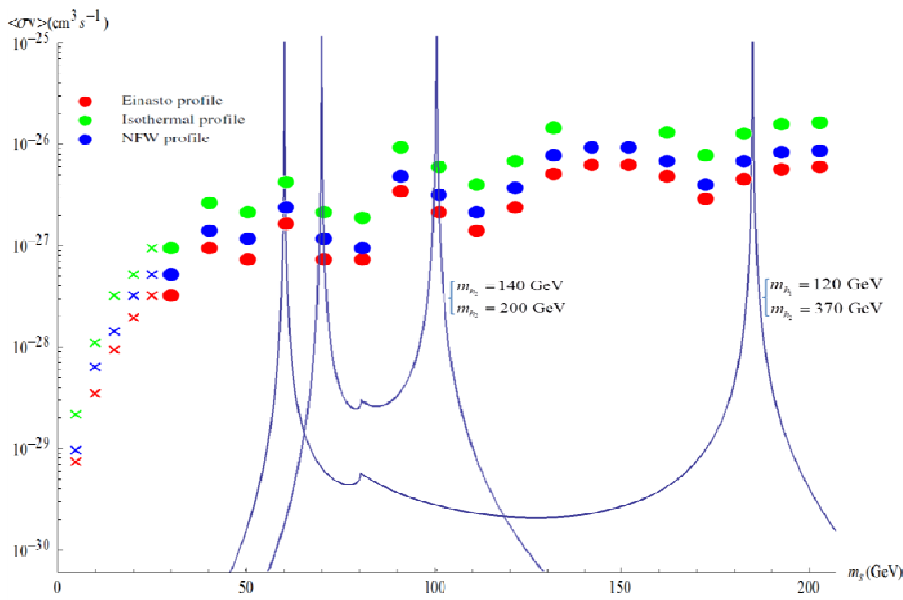
بسیار کوچک باشد، در واقع  $h_1$  می‌تواند همان هیگز مدل استاندارد باشد.

این تعمیم بسیار ساده مدل استاندارد قابلیت توضیح ماده تاریک را دارد. در واقع اگر فرض شود فرمیون تکتایی جرمی از مرتبه-ی چند ده GeV تا چند صد GeV داشته باشد با استفاده از همین جفت شدگی بسیار کوچک با ذرات مدل استاندارد، می‌توان تولید آنها را به طور گرمایی در عالم اولیه، به نحوی که قید فراوانی کنونی ماده تاریک را برآورده کند، توضیح داد [5].

### سطح مقطع نابودی زوج ماده تاریک به دو فوتون

اکنون با توجه به مدلی که در بخش قبل توضیح داده شد می‌توان سطح مقطع نابودی زوج ماده تاریک به دو فوتون را محاسبه نمود.

هر چند که ماده تاریک ما نمی‌تواند مستقیماً به ذرات مدل استاندارد نابود شود اما از راه ذره واسطه هیگز در کانال- $s$  بطور غیر مستقیم می‌تواند به ذرات مدل استاندارد برود. در این حالت ذرات نهایی غالب می‌توانند  $t\bar{t}$ ،  $b\bar{b}$ ،  $W^+W^-$  و  $ZZ$  باشند. از این چهار حالت، سه تای اول با فوتون جفت‌شدگی دارند. شکل ۱ نمودارهای فاینمن برای نابودی زوج ماده تاریک به دو فوتون را نشان می‌دهد. از آنجا که ذرات نهایی بدون



شکل ۲: نمودار سطح مقطع نابودی زوج ماده تاریک برای دو مقدار متفاوت جرم هیگزها، بر حسب جرم ماده تاریک. نقاط رنگی حدهای فرمی-ت را برای پروفایل‌های مختلف ماده تاریک نشان می‌دهد.

و  $\tau = 4m_i$  که  $i = W, t$  و همچنین

$$f(\tau) = \begin{cases} \left(\sin^{-1} \sqrt{1/\tau}\right)^2, & \tau \geq 1 \text{ اگر} \\ -\frac{1}{4} \left( \ln \frac{1+\sqrt{1-\tau}}{1-\sqrt{1-\tau}} - i\pi \right), & \tau < 1 \text{ اگر} \end{cases}$$

(۱۸)

در نتیجه خواهیم داشت

$$\frac{1}{4} \sum_{r,r'} |M_{\bar{\nu}\nu \rightarrow \gamma\gamma}|^2 = \frac{1}{4} g_s^2 (s - 4m^2) \left( \frac{|M_{h_1 \rightarrow \gamma\gamma}|^2 \sin^2 \theta}{(m_{h_1}^2 - s)^2 + m_{h_1}^2 \Gamma_1^2} + \frac{|M_{h_2 \rightarrow \gamma\gamma}|^2 \cos^2 \theta}{(m_{h_2}^2 - s)^2 + m_{h_2}^2 \Gamma_2^2} + \frac{(s - m_{h_1}^2)(s - m_{h_2}^2) + |M_{h_1 \rightarrow \gamma\gamma}| |M_{h_2 \rightarrow \gamma\gamma}|}{[(m_{h_1}^2 - s)^2 + m_{h_1}^2 \Gamma_1^2][(m_{h_2}^2 - s)^2 + m_{h_2}^2 \Gamma_2^2]} \sin \theta \cos \theta (M_{h_1 \rightarrow \gamma\gamma}^* M_{h_2 \rightarrow \gamma\gamma} + M_{h_2 \rightarrow \gamma\gamma}^* M_{h_1 \rightarrow \gamma\gamma}) \right),$$

(۱۹)

که در آن  $x_F = m/T_F$  و  $T_F$  دمای هنگام انجماد

(freeze out) ماده تاریک است.  $T_F$  را می‌توان با

روش تکرار محاسبه عبارت زیر، بدست آورد

$$x_F = \ln \left( \frac{m}{2\pi^3} \sqrt{\frac{45 M_{\text{pl}}}{2g_* x_F}} \langle\sigma v\rangle \right). \quad (۲)$$

در معادله فوق  $M_{\text{pl}} = 1.22 \times 10^{19}$  (GeV) جرم پلانک

و  $g_* = 90$  [8] می‌باشد. در مساله ما  $a = 0$  و  $b$  با

مشتق‌گیری از  $\sigma v$  نسبت به  $s$  و مقدار یابی آن در

$s = 4m^2$  به دست می‌آید، که مقدار آن غیر صفر می‌باشد.

اکنون با داشتن سطح مقطع نابودی می‌توانیم میانگین

گرمایی حاصل ضرب سطح مقطع در سرعت نسبی،

$\langle\sigma v\rangle$ ، را محاسبه نماییم. برای یک گاز غیر نسبیتی،

به جز نواحی‌ای که  $\langle\sigma v\rangle$  تغییرات شدید دارد، مثلاً در

آستانه‌های تولید هیگز، می‌توان  $\langle\sigma v\rangle$  را بر حسب

بصورت زیر بسط داد

$$\langle\sigma v\rangle = a + bx_F^{-1} + cx_F^{-2} + \dots, \quad (۱)$$

- [4] Y. G. Kim and K.Y. Lee, Phys. Rev. D 75, 115012 (2007).
- [5] K.Y. Lee, Y. G. Kim, and S. Shin, J. High Energy Phys.05, 100 (2008).
- [6] M. A. Shifman, A. I. Vainshtein, M. B. Voloshin et al., Sov. J. Nucl. Phys. 30, 711 (1979).
- [7] J. F. Gunion, G. L. Kane, H. E. Haber, and S. Dawson, The Higgs Hunter's Guide (Addison-Wesley, Reading, MA, 1990).
- [8] E.W. Kolb and M.S. Turner, The Early Universe (Addison Wesley, New York, 1990)
- [9] S. Profumo, L. Ubaldi, and C. Wainwright, Phys. Rev. D 82, 123514 (2010).
- [10] A. A. Abdo et al. (The Fermi LAT Collaboration), Phys. Rev. Lett. 102, 181101 (2009).
- [11] C.E. Yaguna, JCAP 0903, 003 (2009)

با توجه به اینکه ماده تاریک مساله ما کم انرژی می باشد از جملات مرتبه بالاتر  $x_F^{-1}$  صرف نظر می کنیم. ما نمودار  $\langle\sigma v\rangle$  را بر حسب جرم ماده تاریک،  $m$ ، برای دو حالت متفاوت در شکل ۲ کشیده ایم. حالت اول هنگامی است که جرم هیگزها 120 GeV و 380 GeV باشد و در حالت دوم جرم هیگزها را 140 GeV و 200 GeV گرفته ایم.

حدهای تجربی نیز برای سه پروفایل مختلف ماده تاریک [9] بر روی نمودار آورده شده است. این داده ها حد هایی است که Fermi-LAT collaboration روی  $\langle\sigma v\rangle$  گذاشته است [10]. همانطور که دیده می شود نموداری که ما با این مدل به دست آورده ایم همواره کمتر از حدهای تجربی می باشد به جز در نواحی که تشدید روی می دهد.

### نتیجه گیری

فراوانی یادگاری ماده تاریک با این انگیزه که درجات آزادی کمتری به مدل استاندارد اضافه شود، را می توان با افزودن یک فرمیون تکتایی به عنوان ماده تاریک و یک هیگز تکتایی به مدل استاندارد، توضیح داد. در این مقاله با استفاده از این مدل متوسط گرمایی حاصل ضرب سطح مقطع نابودی دو ماده تارک در سرعت نسبی آنها،  $\langle\sigma v\rangle$ ، محاسبه شده است. نمودار ۲ نشان می دهد که این مقدار در بسیاری از نواحی کمتر از حدهای تجربی Lat Fermi- می باشد. هرچند که با توجه به این نتایج نمی توان فوتون های ناشی از این ماده تاریک را با دقت های کنونی آشکارسازی نمود اما این نتایج نشان می دهد که ماده تاریک با این مدل قابل توضیح و تفسیر است.

### مرجع ها

- [1] G. Jungman, M. Kamionkowski, and K. Griets, Phys. Rep. 267, 195 (1996).
- [2] Bertone, D. Hooper, and J. Silk, Phys. Rep. 405, 279 (2005).
- [3] G. Bertone, Astrophys. Space Sci., 309, 505 (2007) [arXiv: astro-ph/0608706].

# پوسترها

## محاسبه تابع ترکش کوآرک‌های سنگین

موسوی نژاد، سید محمد<sup>1,2</sup>؛ آرمات<sup>1</sup>، آیدا<sup>1</sup>دانشکده فیزیک دانشگاه یزد، صفائیه، یزد<sup>2</sup>پژوهشگاه علوم بنیادی (IPM)، تهران

## چکیده

تبدیل کوآرک‌ها و گلوئون‌ها به هادرون خروجی از مسائل مورد توجه فیزیک ذرات بنیادی است. فرایندی که تبدیل پارتون‌ها به هادرون را توصیف می‌کند با تابع ترکش بیان می‌شود. تابع ترکش جهانی بوده و شکل تحلیلی آن در هر مقیاس، به کمک داده‌های آزمایشگاهی استخراج شده از فرایند نابودی الکترون و پوزیترون بدست می‌آید. در این مقاله طریقه بدست آوردن توابع ترکش کوآرک‌های سنگین معرفی شده است.

## Calculation of the Heavy Quarks Fragmentation Function

Moosavi Nejad, Seyed mohammad<sup>1,2</sup>; Aida Armat<sup>1</sup><sup>1</sup>Department of Physics, University of Yazd, Yazd,<sup>2</sup>School of particles and accelerators, Institute for research in fundamental science (IPM), Tehran

## Abstract

One of the interesting object in Particle Physics is to understand how quarks and gluons fragment to outgoing Hadrons. This process describes by fragmentation function. This function is universal and it's analytical form in the initial scale extract by data obtained from  $e^-e^+$  annihilation. In this article we introduce the approach to obtain the fragmentation functions of heavy quarks to hadrons

PACS NO. 13

$$\sum_q \int_{x_{H,\min}}^1 \left( D_q^H(x_H, Q^2) + D_{\bar{q}}^H(x_H, Q^2) \right) dx_H = n_H$$

مقدمه

فرمول بالا بیانگر پایستگی احتمال است و  $n_H$  متوسط هادرونهای

$$x_{H,\min} = \frac{2m_H}{Q}$$

و رابطه زیر از پایستگی انرژی نتیجه شده است:

$$\sum_{H, H_0} \int_0^1 dx_H x_H D_q^H(x_H, Q^2) = 1$$

## محاسبه تابع ترکش

دو روش برای محاسبه تابع ترکش وجود دارد که عبارتند از:

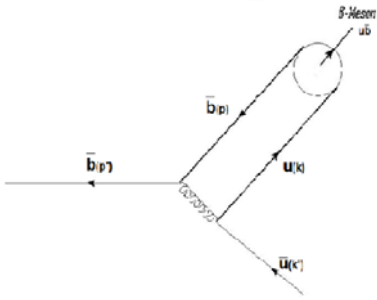
روش تجربی و روش تئوری. این دو روش تابع ترکش را در

دینامیک کوانتومی رنگ نظریه ای پایدار از لحاظ ریاضی است که توصیف کننده برهم کنش ذرات دارای رنگ می باشد. در این نظریه به فرایند تبدیل کوآرک‌ها و گلوئون‌ها به هادرون نهایی را هادرونی شدن می گویند. این قسمت از فرایند توسط تابعی به نام تابع ترکش توصیف می شود. توابع ترکش، توابعی بدون بعد هستند و توصیف کننده بخش غیر اختلالی یک فرایند می باشد. در حقیقت این توابع چگالی احتمال تولید هادرون از پارتون را بیان می کنند.  $D_j^H(z, \mu)$  نماد تابع ترکش است، که در آن  $z$  پارتون و  $H$  هادرون خروجی است،  $Z$  پارامتر ترکش است که به صورت  $Z = (E_H/E_j)$  تعریف می شود، و  $\mu$  مقیاس تولید هادرون می باشد. شرایط حاکم بر تابع ترکش به صورت زیر می باشد:

شامل ضریب ویلسون  $\frac{d\bar{\sigma}}{d\mathbf{x}_j}$  است. تا مرتبه NLO در QCD قابل محاسبه است.

### روش تئوری

در این روش دیاگرام فایمن را پایین ترین مرتبه اختلال در نظر گرفته می شود سپس با کمک رابطه ریاضی زیر می توان تابع ترکش را محاسبه کرد. به عنوان مثال دیاگرام فایمن در پایین ترین مرتبه اختلال برای ترکش پاد کوارک  $\bar{b}$  به مزون  $B^+$  در شکل زیر نشان داده شده است.



شکل ۱. دیاگرام فایمن ترکش پاد کوارک  $\bar{b}$  به مزون  $B^+$

$$D(x, \mu_0) = \int d^3 p d^3 k d^3 k' |T|^2 \delta^3(\vec{p} + \vec{k} + \vec{k}' - \vec{p}') \quad (5)$$

T دامنه پراکندگی است به صورت زیر تعریف می شود:

$$T = \frac{2\pi M m c_f \alpha_s}{\sqrt{2k_0 p_0 p'_0 k'_0} (p'_0 - k'_0 + k_0 + p_0)(k'_0 + k)} \Gamma \quad (6)$$

M جرم پادکوارک  $\bar{b}$  و m جرم کوارک سبک u و z پارامتر ترکش می باشند.  $\mu_0$  مقیاس ترکش است و از نظر عددی برابر حداقل انرژی لازم برای انجام فرایند می باشد.

$$\mu_0 = m_b + 2m_u = 4.85 GeV$$

### اثر جرم در محاسبه تابع ترکش:

در مرجع [V] نحوه اعمال اثر جرم هادرون در تابع ترکش توصیف شده است. جهت محاسبه آهنگ واپاشی فرایند دلخواه  $i \rightarrow j + H$  قضیه جداسازی به شکل زیر اصلاح می گردد:

مقیاس اولیه دست می آروند و برای محاسبه تابع ترکش در هر مقیاس دیگری از معادلات DGLAP به صورت زیر استفاده می شود:

$$\mu \frac{\partial}{\partial \mu} D_{i \rightarrow H}(z, \mu) = \int \frac{dy}{y} p_{i \rightarrow j} \mathcal{Q}\left(\frac{z}{y}, \mu\right) D_{i \rightarrow H}(y, \mu) \quad (7)$$

$p_{i \rightarrow j}$  تابع انشعاب پارتون i به j است

$$p_{qq}(x, \mu) = \frac{4\alpha_s(\mu)}{3\pi} (1+x) + 2\delta(1-x) + \frac{8}{2} \left[ \frac{1}{(1-x)} - \delta(1-x) \right] \int_0^1 \frac{dy}{(1-x)} \quad (8)$$

(3)

$$p_{qg}(x, \mu) = \frac{\alpha_s(\mu)}{2} \left[ (1-x)^2 + x \right]$$

$$p_{gp} = \frac{4\alpha_s(\mu)}{3} \left[ \frac{1+(1-x)^2}{x} \right] \quad (4)$$

$$p_{gg} = 6\alpha_s(\mu) \left\{ \left[ \frac{1-2+x(1-x)}{x} \right] + \left( \frac{1}{2} + \frac{N_f}{3} \delta(1-x) + 6 \left( \frac{1}{(1-x)} - \delta(1-x) \right) \int_0^1 \frac{dy}{(1-x)} \right) \right\} \quad (5)$$

$N_f$  تعداد طعم های فعال کوارک در زیر مقیاس انرژی  $\mu$  است.

### روش تجربی

روشی است که در آن برای تابع ترکش در مقیاس ترکش رابطه ای پیشنهاد می شود که آن رابطه شامل پارامترها می باشد همانند معادله مدل پیترسون با رابطه  $D(z, \mu_0) = N \frac{x(1-x)^2}{\epsilon x^2 + (1-x)^2}$  که برای گذار کوارک سنگین به هادرون سنگین مناسب است. سپس با در اختیار داشتن قضیه جدا سازی و با مقایسه قرار دادن نتایج تئوری و داده های آزمایشگاهی پارامترهای مورد نظر را بدست می آورند. قضیه جداسازی به صورت زیر تعریف می شود:

$$\frac{d\Gamma}{dx_H} = \int \frac{dx_j}{x_H} \frac{d\bar{\sigma}}{d\mathbf{x}_j} (x_H, m_j, m_H, \mu) D_j^H\left(\frac{x_H}{x_j}\right) \quad (6)$$

قضیه جداسازی ترکیبی از قسمت اختلالی و غیر اختلالی است. قسمت غیر اختلالی شامل تابع ترکش است و قسمت اختلالی

(۹)

$$\frac{d\pi}{dx_H} = \frac{1 + \sqrt{1 - \left(\frac{2m_H}{x_H m_i}\right)^2}}{2 \sqrt{1 - \left(\frac{2m_H}{m_i x_H}\right)^2}} \int_{\pi(x_H)}^1 \frac{dx_j}{x_j} \frac{d\pi}{dx_j} D_j^\mu \left( \frac{x_H}{x_j} \frac{1 + \sqrt{1 - \left(\frac{2m_H}{x_H m_i}\right)^2}}{1 + \sqrt{1 - \left(\frac{2m_j}{x_j m_i}\right)^2}} \right)^\mu \times \frac{2}{1 + \sqrt{1 - \left(\frac{2m_j}{x_j m_i}\right)^2}}$$

به این طریق می‌توان تابع ترکش اصلاح شده را در محاسبه آهنگ واپاشی اعمال کرد.

### نتیجه‌گیری

در این مقاله روش محاسبه تابع ترکش برای کوارک‌های سنگین (هادرون با طعم سنگین) معرفی شده است و توصیف اثر جرم هادرون در محاسبه تابع ترکش پرداخته شده است.

### مرجع‌ها

- [۱] G. Altarelli and G. Parisi, Nucl. Phys. **B126** (1977) 298.  
 [۲] G. Corcella and A. D. Mitov, Phys. **B 623** (200) 247.  
 [۳] B. Mele and P. Nason, Nucl. Phys. **B361** (1991) 626.  
 [۴] C. Peterson, D. Schlatter, I. Schmitt, and P. M. Zerwas, Phys. Rev. **D27**, 105 (1983).  
 [۵] B. A. Kniehl, G. Kramer, I. Schienbein and H. Spiesberger, Phys. Rev. **D 77** (2008)  
 [۶] گومشی‌نوبری، محمدعلی، دوستی، مجتبی (ترکش مزون‌های سنگین در LHC)؛ مجله‌ی پژوهش فیزیک ایران، جلد ۳، شماره ۴، تابستان ۱۳۸۲.  
 [۷] موسوی‌نژاد، سیدمحمد، خرمیان، علی‌نقی (اثر جرم هادرون در تابع توزیع انرژی هادرون)؛ مجله‌ی پژوهش فیزیک ایران، جلد یازدهم، شماره اول، بهار ۱۳۹۰

## ساخت پیکربندی پتانسیل (QES) مربوط به کلاس III در طبقه بندی تورباینر

## برای معادله دیراک (۲+۱) بعدی با پتانسیل اسکالر

آقایی، سهراب<sup>۱</sup>؛ چناقلو، علیرضا<sup>۲</sup><sup>۱</sup>گروه فیزیک، دانشکده علوم پایه، دانشگاه صنعتی سهند، تبریز

## چکیده

در این مقاله با تکیه بر نظریه حل پذیریه شبه دقیق (QES)، پیکربندی پتانسیل متناسب با کلاس III در طبقه بندی تورباینر که موجب حل پذیریه شبه دقیق معادله دیراک می باشد را بدست آورده و معادلات بت انساتز را برای بدست آوردن ویژه مقادیر انرژی و ویژه توابع استخراج می کنیم.

## Constructing the Configuration of the Class III Potential in the Turbiner's Classification for (2+1)-Dimensional Dirac Equation with Scalar Potential

Aghaei, Sohrab<sup>1</sup>; Chenaghlou, Alireza<sup>2</sup><sup>1,2</sup>Department of Physics, Faculty of Sciences, Sahand University of Technology, Tabriz

## Abstract

In this paper according to the quasi exact solvability theory (QES), we construct the configuration of the class III potential in the Turbiner's classification such that the Dirac equation with scalar potential is quasi exactly solved and the Bethe ansatz equations are derived in order to obtain the energy eigenvalues and eigenfunctions.

PACS No.03.65.-w; 03.65.Pm; 03.65.Fd

فاکتوریزاسیون معادله دیراک (۲+۱) بعدی با پتانسیل اسکالر، مشاهده می شود که هفت کلاس از پتانسیل های حل پذیر شبه دقیق می توانند ساخته شوند. این کلاسها متناظر با کلاسهای I تا VI و کلاس X در طبقه بندی تورباینر است [۵]. در این مقاله می خواهیم حل پذیریه شبه دقیق معادله دیراک را در پتانسیل مربوط به کلاس III بررسی کنیم.

## معادله دیراک (۲+۱) بعدی

همایلتونین معادله دیراک (۲+۱) بعدی با پتانسیل اسکالر عبارت است از:

$$H = \vec{\alpha} \cdot \vec{p} + \beta(m + V_s) \quad (1)$$

که  $\beta$  ماتریس های  $p = -i(d \setminus dx, d \setminus dy)$  جرم،  $m$  و  $\vec{\alpha}$  ماتریس های دیراک و  $V_s$  پتانسیل اسکالر یک بعدی است. برای معادله ویژه مقادیری

## مقدمه

در مکانیک کوانتومی نسبیته، پتانسیل هایی که طیف کامل انرژی و ویژه توابع را می دهند بسیار اندک هستند. نظریه حل پذیریه شبه دقیق (QES) روشی را ارائه می کند که بر اساس آن می توان بخشی از طیف انرژی و ویژه توابع را بدست آورد [۱]. در این روش با توجه به ساختار ابرتقارنی مسأله، همایلتونین را فاکتوریزه کرده و پیکربندی هایی برای پتانسیل پیشنهاد می کنند که تعیین بخشی از طیف را امکانپذیر می کند. در مراجع [۲] و [۳] روش ساخت پتانسیل (QES) بر پایه جبر  $sl(2)$  بررسی شده است. سیستم های (QES) بر پایه جبر  $sl(2)$  به طور کامل توسط تورباینر<sup>۹</sup> در ده کلاس طبقه بندی شده است [۴]. پس از

<sup>9</sup> Turbiner



### کلاس III

با توجه به طبقه بندی تورباینر، پتانسیل در کلاس III به صورت

$$V = d^2 e^{4\alpha x} + 2ade^{3\alpha x} + [a^2 + 2d(b + \alpha)]e^{2\alpha x} + (2ab + \alpha a + \lambda)e^{\alpha x} + b^2 \quad (9)$$

و تابع پیمانه ای متناظر برابر است با:

$$g(x) = -\frac{d}{2\alpha} e^{2\alpha x} - \frac{a}{\alpha} e^{\alpha x} - bx \quad (10)$$

انتخاب شوند تا بهنجارپذیری تابع موج را تضمین کنند. پتانسیلی که باعث حل پذیری حالت پایه می شود، برابر است با:

$$V(\lambda = 0) = U_0'^2 - U_0' \quad (11)$$

که

$$U_0 = g'(x) = -de^{2\alpha x} - ae^{\alpha x} - b. \quad (12)$$

معادله (۸) برای این پتانسیل زمانی حل پذیر شبه دقیق خواهد بود که بتوانیم عملگر این معادله را به صورت ترکیب خطی از مولدهای جبر لی  $sl(2)$  بنویسیم. برای این منظور ابتدا تغییر متغیر  $z = e^{-\alpha x}$  را در معادله (۸) اعمال می کنیم. در این صورت خواهیم داشت:

$$-\alpha z^3 \frac{d^2 \varphi}{dz^2} + [(2b - \alpha)z^2 + 2az + 2d] \frac{d\varphi}{dz} + \left(\frac{\lambda}{\alpha} - \frac{\varepsilon z}{\alpha}\right) \varphi = 0 \quad (13)$$

رابطه فوق را می توان به صورت زیر نوشت:

$$T_{III} \varphi = 0$$

$$T_{III} = -\alpha z^3 \frac{d^2}{dz^2} + [(2b - \alpha)z^2 + 2az + 2d] \frac{d}{dz} + \frac{\lambda}{\alpha} - \frac{\varepsilon z}{\alpha}. \quad (14)$$

عملگر  $T_{III}$  بر حسب مولدهای  $sl(2)$  برابر است با:

$$T_{III} = -\alpha J^+ J^0 + (2b - \alpha N) J^+ + 2a J^0 + 2d J^- + \left(-\frac{\alpha N^2}{2} + 2bN - \frac{\varepsilon}{\alpha}\right) z + \frac{\lambda}{\alpha} + aN \quad (15)$$

$$H\psi(x, y) = E\psi(x, y) \quad (2)$$

تابع موج را به صورت

$$\psi = e^{ik_y y} \begin{pmatrix} f_-(x) \\ f_+(x) \end{pmatrix} \quad (3)$$

تعریف می کنیم که  $k_y$  ثابتی حقیقی است و  $f_{\pm}$  توابعی حقیقی از  $x$  هستند. رابطه (۲) را می توان با یک تبدیل یکانی به شکل تقارنی در آورد و به صورت زیر فاکتوریزه کرد [۶]

$$\left(-\frac{d^2}{dx^2} + U^2 - U'\right) \psi_- = \varepsilon \psi_- \quad (4)$$

$$\left(-\frac{d^2}{dx^2} + U^2 + U'\right) \psi_+ = \varepsilon \psi_+ \quad (5)$$

که  $\varepsilon = E^2 - k_y^2$ ،  $U = m + V_s$  و

$$i\psi_{\mp} = \frac{1}{\sqrt{2}} (f_{\mp} - if_{\pm}) \quad (6)$$

در روابط (۴) و (۵) نقش ابرپتانسیل را بازی می کند. برای حل این معادلات کافی است مؤلفه بالایی یعنی  $\psi_-$  را بدست آوریم. با به کار بردن ابربار مناسب روی مؤلفه بالایی به راحتی می توان مؤلفه پایینی را محاسبه کرد [۷]. مطابق نظریه (QES) با تبدیل پیمانه ای موهومی

$$\psi_- = \varphi(x) e^{-g(x)} \quad (7)$$

رابطه (۴) به صورت زیر تبدیل می شود

$$-\frac{d^2 \varphi}{dx^2} + 2g' \frac{d\varphi}{dx} + (V(x) + g'' - g'^2) \varphi = \varepsilon \varphi \quad (8)$$

که  $V(x) = U^2 - U'$ . باید توجه داشته باشیم که برای سیستم های فیزیکی، ثابت های تابع پیمانه ای  $g(x)$  باید به گونه ای انتخاب شوند تا تابع موج بهنجار پذیر باشد. برای اینکه سیستم فوق حل پذیر شبه دقیق باشد باید  $V(x)$  به گونه ای انتخاب شود که رابطه (۸) را بتوان به صورت ترکیب خطی از مولدهای یک جبر لی بنویسیم. برای این معادله هفت کلاس از پتانسیل های (QES) می توانند ساخته شوند. در این مقاله پتانسیل مربوط به کلاس III را بررسی می کنیم.

که در آن

که شرط  $a\varphi = 0$  را ارضاء می کند. عملگر  $a^+$  را با توجه به

$$a^+ = -\alpha z^3 \frac{d}{dz} + [(2b - \alpha)z^2 + 2az + 2d] - \alpha z^3 \sum_{j=1}^N \frac{1}{z - z_j} \quad (23)$$

به سادگی می توان نشان داد

$$a^+ a = T_{III} - \frac{\lambda}{\alpha} + \frac{\varepsilon z}{\alpha} + \alpha z^3 \sum_{i \neq j}^N \frac{1}{(z - z_i)(z - z_j)} - [(2b - \alpha)z^2 + 2az + 2d] \sum_{i=1}^N \frac{1}{(z - z_i)} \quad (24)$$

از طرفی چون

$$a^+ a \varphi = T_{III} \varphi = 0 \quad (25)$$

پس داریم:

$$\left\{ -\frac{\lambda}{\alpha} + \frac{\varepsilon z}{\alpha} + \alpha z^3 \sum_{i \neq j}^N \frac{1}{(z - z_i)(z - z_j)} - [(2b - \alpha)z^2 + 2az + 2d] \sum_{i=1}^N \frac{1}{(z - z_i)} \right\} \varphi = 0 \quad (26)$$

این رابطه چون باید برای تمامی  $z$ ها برقرار باشد، لذا با در نظر گرفتن شرایط مرزی به دو معادله زیر می رسیم

$$(2b - \alpha)z_i^2 + 2az_i + 2d - \sum_{j \neq i}^N \frac{\alpha z_i^3}{z - z_j} = 0 \quad (27)$$

$$\lambda = 2d\alpha \sum_{i=1}^N \frac{1}{z_i} \quad (28)$$

معادلات (27) و (28) را معادلات بت انسانتر می نامند. با استفاده از رابطه (27)، ریشه های  $z_i$  را می توان برای  $N$ های مختلف محاسبه کرد و ویژه توابع را مشخص نمود. ویژه مقادیر انرژی نیز به وسیله رابطه (18) مشخص شده اند. هر مجموعه از  $\{z_i\}$  یک انرژی حل پذیر شبه دقیق با چند جمله ای متناظر  $\varphi$  تعیین می کند. به عنوان مثال حالت  $N = 1$  را در نظر می گیریم.

برای این حال ویژه مقدار انرژی به صورت زیر است

$$\varepsilon = \alpha \left( 2b - \frac{\alpha}{2} \right) \quad (29)$$

و تابع  $\varphi$  برابر است با:

$$\varphi = z - z_1 \quad (30)$$

$$J^+ = z^2 \frac{d}{dz} - Nz$$

$$J^0 = z \frac{d}{dz} - \frac{N}{z} \quad N = 0, 1, 2, \dots$$

$$J^- = \frac{d}{dz} \quad (16)$$

مولدهای جبر لی  $sl(2)$  هستند.

همانگونه که مشاهده می شود در صورتی معادله حل پذیر شبه دقیق خواهد بود که:

$$-\frac{\alpha N^2}{2} + 2bN - \frac{\varepsilon}{\alpha} = 0 \quad (17)$$

به عبارت دیگر پارامتر انرژی باید برابر باشد با:

$$\varepsilon = \alpha \left( 2b - \frac{\alpha N}{2} \right). \quad (18)$$

پس با این شرط، رابطه (8) با پتانسیل کلاس III حل پذیر شبه دقیق خواهد بود.

هامیلتونین حل پذیر شبه دقیق دارای بخش جبری با  $N + 1$

ویژه تابع و ویژه مقدار است. ویژه توابع به فرم زیر هستند

$$\psi = \varphi e^{-g(x)} = \prod_{i=1}^N (z - z_i) e^{-\int U_0(x) dx} \quad (19)$$

که  $z_i$ ها پارامترهایی هستند که از معادلات بت انسانتر<sup>10</sup> بدست می آیند. معادله (19) را می توان به صورت زیر بازنویسی کرد

$$\psi = e^{-\int U_N(x, \{z_i\}) dx} \quad (20)$$

$$U_N(x, \{z_i\}) = U_0(x) - \sum_{i=1}^N \frac{z'(x)}{z(x) - z_i} \quad (21)$$

$N + 1$  تابع ممکن  $U_N$  برای  $N + 1$  ویژه تابع  $\psi$  وجود دارد. با

در نظر گرفتن  $\varphi(z) = \prod_{i=1}^n (z - z_i)$ ، معادلات بت انسانتر را بدست می آوریم.

عملگر  $a$  را به صورت زیر تعریف می کنیم

$$a = \frac{d}{dz} - \sum_{i=1}^N \frac{1}{z - z_i} \quad (22)$$

<sup>10</sup> Bethe ansatz

$N = 1$  بررسی کرده و دو پیکربندی برای پتانسیل بدست آوردیم که تحت این پتانسیل ها ویژه مقادیر و ویژه توابع مربوط به حالت پایه و اولین حالت برانگیخته محاسبه شد.

### مرجع ها

- [۱] A.G. Ushveridze, Sov. Phys.-Lebedev Inst. Rep. **2**, 50, 54 (1988); *Quasi-exactly solvable models in quantum mechanics* (IOP, Bristol, 1994).  
 [۲] C. L. Ho, P. Roy, *J. Phys.* **A36** (2003) 4617.  
 [۳] C. L. Ho, P. Roy, *Ann. Phys.* **312** (2004) 161.  
 [۴] A. Turbiner, *Commun. Math. Phys.* 118 (1988) 467.  
 [۵] C. L. HO, *Ann. Phys.* **321** (2006) 2170  
 [۶] آقایی، سهراب؛ چناقلو، علیرضا؛ « حل پذیری شبه دقیق معادله دیراک با پتانسیل اسکالر در کلاس VI »؛ *کنفرانس فیزیک ایران*، سال ۱۳۹۰، صفحه ۱۴۹۰ تا ۱۴۹۳.  
 [۷] F. Cooper, A. Khare and U. Sukhatme, *Supersymmetric quantum mechanics* (World Scientific, Singapore, 2001) and references therein

که ریشه  $z_1$  با استفاده از رابطه (۲۷) بدست می آید

$$(2b - \alpha)z_1^2 + 2az_1 + 2d = 0 \quad (31)$$

نتیجه می دهد:

$$z_1^\mp = \frac{-2a \mp \sqrt{4a^2 - 8d(2b - \alpha)}}{2(2b - \alpha)} \quad (32)$$

برای پارامتر  $\lambda$  نیز دو مقدار بدست می آید

$$\lambda^\mp = \frac{2d\alpha}{z_1^\mp} \quad (33)$$

چون  $z^- < 0$  است پس تابع موج متناظر با  $z^-$ ، تابع موج حالت پایه است در حالی که  $z^+$  تابع موج اولین حالت برانگیخته را می دهد. پس پتانسیل  $V_1^{(0)}(x, \lambda^-)$  تنها حالت پایه را میدهد و پتانسیل  $V_1^{(1)}(x, \lambda^+)$  اولین حالت برانگیخته را خواهد داد. این دو پتانسیل با توجه به رابطه (۲۱) توسط ابرپتانسیل های زیر بدست می آیند.

$$U_1^{(0,1)}(x) = U_0(x) - \frac{z'(x)}{z(x) - z_1^\mp} \quad (34)$$

$$U_1^{(0,1)}(x) = -de^{2\alpha x} - ae^{\alpha x} - b + \frac{\alpha e^{-\alpha x}}{e^{-\alpha x} - z_1^\mp}$$

و پتانسیل های اسکالری که باعث می شوند به ترتیب حالت پایه و اولین حالت برانگیخته در هامیلتونین (۱) حل پذیر شوند عبارتند از:

$$V_{s1}^{(0,1)}(x, \{z_i\}) = -de^{2\alpha x} - ae^{\alpha x} - b + \frac{\alpha e^{-\alpha x}}{e^{-\alpha x} - z_1^\mp} - m \quad (35)$$

به روش مشابه می توان این کار را برای  $N$  های بالاتر تکرار کرد. مشاهده می شود که برای هر  $N$ ، یک ویژه مقدار انرژی داریم ولی  $N+1$  پیکربندی پتانسیل بدست می آید که هر کدام از پتانسیل ها فقط یکی از حالت ها را قابل محاسبه می کنند و ویژه حالت مربوطه اش با مشخص کردن ریشه های  $z_i$  بدست می آید.

### نتیجه گیری

در این مقاله ابتدا معادله دیراک (۲+۱) بعدی با پتانسیل اسکالر را فاکتوریزه کردیم. پس از نشان دادن امکان حل پذیری شبه دقیق مسأله، با استخراج معادلات بت انسازر ریشه های  $z_i$  را برای تعیین ویژه توابع بدست آوردیم سپس مسأله را برای حالت

## نوسان نوترینوهای ناشی از واپاشی $Z^0$ با رهیافت بسته موج

اتفاقی، محمد مهدی؛ پورمند، منا

گروه فیزیک دانشگاه قم، جاده‌ی قدیم اصفهان، قم

### چکیده

در نگاه اول نوترینوهای ناشی از جریان‌های خنثی یا واپاشی  $Z^0$  به علت اینکه شار یکسان برای هر سه نسل نوترینو می‌دهند، نوسان نمی‌کند. با این وجود در [1] نشان داده شده است که در صورتی که هر دوی نوترینو و پادنوترینو آشکارسازی شوند یک نوع جدید نوسان نوترینو قابل مشاهده است. در این مقاله با استفاده از رهیافت بسته موج به این مسأله دوباره نگاه می‌شود و از این طریق یک شرط جدید برای دیدن این نوسان به دست آورده می‌شود.

## Oscillations of Neutrinos Coming from $z^0$ Decay with Wave Packet Approach

Ettefaghi, Mohammad Mehdi; Pourmand, Mona

Department of Physics, University of Qom, Qom

### Abstract

Apparently, neutrinos coming from the neutral current or  $Z^0$  decay do not oscillate because the fluxes of various flavors are equal. However, it has been shown that if both neutrinos and anti-neutrinos are detected we will see a new neutrino oscillation [1]. In this paper, we restudy this theoretical problem by wave packet approach and find a new condition for oscillation.

PACS No.14.60.Pq

آهنگ واپاشی متناسب با جرم لپتون تولید شده است. از این رو کانالی که شامل لپتون سنگین‌تر (ولی از نظر سینماتیکی مجاز) می‌شود، مرجح است. ولی از واپاشی بوزون  $Z^0$  هر سه طعم لپتون به یک اندازه تولید می‌شوند. در واقع واپاشی  $Z^0$  نسبت به طعم کور است. از این رو به دلیل تساوی شار نوترینوهای ناشی از واپاشی  $Z^0$  ( $I_e^0 = I_\mu^0 = I_\tau^0 = I^0$ ) نوسان برای این نوترینوها دیده نمی‌شود. ولی این جمله در حالت کلی نادرست است. در مقاله‌ی [1] ثابت شده است که اگر این امکان وجود داشته باشد که هم نوترینو و هم پاد نوترینو آشکار سازی شوند آنگاه یک نوع جدیدی از نوسان نوترینو برای نوترینوهای ناشی از واپاشی  $Z^0$  علیرغم تساوی شار، قابل مشاهده است.

ماتریس یکانی تبدیل ویژه حالت جرم و ویژه حالت طعم در جریان خنثی حذف می‌شود. بنابراین در برهمکنش جریان خنثی

### مقدمه

مشاهده شار نوترینوی خورشیدی یا شار نوترینوی اتمسفری بر روی زمین نشان می‌دهد که طعم نوترینو در حین انتشار عوض می‌شود. این تغییر طعم که برای نوترینوهای راکتوری و ... نیز مشاهده شده است به صورت تناوبی اتفاق می‌افتد و از این رو به آن نوسان نوترینو گفته می‌شود. نظریه نوسانات نوترینو برای اولین بار توسط پونتکورو و سپس توسط ماکی و ناکاگاوا و ساکاتا بررسی شده است.

طعم‌های مختلف نوترینو در طی فرایندهای متفاوتی به وجود می‌آیند. به عنوان نمونه نوترینوی الکترونی از واپاشی  $\beta$  ( $n \rightarrow p + e^- + \bar{\nu}_e$ )، نوترینوی میونی از واپاشی پایون باردار ( $\pi^+ \rightarrow \mu^+ + \nu_\mu$ ) و نوترینوی تائونی از واپاشی مزون سنگین  $D$  که طول عمر بسیار کوچکی دارد، تولید می‌شوند. در این فرایندها

$$|v_z(r, \bar{r})\rangle = \frac{1}{\sqrt{3}} \sum_{i=1,2,3} |v_i\rangle |\bar{v}_i\rangle e^{i\Phi_i(r, \bar{r})}, \quad (4)$$

که

$$\Phi_i(r, \bar{r}) \equiv \frac{m_i^*}{\sqrt{E}} r + \frac{m_i^*}{\sqrt{E}} \bar{r}. \quad (5)$$

بنابراین برای دامنه احتمال مشاهده نوترینو طعم  $\alpha$  در فاصله  $r$  و پاد نوترینو طعم  $\beta$  در فاصله  $\bar{r}$  خواهیم داشت:

$$\langle v_\alpha, \bar{v}_\beta | v_z(r, \bar{r}) \rangle = \frac{1}{\sqrt{3}} \sum_{i=1,2,3} U_{i\alpha}^* U_{i\beta} e^{i\Phi_i(r, \bar{r})}. \quad (6)$$

این معادله صرف نظر از فاکتور بهنجارش  $\frac{1}{\sqrt{3}}$  با دامنه احتمال استاندارد نوسان  $v_\beta \rightarrow v_\alpha$  متناظر با اختلاف فازهای  $\Phi_i$  منطبق است. پس احتمال آشکار سازی  $v_\alpha$  در  $r$  و  $\bar{v}_\beta$  در  $\bar{r}$  به صورت زیر در می‌آید:

$$W_{\alpha\beta} = \frac{1}{3} \sum_i |U_{i\alpha}|^2 |U_{i\beta}|^2 \quad (7)$$

$$+ \frac{2}{3} \sum_{i>j} |U_{i\alpha}^* U_{i\beta} U_{j\alpha} U_{j\beta}^*| \cos(\Phi_i - \Phi_j - \xi_{\alpha\beta ij}),$$

که  $\xi_{\alpha\beta ij} = \arg(U_{i\alpha}^* U_{i\beta} U_{j\alpha} U_{j\beta}^*)$  جمع احتمالات  $W_{\alpha\beta}$  روی طعم‌های پاد نوترینو منجر به

$$W_\alpha \equiv \sum_\beta W_{\alpha\beta} = \frac{1}{3}, \quad (8)$$

می‌شود. پس طبق رابطه فوق اگر فقط طعم نوترینو گسیل شده از واپاشی  $Z^0$  اندازه گیری شود، نوسانات قابل مشاهده نخواهد بود. لذا برای مشاهده نوسان، باید طعم نوترینو و پادنوترینو تولیدی از واپاشی  $Z^0$  را با هم اندازه گیری کنیم.

در اینجا با صرف نظر از ضریب  $\frac{1}{3}$ ، احتمال نوسان استاندارد  $v_\beta \rightarrow v_\alpha$  به دست می‌آید. به عبارت دیگر می‌توان گفت که اگر آشکار ساز (b) را به عنوان چشمه  $v_\beta$  و آشکار ساز (a) را به عنوان آشکار ساز  $v_\alpha$  در نظر بگیریم، رابطه (7) احتمال نوسان  $v_\beta$  به  $v_\alpha$  را نشان می‌دهد. این بدان معنی است یکی از آشکار سازها مشابه چشمه برای نوترینویی که در آشکار ساز دیگر آشکار سازی می‌شود، عمل می‌کند [1].

تاکنون تابع موج توصیف کننده نوترینوهای تولیدی از واپاشی  $Z^0$  و آشکار شده را موج تخت در نظر گرفتیم و این نوع

نوترینو را می‌توان بر حسب هر کدام از این دو ویژه حالت نوشت. با توجه به این که در واپاشی  $Z^0$  نوترینو و پاد نوترینو همزمان ایجاد می‌شوند، کت حالت نوترینوهای ایجاد شده را می‌توان به صورت زیر نوشت:

$$|v_z\rangle = \frac{1}{\sqrt{3}} \left( \sum_{i=1,2,3} |\bar{v}_i\rangle |v_i\rangle \right) \equiv \frac{1}{\sqrt{3}} (|\bar{v}_1\rangle |v_1\rangle + |\bar{v}_2\rangle |v_2\rangle + |\bar{v}_3\rangle |v_3\rangle) \quad (1)$$

شرط ضروری دیگر برای دیدن نوسان یاد شده این است که فازها در رابطه (1) تثبیت شده باشند. در این مقاله ما با استفاده از رهیافت بسته‌ی موج، برای حفظ همدوسی هنگام آشکار سازی شرط دیگری را نیز به دست خواهیم آورد.

## به دست آوردن احتمال نوسان نوترینوی تولیدی از

### واپاشی $Z^0$

آزمایشی را در چارچوب سکون  $Z^0$  در نظر بگیرد که شامل یک چشمه  $Z^0$  و دو آشکار ساز باشد. فاصله چشمه تا آشکار ساز نوترینو را با  $r$  و فاصله چشمه تا آشکار ساز پادنوترینو را با  $\bar{r}$  نشان می‌دهیم. در واقع نوترینو موجی است که به سمت جلو (جهت مثبت محور) حرکت می‌کند و در نتیجه تکانه آن مثبت است ولی پادنوترینو موجی است که به سمت عقب (خلاف جهت محور) حرکت می‌کند و تکانه آن منفی است. همچنین به طور کلی تحول زمانی ذرات با مثبت انرژی و تحول زمانی پاد ذرات با منفی انرژی داده می‌شود. آشکار ساز نوترینو در فاصله مثبت  $r$  و آشکار ساز پاد نوترینو در فاصله منفی  $\bar{r}$  قرار دارند. بنابراین کت حالت نوترینوی انتشار یافته با رهیافت موج تخت به صورت

$$|v_i(t)\rangle = |v_i\rangle e^{-i(E_i t - p_i r)}, \quad (2)$$

و کت حالت پاد نوترینو به صورت

$$|\bar{v}_i(t)\rangle = |\bar{v}_i\rangle e^{-i(-\bar{E}_i t - \bar{p}_i \bar{r})}, \quad (3)$$

نوشته می‌شود. با توجه به تساوی جرم نوترینو و پادنوترینو و تساوی تکانه‌ی آنها در چارچوب سکون  $Z^0$ ،  $(|\bar{p}| = |p|)$ ، انرژی نوترینو و پاد نوترینو نیز مساوی خواهند بود ( $E = \bar{E}$ ). حال با جایگذاری کت حالت نوترینو و پاد نوترینو در معادله (1) و حذف عامل‌های مشترک تحول  $|v_z\rangle$  به صورت زیر به دست می‌آید:

آشکارشده را نیز در مختصات مکان به صورت زیر می‌نویسیم:

$$|v_\beta(x-L)\rangle = \quad (12)$$

$$(\sqrt{2\pi}\sigma_{xD})^{-\frac{1}{2}} \sum_a U_{\beta a}^* \exp[-iP_a(x-L) - \frac{(x-L)^2}{4\sigma_{xD}^2}] |v_z\rangle$$

$\sigma_{xD}$  پهنای تابع موج مکان نوترینو موقع آشکار سازی است و هم مانند مورد مشابه در چشمه، با  $\sigma_{pD}$  پهنای تابع موج تکانه، توسط رابطه عدم قطعیت  $\sigma_{xD}\sigma_{pD} = 1/2$  مربوط می‌شود. حال با استفاده از (11) و (12) می‌توان احتمال گذار حالت  $v_\alpha$  به حالت  $v_\beta$  را به دست آورد و بدین وسیله شرایط همدوسی را مطالعه کرد [2]. در این مقاله سعی خواهیم کرد این رهیافت را برای نوترینوهای ناشی از جریان خنثی به کار ببریم.

### نوسان نوترینوی ناشی از جریان خنثی با رهیافت بسته موج

حال با استفاده از توابع بسته موج (11) و (12) تحول  $|v_z\rangle$  را در چارچوب سکون  $Z^0$  به دست می‌آوریم. با توجه به این که نوترینو و پادنوترینو تولیدی در یک راستا در دو جهت مخالف منتشر می‌شوند برای تابع موج مکانی خواهیم داشت:

$$|v_z(x, \bar{x})\rangle = \frac{1}{\sqrt{3}} \sum_{i=1,2,3} (2\pi\sigma_{xD}^2)^{-\frac{1}{2}} |v_i\rangle |v_i\rangle \exp[-i\Phi_i(x, \bar{x})] \quad (13)$$

$$\times \exp[iE_i x + iE_i \bar{x} - \frac{(\bar{x} - V_i t)^2}{4\sigma_{xp}^2} - \frac{(x - V_i t)^2}{4\sigma_{xp}^2}].$$

در این رابطه از روابط زیر استفاده شده است:

$$P_i^x = E_i^x - m_i^x \Rightarrow P_i = E_i - \frac{m_i^x}{\sqrt{E_i}}, \quad (14)$$

و

$$P_i^x = E_i^x - m_i^x \Rightarrow P_i = E_i - \frac{m_i^x}{\sqrt{E_i}},$$

مشابه با رابطه‌ی (12)، بسته‌های موج مربوط با ویژه حالت طعم نوترینو و پادنوترینو آشکار شده را به صورت زیر می‌نویسیم:

$$|v_\alpha(x-L)\rangle = (\sqrt{2\pi}\sigma_{xD})^{-\frac{1}{2}} \sum_a U_{\alpha a}^* \exp[iP_a(x-L) - \frac{(x-L)^2}{4\sigma_{xD}^2}] |v_\alpha\rangle, \quad (15)$$

$$|\bar{v}_\beta(-\bar{x} + \bar{L})\rangle = (\sqrt{2\pi}\sigma_{xD})^{-\frac{1}{2}} \sum_a U_{\beta a} \exp[iP_a(\bar{x} - \bar{L}) - \frac{(\bar{x} - \bar{L})^2}{4\sigma_{xD}^2}] |\bar{v}_\beta\rangle \quad (16)$$

جدید نوسان نوترینو را به دست آوردیم. اما از آنجایی که نوترینو یک ذره است باید احتمال حضور آن در یک ناحیه‌ی مشخص از فضا و نه کل فضا غیر صفر باشد. در نتیجه می‌خواهیم جهت واقعی‌تر کردن مسئله به جای موج تخت، نوترینوها را با بسته موج توصیف کنیم. اگر ذره کاملاً جایگزیده باشد باید برای توصیف آن از تابع دلتای دیراک به عنوان تابع موج استفاده کرد. اما در مسایل واقعی که تکانه‌ی ذرات با دقتی معین مشخص می‌شود، می‌توان از تابع موج گاوسی که پهنای عکس عدم قطعیت تکانه است استفاده کرد. لذا ما در اینجا برای توصیف نوترینوها از تابع موج گاوسی استفاده خواهیم کرد. برای مثال نوترینویی با طعم  $\alpha$  را که در طی یک فرآیند برهمکنش ضعیف در مبداء مختصات فضایی و زمانی تولید شده است را با تابع موج زیر بیان می‌کنیم:

$$|v_\alpha(t)\rangle = \sum_a U_{\alpha a}^* \int dp \psi_a(P, P_a, \sigma_p p) e^{-iE_a(p)t} |v_\alpha(P)\rangle \quad (9)$$

برای سادگی تنها یک بعد فضا در جهت منبع به آشکار ساز در نظر می‌گیریم. در رابطه‌ی (9)  $\psi_a(P, P_a, \sigma_p p)$  تابع موج ویژه حالت جرم در فضای تکانه است که آن را می‌توان به شکل گاوسی به صورت زیر داد:

$$\psi_a(P, P_a, \sigma_p p) = (\sqrt{2\pi}\sigma_{pp})^{-\frac{1}{2}} \exp[-\frac{(P - P_a)^2}{4\sigma_{pp}^2}]. \quad (10)$$

$P_a$  متوسط تکانه‌ی مربوط به ویژه حالت جرم  $a$  است که توسط حرکت شناسی فرآیند تولید تعیین می‌گردد و  $\sigma_{pp}$  پهنای بسته‌ی موج متناظر در فضای تکانه است که توسط کمینه‌ی عدم قطعیت در انرژی و تکانه طی فرآیند تولید تعیین می‌گردد.  $E_a(P)$  را می‌توان به صورت  $E_a(P) \cong E_a + V_a(P - P_a)$  بسط داد. سرعت گروه هر بسته موج به صورت  $V_a = \frac{P_a}{E_a}$  است.

اگر تابع موج تکانه‌ی نوترینو (9) را در فضای مکان

$$|v_\alpha(x, t)\rangle = \langle x | v_\alpha(t) \rangle$$

$$|v_\alpha(x, t)\rangle = (\sqrt{2\pi}\sigma_{pp})^{-\frac{1}{2}} \sum_a U_{\alpha a}^* \exp[-iE_a t + iP_a x - \frac{(x - V_a t)^2}{4\sigma_{xp}^2}] |v_z\rangle. \quad (11)$$

$\sigma_{xp}$  پهنای بسته‌ی موج ویژه حالت جرم  $a$  در فضای مختصات است و با پهنای ممتوم  $\sigma_{pp}$  توسط رابطه‌ی عدم قطعیت  $\sigma_{xp}\sigma_{pp} = 1/2$  مربوط می‌شوند. تابع موج مربوط به نوترینوی

$$P_{\alpha\beta}(L) = \sum_{i,j} U_{\alpha i} \cdot U_{\beta i}^* \cdot U_{\alpha j}^* \cdot U_{\beta j} \exp\left[-\nu\pi i \frac{L+\bar{L}}{L_{ij}^{OSC}} - \frac{(L-\bar{L})^2}{4\sigma_X^2}\right], \quad (20)$$

که در این جا طول نوسان،  $L_{ij}^{OSC}$ ، به صورت

$$L_{ij}^{OSC} = \frac{4\pi E}{\Delta m_{ij}^2} \quad (21)$$

تعریف می‌شود. همان طوری که ملاحظه می‌شود احتمال گذار علاوه بر یک حاصل ضرب از مولفه‌های ماتریس یکانی، شامل دو عامل دیگر نیز می‌شود: ۱- عامل نوسانی با طول نوسان  $L_{ij}^{OSC}$ ، این عامل در محاسبه با موج تخت نیز وجود داشت. ۲- عامل گاوسی که نسبت به نتیجه‌ی رهیافت موج تخت جدید است. این عامل نشان می‌دهد که برای دیدن نوسان علاوه بر شرایط بیان شده در [۱]، نباید اختلاف بین فاصله‌ی آشکار ساز نوترینو تا چشمه و فاصله‌ی آشکار ساز پاد نوترینو تا چشمه نسبت به پهن شدگی توابع موج بزرگ باشد.

### نتیجه گیری:

اگر تنها یکی از نوترینوهایی که از واپاشی  $Z^0$  می‌آید آشکار سازی شود نوسان نوترینو دیده نمی‌شود. ولی در صورتی که هم نوترینو و هم پاد نوترینو آشکار سازی شوند، یک نوع جدید نوسان دیده می‌شود [۱]. با این وجود در این مقاله ما با استفاده از رهیافت بسته‌ی موج، نشان داده‌ایم که اگر یکی از آشکارسازها را خیلی نزدیک منبع و یکی دیگر از آشکارسازها را خیلی دور از منبع قرار دهیم نوسان از بین می‌رود، به عبارت دیگر  $(L-\bar{L})$  نمی‌تواند نسبت به  $\sigma_X$ ، پهنای بسته‌ی موج، خیلی بزرگ باشد. رابطه‌ی بدست آمده مستقل از انرژی شد، زیرا نوترینوهایی که از واپاشی  $Z^0$  به وجود می‌آیند در دستگاه سکون  $Z^0$  دارای انرژی کاملاً مشخص و برابر  $E = \bar{E} = \frac{m_a^2}{2}$  می‌باشند.

### مراجع

- [۱] A.Yu.Smirnov and G.T.Zatsepin, mod.phys.lett.AV,1272 (1991)  
 [۲] C. Giunti and C.W. Kim, Phys.Rev. D58, 017301  
 [hep-ph | 9711363v2] (1998)

$L$  و  $\bar{L}$  به ترتیب فاصله منبع تا آشکارساز نوترینو و آشکارساز پاد نوترینو و  $x$  و  $\bar{x}$  مکان تابع بسته موج انتشار یافته هستند. دامنه احتمال مشاهده نوترینو با طعم  $\alpha$  را در فاصله  $L$  و پاد نوترینو با طعم  $\beta$  را در فاصله  $\bar{L}$  از رابطه‌ی

$$A_{\alpha\beta}(L, T) = \iint dx.d\bar{x} \langle \nu_\alpha, \bar{\nu}_\beta | \nu_Z(x, \bar{x}) \rangle, \quad (17)$$

به دست می‌آید. حال با حل انتگرال نسبت به  $x$  و  $\bar{x}$  و با

استفاده از رابطه پاشندگی و همچنین تعریف  $\sigma_X^2 \equiv \sigma_{xP}^2 + \sigma_{xD}^2$ ، دامنه احتمال نوسان به صورت

$$A_{\alpha\beta}(L, T) = \frac{\nu\sigma_{xP}\sigma_{xD}}{\sqrt{\nu}\delta_X^2} \sum_i U_{\alpha i} U_{\beta i}^* \times \exp\left[iP_i L + iP_i \bar{L} - \frac{(L-V_i t)^2}{4\sigma_X^2} - \frac{(\bar{L}-V_i t)^2}{4\sigma_X^2}\right], \quad (18)$$

به دست می‌آید. در نتیجه برای احتمال نوسان خواهیم داشت:

$$P_{\alpha\beta}(L, T) = |A_{\alpha\beta}(L, T)|^2 \quad (19)$$

$$= \frac{\nu^2\sigma_{xP}^2\sigma_{xD}^2}{4\sigma_X^4} \sum_{i,j} U_{\alpha i} \cdot U_{\beta i}^* \cdot U_{\alpha j}^* \cdot U_{\beta j} \exp[i(L+\bar{L})(P_i - P_j)] \frac{(L-V_i t)^2 + (L-V_j t)^2}{4\sigma_X^2} - \frac{(\bar{L}-V_i t)^2 + (\bar{L}-V_j t)^2}{4\sigma_X^2}$$

با استفاده از تقریب  $P_a = E - \frac{m_a^2}{2E}$  داریم:

$$P_i - P_j = -\frac{\Delta m_{ij}^2}{2E}.$$

احتمال نوسان به صورت تابعی از فاصله بین آشکارسازها تا منبع و نیز زمان گذار  $T$  به دست آمده است. هر چند در آزمایش‌های واقعی فاصله منبع تا آشکار ساز مقدار مشخصی است، اما زمان انتشار را نمی‌توان اندازه گیری کرد. لذا با انتگرال گیری روی زمان انتشار و با استفاده از شرط نرمالیزاسیون  $\sum_\beta P_{\alpha\beta}(L) = 1$  داریم:

$$P_{\alpha\beta}(L) \propto \sum_{i,j} U_{\alpha i} \cdot U_{\beta i}^* \cdot U_{\alpha j}^* \cdot U_{\beta j} \exp\left[-i \frac{\Delta m_{ij}^2}{2E} (L+\bar{L}) - \frac{L+\bar{L}}{2\sigma_X^2} + \frac{(L+\bar{L})(V_i+V_j)^2}{\Lambda(V_i^2+V_j^2)\sigma_X^2}\right]. \quad (19)$$

با استفاده از تقریب سرعت گروه  $V_g = 1 - \frac{m_a^2}{2E^2}$  احتمال نوسان نوترینو و پادنوترینو آشکار شده با رهیافت بسته موج به صورت زیر به دست می‌آید:

## تحلیل QCD روی داده‌های DIS و SIDIS قطبیده

اربابی‌فر، فاطمه<sup>۱</sup>؛ خرمیان، علی<sup>۱</sup>؛ آتشبار تهرانی، شاهین<sup>۲</sup><sup>۱</sup>گروه فیزیک، دانشگاه سمنان، سمنان<sup>۲</sup> پژوهشکده ذرات و شتابگرها، پژوهشگاه دانش‌های بنیادی (IPM)

## چکیده

در این مقاله اثر شکست تقارن روی توابع توزیع پارتون‌ها در پراکندگی ناکشسان ژرف قطبیده با استفاده از تحلیل QCD روی داده‌های DIS و SIDIS قطبیده مورد بررسی قرار می‌گیرد. در این محاسبات با انتخاب فرم جدید برای توابع توزیع پارتون‌ها در مقیاس اولیه  $Q_0^2$  و نامساوی گرفتن توزیع پاد کوآرک‌ها و کوآرک  $s$  پارامترهای مجهول را از فرآیند برازش استخراج کرده و مدل جدیدی برای فرم پارامتری توابع توزیع قطبیده ارائه می‌دهیم. نتایج بدست آمده با داده‌های تجربی و سایر مدل‌ها توافق خوبی دارند.

## QCD Analysis on Polarized DIS and SIDIS Data

Arbabifar, Fatemeh<sup>1,2</sup>; Khorramian, Ali<sup>1,2</sup>; Atashbar Tehrani, Shahin<sup>2</sup><sup>1</sup> Department of Physics, Semnan University, Semnan,<sup>2</sup> School of particles and accelerators, Institute for Research in Fundamental Science (IPM), P.O. Box 19395-5531, Tehran, Iran

## Abstract

In this paper the effect of symmetry breaking on polarized parton distribution functions in polarized deep inelastic scattering is studied using QCD analysis of polarized DIS and SIDIS data. In this calculation, by choosing new parton distributions at input scale  $Q_0^2$  and the inequality of antiquarks and  $s$  quark, we extract unknown parameters from fit procedure and present a new parameterization form for polarized parton distribution functions. The results are in good agreement with the experimental data and other models.

PACS No. (13)

(SIDIS) علاوه بر داده‌های قبلی، اثر شکست تقارن SU(2) و SU(3) یعنی  $\bar{u} \neq \bar{d} \neq \bar{s}$  را بررسی خواهیم کرد و به دلیل کمبود داده‌های فعلی برای تمایز  $s$  و  $\bar{s}$  از تساوی  $s = \bar{s}$  استفاده می‌کنیم. آزمایشات DIS فراگیر در تعیین جمع توزیع کوآرک‌ها و آنتی کوآرک‌ها مفید هستند و داده‌های SIDIS اطلاعات خوبی در مورد تفاوت کوآرک‌ها و آنتی کوآرک‌ها ارائه می‌دهند و استفاده از هر دو گروه داده‌ها در بررسی اثر شکست تقارن بسیار مهم و تعیین‌کننده است.

## مقدمه

در سال‌های اخیر یکی از اهداف مهم QCD شناخت دقیق از ساختار اسپینی نوکلئون و هسته و بررسی سهم پارتون‌ها از اسپین آنها بوده‌است و با توجه به گسترش داده‌ها در زمینه DIS قطبیده، امروزه می‌توان تحلیل دقیقی روی تابع ساختار قطبیده انجام داد [۱]. در تحلیل اخیر [۲] اثر داده‌های DIS فراگیر روی توابع توزیع قطبیده در حالت تقارن  $\bar{u} = \bar{d} = \bar{s}$  مورد بررسی قرار گرفت و در مقاله حاضر با در نظر گرفتن داده‌های نیمه فراگیر DIS



## تحلیل QCD

در تحلیل حاضر فرم پارامتری زیر را برای توابع توزیع پارتون‌ها در مقیاس ورودی  $Q_0^2 = 4\text{GeV}^2$  برای تقریب NLO برمی‌گزینیم

$$\begin{aligned} x\delta u_v &= N_{u_v} \eta_{u_v} x^{a_{u_v}} (1-x)^{b_{u_v}} (1+d_{u_v} x) \\ x\delta d_v &= N_{d_v} \eta_{d_v} x^{a_{d_v}} (1-x)^{b_{d_v}} (1+d_{d_v} x) \\ x(\delta\bar{d} - \delta\bar{u}) &= N_{\bar{d}-\bar{u}} \eta_{\bar{d}-\bar{u}} x^{\bar{d}-\bar{u}} (1-x)^{\bar{d}-\bar{u}} (1+c_{\bar{d}-\bar{u}} \sqrt{x}) \\ x(\delta\bar{d} + \delta\bar{u}) &= N_{\bar{d}+\bar{u}} \eta_{\bar{d}+\bar{u}} x^{\bar{d}+\bar{u}} (1-x)^{\bar{d}+\bar{u}} (1+c_{\bar{d}+\bar{u}} \sqrt{x}) \\ x\delta s &= N_s \eta_s x^s (1-x)^s (1+d_s x) \\ x\delta g &= N_g \eta_g x^{a_g} (1-x)^{b_g}, \end{aligned} \quad (1)$$

که در اینجا  $N_i$  ثابت نرمال سازی است و طوری انتخاب می‌شود که  $\eta_i$  اولین مممت  $\delta q_i(x, Q_0^2)$  باشد.

برای آسان‌تر شدن محاسبات روی معادلات تحول QCD آنها را به فضای ملین می‌بریم، تبدیل ملین برای توابع توزیع پارتون‌ها برای آرگومان مختلط  $N$  بدین صورت است

$$M[\delta f_i(x, Q^2)](N) = \int_0^1 x^{N-1} x \delta f_i(x, Q^2) dx. \quad (2)$$

سهام اختلال مرتبه دوم در تابع ساختار قطبیده را می‌توان توسط توابع توزیع قطبیده و ضرایب ویلسون  $\Delta C_i^N$  در فضای ملین بدین صورت توصیف کرد [۳]

$$\begin{aligned} g^p(N, Q^2) &= \\ &= \frac{1}{2} \sum_{q=u,d,s} e_q^2 \left\{ \left( 1 + \frac{\alpha_s}{2\pi} \Delta C_q^N \right) [\delta q(N, Q^2) + \delta \bar{q}(N, Q^2)] \right. \\ &\quad \left. + \frac{\alpha_s}{2\pi} 2 \Delta C_g^N \delta g(N, Q^2) \right\}, \end{aligned} \quad (3)$$

که در اینجا  $\alpha_s(Q^2)$  ثابت جفت‌شدگی در مرتبه NLO و  $\Delta q(N, Q^2)$ ،  $\Delta \bar{q}(N, Q^2)$  و  $\Delta g(N, Q^2)$  مممت توابع توزیع پارتون‌های قطبیده هستند.

با استفاده از معادلات تحول برای توابع توزیع قطبیده می‌توان تابع ساختار قطبیده را در هر  $Q^2$  در فضای ملین به دست آورد و با استفاده از تکنیک معکوس ملین روی تابع ساختار تحول یافته، می‌توان عملیات برازش را روی داده‌های تجربی در فضای

$x$  انجام داده و پارامترهای مجهول را استخراج کرد [۴].

از نظر آماری مهمترین داده‌های تجربی که در این آنالیز استفاده شده مربوط به داده‌های EMC, E143, SMC, HEMES و E155 برای تابع ساختار قطبیده در فرآیند DIS فراگیر [۲] و داده‌های HERMES و COMPASS برای توابع توزیع قطبیده در فرآیند SIDIS است [۵ و ۶].

برای بدست آوردن بهترین نتیجه و محاسبات خطا از رابطه زیر برای تعیین  $\chi^2$  مؤثر استفاده می‌کنیم

$$\begin{aligned} \chi_{global}^2 &= \sum_n \omega_n \chi_n^2 \\ \chi_n^2 &= \left( \frac{1 - N_n}{\Delta N_n} \right)^2 + \sum_i \left( \frac{N_n g_{1,i}^{data} - g_{1,i}^{theor}}{N_n \Delta g_{1,i}^{data}} \right)^2, \end{aligned} \quad (4)$$

و در نهایت با استفاده از برنامه MINUIT فرآیند برازش انجام گرفته و مجهولات توابع توزیع و در نهایت فرم پارامتری آنها تعیین می‌گردد [۲].

## بررسی اثر شکست تقارن

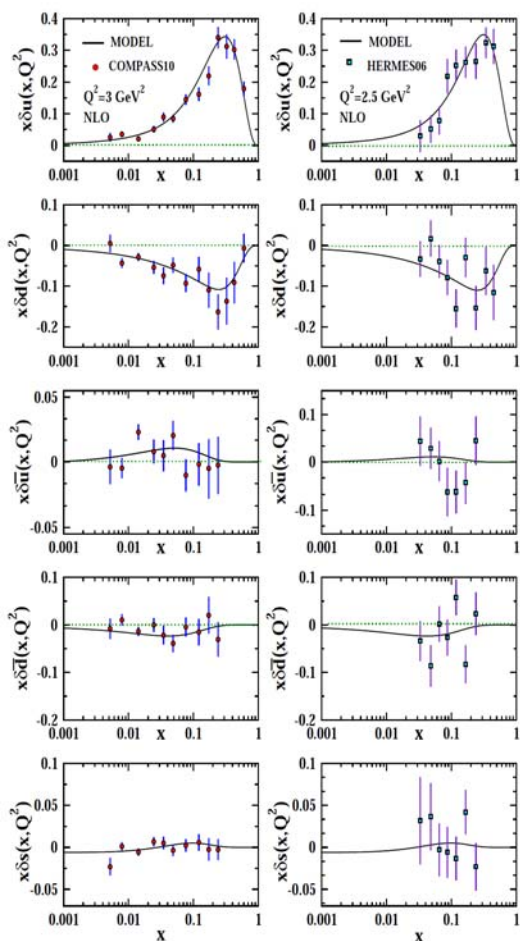
همانطور که در قسمت قبل آورده شد پارامترهای  $\eta_{u_v}$  و  $\eta_{d_v}$  اولین مممت  $\delta u_v$  و  $\delta d_v$  هستند، این پارامترها می‌توانند در مدل استاندارد بدون شکست تقارن به ثابت‌های  $F$  و  $D$  که در

$$\begin{aligned} \text{وایشی-}\beta \text{ نوترون و هایپرون اندازه‌گیری می‌شوند، مرتبط شوند [۷]} \\ a_v = \Delta \Sigma_u + \Delta \Sigma_d = \eta_{u_v} - \eta_{d_v} = F + D \\ a_\lambda = \Delta \Sigma_u + \Delta \Sigma_d - 2\Delta \Sigma_s = \eta_{u_v} + \eta_{d_v} = 3F - D. \end{aligned} \quad (5)$$

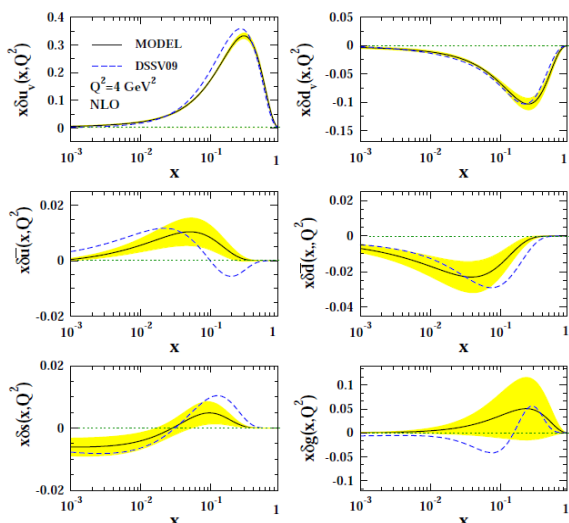
از آنجاییکه در تحلیل حاضر اثر شکست تقارن را بررسی می‌کنیم، با معرفی دو پارامتر  $\mathcal{E}_{SU(2)}$  و  $\mathcal{E}_{SU(3)}$  آزادای لازم را به رابطه بالا می‌دهیم تا واگرایی مورد نیاز از مدل استاندارد بدون شکست تقارن در فرآیند برازش انجام گیرد [۸]

$$\begin{aligned} a_v = \Delta \Sigma_u + \Delta \Sigma_d = \eta_{u_v} - \eta_{d_v} = F + D [1 + \mathcal{E}_{SU(2)}] \\ a_\lambda = \Delta \Sigma_u + \Delta \Sigma_d - 2\Delta \Sigma_s = \eta_{u_v} + \eta_{d_v} = 3F - D [1 + \mathcal{E}_{SU(2)}]. \end{aligned} \quad (6)$$

که در اینجا  $\mathcal{E}_{SU(2)}$  و  $\mathcal{E}_{SU(3)}$  میزان انحراف از تقارن  $SU(2)$  و  $SU(3)$  را پارامتری می‌کنند و در فرآیند برازش محاسبه می‌شوند.



شکل ۱: توابع توزیع قطبیده بر حسب  $x$  در مقایسه با داده‌های تجربی [۵۰].



شکل ۲: توابع توزیع پارتوهای قطبیده در تقریب NLO در مقایسه با مدل

[۹] DSSV09

باید توجه داشت که این انحراف از مقادیر F+D و 3F-D رابطه (۶) ممکن است میزان شکست تقارن واقعی را منعکس نکند و باید در آینده و پس از آزمایشات تجربی بیشتر، بطور دقیق مورد بررسی قرار گیرد ولی در محاسبات فعلی ما و با داده‌های تجربی موجود این مقادیر، کوچک و قابل قبول هستند.

همانطور که در بالا توضیح داده شد پارامترهای  $\eta_{d_v}$  و  $\eta_{u_v}$  با استفاده از رابطه (۶) بطور غیر مستقیم محاسبه شده و بنابراین از مجهولات فرآیند فیت خارج می‌شوند، پس از انجام برازش اولیه نیز مقادیر  $d_{d_v}$ ,  $d_{u_v}$  و  $b_g$  بدست آمده را به علت داشتن خطای آماری بزرگ و بهینه کردن مقدار  $\chi^2$  در برازش نهایی ثابت کرده و در نهایت فرآیند فیت روی ۱۵ پارامتر مجهول و  $\alpha_s(Q_0^2)$  انجام گرفت و مقادیر  $\chi^2/NDF = 0.829$  و  $\alpha_s(Q_0^2) = 0.340$  از برازش نهایی بدست آمدند [۸].

## نتیجه‌گیری

همانطور که ملاحظه شد توابع توزیع پارتون‌ها در تقریب NLO محاسبه شدند و با استفاده از داده‌های جدید SIDIS مدل شکست تقارن طعم بطور دقیق مورد بررسی قرار گرفت. تفاوت بارز روش حاضر در مقایسه با تحلیل قبلی استفاده از داده‌های جدید و نامساوی گرفتن پادکوارک‌ها یعنی  $\bar{u} \neq \bar{d} \neq \bar{s}$  برای بدست آوردن توابع توزیع بود. همانطور که در شکل ۱ نشان داده شده است توابع توزیع پارتون‌ها با داده‌های تجربی HERMES و COMPASS [۵۰] مقایسه شده‌اند که توافق بسیار خوبی میان آنها دیده می‌شود.

با توجه به شکل ۲ نیز نتایج بدست آمده در توافق خوبی با نتایج حاصل از مدل DSSV09 بوده [۹] که در حال حاضر بهترین مدل ارائه دهنده اثر شکست تقارن است. همانطور که در شکل ۲ مشاهده می‌شود  $x\delta d_v$  و  $x\delta u_v$  در هر دو مدل بسیار بهم نزدیک بوده و  $x\delta g$ ,  $x\delta s$ ,  $x\delta d$ ,  $x\delta u$  نیز قابل مقایسه هستند، علت تفاوت کوچک بکارگیری داده‌های متفاوت توسط دو مدل مقایسه شده است.

مرجع‌ها

- [۱] S. Atashbar Tehrani and Ali N. Khorramian, *JHEP* 0707, **048** (2007).  
[۲] [A. Khorramian](#), et al., *Phys. Rev D* **83** (2011) 054017.  
[۳] B. Lampe and E. Reya, *Phys. Rept.* **332** (2000) 1.  
[۴] J. Blumlein and H. Bottcher, *Nucl. Phys. B* **636** (2002) 225.  
[۵] [HERMES Collaboration], *Phys. Rev. D* **71** (2006) 012003.  
[۶] [COMPASS collaboration], *Phys. Lett. B* **693** (2010) 227.  
[۷] C. Amsler et al. (Particle Data Group), *Phys. Lett. B* **667** (2008) 1.  
[۸] F. Ababifar et al. wil be published iin DSPIN-11 Workshop Proceedings (2011).  
[۹] D. de Florian et al. *Phys. Rev. D* **80** (2009) 034030.

## تعیین ثابت پیوندی با استفاده از توزیع‌های چهار جتی در نابودی الکترون-پوزیترون

## با تصحیحات NLO

اکرم اعتمادی امین<sup>۱</sup>، محمد ابراهیم زمردیان<sup>۲</sup>، علی اکبر رجبی<sup>۳</sup><sup>۱</sup>شاهرود، دانشگاه صنعتی شاهرود<sup>۲</sup>مشهد، دانشگاه فردوسی مشهد

## چکیده

یکی از پارامترهای بنیادی QCD اختلالی، جفت شدگی  $\alpha_s$  است. در نابودی الکترون-پوزیترون، با استفاده از آهنگ رویدادهای چهار جتی و همچنین با بکارگیری بسط اختلالی در تقریب NLO ثابت پیوندی قوی تعیین می‌شود. همچنین محاسبه ثابت جفت شدگی در مقیاس مرجع جرم بوزون در چهار انرژی آشکارساز OPAL و محاسبه فاکتور مقیاس باز بهنجارش بهینه برای انرژی  $91\text{GeV}$  انجام گرفته است.

## Measurement of the coupling constant by using the four jet rates in electron- positron annihilation by NLO corrections

Etemadi Amin, A<sup>1</sup>, Zomorrodian, M.E<sup>2</sup>, Rajabi, A.A<sup>1</sup>

(1)Shahrood University of Technology.Department of physics, 361999-5161, Iran-Shahrood

(2)Ferdowsi University of Mashhad.Department of physics, 91775-1436, Iran-Mashhad.

## Abstract

This article gives results on a determination of strong coupling constant with data from electron-positron annihilation into hadrons at center-of-mass energies between  $91\text{GeV}$  and  $197\text{GeV}$  collected with OPAL and AMY detectors. We study the four -jet rate by using Durham algorithm resolution parameter  $Y_{cut}$ . We fit the experimental data with theory, by using (NLO) prediction and calculate  $\alpha_s(Q)$  in each energy. Our results are consistent with the QCD theory, that is, there is a decrease in  $\alpha_s(Q)$  by increasing the centre of mass energy. Possible explanation for these features will be given in this paper.

## مقدمه

ارائه می‌دهیم. با استفاده از الگوریتم خوشه ای DURHAM رویدادهای چهارجتی را تفکیک می‌کنیم، در این الگوریتم جرم مقیاس شده به صورت

$$Y_{ij} = \frac{m_{ij}^2}{E_{vis}^2} \quad \text{با} \quad y_{ij} = \frac{2 \min(E_i, E_j)(1 - \cos \theta_{ij})}{Q^2}$$

تعریف

می‌شود. اگر کوچکترین مقدار  $Y_{cut}$  از یک پارامتر  $Y_{ij}$  کمتر باشد، جفت ذره متناظر با جمع چار تکانه آنها به یک خوشه تبدیل می‌شود. این فرآیند با ترکیب تمام خوشه‌ها و ذرات باقیمانده آنگذر تکرار می‌شود تا تمام مقادیر  $Y_{ij}$  از  $Y_{cut}$  بیشتر شود، خوشه‌های باقیمانده در این مرحله را جت می‌نامند.

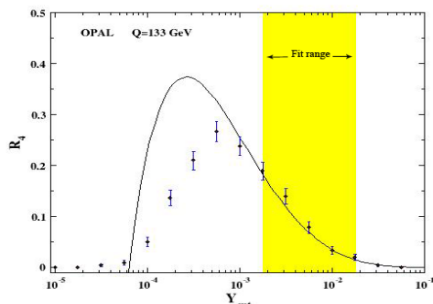
توزیع چندگانگی‌های جت که با این روش بدست می‌آیند به پارامتر  $Y_{cut}$  بستگی دارد. هر چه  $Y_{cut}$  کوچکتر باشد جت باریکتر می‌شود. [1]

اساس کار بر این بنا نهاده شده است که به کمک روابط موجود برای تقریب NLO، در بسط اختلالی (۱)، داده‌های تجربی

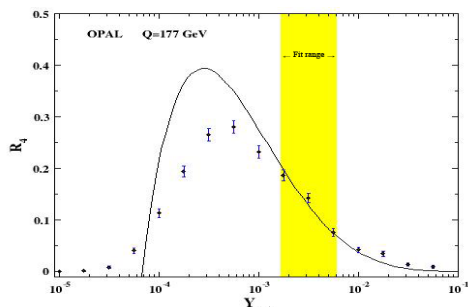
مشاهده پذیرهای سه جتی و چهار جتی در نابودی الکترون-پوزیترون یک آزمون ایده‌آل را برای مطالعه دینامیک رنگ فراهم می‌سازند، این موضوع در دو دهه گذشته به تفصیل مورد مطالعه قرار گرفته است. در اینجا سعی بر آن شده است، ثابت پیوندی قوی برای رویدادهای چهار جتی با تقریب NLO، بدست آورده شود.

## شرح

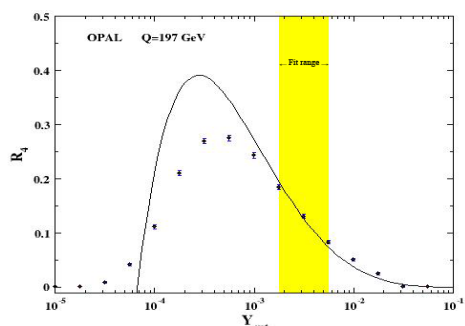
جتها بر مبنای یک الگوریتم جت تعریف می‌شوند. این الگوریتم توصیف می‌کند که چگونه می‌توان تکانه ذرات پر انرژی در یک رویداد را به یک جت تبدیل کرد. در این مقاله محاسبه تصحیحات NLO بر آهنگ رویدادهای چهار جتی را در نابودی الکترون-پوزیترون در سطح پارتون



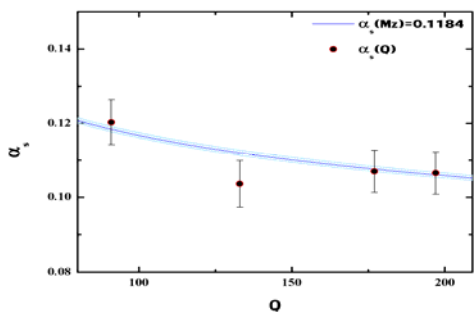
شکل (۲): برازش داده‌های تجربی بر روی پیش‌بینی تئوری NLO رویداد چهارجتی در انرژی ۱۳۳ GeV



شکل (۳): برازش داده‌های تجربی بر روی پیش‌بینی تئوری NLO رویداد چهارجتی در انرژی ۱۷۷ GeV



شکل (۴): برازش داده‌های تجربی بر روی پیش‌بینی تئوری NLO رویداد چهارجتی در انرژی ۱۹۷ GeV



شکل (۵): مقایسه مقدار  $\alpha_s(Q)$  با مقدار جهانی

$$\alpha_s(M_Z) = 0.1184 \pm 0.0007$$

و پیش‌بینی‌های نظری را با یکدیگر برازش داده و ثابت پیوندی را استخراج کرد. [۱]

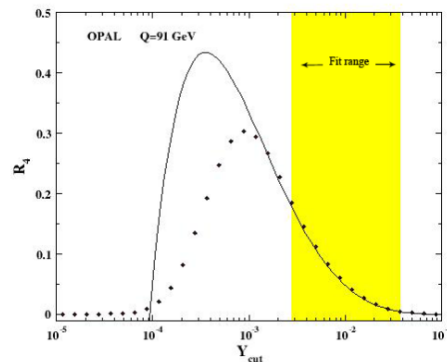
$$R_7(\mu) = \left(\frac{\alpha_s(\mu)}{2\pi}\right)^7 \bar{B}_7(\mu) + \left(\frac{\alpha_s(\mu)}{2\pi}\right)^6 \bar{C}_7(\mu) + o(\alpha_s^7) \quad (1)$$

یک رابطه ساده بین ضرایب  $A_n, B_n, C_n$  و ضرایب  $\bar{A}_n, \bar{B}_n, \bar{C}_n$  وجود دارد [۱]. در این محاسبات ضریب مقیاس باز بهنجارش  $x_\mu$  برابر با یک فرض شده است ضرائب اختلالی  $C_4$  و  $B_4$  با استفاده از برنامه مونت کارلو Mercutio2 [۲] بدست آمده اند.

در این مقاله ثابت پیوندی برای رویدادهای چهار جتی در انرژی‌های ۹۱ GeV, ۱۳۳ GeV, ۱۷۷ GeV و ۱۹۷ GeV با استفاده از الگوریتم Durham, محاسبه شده است. برای برازش داده‌های تجربی و پیش‌بینی تئوری از الگوریتم قدرتمند ژنتیک [۳] استفاده شده است. شکل‌های (۱) تا (۴) فرآیند برازش به همراه محدوده برازش را نشان می‌دهند و نتایج حاصله در جدول (۱) درج شده‌اند. در شکل (۵) مقایسه‌ای بین مقادیر بدست آمده را با مقدار جهانی  $\alpha_s(M_Z)$  را نشان می‌دهد. [۴]

جدول (۱): مقادیر ثابت پیوندی در انرژی‌های مختلف برای رویدادهای چهارجتی

انرژی مرکز جرم $(E_{cm})$	ثابت پیوندی قوی $(\alpha_s)$	خطای مقیاسی
۹۱ GeV	۰/۱۲۰۳	۰/۰۰۶۱
۱۳۳ GeV	۰/۱۰۳۶	۰/۰۰۶۳
۱۷۷ GeV	۰/۱۰۷۰	۰/۰۰۵۷
۱۹۷ GeV	۰/۱۰۶۵	۰/۰۰۵۷

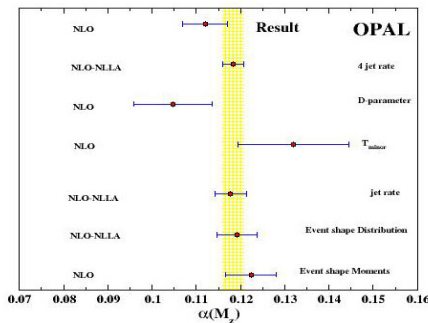


شکل (۱): برازش داده‌های تجربی بر روی پیش‌بینی تئوری NLO رویداد چهارجتی در انرژی ۹۱ GeV

مزبور مربوط به خطای سیستماتیک می‌باشد. این مقدار در شکل (۶) نمایش داده شده است و همانطور که ملاحظه می‌شود نتیجه حاصله سازگاری زیادی با نتایج بدست آمده در سال‌های اخیر را دارد.

### نتیجه گیری

در مقاله مقدار ثابت جفت‌شدگی قوی در انرژی‌های مختلف آشکارساز OPAL، و با استفاده از رویدادهای چهار جتی در نابودی الکترون-پوزیترون محاسبه شده است. برای محاسبه ثابت پیوندی رویدادهای چهارجتی تا مرتبه NLO که محاسبات آن تا کنون قابل دسترس است، استفاده گردیده است.



شکل (۶): مقایسه  $\alpha_s(M_Z)$  بدست آمده با نتایج سال‌های اخیر آشکارساز OPAL [۱]

عمده محاسبات این مقاله بر مبنای الگوریتم DURHAM انجام شده است

### سپاسگزاری

با سپاس فراوان از گروه تحقیقاتی آشکارساز OPAL که با در اختیار گذاشتن داده‌ها و اطلاعات لازم ما را در انجام این مقاله یاری کردن.

### مراجع

- [۱] G. Abbiendi, C. Ainsley, G. Alexander, G. Anagnostou, and K.J. Anderson, "Measurement of the strong coupling  $\alpha_s$  from four-jet observables in  $e^+e^-$  annihilation," *European Physical Journal C*, vol. 307, 2006, pp. 295-307.
- [۲] S. Weinzierl, "Jet algorithms in electron-positron annihilation: Perturbative higher order predictions," *arXiv:1011.6247v1*, 2010.
- [۳] S. Weinzierl, "Event shapes and jet rates in electron-positron annihilation at NNLO," *arXiv:0904.1077v1*, 2009, pp. 1-54.

در ادامه با استفاده از معادله گروه باز بهنجارش (۲) تا مرتبه دوم،  $\alpha_s(M_Z)$  برای رویدادهای چهارجتی با روش زیر بدست آورده شده است

(۱) تعیین ثابت  $\Lambda$ : ابتدا در رابطه با استفاده از ثابت پیوندی در انرژی‌های مختلف ثابت  $\Lambda$  بدست آورده می‌شود.

(۲) بعد از محاسبه  $\Lambda$  با استفاده از همان معادله می‌توان مقدار  $\alpha_s(M_Z) = 91.187$  محاسبه کرد. [۵]

$$\alpha_s(Q) = \frac{1}{\beta_0 L} - \frac{b_1 \ln L}{(\beta_0 L)^2} + \frac{1}{(\beta_0 L)^3} \left[ b_2^* (\ln^2 L - \ln L - 1) + b_3 \right] \quad (2)$$

$$\left[ b_4^* \left( -\ln^3 L - \frac{5}{3} \ln^2 L + 2 \ln L - \frac{1}{3} \right) - 3 b_5 \ln L + \frac{b_6}{3} \right]$$

نتایج حاصله در جدول (۲) درج شده‌اند.

جدول (۲): مقادیر ثابت پیوندی در مقیاس جرم بوزون ( $Z^0$ ) با ثابت  $\Lambda$  مربوطه

$E_{cm}$	۹۱ GeV	۱۳۳ GeV	۱۷۷ GeV	۱۹۷ GeV
$\Lambda$	GeV ۰.۲۷۰۴	GeV ۰.۲۲۵۲	۰.۲۸۲۳ GeV	۰.۲۹۴۳ GeV
$\alpha_s(M_Z)$	۰.۱۲۰۲	۰.۱۱۱۵	۰.۱۱۸۲	۰.۱۲۰۹

برای بدست آوردن  $\alpha_s(M_Z)$  میانگین روی تمام نقاط انرژی برآزش انجام می‌شود. در این مرحله در بسط اختلالی NLO، بجای پارامتر  $\alpha_s$  باید از رابطه (۳) که مربوط به تقریب مرتبه دوم  $\alpha_s$  است استفاده شود. [۶]

$$\alpha_s(\mu) = \frac{\alpha_s(\mu)}{w} \left( 1 - \frac{\alpha_s(M_Z)}{\pi} \frac{\beta_1 \ln(w)}{\beta_0 w} \right) \quad (3)$$

$$w = 1 - \beta_0 \frac{\alpha_s(M_Z)}{\pi} \ln \left( \frac{M_Z}{\mu} \right)$$

جائیکه:

$$\beta_0 = \frac{1}{2} \left( \frac{11}{3} C_A - \frac{2}{3} N_f \right)$$

$$\beta_1 = \frac{1}{4} \left( \frac{17}{3} C_A^2 - \left( \frac{5}{3} C_A + C_F \right) N_f \right)$$

نتیجه‌ای در این مرحله بدست می‌آید بعنوان مقدار  $\alpha_s(M_Z)$  میانگین نامبرده می‌شود که مقدار حاصله برابر است با  $\alpha_s(M_Z) = 0.1138 \pm 0.0059$ ، که خطای

- [۴] a G.-D. Ridder, T. Gehrmann, E.W.N. Glover, and G. Heinrich, “NNLO moments of event shapes in  $e + e -$  annihilation,” *Journal of High Energy Physics*, vol. 2009, May. 2009, pp. 106-106.
- [۵] A.G.-de Ridder, T. Gehrmann, E.W.N. Glover, and G. Heinrich, “Second-order QCD corrections to the thrust distribution,” *Work*, Jul. 2007, p. 4.
- [۶] S. Weinzierl, “Next-to-Next-to-Leading Order Corrections to Three-Jet Observables in Electron-Positron Annihilation,” *Physical Review Letters*, vol. 101, Oct. 2008, pp. 12-15.
- [۷] G. Gehrmann-De Ridder, A. and Gehrmann, T. and Glover, E. W. N. and Heinrich, “Jet Rates in Electron-Positron Annihilation at  $\mathcal{O}(\alpha_s^3)$  in QCD,” *Phys.Rev.Lett*, vol. 100, 2008, p. 172001.
- [۸] S. Weinzierl, StefanWeinzierl, “Moments of event shapes in electron-positron annihilation at next-to-next-to-leading order,” *Physical Review D*, vol. 80, 2009, p. 094018.
- [۹] S. et al Catani, “No Title,” *Phys.Lett.B*, vol. 269, 1991.
- [۱۰] S. Moretti and L. L., “New and Old Jet Clustering Algorithms for Electron-Positron Events,” *hep-ph/9804296*, 1998.
- [۱۱] Stirling.W.J, ““Hard QCD working group-theory summary,” *J.phys*, vol. G17, 1991, p. 1567.
- [۱۲] M.A. Surguladze, Levan R. and Samuel, “Total hadronic cross section in  $e^+e^-$  annihilation at the four-loop level of perturbative QCD,” *Phys.Rev.Lett*, vol. 66, 1991, p. 560.
- [۱۳] S.G. Gorishny, A.L. Kataev, and S.A. Larin, “The  $\mathcal{O}(\alpha_s^3)$  corrections to  $[\sigma]_{\text{tot}}(e+e- \rightarrow \text{hadrons})$  and  $[\Gamma]([\tau]^- \rightarrow [\nu][\tau] + \text{hadrons})$  in QCD,” *Phys.Lett.B*, vol. 259, 1991, p. 144.
- [۱۴] A. Hassannia, A. Darabi, and M. Alshamali, “Estimation of Dynamic Parameters of a Synchronous Generator using Genetic Algorithm,” *IEEJ Transactions on Electrical and Electronic Engineering*, vol. 4, Sep. 2009, pp. 668-673.
- [۱۵] G. Abbiendi, with The OPAL Collaboration, “Determination of  $\alpha_s$  using Jet Rates at LEP with the OPAL detector,” *Eur.Phys.J .C*, vol. 45, Jul. 2005, pp. 547-567.
- [۱۶] S. Bethke, “The 2009 World Average of  $\alpha_s$ ,” *Energy physics*, Aug. 2009, p. 14.

## معادله میدان ذرات با اسپین نیم صحیح دلخواه

برادران، مرضیه؛ علیزاده، زینب؛ پناهی، حسین

گروه فیزیک، دانشکده علوم، دانشگاه گیلان

### چکیده

در این کار، فرمیون‌های با اسپین نیم صحیح دلخواه مورد بررسی قرار گرفته‌اند و معادلات میدان توصیف‌کننده این ذرات، موسوم به معادلات راریتا-شوینگر از طریق معادلات برگمن-ویگنر محاسبه شده‌اند.

## Field equation of Particles with Arbitrary Half-Integral Spin

Baradaran, Marzieh<sup>1</sup>; Alizadeh, Zeinab<sup>2</sup>; Panahi, Hossein<sup>3</sup>

<sup>1,2,3</sup>Department of Physics, Faculty of sciences, University of Guilan

### Abstract

*In this work, the fermions of arbitrary half-integral spin are considered and the field equations that describe these particles which are known as Rarita-Schwinger equations are determined by using the Bargmann-Wigner equations.*

PACS No. 11.80.Cr; 11.15.Tk; 03.70.+k.

هدف ما در این کار به دست آوردن معادله میدان ذرات با اسپین نیم صحیح دلخواه است. در مکانیک کوانتومی نسبیتی، ذرات با اسپین نیم صحیح  $1/2$  از معادله دیراک پیروی می‌کنند. معادله کلی توصیف‌کننده ذرات با اسپین نیم صحیح دلخواه بزرگتر از  $1/2$ ، برای اولین بار توسط راریتا و شوینگر مطرح شد [۶]. پس از آنها، مولداتر و کیس با استفاده از نظریه دیراک-پائولی-فرز به نتایج جالبی در این کار رسیدند [۹,۸,۵,۴]. ما در این مقاله مطابق روش به کار رفته در مراجع [۱۱,۷]، با استفاده از معادلات برگمن-ویگنر [۱۰]، معادله میدان برای اسپین  $1/2$ ،  $3/2$ ،  $5/2$  و سپس تعمیم آن برای مقادیر بالاتر یعنی  $n + \frac{1}{2}$ ،  $n = 1, 2, \dots$  را به دست می‌آوریم.

### میدان دیراک برای توصیف ذرات با اسپین $1/2$

می‌دانیم که ذرات با اسپین  $1/2$ ، از معادله میدان شناخته شده دیراک پیروی می‌کنند. دیراک معادله خویش را به فرم معادله

### مقدمه

در نظریه میدان‌های کوانتومی، معادلات میدان توصیف‌کننده ذرات با اسپین صفر، اسپین  $1/2$  و اسپین ۱ که از ابزارهای نیرومند در توصیف پدیده‌های کوانتومی و کاربردهای آنها می‌باشند، بسیار مورد بررسی قرار گرفته‌اند [۳,۲,۱]. تعمیم و بسط میدان‌های فوق به نظریه جامعی که در برگزیده تمام ذرات با اسپین دلخواه باشد، در تئوری و کاربرد از اهمیت بسیاری برخوردار است.

از دیدگاه تئوری، چنین نظریه‌ای تکمیل‌کننده آمار فرمی-دیراک و بوز-اینشتین خواهد بود. روشهای متفاوتی برای یافتن شکل کلی معادلات میدان برای اسپین دلخواه به کار برده شده است [۶,۵,۴]. در مرجع [۷]، شکل کلی معادله میدان ذرات با اسپین دلخواه صحیح و نیم صحیح به طور کامل مورد بررسی قرار گرفته است.



شرویدینگر و با مشتقات فضایی و زمانی مرتبه اول به صورت زیر در نظر گرفت [۱۱]:

$$(i\hbar c\gamma^\mu \partial_\mu - m.c^\gamma)\Psi(x,t) = 0 \quad (1)$$

معادله دیراک در واقع معادله ای برای محاسبه تابع موج ذرات با اسپین ۱/۲ مانند الکترونها در مکانیک کوانتومی نسبیتی است که شامل قوانین و اصول مربوط به نظریه کوانتومی در نسبت خاص است. این معادله توانست وجود پادذره ها را قبل از کشف آنها پیشگویی کرده و مقدار صحیح نسبت ژیرومغناطیسی  $g_s = 2$  را نیز ارائه دهد. با فرض  $\hbar = c = 1$  و نیز تعریف  $\gamma^\mu \partial_\mu = \partial$  ، رابطه (۱) به صورت زیر در می آید:

$$(\partial + m)\Psi(x) = 0 \quad (2)$$

رابطه فوق، معادله برگمن-ویگنر نامیده می شود [۱۰]. در این معادلات تابع  $\Psi$  برای اسپین نیم صحیح دلخواه ، به صورت مولتی اسپینور و دارای اندیس می باشد. در مورد اسپین ۱/۲ یعنی معادله دیراک، تابع موج دارای یک اندیس و به صورت  $\Psi(x) = \Psi_\alpha(x)$  است. برای اسپین ۳/۲، دارای سه اندیس به صورت  $\Psi(x) = \Psi_{\alpha\beta\gamma}(x)$  و برای ۵/۲ دارای پنج اندیس به صورت  $\Psi(x) = \Psi_{\beta\gamma\rho\alpha}(x)$  است.

### معادله میدان ذرات با اسپین ۳/۲

در این مورد ، تابع  $\Psi$  در معادله برگمن-ویگنر، مولتی اسپینور مرتبه ۳ و به صورت  $\Psi(x) = \Psi_{\beta\gamma\rho\alpha}(x)$  می باشد و در نتیجه سه معادله حرکت کاملا متقارن را به صورت زیر داریم [7,10]:

$$(\partial + m)_{\alpha\alpha'} \Psi_{\alpha'\beta\rho}(x) = 0 \quad (3)$$

$$(\partial + m)_{\beta\beta'} \Psi_{\alpha\beta'\rho}(x) = 0 \quad (4)$$

$$(\partial + m)_{\gamma\gamma'} \Psi_{\alpha\beta\rho\gamma'}(x) = 0 \quad (5)$$

حال مولتی اسپینور مرتبه ۳ را به صورت ماتریس متقارن زیر پیشنهاد می دهیم.

$$\Psi_{\alpha\beta\gamma}(x) = (im\gamma_\nu C + \sigma_{\mu\nu} C \partial_\mu)_{\alpha\beta} \Psi_\rho^\nu(x), \quad (6)$$

که در آن  $C = \gamma_2\gamma_4$  عملگر بار مزدوج ،  $\gamma_\nu C$  و  $\sigma_{\mu\nu} C$  ماتریس هایی متقارن و  $\Psi^\nu$  میدان های اسپینوری هستند. بنابراین مولتی اسپینور فوق، نسبت به اندیس های  $\alpha, \beta, \rho$  ، تانسوری متقارن

است. هدف ما یافتن معادلات حاکم بر میدان های اسپینوری  $\Psi^\nu$  در رابطه (۶) می باشد.

از جاگذاری رابطه (۶) در معادله برگمن-ویگنر  $(\partial + m)\Psi(x) = 0$  خواهیم داشت:

$$[im(\gamma_\nu C) (\partial + m) + (\sigma_{\mu\nu} C) \partial_\mu] \Psi^\nu(x) = 0 \quad (7)$$

و از خاصیت استقلال ماتریس های  $\gamma$  به دست می آید:

$$(\partial + m)\Psi^\nu(x) = 0 \quad (8)$$

رابطه (۶) را از سمت راست در ماتریس های پاد متقارن  $(C^{-1})_{\beta\rho}$  و  $i(C^{-1}\gamma_s)_{\beta\rho}$  ضرب ماتریسی می کنیم و از آنجایی که حاصل ضرب ماتریس متقارن در پادمتقارن روی اندیس های مشترک صفر است، به ترتیب روابط زیر به دست می آیند:

$$[im\gamma_\nu + \sigma_{\mu\nu}] \Psi^\nu(x) = 0, \quad (9)$$

$$[-im\gamma_\nu + \sigma_{\mu\nu} \partial_\mu] \Psi^\nu(x) = 0, \quad (10)$$

روابط فوق را یکبار جمع و یکبار تفریق می کنیم، روابط زیر

برای میدان های اسپینوری  $\Psi^\nu$  حاصل می شوند:

$$\partial_\mu \Psi^\nu(x) = 0 \rightarrow \partial_\nu \Psi^\nu = 0 \quad (11)$$

$$\gamma_{\nu} \Psi^\nu(x) = 0, \quad (12)$$

بنابراین میدان های اسپینوری که در روابط فوق صدق می کنند

به همراه معادله (۶)، میدان توصیف کننده ذرات با اسپین ۳/۲ می باشند.

### معادله میدان ذرات با اسپین ۵/۲

در این مورد ، تابع  $\Psi$  در معادله برگمن-ویگنر، مولتی اسپینور

مرتبه ۵ و به صورت  $\Psi(x) = \Psi_{\alpha\beta\delta\rho}(x)$  می باشد و در نتیجه ۵

معادله حرکت کاملا متقارن را به صورت زیر داریم [۳]:

$$(\partial + m)_{\alpha\alpha'} \Psi_{\alpha'\beta\delta\rho}(x) = 0 \quad (13)$$

$$(\partial + m)_{\beta\beta'} \Psi_{\alpha\beta'\delta\rho}(x) = 0 \quad (14)$$

$$(\partial + m)_{\delta\delta'} \Psi_{\alpha\beta\delta'\rho}(x) = 0 \quad (15)$$

$$(\partial + m)_{\rho\rho'} \Psi_{\alpha\beta\delta\rho'}(x) = 0 \quad (16)$$

$$(\partial + m)_{\rho\rho'} \Psi_{\alpha\beta\delta\rho'}(x) = 0 \quad (17)$$

محاسبات ریاضی، رابطه زیر با ضرب روی اندیس های مشترک  $\tau\rho$  به دست می آید:

$$\begin{cases} (im\gamma_{\nu_1} + \sigma_{\mu\nu_1} \partial_{\mu}) \Psi^{\nu_1\nu_2} = 0, \\ (-im\gamma_{\nu_2} + \sigma_{\mu\nu_2} \partial_{\mu}) \Psi^{\nu_1\nu_2} = 0, \end{cases} \quad (26)$$

در انجام محاسبات فوق، از روابط زیر استفاده کرده ایم:

$$[\gamma^\mu, \gamma^\nu]_{\pm} = 0, \quad (\gamma^5)^2 = I.$$

روابط (26) را یکبار جمع و یکبار تفریق می کنیم. روابط زیر

حاصل می شوند:

$$\partial_{\mu} \Psi^{\nu_1\nu_2}(x) = 0 \rightarrow \partial_{\nu_1} \Psi^{\nu_1\nu_2} = 0 \quad (27)$$

$$\gamma_{\nu_1} \Psi^{\nu_1\nu_2}(x) = 0, \quad (28)$$

به طریق مشابه با ضرب روی اندیس های مشترک  $\beta\rho$  خواهیم

داشت:

$$\begin{cases} (im\gamma_{\nu_1} + \sigma_{\mu\nu_1} \partial_{\mu}) \Psi^{\nu_1\nu_2} = 0, \\ (-im\gamma_{\nu_2} + \sigma_{\mu\nu_2} \partial_{\mu}) \Psi^{\nu_1\nu_2} = 0, \end{cases} \quad (29)$$

که پس از یکبار جمع و تفریق آنها خواهیم داشت :

$$(30)$$

$$\partial_{\mu} \Psi^{\nu_1\nu_2}(x) = 0 \rightarrow \partial_{\nu_1} \Psi^{\nu_1\nu_2} = 0$$

$$\gamma_{\nu_1} \Psi^{\nu_1\nu_2}(x) = 0, \quad (31)$$

در نتیجه رابطه اسپینور (23) با در نظر گرفتن روابط (30) و

(31) برای میدان های اسپینوری  $\Psi^{\nu_1\nu_2}$ ، معادله میدان توصیف کننده

ذرات با اسپین 5/2 می باشد.

$$n + \frac{1}{2} \text{ اسپین با میدان ذرات}$$

با توجه به بخش های قبل، دیده می شود که در مورد اسپین

دلخواه  $s = n + \frac{1}{2}$  که  $n = 1, 2, 3, \dots$  می باشد، تعداد  $2n+1$  معادله

برگمن-ویگنر به صورت زیر داریم:

$$(\partial + m)_{\beta\beta'} \Psi_{\alpha_n\beta_n\alpha_{n-1}\beta_{n-1}\dots\alpha_1\beta_1\rho}(x) = 0, \quad (32)$$

:

$$(\partial + m)_{\rho\rho'} \Psi_{\alpha_n\beta_n\alpha_{n-1}\beta_{n-1}\dots\alpha_1\beta_1\rho'}(x) = 0.$$

که در آن،  $\Psi_{\alpha_n\beta_n\alpha_{n-1}\beta_{n-1}\dots\alpha_1\beta_1\rho}(x)$  مولتی اسپینور از مرتبه  $2n+1$

می باشد که از تعمیم مولتی اسپینورهای اسپین 3/2 و اسپین 5/2 به

صورت زیر به دست می آید:

مولتی اسپینور مرتبه پنج  $\Psi(x) = \Psi_{\beta\rho\tau\alpha}(x)$  را به روشی که در

ادامه می آید از رابطه اسپینوری اسپین 3/2 به دست می آوریم:

$$S = \frac{3}{2} \rightarrow \Psi_{\alpha\beta\gamma}(x) = (im\gamma_{\nu} C + \sigma_{\mu\nu} C \partial_{\mu})_{\alpha\beta} \Psi_{\rho}^{\nu}(x), \quad (18)$$

$$S = \frac{5}{2} \rightarrow \Psi_{\alpha\beta\delta\tau\rho}(x) = (im\gamma_{\nu} C + \sigma_{\mu\nu} C \partial_{\mu})_{\alpha\beta} \Psi_{\delta\tau\rho}^{\nu}(x), \quad (19)$$

حال باید مولتی اسپینور  $\Psi_{\delta\tau\rho}^{\nu}$  را بیابیم. برای اینکار به صورت زیر

عمل می کنیم. رابطه (19) را به ترتیب در روابط (15) و (16)

جاگذاری می کنیم؛ پس از انجام محاسبات ریاضی خواهیم داشت:

$$(\partial + m)_{\delta\delta'} \Psi_{\delta\tau\rho}^{\nu}(x) = 0 \quad (20)$$

$$(\partial + m)_{\tau\tau'} \Psi_{\delta\tau\rho}^{\nu}(x) = 0 \quad (21)$$

با توجه به روابط فوق، می توانیم مولتی اسپینور  $\Psi_{\delta\tau\rho}^{\nu}$  را به

صورت زیر تعریف کنیم:

$$\Psi_{\delta\tau\rho}^{\nu}(x) = (im\gamma_{\nu'} C + \sigma_{\mu'\nu'} C \partial_{\mu'})_{\delta\tau} \Psi_{\rho}^{\nu\nu'}(x), \quad (22)$$

حال رابطه فوق را در رابطه (19) جاگذاری می کنیم، مولتی

اسپینور مرتبه 5 به صورت زیر به دست می آید:

$$\Psi_{\alpha\beta\delta\tau\rho}(x) = (im\gamma_{\nu_1} C + \sigma_{\mu\nu_1} C \partial_{\mu})_{\alpha\beta} (im\gamma_{\nu_2} C + \sigma_{\mu'\nu_2} C \partial_{\mu'})_{\delta\tau} \Psi_{\rho}^{\nu_1\nu_2}(x), \quad (23)$$

لازم به ذکر است که برای روشن شدن روند تعمیم با اسپین

های بالاتر در رابطه فوق  $\nu_1, \nu_2$  را با  $\nu_1, \nu_2'$  جایگزین کرده ایم. از

آنجاییکه رابطه (23) در رابطه (17) صدق می کند، بنا بر این

خواهیم داشت:

$$(\partial + m)_{\rho\rho'} \Psi_{\alpha\beta\delta\tau\rho'}(x) = 0 \quad (24)$$

نیز با استفاده از خاصیت استقلال ماتریس های  $\gamma$  خواهیم داشت:

$$(\partial + m)_{\rho\rho'} \Psi_{\rho'}^{\nu_1\nu_2}(x) = 0 \quad (25)$$

با توجه به اینکه  $\sigma_{\mu\nu} C$  و  $\gamma_{\nu} C$  در رابطه (23) ماتریس های

متقارن هستند، بنابر این رابطه فوق نسبت به اندیس های

$\alpha, \beta, \delta, \tau$  متقارن است. برای یافتن روابط حاکم بر میدان های

اسپینوری  $\Psi^{\nu_1\nu_2}$  در مسئله اسپین 5/2، مشابه با حالت اسپین 3/2،

ماتریس متقارن رابطه (23) را از سمت راست در ماتریس های

پادمتقارن  $(C^{-1})_{\beta\rho(\tau\rho)}$  و  $i(C^{-1}\gamma_5)_{\beta\rho(\tau\rho)}$  ضرب می کنیم. همان طور

که قبلا ذکر شد، حاصل ضرب ماتریس متقارن در ماتریس پاد

متقارن روی اندیس های مشترک صفر است. با انجام اندکی

$$\Psi_{\alpha,\beta,\alpha,\beta,\dots,\alpha_n,\beta_n,\rho}(x) = \prod_{j=1}^n (im\gamma_{\nu_j} C + \sigma_{\mu_j\nu_j} C \partial_{\mu_j})_{\alpha_j\beta_j} \Psi_{\rho}^{\nu_1\nu_2\dots\nu_n}, \quad (33)$$

که در آن  $\Psi_{\rho}^{\nu_1\nu_2\dots\nu_n}(x)$  میدان های اسپینوری مرتبه  $n$  می باشند. با جای گذاری معادله فوق در معادله برگمن-ویگنر  $(\partial + m) \Psi_{\alpha,\beta,\alpha,\beta,\dots,\alpha_n,\beta_n,\rho}(x) = 0$  و استفاده از خاصیت استقلال ماتریس های  $\gamma$  خواهیم داشت:

$$(\partial + m) \Psi_{\rho}^{\nu_1\nu_2\dots\nu_n}(x) = 0 \quad (34)$$

روابط حاکم بر میدان های اسپینوری نیز از تعمیم نتایج بخش های قبل به صورت زیر خواهند بود:

$$\partial_{\nu_i} \Psi^{\nu_1\nu_2\dots\nu_n} = 0, \quad i = 1, 2, \dots, n \quad (35)$$

$$\gamma_{\nu_i} \Psi^{\nu_1\nu_2\dots\nu_n}(x) = 0,$$

بنابراین رابطه (33) با در نظر گرفتن روابط فوق برای میدان های اسپینوری  $\Psi_{\rho}^{\nu_1\nu_2\dots\nu_n}(x)$ ، معادله میدان توصیف کننده ذرات با اسپین نیم صحیح دلخواه می باشد.

## نتیجه گیری

در این کار، فرمیون های با اسپین نیم صحیح دلخواه مورد بررسی قرار داده شدند و معادلات میدان توصیف کننده این ذرات، موسوم به معادلات راریتا-شوینگر از طریق معادلات برگمن-ویگنر، با یافتن روابط حاکم بر میدان های اسپینوری در هر حالت محاسبه گردیدند.

## مرجع ها

- [1] S. U. Chung, CERN Report, CERN (1971) 71.
- [2] W. Frank, Rev. Mod. Phys. 71 (1999) S85.
- [3] F. Mandl and G. Shaw, QUANTUM FIELD THEORY, (John Wiley & Sons, 1984).
- [4] P. A. M. Dirac, Proc. Roy. Soc. A155 (1936) 447.
- [5] M. Fierz, Helv. Phys. Acta 12(1939) 3.
- [6] W. Rarita and J. Schwinger, Phys. Rev. 60 (1941) 61.
- [7] H. Shi-Zhong, R. Tu-Nan, W. Ning, Z. Zhi-Peng, Comm.. Theor. Phys. (Beijing, China) Vol. 37 (2002) pp 63-74
- [8] M. Fierz and W. Pauli, Proc. Roy. Soc. A137 (1939) 211.
- [9] P. A. Moldauer and K. M. Case, Phys. Rev. 102 (1956) 279.
- [10] V. Bargmann and E. P. Wigner, Proc. Nat. Acad. Sci. (USA) 34 (1948) 211.
- [11] Greiner. W, Relativistic Quantum Mechanics, (Springer-Verlag, Berlin, 1981)

## بررسی سیستم های قیدی برای کوارکونیوم بوسیله یک پتانسیل کلی و محاسبه تابع موج در مبدا

برون، غلامرضا<sup>۱</sup>؛ عبدالمالکی، حامد<sup>۲</sup><sup>۱</sup>گروه فیزیک، دانشگاه رازی، کرمانشاه<sup>۲</sup>باشگاه پژوهشگران جوان، دانشگاه آزاد اسلامی واحد توپسرکان، توپسرکان

## چکیده

در این مقاله سیستم های قیدی شامل کوارکهای سنگین  $b$  و  $c$  مورد مطالعه قرار گرفته است. به کمک روش وردشی بیان شده است که معادله شرودینگر توصیف بسیار خوبی برای سیستم های شامل کوارکهای سنگین بیان می دارد. با ارائه پتانسیلی کلی به شکل  $V(r) = k(\sqrt{r} + \frac{\alpha}{r})$  توانستیم نتایج بدست آمده را با سایر مدلها (Cornell, martin, logarithmic, Lichtenberg,...) مورد مقایسه قرار داده و به کمک حل دقیق معادله شرودینگر تابع موج در مبدا و مقادیر چشمداشتی  $\langle r \rangle$  و  $\langle 1/r \rangle$  را برای این مزونهای سنگین محاسبه کنیم

## Investigate of Binding Systems for Quarkonium by a Global Potential and the Wave Function at the Origin

Boroun, Golamreza<sup>1</sup>; Abdolmalki, Hamed<sup>2</sup><sup>1</sup> Department of Physics, razi University, Kermanshah 67149<sup>2</sup> Azad University, Toyserkan branch, Young researchers club, Iran

## Abstract

In this paper, we investigate binding systems for heavy quarks  $b$  and  $c$ . using the varitional method, Very good description of the Schrödinger equation for systems containing heavy quarkonium is expressed. we presented a global potential in the form of  $V(r) = k(\sqrt{r} + \frac{\alpha}{r})$  and show that obtained results of this global potential comparable with other potentials model (Logarithmic- Martin- Cornell- Lichtenberg) ,and employ exact solutions of the Schrödinger equation to calculated of the WFO and exact values of  $\langle r \rangle$  and  $\langle 1/r \rangle$  of the massive mesons.  
Key word: wfo, global potential

PACS No.: 12, 13

## مقدمه

سنگین بسیار مهم است [۲]. تابع موج در مبدا نقش مهمی در ارزیابی تولید و دامنه پراکندگی کوارکونیوم و همچنین پدیده ترکش مزونهای سنگین ایفا می کند [۳ و ۴]. به کمک روش وردشی می توان ویژه توابع انرژی مراتب بالای سیستم هایی که هامیلتونی معین ولی دارای ویژه مقادیر نامعین می باشند را محاسبه کرد. اما کاربرد مخصوص آن در بررسی حالت پایه است. بنابراین روش وردشی، روشی مناسب برای تخمین انرژی حالت پایه و بدنبال آن تابع موج در مبدا می باشد [۵]

امروزه سیستم های شامل کوارکهای سنگین نقش بسیار مهمی در فیزیک ذرات بنیادی ایفا می کنند. [۱] روشهای مکانیک کوانتومی غیر نسبیتهی موفقیتهای بسیار خوبی در نواحی انرژی پایین دارند. اخیراً "فرصتهای خوبی برای به کار بردن روشهای غیر نسبیتهی برای حالتهای مقید در فیزیک انرژی بالا باز شده است که منجر به گشفتن مزونهای با طعم سنگین  $\Psi(3\text{GeV}/C^2)$  و  $\Upsilon(10\text{GeV}/C^2)$  شده است. بنابراین بررسی معادله شرودینگر برای مطالعه تولید هادرونیهای

## روش وردشی

$$V(r) = -ar^{-\alpha} + br^{\beta} + C \quad (5)$$

که با تعیین  $\alpha, \beta$  ، به مدل‌های پتانسیلی زیر تبدیل می‌گردد.

$$\alpha=\beta=1 \quad \text{Cornell potential model [8]}$$

$$\alpha=\beta=0.75 \quad \text{Lichtenberg potential model [9]}$$

$$\alpha=\beta=0.5 \quad \text{Song-Liu potential model [10]}$$

$$\alpha=\beta \rightarrow 0 \quad \text{Logarithmic potential model [11]}$$

$$\alpha=0, \beta=0.1 \quad \text{Martin potential model [12]}$$

با کمک داده‌های آزمایشی می‌توان ثابتها را به ترتیب زیر بدست آورد و شکل

کلی زیر را برای این پتانسیل نوشت [۱۳].

$$V(r) = k(\sqrt{r} + \frac{\alpha}{r}) + c \quad (6)$$

$$k = 070585, \alpha = 0.46122, \alpha = 0.46122$$

در اینجا  $r^{-1}$  ،  $V(r)$  بر حسب GeV می‌باشند. در این مدل پتانسیلی

$$m_c = 1.3959, m_b = 4.80303 \quad \text{می‌باشند.}$$

مقدار چشم‌اندازی انرژی پتانسیل بر حسب کمتهای  $a, b$  و به صورت زیر

محاسبه می‌گردد.

$$\langle V \rangle = 4\pi \int_0^{\infty} r^2 e^{-2ar^b} \left[ k(\sqrt{r} + \frac{\alpha}{r}) + c \right] dr \quad (7)$$

$$= 5.5979a^{9/4} k \left( \frac{0.177132}{a^{21/8}} - \frac{0.234996\alpha}{a^{3/2}} \right) + c$$

و همچنین در مورد مقدار چشم‌اندازی انرژی جنبشی، که مستقل از مدل

پتانسیلی است، داریم:

$$\langle T \rangle = \frac{-4\pi n^2}{2\mu} \int_0^{\infty} r^2 e^{-2ar^b} \left( \frac{2}{r} \frac{d}{dr} + \frac{d^2}{dr^2} \right) e^{-2ar^b} dr \quad (8)$$

$$= 0.052a^{2/b} (1+b) e^{1.39/b} \frac{\Gamma(1/b)}{\Gamma(3/b)}$$

در روابط بالا از  $\hbar = c = 1$  استفاده شده

است. با قرار دادن  $\langle V \rangle$  از روابط (۷) و (۸) در رابطه (۳) و مینیم سازی

و حل آن بر حسب توابع وردشی و استفاده از شرط بهنجارش می‌توان شکل

تابع موج را تعیین کرد.

$$\int \psi^* \psi d^3r = 1 \Rightarrow N = \left( \frac{b(2a)^{3/b}}{4\pi \Gamma(3/b)} \right)^{1/2} \quad (9)$$

بنا براین ثابت نرمالیزه برای تابع موج دلخواه بر حسب  $a$  و  $b$  برای پتانسیل

دلخواه بدست می‌آید. می‌توان با جایگذاری مقادیر  $a$  (تابع وردشی)، تابع

موج در مبداء را بر حسب  $b$  بدست آورد.

$$\psi_{trial} = Ne^{-ar^b} \Rightarrow |\psi(0)|^2 = N^2 = WFO \quad (10)$$

نتایج بدست آمده از تابع موج انتخابی برای پتانسیل دلخواه  $V(r)$  برای

سیستم‌های شامل کوارکهای سنگین  $b\bar{b}, c\bar{c}, b\bar{c}$  در مقابل سایر مدلها به

در محاسبات مربوط به روش وردشی تلاش بر حل مساله ویژه مقدراری

نمی‌باشد [۵].

$$H|\psi\rangle = \left(-\frac{1}{2\mu} \Delta + V(r)\right)|\psi\rangle = E|\psi\rangle \quad (1)$$

$$E(\psi) = \frac{\langle \psi | H | \psi \rangle}{\langle \psi | \psi \rangle} = \langle H \rangle$$

در رابطه بالا اگر  $|\psi\rangle$  به عامل  $\alpha$  وابسته باشد،  $E(\psi)$  نیز به این عامل

وابسته است. حال با کمک رابطه (۱)،  $E$  را محاسبه کرده و بعد از مینیم سازی

و حل، بر حسب توابع وردشی، مقدار  $\alpha_i$  را بدست می‌آوریم.

$$\frac{\partial E}{\partial \alpha} = 0 \quad (2)$$

که در آن  $\alpha_i$  توابع وردشی سیستم می‌باشند. با قرار دادن  $\alpha_i$  (توابع

وردشی) در تابع موج اولیه، توابع موج در مبداء و بدنبال آن مقادیر چشم‌اندازی

انرژی،  $\langle T \rangle$  و  $\langle V \rangle$  را بدست آورد.

## جدولها، شکلهای و روابط ریاضی

همواره برای هر سیستم فیزیکی می‌توان هامیتونی را به صورت زیر نوشت:

$$\langle H \rangle = \langle T \rangle + \langle V \rangle \quad (1)$$

پس قدم اول محاسبه  $\langle V \rangle$  و  $\langle T \rangle$  و می‌باشد. برای این منظور باید یک تابع

موجی متناسب با شرایط مساله تعریف کنیم. تابع موج انتخابی ما به صورت زیر

است [۶].

$$\psi_{trial} = Ne^{-ar^b} \quad (4)$$

در اینجا  $N$  ثابت نرمالیزه که توسط شرط نرمالیزه محاسبه می‌گردد و "a"

تابع وردشی و "b" ثابتی است که شکل مساله بستگی دارد. که در حالت‌های

حدی به فرم‌های معروف زیر مبدل میگردد.

$b=1$  تابع موج اتم هیدروژن گونه را نتیجه می‌دهد.

$b=2$  تابع موج نوسانگر هارمونیک را نتیجه می‌دهد.

$b=4/3$  تابع موج مورد استفاده توسط [۶] Yi Bing Ding et al

$b=3/2$  تابع موج مورد استفاده توسط [۷] Gupta et al

قدم بعدی انتخاب پتانسیل مناسبی است که برای برهمکنش‌های قوی مورد

استفاده قرار می‌گیرد. پتانسیل مورد استفاده در این کار در حالت‌های حدی به

پتانسیل‌های (Cornell, martin, logarithmic, Lichtenberg, ...) مبدل

می‌گردد و شکل کلی آن به صورت زیر است.

- [۲] C. Quigg and J.L. Rosner, *Phys. Rep.* 56, 167 (1979).  
 [۳] E. Braaten, K. Cheung *Phys. Rev. D* 51, 4819 (1995).  
 [۴] E. j Eichten, C. Quigg, *phys. Rev* (1994)  
 [۵] Modern Quantum Mechanic J. J. Sukurai, *Addison-Wesley* (1994)  
 Modern Quantum Mechanic N Zettili - *John Wiley and Sons*, Inc., New York (2001)  
 [۶] YB Ding, XQ Li, PN Sheri - *phys Rev, D*, (1999)  
 [۷] S. N. Gupta, S. F. Radford, *phys. Rev* (1982)  
 [۸] E. Eichten et al, *phys. Rev. Letters* 34(1975)  
 [۹] D. B. Lichtenberg, et al, *Z phys*, C41 (1986)  
 [۱۰] X. T. Song and H. Liu, *Z phys*, C43 (1987)  
 [۱۱] C. Quigg and J.L. Rosner. *Phys Letter.* 71B (1997)  
 [۱۲] A. Martin, *phys. Lett.B* 100 (1981)  
 [۱۳] L. Motyka, K.Zalewski, *Zs. Phys.* C69, (1995)  
 K.Zalewski *ACTA PHYSICA POLONICA B* Vol. 29 (1998)  
 [۱۴] W. Lucha, Franz.F.Schorberg, *Int.J.Mod.Phys.* C10 (1999) 607-620  
 [۱۵] W. Buchmuller et al, *Phys Rev D*24 (1981)  
 [۱۶] A. Martin, *phys Letter B* 93 (1980)  
 [۱۷] E. Eichten et al, *phys. Rev D*17 (1978)  
 [۱۸] SJ Collins, TD Imbo, B Alex King, EC Martell - *Physics Letters B*, (1997), Elsevier

طور همزمان در جداول [۶-۱] و همچنین مقادیر چشمداشتی انرژی بر حسب "b" برای این سیستم در جداول [۹-۷] رسم گردیده است.

### حل دقیق معادله شرودینگر

در این بخش ما معادله شرودینگر را با استفاده از روش رانگ - کوتا برای سیستم های شامل کوارک سنگین به صورت دقیق حل کرده و بدنبال آن مقدار عددی تابع موج در مبداء و مقادیر چشمداشتی  $\langle r \rangle$  و  $\langle 1/r \rangle$  را برای حالت های  $1s, 2s, 2p$  بدست می آوریم. برای این منظور از نرم افزار Mathematica کمک گرفته ایم [۱۴]. نتایج بدست آمده برای پتانسیل دلخواه (این مطالعه) به همراه نتایج بدست آمده از سایر پتانیل ها در جدول [۶-۱] لیست شده است.

### نتیجه گیری

همانگونه که از شکل های [۹-۱] مشاهده می گردد دارای رفتار منظم تری است. و این رفتار منظم آنچیزی است که در فیزیک ذنبال آن هستیم. همانگونه که مشاهده می گردد تابع موج در مبداء ((مقدار چشمداشتی  $\langle r \rangle$  و  $\langle 1/r \rangle$ )) بدست آمده از پتانسیل دلخواه (این مطالعه) دارای نقاط مشترکی با تابع موج در مبداء ((مقدار چشمداشتی  $\langle r \rangle$  و  $\langle 1/r \rangle$ )) بدست آمده از سایر مدل های پتانسیلی است.

همانگونه که از مقدار بدست آمده تابع موج در مبداء بر حسب "b" مشاهده می گردد تابع موج در مبداء در  $b=2.0838$  و  $b=0$  دارای کسستگی می باشد بنابراین بازه انتخابی "b" باید در این بازه باشد. این نتیجه از سایر مدل های پتانسیلی نیز مشاهده می گردد. با توجه شکل های [۹-۷] مشاهده می گردد مقدار چشمداشتی انرژی برای پتانسیل دلخواه (این مطالعه) دارای بالاترین سطح نسبت به سایر مدل های پتانسیلی است. همانگونه که از جدول های [۳-۱] مشاهده می گردد، تابع موج در مبداء بدست آمده از حل دقیق معادله شرودینگر برای پتانسیل دلخواه (این مطالعه) در بازه نتایج بدست آمده از سایر پتانسیلها است. که خود گواهی از این مطلب است که این مدل در بر دارنده حالت کلی از سایر مدلهاست.

### مرجع ها

- [۱] S. Abachi et al, DO Collaboration, S. Abachi et al *phys Rev. Lett* 72, 2138 (1994).

## تابع ترکش مزون‌های سنگین با استفاده از Global WFO

برون، غلامرضا<sup>۱</sup>؛ عبدالمالکی، حامد<sup>۲</sup>

<sup>۱</sup>گروه فیزیک، دانشگاه رازی، کرمانشاه

<sup>۲</sup>باشگاه پژوهشگران جوان، دانشگاه آزاد اسلامی واحد توپسرکان، توپسرکان

### چکیده

با استفاده از Global WFO تابع ترکش مزون  $J/\psi$  را مورد محاسبه قرار داده ایم. برای محاسبه این تابع ترکش از دامنه پراکندگی ناورد و همچنین تابع موج در مبدا استفاده شده است. نتایج بدست آمده در دو حالت با نتایج آزمایشگاهی مقایسه شده است. ما تخمین می‌زنیم که این تابع ترکش محاسبه شده برای  $c\bar{c}$  در حالت  $M = m_1 + m_2$  افزایش می‌یابد و همچنین برای هر دو حالت  $M = M_{exp}$ ،  $M = m_1 + m_2$  با داده‌های آزمایشگاهی قابل مقایسه است.

## Heavy Mesons Fragmentation Function Using Global WFO

Boroun, Gholam Reza<sup>1</sup>; Abdolmaleki, Hamed<sup>2</sup>

<sup>1</sup>Physics department, Razi University, Kermanshah 67149, Iran

<sup>2</sup>Azad University, Toyserkan branch, Young researchers club, Iran

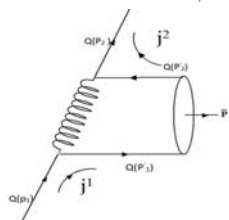
### ABSTRACT

In this paper we investigate the fragmentation function for heavy quarkonium using a global WFO. We employ the invariant amplitude scattering in our investigation for the fragmentation function as used the fragmentation function at the origin. The result in two state compare with experimental predication. We estimate that the fragmentation function of  $c\bar{c}$  increase when  $M=m_1+m_2$  and also is comparable with the experimental data when  $M=M_{exp}$ .

Key words: Fragmentation, The  $J/\psi$ , WFO, Global potential.

PACS No. ۱۳۰۱۲

مقدمه | (0) استفاده کرد. برای بررسی دامنه پراکندگی و احتمال تولید هادرونهای سنگین، تابع موج در مبدا مورد نیاز است. برای این منظور ما نیازمند پتانسیلی هستیم که در بر گیرنده تمام فواصل هادرونی باشد. برای بررسی سیستم‌های شامل کوارک  $c$  در دستگاه تکانه بینهایت کار می‌کنیم.



شکل ۲ نمودار فاینمن تولید مزون سنگین

مدل کوارکی مدل بسیار خوبی برای توصیف هادرونهای و خواص آنهاست. در این مدل هادرونهای سنگین از کوارک‌های  $b, c, t$  تشکیل شده است. اما کوارک  $t$  به خاطر طول عمر کمش در ساختار هادرونها شرکت ندارد [۱]. بعد از کشف کوارکهای  $b, c$ ، بررسی فرایند تولید مزونهای سنگین  $J/\psi, \Upsilon$  یکی از موضوعات پرچالش بوده و در یک مدل جالب مورد مطالعه قرار می‌گیرد [۲]. برای بیان تابع ترکش در مقیاس خواسته شده می‌توان از معادله تحول التارلی-پارزلی و همچنین تابع موج در مبدا  $R$

## حل دقیق معادله شرودینگر

روشهای غیر نسبیتی روشهای مناسبی برای بررسی فرایندهای شامل کوارک سنگین هستند. بنابراین معادله شرودینگر برای بررسی دامنه پراکندگی و احتمال تولید هادرون ها از اهمیت خاصی برخوردار است [۳و۴].

در این بخش ما معادله شرودینگر را با استفاده از روش رانگ - کوتا برای سیستم های شامل کوارک سنگین به صورت دقیق حل کرده و بدنبال آن مقدار عددی تابع موج در مبداء و مقادیر چشمداشتی  $E$ ،  $\langle r \rangle$  و  $\langle 1/r \rangle$  را برای حالت های  $1s$ ،  $2s$ ،  $2p$  به کمک نرم افزار Mathematica بدست می آوریم [۵]. نتایج بدست آمده برای پتانسیل کلی ( این مطالعه [۶].) به همراه نتایج بدست آمده از سایر پتانسیل ها در جدول [۲-۱] لیست شده است.

جدول ۱: مقادیر عددی تابع موج شعاعی در مبداء،  $|\Psi(0)|^2 = |R(0)|^2/4\pi$ ، برای حالت های  $1s$ ،  $2s$ ،  $2p$  سیستم های  $c\bar{c}$  در پتانسیل کلی (این مطالعه) و مقایسه با سایر مدل ها.

$ R(0) ^2$ for $c\bar{c}$	$1s$ (GeV <sup>3</sup> )	$2s$ (GeV <sup>3</sup> )	$2p$ (GeV <sup>3</sup> )
Our work	۰/۵۰۴۱۴	۰/۵۰۳۶۶	۰/۰۲۶۷۰
QCD[7]	۰/۸۱۰	۰/۵۲۹	۰/۰۷۵
Martin[8]	۰/۹۹۹	۰/۵۵۹	۰/۱۲۵
Log[11]	۰/۸۱۵	۰/۴۱۸	۰/۰۷۸
Cornell[9]	۱/۴۵۴	۰/۹۲۷	۰/۱۳۱
Buchmuller [10]	۰/۷۹۴	۰/۵۱۷	--
Lichtenberg [10]	۱/۱۲۱	۰/۶۹۳	--

جدول ۲: مقادیر چشمداشتی  $\langle r \rangle$  و  $\langle 1/r \rangle$  بدست آمده از پتانسیل کلی برای سیستم های  $c\bar{c}$  (این مطالعه)

$c\bar{c}$ state	$r(\text{GeV}^{-1})$	$1/r(\text{GeV})$	$E(\text{GeV})$
$1s$	۲/۶۱۸۶	۰/۴۹۱۵۱۸	۱۰/۲۸۸۶
$2s$	۴/۷۶۱۱۲	۰/۳۲۵۳۳۶	۱۰/۷۳۳۳
$2p$	۳/۷۵۱۸۴	۰/۳۰۷۰۴۳	۱۰/۵۴۹۳

## سینماتیک

چون فرایند ترکش در تکانه های بالا انجام می گیرد و در چارچوب تکانه بینهایت تمام ذرات در یک راستا حرکت می کنند بنابراین با توجه به دیاگرام فاینمن (شکل ۱) مسئله می توان چهار بردار تکانه مربوط به ذرات را می توان به صورت زیر نوشت:

$$(1) \quad \begin{aligned} P_{1\mu} &= (P_{10}, P_{1L}, P_{1T}) & , & & P'_{1\mu} &= (P'_{10}, P'_{1L}, P'_{1T}) \\ P_{2\mu} &= (P_{20}, P_{2L}, P_{2T}) & , & & P'_{2\mu} &= (P'_{20}, P'_{2L}, P'_{2T}) \\ P'_{1T} &= P'_{2T} = 0 & & & P_T &= P_{1T} = P_{2T} \end{aligned}$$

در مدل پارتونی هر ذره کسر  $X_i$  از انرژی-تکانه مزون را حمل می کند بطوریکه  $\sum_i X_i = 1$ . با فرض اینکه چهار بردار تکانه مزون خروجی، به صورت یک جت،  $\bar{P}$  باشد. بنابراین چاربردار سایر ذرات برحسب این چهار بردار بصورت زیر بدست می آید.

$$(2) \quad \begin{aligned} P'_{1\mu} &= X_1 \bar{P} & , & & P'_{2\mu} &= X_2 \bar{P} \\ P'_{1\mu} &= X_1 Z P_{1\mu} & , & & P'_{2\mu} &= X_2 Z P_{1\mu} \\ P_{2\mu} &= (1-Z) P_{1\mu} \end{aligned}$$

که در اینجا  $Z$  پارامتر ترکش به صورت زیر می باشد.

$$(3) \quad Z = \frac{P_{Hadron}}{P_{Quark}} = \frac{\bar{P}}{P_i}$$

## تابع ترکش

تابع ترکش برای کوارک های سنگین را می توان به شکل کلی زیر نوشت:

$$(4) \quad D(z, \mu_0) = \sum_n d_n(z, \mu_0) \langle o_n^x \rangle$$

در اینجا  $d_n(z, \mu_0)$  احتمال اینکه پارتون  $n$  به صورت یک جت، شامل یک جفت  $c\bar{c}$  در حالت  $n$  باشد و  $\langle o_n^x \rangle$  احتمال اینکه یک جفت  $c\bar{c}$  در حالت  $n$  یافت شود. بنا بر پراکندگی جریان- جریان و دامنه پراکندگی سخت [5]، می توان  $\langle o_n^x \rangle$  را بصورت زیر نوشت:

$$(5) \quad \begin{aligned} \langle o_n^x \rangle &= (C_f g_s^2 m_1 m_2 (WFO))^2 \int d^3 p_1 d^3 p_2 d^3 p_3 \\ &\times \frac{1}{2 p'_{01} p'_{02} p_{02} p_{01}} \frac{\delta^3(p'_1 + p'_2 + p_2 - p_1)}{(p'_{01} + p'_{02} + p_{02} - p_{01})^2} |\bar{M}| \end{aligned}$$



$$D(Z) = \left( \frac{Z(P_{qq} + P_{qg})}{(1-X)(1-Z)M^3} (32\pi^4)(C_f g_s^2 (WFO) MX)^2 \right) \times ((1-Z)X^2 M^2)^3 \frac{|\bar{M}|^2}{\xi^2 \Lambda^2} \quad (10)$$

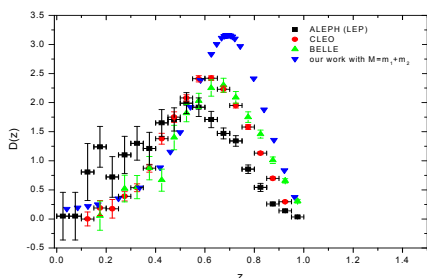
$$\Lambda = XZ (m_1^2 + P_T^2) \left( \frac{2-Z}{1-Z} \right) + m_1^2 \left( \frac{1}{XZ} + \frac{1-X}{XZ} + \frac{X}{1-X} + \frac{1-X}{X} + X^2 Z^2 \right)$$

$$\xi = q^2 = \frac{(m_1^2 + X^2 Z^2 (m_1^2 + (P_T)^2))}{XZ}$$

### نتیجه گیری

ما تابع موج در مبدا و همچنین مقدار چشمداشتی  $\langle T \rangle$  بکمک حل دقیق معادله شرودینگر، مورد محاسبه قرار داده ایم. نتایج بدست آمده در جدول های ۱ و ۲ برای  $C\bar{C}$  بیان شده است. با توجه به بررسی انجام شده در [6] انرژی بدست آمده از این مدل نسبت به سایر مدل ها بیشتر است.

در اینجا ما از عامل راس ناوردا تحت پارایته، انتقال لورنس و دامنه پراکنندگی سخت برای محاسبه تابع ترکش استفاده کرده ایم. در شکل ۳ نتایج بدست آمده از معادله ۱۰ برای تابع ترکش در دو حالت  $M=M_{exp}$ ،  $M=m_1+m_2$  بر حسب کمیت Z رسم شده و با داده های آزمایشگاهی مورد مقایسه قرار می گیرند [12-15]. همانگونه که مشاهده می گردد، مقدار تابع ترکش، زمانی که  $M=M_{exp}$ ،  $M=m_1+m_2$  در  $\langle Z \rangle \sim 0.67$  ماکزیمم مقدار خودش است. که نشان دهنده این موضوع است که تابع ترکش محاسبه شده، به کمک تابع موج در مبدا برای پتانسیل کلی، دارای نتایج بسیار خوبی بدون در نظر گرفتن حرکت فرمی است.



شکل ۱: تابع ترکش برای  $C\bar{C}$  زمانی که  $M=m_1+m_2$

برای بدست آوردن دامنه پراکنندگی ناوردا و غیر پلاریزه، باید روی تمام حالت های اسپینی میانگین گیری و روی تمام حالت های نهایی جمع بست.

$$|\bar{M}|^2 = 1/q^4 L_Q^{\mu\nu} L_{\mu\nu}^{\bar{Q}}$$

$$L_Q^{\mu\nu} = 1/2 \sum_{spin} (\bar{U}(p_1) \gamma^\mu U(p_1')) (\bar{U}(p_1) \gamma^\nu U(p_1'))^*$$

$$L_{\mu\nu}^{\bar{Q}} = 1/2 \sum_{spin} (\bar{U}(p_2) \gamma^\mu V(p_2')) (\bar{U}(p_2) \gamma^\nu V(p_2'))^*$$

$$|\bar{M}|^2 = \frac{8}{q^4} [(p_1' \cdot p_2)(p_1 \cdot p_2') + (p_1' \cdot p_2')(p_1 \cdot p_2)]$$

که در آن  $L_Q^{\mu\nu}$  تحت پارایته ناورداست. با استفاده از مدل پارتونی و همچنین در دستگاه تکانه بینهایت، ضربهای نقطه ای به صورت زیر محاسبه می گردد.

$$2(P_1' \cdot P_2) = \frac{1-Z}{X_1 Z} (m_1^2) + \frac{X_1 Z}{1-Z} (m_2^2 + P_T^2)$$

$$2(P_1 \cdot P_2') = \frac{1}{X_2 Z} (m_2^2) + X_2 Z (m_1^2 + P_T^2) \quad (7)$$

$$2(P_1 \cdot P_2) = 1-Z (m_1^2 + P_T^2) + \frac{1}{1-Z} (m_2^2 + P_T^2) - 2P_T^2$$

$$2(P_1' \cdot P_2') = \frac{X_1}{X_2} (m_2^2) + \frac{X_2}{X_1} (m_1^2)$$

در اینجا  $X_2 = X = 1 - X_1$  می باشد. بنابراین تابع ترکش برای مزون های سنگین با استفاده از WFO بدست آمده از جدول ۱، به صورت زیر بدست می آید.

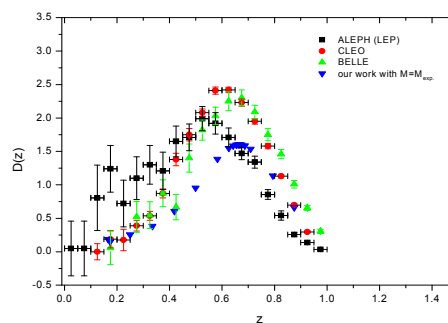
$$D(z) = (P_{qq} + P_{qg}) (C_f g_s^2 m_1 m_2 (WFO))^2 \sum \int d^3 P_1' d^3 P_2' d^3 P_2 \times \frac{1}{2 p_{01}' p_{02}' p_{02} p_{01}} \frac{\delta^3(p_1' + p_2' + p_2 - p_1)}{(p_{01}' + p_{02}' + p_{02} - p_{01})^2} |\bar{M}|^2 \quad (8)$$

برای محاسبه انتگرال در فضای فاز می توان انتگرال را روی دو المان گرفت. بنا براین:

$$d^3 \bar{P} = d^3 P_1' d^3 P_2' \quad , \quad \int d^3 \bar{P} \frac{\delta^3(\bar{P}_0 + p_2 - p_1)}{p_{01} (\bar{p}_0 + p_{02} - p_{01})^2} = \frac{p_{01}}{(\bar{p} + p_2)^4} \quad (9)$$

$$\int f(z, P_T) d^3 P_2 = \int f(z, P_T) dP_{2L} d^2 P_T = x^2 M^2 p_{01} f(z, \langle P_T \rangle^{1/2})$$

بنابراین تابع ترکش برای مزون های سنگین به صورت زیر بدست می آید.



شکل ۲: تابع ترکش برای زمانی که  $M=M_{exp}$ ، i.e.  $M=3.09691 \text{ GeV}^2$

## مراجع

- [۱] Y.B. Ding, X.Q. Li, P.N. Shen, Phys.Rev.D60, (1999) 074010.
- [۲] L.Motyka,K.Zalewski,Z.Phys.C69, (1996)343 , K.Zalewski, Act.Phys.Polon. B, Vol29, (1998) 1
- [۳] E.Braaten et al, arXiv:hep-ph/9602374v1 23 Feb 1996.
- [۴]C.Quigg and J.L.Rosner, Phys. Rep. 56,(1979) 167.
- [۵]M.A. Gomshi Nobary and B. Javadi, Eur.Phys.J.C42,(2005)37.
- [۶]G. R. Boroun and H. Abdolmalki, Phys. Scr. 80 (2009) 065003.
- [۷]W. Buchmüller and S.-H. H. Tye, Phys. Rev. D 24, (1981) 132.
- [۸] A. Martin, *phys Letter B* 93 (1980)
- [۹] E. Eichten et al, *phys. Rev D*17 (1978)
- [۱۰] SJ Collins, TD Imbo, B Alex King, EC ALEPH
- [۱۱] E. Eichten et al., Phys. Rev. Lett. 34. (1975) 369.
- [۱۲] G. Corcella and G. Ferrera, arXiv:hep-ph/0706.2357v2(2007).
- [۱۳] ALEPH collaboration, R. Barate et al., *Eur. Phys. J.C* 16 (2000) 597.
- [۱۴] CLEO collaboration, M. Artuso et al., *Phys. Rev. D* 70 (2004) 112001.
- [۱۵] BELLE collaboration, R. Seuster et al., *Phys. Rev. D* 73 (2006) 032002.

## تولید ترکیبی باریون‌های دو طعم سنگین

## در مدل کوآرک - دو کوآرک

بهادری، زهرا؛ ناجی دومیرانی، جلیل

<sup>1</sup>ایلام، گروه فیزیک دانشگاه ایلام

## چکیده

در کار پیشرو توابع ترکش کوآرک‌های سنگین  $b$  و  $c$  به باریون‌های دو طعم سنگین  $\Xi_{bc}$  و  $\Xi_{cc}$  را در مدل کوآرک - دو کوآرک با استفاده از  $QCD$  اختلالی محاسبه کرده ایم و از آن جایی که دو کوآرک ما دارای یک طعم سبک و یک طعم سنگین است نقشی شبیه یک پاد کوآرک در یک مزون را دارد. با استفاده از توابع ترکش به دست آمده احتمال کل ترکش و پارامتر متوسط ترکش نیز محاسبه شده است

## مقدمه

مدل کوآرکی هادرون‌ها موفقیت بزرگی در توصیف هادرون‌ها و خواص آن‌ها بدست آورده است. در بخش هادرون‌های سنگین هادرون‌هایی را که دارای کوآرک‌های  $b$ ،  $c$  و  $t$  هستند پیش بینی می‌کند. از آن جایی که کوآرک  $t$  دارای جرم زیاد و طول عمر خیلی کوچک می‌باشد پس فقط کوآرک‌های  $b$  و  $c$  می‌مانند که در برهم کنش‌های قوی نقش بازی می‌کنند. در دو دهه‌ی گذشته موفقیت‌های بزرگی در مطالعه‌ی تولید و واپاشی کوآرکونیوم سنگین بدست آمده است [1, 2]. حالت‌های مزونی با طعم‌های سنگین مورد توجه زیادی قرار گرفته‌اند، از جمله در چند سال اخیر مزون‌های  $B_c$  و  $B_c^*$  با محتوای کوآرکی  $bc$  در رأس توجه به صورت تئوری [3] و آزمایشگاهی قرار گرفته‌اند. باریون‌هایی با دو طعم سنگین ذراتی مانند  $\Xi_{bc}$ ،  $\Sigma_{bc}$ ،  $\Xi_{bb}$ ،  $\Xi_{cc}$  و ... را در بر می‌گیرد. مطالعه‌ی تولید و واپاشای این دسته از باریون‌ها در دهه‌ی اخیر یکی از کارهای مهم در فیزیک ذرات بوده است [4, 5, 6, 7]. در این جا یک مکانیزم از تولید باریون‌های با دو طعم سنگین در نظر گرفته می‌شود. در چنین روشی دو کوآرک سنگین از ترکش کوآرک سنگین اولیه‌ی  $(Q = b, c)$  ایجاد می‌شود که با گرفتن یک کوآرک سبک  $(q = u, d, s)$  یک باریون دو طعم سنگین را نتیجه می‌دهد در این فرآیند مقیاس  $QCD$  مربوطه شرط  $\Lambda_{QCD} \gg \mu \geq M_D + 2m_q$  را برآورده می‌کند، که  $M_D$  جرم دو کوآرک سنگین  $(bb, cc, bc)$  و  $m_q$  جرم کوآرک‌های

سبک  $(u, d, s)$  می‌باشد، اسپکتروسکوپی و برهم‌کنش‌های باریون-های دربرگیرنده‌ی دو کوآرک سنگین و یک کوآرک سبک در حدی که جرم کوآرک سنگین به سمت بی‌نهایت میل کند خیلی ساده خواهد شد، و این به این دلیل بوده است که کوآرک‌های سنگین، دو کوآرک‌هایی به شعاع  $r_{QQ'}$  را تشکیل می‌دهند که خیلی کوچک‌تر از مقیاس نوعی طول  $\frac{1}{\Lambda_{QCD}}$  مربوط به برهم‌کنش قوی  $QCD$  غیراختلالی است. در حدی که  $\frac{1}{\Lambda_{QCD}} \gg r_{QQ'}$  باشد، برهم‌کنش دو کوآرک سنگین با کوآرک سبک و دیگر سازنده‌های سبک خیلی شبیه یک آنتی کوآرک سنگین در یک مزون است [4]. از این رو تا جایی که این درجات آزادی سبک مورد نظر هستند، دو کوآرک سنگین چیزی بیشتر از یک منبع شبه نقطه‌ای در حالت رنگی پادمه‌گانه نیست، که میدان ناشی از آن باعث ایجاد یک حالت مقید می‌شود. نتیجه‌ی سریعی که از این بدست می‌آید این است که طیف باریون‌های دو طعم سنگین به طیف مزون‌های در برگیرنده‌ی یک پاد کوآرک سنگین مربوط می‌شود. در این جا تقارن‌های مربوط به دینامیک غیراختلالی را بر تولید این گونه حالت‌ها به طریق فرآیند ترکش اعمال کرده و از این نتایج برای تخمین زدن آهنگ تولید باریون‌هایی به شکل  $bcq$ ،  $bbq$ ،  $ccq$  استفاده کرده‌ایم. ترکش یک کوآرک سنگین  $Q$  به یک باریون  $QQq$  یا  $QQ'q$  به دو سهم فواصل کوتاه و بلند تقسیم می‌شود، کوآرک سنگین در ابتدا به یک دو کوآرک سنگین ترکش می‌کند که چنین فرآیندی به صورت اختلالی قابل محاسبه است و در

از آن جایی که از حرکت فرمی اجزای تشکیل دهنده‌ی مزون و یا دوکوارک صرف‌نظر کرده‌ایم، تکانه‌های متناظر به صورت زیر پارامتر بندی می‌شوند:

$$\begin{aligned} p' &= (p'_0, p'_l, p'_T), \quad P = (P_0, P_l, 0), \\ k' &= (k'_0, k'_l, p'_T), \quad k = (k_0, k_l, 0), \quad Q = (Q_0, Q_l, -p'_T) \end{aligned} \quad (1)$$

کمیت سوم در داخل پرانتزها مربوط به حرکت در جهت عمود بر تکانه‌ی  $QQ'$  و یا  $Q\bar{Q}'$  می‌باشد که با صرف‌نظر کردن از حرکت فرمی کل تکانه‌ی عرضی کوارک اولیه به کوارک خروجی منتقل شده است. به عنوان مثال اولین مرحله‌ی فرآیند ترکش فواصل کوتاه  $c \rightarrow (cc)\bar{c}$  مشابه ترکش  $c \rightarrow \Psi c$  است. تابع ترکش فرآیند تشکیل دوکوارک  $c \rightarrow cc$  همانند فرآیند تابع ترکش  $c \rightarrow \Psi$  است که تنها تفاوت‌های آن‌ها در ضریب رنگ و تابع موج در مبدأ می‌باشد. ضریب رنگ برای مزون  $c\bar{c}$  عدد  $\frac{4}{3}$  و برای حالت  $cc$

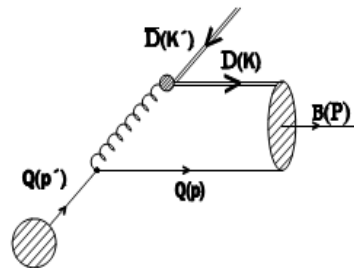
برابر  $\frac{2}{3}$  می‌باشد و هم‌چنین تفاوت در توابع موج مزون و دو کوارک وجود دارد [۶۱]. سهم تبادل یک گلوئون برای حالت  $QQ$  از سهم  $Q\bar{Q}$  در یک ضریب نسبی  $\frac{1}{2}$  متفاوت است و در نتیجه

به عنوان مثال در پتانسیل کولنی رابطه‌ی  $8|R_{cc}(0)|^2 = |R(J/\Psi)(0)|^2$  در حقیقت پتانسیل بین دوکوارک  $QQ'$  کاملاً کولنی نیست و برای تولید توابع موج در مبدأ از سهم  $\frac{1}{2}$  پتانسیل کولنی  $Q\bar{Q}'$  به جای پتانسیل  $QQ$  استفاده شده است. روش‌های بهتر برای توصیف پتانسیل  $QQ'$  منجر به بهتر شدن توابع موج در مبدأ برای سیستم‌های دوکوارکی می‌شود که این فرآیند و این محاسبات را می‌توان به تولید دوکوارک‌های  $bb$  از ترکش کوارک  $b$  و دو کوارک  $bc$  از ترکش کوارک‌های  $b$  و  $c$  تعمیم داد. دامنه‌ی احتمال فواصل کوتاه برای نموداری همانند نمودار (۱) برای حالت اسپین صفر دو کوارک در اولین مرتبه‌ی اختلال به صورت زیر نوشته می‌شود:

حقیقت این دامنه به طور بدیهی همانند ترکش یک کوارک سنگین به یک کوارکونیم است، در مرحله‌ی بعد دوکوارک سنگین  $QQ$  به یک باریون دو طعم سنگین  $QQQ$  ترکش پیدا می‌کند که مشابه ترکش یک پادکوارک  $\bar{Q}$  به یک مزون  $\bar{Q}q$  است [4] که اطلاعات مربوط به  $\bar{Q}q$  از داده‌های آزمایشگاهی تولید مزون‌های سنگین قابل جمع‌آوری است. در حالت کلی دوکوارک  $QQ$  در حالت پایه یک تابع موج فضایی متقارن دارد، دو کوارک  $QQ$  با یک کوارک سبک برای تولید یک باریون وارد ترکیب می‌شود، بنابراین دوکوارک بایستی در یک حالت پادسه‌گانه‌ی رنگی (پاد متقارن) باشد. تابع موج برای دوکوارک-های یکسان بایستی از آمار فرمی<sup>۱۱</sup> - دیراک پیروی کند که در نتیجه‌ی این عمل حالت پایه‌ی دو کوارک‌های یکسان  $cc$  و  $bb$  بایستی اسپین یک داشته باشد. حالت  $bc$  محدود به این شرط نمی‌باشد که خود می‌تواند حالت‌های اسپین صفر یا اسپین یک را تشکیل دهد. دو کوارک-های یکسان  $QQ$  می‌تواند به یک باریون اسپین  $\frac{1}{2}$  که آن را با  $\Sigma_{QQ}$  و یا به یک باریون اسپین  $\frac{3}{2}$  که آن را با  $\Sigma_{QQ}^*$  نمایش می‌دهیم ترکش نمایند.

### سینماتیک

ابتدا احتمال متناظر برای تشکیل یک دوکوارک سنگین با محتوای کوارکی  $QQ'$  در حالت‌های اسپین سه‌گانه محاسبه می‌شود. برای این کار احتمال تولید مزون  $Q\bar{Q}'$  را که در شکل زیر نشان داده شده است همراه با تغییرات لازم برای ارتباط این فرآیند به فرآیند تشکیل دو کوارک به طور واضح بحث خواهیم کرد:



شکل ۱: نمودار ترکش کوارک  $Q$  در اولین مرتبه‌ی اختلال به مزون  $Q\bar{Q}'$ .

<sup>۱۱</sup> Fermi

که اندیس‌های  $T$  و  $L$  به ترتیب نمایانگر قطبش‌های عرضی و طولی می‌باشد.

### دامنه ی پراکندگی

دامنه‌ی کل تولید دوکوارک را می‌توان به صورت هم‌پوشانی دامنه‌های فواصل کوتاه و بلند در نظر گرفت:

$$T_{B0,1}(p, p', k, k') = \int [dx] T_{0,1}(p, p', k, k') \Phi_D \quad (۸)$$

که  $[dx] = dx_1 dx_2 \delta(1 - x_1 - x_2)$  دامنه‌ی توزیع  $\Phi_D$  را متناسب با حاصل ضرب  $f_D$  ضریب دامنه‌ی توزیع در تابعی به شکل تابع دلتا که از حرکت فرمی اجزاء تشکیل دهنده‌ی آن صرف-نظر کرده‌ایم در نظر می‌گیریم.

### محاسبه تابع ترکش

تابع ترکش برای تولید یک باریون دو طعم سنگین از یک کوارک سنگین اولیه در مقیاس اولیه ی ترکش  $\mu_0$  را با تابع

$$D_{Q \rightarrow Qq}^*(z, \mu_0)$$

فضای فاز روی مربع دامنه ی تولید  $|T_{B0,1}|^2$  حاصل می‌شود و در تشابه با با ترکش مزون‌ها می‌توان آن را به صورت زیر نوشت:

$$D_{Q \rightarrow Qq}^*(z, \mu_0) = \frac{1}{2} \int_0^1 \int_0^1 d^3 \vec{p} d^3 \vec{k} d^3 \vec{k}' |T_s|^2 \delta^3(\vec{p} + \vec{k} + \vec{k}' - \vec{p}') \quad (۹)$$

با محاسبه ی انتگرال‌های فضای فاز شکل صریح تابع ترکش به صورت زیر به دست می‌آید:

$$(۱۰)$$

$$D_0 = \frac{2(2\pi)^3 \alpha_s^2 c_F^2 f_D^2 m_2^3 m_1^2}{M_D m_B^6} \times \frac{-1}{(-1+z)z^3} \{ \gamma^2 (\beta^4 - 2z\beta^3(2\alpha + \beta - 2\delta) - 2z^3\beta(2\alpha + \beta - 2\delta)) \times (2\alpha\beta + \gamma^2 - \alpha\delta) + z^4(\alpha^2 + \gamma^2)(4\beta^2 + \gamma^2 - 4\beta\delta + \delta^2) + z^2\beta^2(4\alpha^2 + 8\alpha\beta + \beta^2 + 2\gamma^2 - 10\alpha\delta - 4\beta\delta + 4\delta^2) \}$$

که در آن

$$\alpha = \frac{m_1}{m_B}, \quad \beta = \frac{m_1 + m_2}{m_B}, \quad \gamma = \frac{p'_T}{m_B}, \quad \delta = \frac{m_2}{m_B} \quad (۱۱)$$

تابع ترکش دوکوارک برداری اسپین یک را از جمع کردن دو برابر حالت قطبش عرضی بعلاوه‌ی حالت قطبش طولی به روش زیر محاسبه کرد [7]:

$$T_0 = \frac{m_1 m_2 c_F g_s^2}{(p'^2 - m_1^2)(m_1 + m_2)(p_0 p'_0 k_0 k'_0)^{\frac{1}{2}}} \times [\bar{u}(k) \gamma_\mu \gamma_5 (P + M_D) \gamma^\mu u(p') \bar{u}(p) \Gamma v(Q)] \times \frac{1}{q^2 [p_0 + x_0 + x'_0 - p'_0]} \quad (۲)$$

$m_2$  و  $m_1$  به ترتیب جرم کوارک اولیه و جرم کوارک

خروجی هستند، که  $\frac{1}{q^2} = k + k'$  مربوط به انتشارگر گلوئون

است که از طریق برهم‌کنش پیمانه‌ای غیرآبلی با کوارک‌ها برهم‌کنش کرده است و ضریب  $g_s^2$  یک سهم آن از رأس  $ccg$  و

سهم دیگر آن از رأس  $ccg$  ظاهر شده است و  $M_D$  جرم دو کوارک می‌باشد. ضریب رأس مربوط به تولید کوارک - پادکوارک و آنچه ماقبل این رأس است را برابر  $\Gamma = 1$  اختیار کرده‌ایم و بر روی احتمال تولید دوکوارک از کوارک تولید شده در این رأس متمرکز شده‌ایم. حال اگر برای ساده‌سازی تعریف کنیم

$$\Gamma_0 \approx [\bar{u}(k) \gamma_\mu \gamma_5 (P + M_D) \gamma^\mu u(p') \bar{u}(p) v(Q)] \quad (۳)$$

برای دامنه‌ی تولید داریم:

$$T_0 = \frac{m_1 m_2 c_F g_s^2}{(p'^2 - m_1^2)(m_1 + m_2)(p_0 p'_0 k_0 k'_0)^{\frac{1}{2}}} \times \frac{\Gamma_0}{q^2 [p_0 + k_0 + k'_0 - p'_0]} \quad (۴)$$

این محاسبات را می‌توان برای حالت دوکوارک برداری به صورت زیر تکرار کرد.

$$\Gamma_1 \approx \bar{u}(k) \gamma_\mu \not{\epsilon} (P + M_D) \gamma^\mu u(p') \bar{u}(p') v(Q) \quad (۵)$$

$$T_1 = \frac{m_1 m_2 c_F g_s^2}{(p'^2 - m_1^2)(m_1 + m_2)(p_0 p'_0 k_0 k'_0)^{\frac{1}{2}}} \times \frac{\Gamma_1}{q^2 [p_0 + k_0 + k'_0 - p'_0]} \quad (۶)$$

$\epsilon_\mu$  بردار قطبش دوکوارک برداری می‌باشد که در شرایط زیر

صدق می‌کند:

$$\begin{aligned} \epsilon^{(T)\mu} \cdot P_\mu = 0 &= \epsilon^{(L)\mu} \cdot P_\mu \\ \epsilon^{(T)\mu} \cdot \epsilon^{(T)}_\mu &= \epsilon^{(L)\mu} \cdot \epsilon^{(L)}_\mu = -1 \\ \epsilon^{(T)} \cdot \vec{P} = 0 &= \epsilon^{(L)} \times \vec{P} \end{aligned} \quad (۷)$$

نتایج مدل موارک-دوکوارک بدون هیچ گونه تقریبی به دست آمده اند در حالی که در مدل فاک [4] از مراتب توانی نسبت  $\frac{m_{c,b}}{M_z}$  صرف نظر شده است.

### مرجع‌ها

- [1] S. S. Greshtein et al., Usp. Fiz. Nauk. 3 (1995) 165.
- [2] G. A. Schuler, Preprint CERN-TH. 7170/94, (1994).
- [3] E. Bratten and K. Cheung, Phys. Rev. D. 48 (1993) 5049.
- [4] A. F. Falk et al., Phys. Rev. D. 49 (1994) 555.
- [5] A. P. Martynenko and V. A. Saleev, Phys. Lett. B. 385 (1996) 297.
- [6] M. A. Doncheski et al., Phys. Rev. D. 53 (1996) 1247.
- [7] M. A. Gomshi Nobary, J. Phys. G.: Nucl. Part. Phys. 27 (2001) 21.

$$D(z, \mu_0) = 2D_{1T}(z, \mu_0) + D_{1L}(z, \mu_0) \quad (12)$$

تابع ترکش کامل  $D_{Q \rightarrow B}(z)$  برای  $Q \rightarrow (QQ')\bar{Q} \rightarrow (B_{QQ'}, \Sigma^*_{QQ'})\bar{Q}$  توسط رابطه‌ی زیر داده می‌شود:

$$D_{Q \rightarrow B}(z) = \int_z^1 \frac{dy}{y} D_{Q \rightarrow QQ'}\left(\frac{z}{\mu_0}\right) D_{QQ' \rightarrow B}(y) \quad (13)$$

$$D_{Q \rightarrow B}(z) = \int_z^1 \frac{dy}{y} D_{Q \rightarrow QQ'}\left(\frac{z}{y}\right) D_{\bar{Q} \rightarrow \bar{Q}q}(y)$$

$$D_{\bar{Q} \rightarrow \bar{Q}q}(y) = \delta(1-y) P_{\bar{Q} \rightarrow M}$$

$$D_{Q \rightarrow B}(z) = \int_z^1 \frac{dy}{y} D_{Q \rightarrow QQ'}\left(\frac{z}{y}\right) \delta(1-y) P_{\bar{Q} \rightarrow \bar{Q}q} = P_{\bar{Q} \rightarrow \bar{Q}q} D_{Q \rightarrow QQ'}(z)$$

### نتیجه گیری

جدول ۴-۱ در جدول زیر نتایج و کمیت‌های مربوط به احتمال کل ترکش کووارک و پارامتر متوسط ترکش دو مدل نشان داده شده است:

مدل این مقاله (احتمال کل ترکش)	مدل فاک (احتمال کل ترکش)	متوسط ترکش‌های مقاله و (مدل فاک)
$\begin{matrix} \dot{\vdots} ccu & 1.69 \times 10^{-6} \\ \dot{\vdots} ccu & 2.12 \times 10^{-5} \\ \dot{\vdots} ccd \end{matrix}$	$\begin{matrix} \dot{\vdots} ccu & 2.4 \times 10^{-5} \\ \dot{\vdots} ccd \end{matrix}$	این مقاله 0.25 فاک (0.26)
$\begin{matrix} \dot{\vdots} ccu & 3.64 \times 10^{-7} \\ \dot{\vdots} ccd & 2.91 \times 10^{-8} \\ \dot{\vdots} ccs \end{matrix}$	$\begin{matrix} \dot{\vdots} ccu & 5.17 \times 10^{-7} \\ \dot{\vdots} ccd \end{matrix}$	این مقاله 0.17 فاک (0.19)
$\begin{matrix} \dot{\vdots} ccu & 2.40 \times 10^{-7} \\ \dot{\vdots} ccd & 1.92 \times 10^{-8} \\ \dot{\vdots} ccs \end{matrix}$	$\begin{matrix} \dot{\vdots} ccu & 4.46 \times 10^{-7} \\ \dot{\vdots} ccd \end{matrix}$	این مقاله 0.17 فاک (0.19)
$\begin{matrix} \dot{\vdots} ccu & 6.04 \times 10^{-7} \\ \dot{\vdots} ccd & 6.04 \times 10^{-8} \\ \dot{\vdots} ccs \end{matrix}$	$\begin{matrix} \dot{\vdots} ccu & 3.92 \times 10^{-6} \\ \dot{\vdots} ccd \end{matrix}$	این مقاله 0.17 فاک (0.19)
$\begin{matrix} \dot{\vdots} ccu & 1.70 \times 10^{-5} \\ \dot{\vdots} ccd & 1.70 \times 10^{-6} \\ \dot{\vdots} ccs \end{matrix}$	$\begin{matrix} \dot{\vdots} ccu & 3.60 \times 10^{-5} \\ \dot{\vdots} ccd \end{matrix}$	این مقاله 0.25 فاک (0.26)
$\begin{matrix} \dot{\vdots} ccu & 5.07 \times 10^{-4} \\ \dot{\vdots} ccd & 5.07 \times 10^{-5} \\ \dot{\vdots} ccs \end{matrix}$	$\begin{matrix} \dot{\vdots} ccu & 5.06 \times 10^{-5} \\ \dot{\vdots} ccd \end{matrix}$	این مقاله 0.25 فاک (0.26)

## مطالعه زمان واهلش کوارک سنگین با استفاده از

## نظریه ریسمان

بی تقصیر فدافن، کاظم؛ نیازی، حسن

دانشکده فیزیک دانشگاه صنعتی شاهرود، شاهرود

## چکیده

در این تحقیق حرکت کوارک سنگین با استفاده از نظریه ریسمان بررسی می‌گردد. در ابتدا روش محاسبه نیروی کششی وارد بر کوارک معرفی می‌شود و بر اساس آن زمان واهلش بدست می‌آید.

## مقدمه

متریکی زمینه با در نظر گرفتن سیاهچاله RN عبارتست از:

$$ds^2 = G_{\mu\nu} dx^\mu dx^\nu = \frac{r^2}{R^2} (-fdt^2 + d\vec{x}^2) + \frac{R^2}{r^2} dr^2 \quad (1)$$

که در آن  $f$  عبارتست از:

$$f = 1 - \frac{M}{r^4} + \frac{Q^2}{r^6} \quad (2)$$

همچنین رابطه بین دما و افق سیاهچاله به صورت زیر است:

$$T = \frac{r_0}{\pi R^2} \left(1 - \frac{Q^2}{2r_0^6}\right) \quad (3)$$

در این روابط،  $M$  جرم سیاهچاله،  $Q$  بار الکتریکی،  $R$  شعاع خمش فضا،  $T$  دما،  $r_0$  مکان افق سیاهچاله در بعد هولوگرام می‌باشد. با استفاده از AdS/CFT کوارک در حال حرکت در محیط در واقع انتهای ریسمانی است که در بعد هولوگرام کشیده شده و انتهای ریسمان به سیاهچاله میرسد. کنش نامبوگوتو برای ریسمان عبارتست از:

(4)

$$S = -T_0 \int d\sigma d\tau \sqrt{-g}$$

که در آن  $T_0$  تنش ریسمان است و همچنین:

(5)

$$-g = (\dot{X} \cdot X')^2 - \dot{X}^2 X'^2$$

برخورد یونهای سنگین نسبیتی طلا در RHIC<sup>1</sup> باعث بوجود آمدن محیطی به نام QGP (پلاسمای کوارک گلوئونی) می‌شود که به دلیل بالا بودن دمای محیط، کوارکها و گلوئونهای آزاد در آن وجود دارند [1]. مطالعه این سیستم (که یک سیستم همبسته قوی می‌باشد) توسط روش های اختلالی میسر نیست و به همین دلیل باید به دنبال روشهای جایگزین بود. یکی از این روش ها که در سالهای اخیر مورد توجه قرار گرفته است استفاده از دوگانگی AdS/CFT است. برطبق این دوگانگی، همسانی میان پلاسمای کوارک گلوئونی و نظریه کلاسیکی گرانش وجود دارد. بر طبق آن می‌توان نظریه ابر تقارنی یانگ میلز با ابر تقارنی N=4 در چهار بعد را دوگان ریسمان نوع IIB روی فضای  $S_5 \times AdS_5$  دانست و از محاسبات نظریه ریسمان استفاده کرد [2].

هدف از این مقاله مطالعه زمان واهلش کوارک سنگین با استفاده از نظریه ریسمان است. محیط در نظر گرفته شده شامل کوارکهای سبک و سنگین است که دوگان گرانشی آن با در نظر گرفتن سیاهچاله های RN<sup>3</sup> بدست آمده است. مطالعه نیروی کششی در این میدان زمینه در اولین کنفرانس ذرات و میدان ها رایج گردیده است [9]. در این منبع نیروی کششی وارد بر یک ذره در حال حرکت با استفاده از AdS/CFT انجام شده است.

1- Relativistic Heavy Ion Collider

2- Extremal Reissner-Nordström Black Holes

$$F = -\frac{T_0 r_0^2}{R^2} \frac{v}{1-v^2} \quad (12)$$

برای محاسبه زمان واهلش به تعریف آن مراجعه می کنیم. می

دانیم که زمان واهلش زمانی است که ممتوم ذره به  $\frac{1}{e}$  ام مقدار

اولیه اش برسد [8]. پس با استفاده از  $F_1$  در رابطه (۲۶) داریم:

$$F = \frac{dP}{dt} = \frac{-2T_0 R^2 r_0^2 P}{m} \text{Cos}\left(\frac{\text{Cos}^{-1}(-\sqrt{A})}{3}\right) \quad (13)$$

از طرفی داریم:

$$\begin{cases} T_0 R^2 = \frac{R^2}{2\pi\alpha'} = \frac{\sqrt{g_{YM}^2 N}}{2\pi} \\ r_0 = 2\pi^2 \mu \sqrt{\frac{n}{3}} \end{cases} \quad (14)$$

با جایگزاری روابط (۳۱) در رابطه (۳۰) خواهیم داشت:

$$F = \frac{-4\pi^3 \mu^2 n P \sqrt{g_{YM}^2 N}}{3m} \text{Cos}\left(\frac{\text{Cos}^{-1}(-\sqrt{A})}{3}\right) \quad (15)$$

در نتیجه:

$$P(t) = P(0) \text{Exp}\left(\frac{-4\pi^3 \mu^2 n t \sqrt{g_{YM}^2 N}}{3m} \text{Cos}\left(\frac{\text{Cos}^{-1}(-\sqrt{A})}{3}\right)\right) \quad (16)$$

اکنون می توان زمان واهلش را به دست آورد؛ زمان واهلش عبارتست از:

$$t_D = \frac{3m}{4\pi^3 \mu^2 n \sqrt{g_{YM}^2 N} \text{Cos}\left(\frac{\text{Cos}^{-1}(-\sqrt{A})}{3}\right)} \quad (17)$$

همچنین نیروی کششی و زمان واهلش در دمای غیر صفر را

مورد بررسی قرار دادیم. در دمای غیر صفر داریم:

$$F = \frac{-\sqrt{g_{YM}^2 N} P}{\pi m} \sqrt{\frac{M}{3}} \text{Cos}\left(\frac{1}{3} \text{Cos}^{-1}\left(\frac{-3\sqrt{3}AQ^2}{2M^{\frac{3}{2}}}\right)\right) \quad (18)$$

$$t_D = \frac{\pi m \sqrt{3}}{\sqrt{g_{YM}^2 N} \sqrt{M}} \left\{ \text{Cos}\left(\frac{1}{3} \text{Cos}^{-1}\left(\frac{-3\sqrt{3}AQ^2}{2M^{\frac{3}{2}}}\right)\right) \right\}^{-1} \quad (19)$$

که  $Q, M$  از طریق روابط زیر به پتانسیل شیمیایی ( $\mu$ )، شماره

رنگ ( $n$ ) و دما ( $T$ ) مرتبط می شوند:

$$M = r_0^4 + \frac{Q^2}{r_0^2} \quad (20)$$

$$\dot{X} \cdot X' = \dot{X}^\mu X'^\nu G_{\mu\nu}$$

$$\dot{X}^2 = \dot{X}^\mu \dot{X}^\nu G_{\mu\nu} \quad (6)$$

$$X'^2 = X'^\mu X'^\nu G_{\mu\nu}$$

که  $G_{\mu\nu}$  متریک زمینه در رابطه (2) و  $X'$  و  $X$  مشتقات  $x$

نسبت به  $t$  و  $r$  هستند. با انتخاب پیمانه ایستا<sup>۴</sup> ( $\sigma = r, \tau = t$ )

(و همچنین صفر گرفتن مولفه های  $y$  و  $z$ ، وابستگی مختصه  $x$  ذره با زمان را به صورت خطی در نظر میگیریم:

$$X^\mu = (t, x(r), 0, 0, r) \quad (7)$$

$$x(r) = vt + \xi(r) \quad (8)$$

نیروی کششی وارد بر ذره عبارتست از:

$$F = -T_0 C = \frac{2T_0 R^2 v r_0^2}{\sqrt{A}} \text{Cos}\left(\frac{\text{Cos}^{-1}(-\sqrt{A})}{3}\right) \quad (9)$$

که  $A = 1 - v^2$ .

محاسبه نیروی کششی با در نظر گرفتن تصحیحات گرانشی در

مرجع های [6,7] آمده است.

با استفاده از AdS/CFT محیطی با دمای صفر با در نظر

گرفتن سیاهچاله های فرینه بدست می آید. گرچه دمای محیط صفر است ولی آنتروپی صفر نبوده و از رابطه زیر به دست می آید:

$$S = \frac{r_0^3}{4G_5} \quad (10)$$

که  $G_5$  ثابت گرانش در پنج بعد است. بنابراین نیروی کششی که

بدست آمده است متناسب با  $r_0^2$  است و با استفاده از رابطه

آنتروپی در (1) داریم:

$$F \propto S^{\frac{2}{3}} \quad (11)$$

بسیار مناسب است که نتیجه بدست آمده را با نیروی کششی

در دمای غیر صفر و در نظریه ابرتقارنی  $N=4$  یانگ-میلز مقایسه

کنیم [4]:



$$Q^2 = \frac{8}{3} \pi^4 r_0^4 n \mu^2 \quad (21)$$

$$r_0 = \frac{8\pi^4 n \mu^2}{3} \left( \sqrt{\pi^2 T^2 + \frac{16}{3} \pi^4 \mu^2 n} - \pi T \right)^{-1} \quad (22)$$

همچنین در مرجع [8] زمان واهلش در دمای غیر صفر و با متریک مورد نظر تعیین شده است :

$$t_D = \frac{2m}{\pi \sqrt{g_{YM}^2 N T^2}} \quad (23)$$

### نتیجه گیری:

در این تحقیق محیط کوارک گلون را با در نظر گرفتن سیاهچاله های RN مطالعه کردیم. با در نظر گرفتن جواب تحلیلی نیروی کششی وارد بر کوارک زمان واهلش کوارک سنگین را بدست آوردیم. درمقایسه با حالت  $T \neq 0$  در نظریه ابرتقارنی یانگ-میلز در یافتیم که این کمیت وابسته با جرم کوارک نسبت مستقیم و با مجذور پتانسیل شیمیایی و شماره رنگ نسبت معکوس دارد.

### مرجع ها

- 1) E.V. Shuryak, "What RHIC experiments and theory tell us about properties of quark-gluon plasma?" Nucl. Phys. A **750**, 64 (2005). arXiv:hep-ph/0405066
- 2) J.M. Maldacena, "The large  $N$  limit of superconformal field theories and supergravity." Adv. Theor. Math. Phys. **2**, 231 (1998); [Int. J. Theor. Phys. **38**, 1113 (1999)]. arXiv:hep-th/9711200
- 4) C.P. Herzog, A. Karch, P. Kovtun, C. Kozcaz, L.G. Yaffe, "Energy loss of a heavy quark moving through  $N=4$  supersymmetric Yang-Mills plasma. J. High Energy Phys. **0607**, 013 (2006). arXiv:hep-th/0605158
- 5) S.S. Gubser, "Drag force in AdS/CFT". Phys. Rev. D **74**, 126005 (2006). arXiv:hep-th/0605182
- 6) K. B. Fadafan, "Charge effect and finite 't Hooft coupling correction on drag force and Jet Quenching Parameter," Eur. Phys. J. C. **68** (2010) 505 [arXiv:0809.1336 [hep-th]].
- 7) K.B. Fadafan, "R2 curvature-squared corrections on drag force." JHEP 0812:051,2008 arXiv:0803.2777 [hep-th] 8) S.S. Gubser "Comparing the drag force on heavy quarks in  $N=4$  super-Yang-Mills theory and QCD" arXiv:0611272v2 [hep-th]

[9] کاظم بی تقصیر فدافان ، حسن نیازی " مطالعه اتلاف انرژی کوارک سنگین در دمای صفر با استفاده از سیاهچاله های فرینه " اولین کنفرانس فیزیک ذرات ایران ۶-۷ بهمن ۱۳۸۹ دانشگاه یزد

## مطالعه هسته های $^3\text{He}$ و $^4\text{He}$ با استفاده از روش هولوگرافی

پهلوانی، محمدرضا؛ صادقی، جعفر؛ مراد، راضیه

گروه فیزیک، دانشکده علوم پایه، دانشگاه مازندران، بابلسر

### چکیده

در این مقاله انرژی بستگی هسته های سبک با استفاده از پتانسیل تبادل تک بوزونی محاسبه شده است. در این محاسبات جفت شدگی های نوکلئون به مزون از طریق تناظر  $AdS/CFT$  استفاده شده است. همچنین حالت های برانگیخته این هسته ها نیز مورد مطالعه قرار گرفته است. نتایج بدست آمده از این روش توافق چشمگیری با داده های تجربی نشان می دهند.

## Study of $^3\text{He}$ and $^4\text{He}$ Nuclei Using the Holographic Method

Pahlavani, Mohammad Reza<sup>1</sup>; Sadeghi, Jafar<sup>1</sup>; Morad, Razie<sup>1</sup>

<sup>1</sup> Department of Physics, Faculty of Science, University of Mazandaran

### Abstract

In this paper, the binding energy of light nuclei has been studied using the one-boson exchange potential. In these calculations the nucleon-meson coupling constant calculated via the  $AdS/CFT$  have been used. Also, the excited states of nuclei have been studied. The obtained result are in a good agreement with the experimental data.

### مقدمه

اولین بار یوکاوا تلاش های زیادی برای ارائه یک پتانسیل نوکلئون-نوکلئون بر حسب مدل تبادل مزونی در فیزیک هسته ای انجام داد. هر چند که روش به کار گرفته شده توسط یوکاوا، دستاوردهای مهمی با دقت بالا در پدیده شناسی بدست آورد، اما دارای نقص هایی نیز می باشد. در حقیقت پارامترهای مورد استفاده در مدل یوکاوا، مانند ثابت های جفت شدگی و جرم ها همگی با استفاده از نتایج تجربی بدست آمده از پراکندگی الاستیک نوکلئون-نوکلئون مشخص می شوند [۱]. پتانسیل نوکلئون-نوکلئون اخیراً توسط تناظر  $AdS/CFT$  در مدل Sakai-Sugimoto، بررسی شده است و ثابت های جفت شدگی بین نوکلئون ها و مزون ها محاسبه شده است [۲ و ۳].

پتانسیل نوکلئون-نوکلئون در تصویر تبادل تک بوزونی در کل به شکل زیر نوشته می شود،

$$V_{\pi} + V_{\eta'} + \sum_{k=1}^{\infty} V_{\rho^{(k)}} + \sum_{k=1}^{\infty} V_{\omega^{(k)}} + \sum_{k=1}^{\infty} V_{a^{(k)}} + \sum_{k=1}^{\infty} V_{f^{(k)}} \quad (1)$$

که شامل تبادل مزون های شبه اسکالر، برداری و بردار محوری است. اما در مدل هولوگرافی SS تنها چهار دسته از این جفت شدگی ها سهم عمده ای در پتانسیل نوکلئون-نوکلئون دارند [۲ و ۳].

$$\frac{g_{\pi NN} M_{KK}}{2m_N} \sim g_{\omega^{(k)} NN} \sim \frac{\tilde{g}_{\rho^{(k)} NN} M_{KK}}{2m_N} \sim g_{a^{(k)} NN} \sim \sqrt{\frac{N_c}{\lambda}} \quad (2)$$

همچنین در مدل SS جرم پایون صفر است و جرم بقیه مزون ها از مرتبه  $M_{KK}$  می باشد. همانطور که گفته شد ثابت های جفت شدگی در حد  $\lambda N_c$  بزرگ محاسبه می شوند. در کل برای حد توفت بزرگ و محدود، کوچکترین فاصله ای که در آن این تصویر هولوگرافی از نوکلئون ها همچنان صحیح می باشد از مرتبه اندازه نوکلئون است. در فواصل بزرگتر از سایز نوکلئون ها تنها در نظر گرفتن سهم ناشی از تبادل مزون های سبک کافی می باشد [۲]. در

هسته  ${}^3\text{He}$  در حالت زمينه  $\left(\frac{1}{2}\right)^+$  است. از سویی برای یک سیستم دو نوکلئونی باید  $L+S+T=1$  باشد. ما با در نظر گرفتن این شرایط و استفاده از قواعد ابر گزینش پتانسیل  $V_{3\text{He}}$  را محاسبه کرده و در شکل ۱ نشان داده ایم. مقادیر  $m_N = 0.94 \text{ GeV}$  و  $\lambda = 17, N_c = 3, M_{KK} = 0.92 \text{ GeV}$  در این محاسبه استفاده شده است. مطابق شکل پتانسیل در نقطه  $1/47 \text{ fm}$  به مینیمم می شود. مقدار پتانسیل در این نقطه که انرژی بستگی را به ما نشان می دهد برابر است با  $7/41 \text{ MeV}$  که در توافق خوبی با داده های تجربی می باشد.

علاوه بر این اگر حالتی را در نظر بگیریم که در آن اسپین دو پروتون با هم موازی باشد، اسپین- پاریته هسته  ${}^3\text{He}$  برابر  $\left(\frac{3}{2}\right)^+$  می شود. در این حالت نیز پتانسیل هولوگرافی هسته  ${}^3\text{He}$  را محاسبه کرده و در شکل ۲ نشان داده ایم. نتایج بدست آمده نشان می دهند که هیچ حالت مقیدی وجود ندارد و بنابراین نتیجه می گیریم که هسته  ${}^3\text{He}$  فاقد هر گونه حالت برانگیخته است که در توافق با تجربه می باشد.

نتیجه ما پتانسیل هولوگرافی زیر را برای برهم کنش نوکلئون- نوکلئون در نظر می گیریم،

$$V_{NN}^H = V_C(r) + (V_T^\sigma(r) \vec{\sigma}_1 \cdot \vec{\sigma}_2 + V_T^S(r) S_{12}) \vec{\tau}_1 \cdot \vec{\tau}_2, \quad (3)$$

که در آن داریم،

$$V_C(r) = \sum_{k=1}^P \frac{1}{4\pi} (g_{\rho^{(k)} NN})^2 m_{\rho^{(k)}} y_0(m_{\rho^{(k)}} r) + \sum_{k=1}^P \frac{1}{4\pi} (g_{a^{(k)} NN})^2 \frac{m_{a^{(k)}}}{3} [-2y_0(m_{a^{(k)}} r)], \quad (4)$$

$$V_T^\sigma(r) = \sum_{k=1}^P \frac{1}{4\pi} \left( \frac{g_{\rho^{(k)} NN} M_{KK}}{2m_N} \right)^2 \frac{m_{\rho^{(k)}}^3}{3M_{KK}^2} [2y_0(m_{\rho^{(k)}} r)]$$

$$V_T^S(r) = \frac{1}{4\pi} \left( \frac{g_{\rho^{(k)} NN} M_{KK}}{2m_N} \right)^2 \frac{1}{M_{KK}^2 r^3} + \sum_{k=1}^P \frac{1}{4\pi} \left( \frac{g_{\rho^{(k)} NN} M_{KK}}{2m_N} \right)^2 \frac{m_{\rho^{(k)}}^3}{3M_{KK}^2} [-y_2(m_{\rho^{(k)}} r)]$$

$$+ \sum_{k=1}^P \frac{1}{4\pi} (g_{a^{(k)} NN})^2 \frac{m_{a^{(k)}}}{3} [y_2(m_{a^{(k)}} r)],$$

در معادلات بالا داریم:

$$S_{12} = 3(\vec{\sigma} \cdot \hat{r})(\sigma_2 \cdot \hat{r}) - \vec{\sigma}_1 \cdot \vec{\sigma}_2, \quad (5)$$

$$y_0(x) = \frac{e^{-x}}{x}, y_2(x) = \left(1 + \frac{3}{x} + \frac{3}{x^2}\right) \frac{e^{-x}}{x}$$

و برای فواصل به اندازه کافی زیاد  $p \ll \sqrt{\lambda/10}$  یک مقدار قابل قبول می باشد [۲].

### هولوگرافی هسته های ${}^3\text{He}$ و ${}^4\text{He}$

ما در این مقاله، هسته های سبک را به صورت یک سیستم چند جسمی در نظر گرفته و پتانسیل آن را از مجموع برهم کنش بین نوکلئون های تشکیل دهنده آن محاسبه می کنیم [۴ و ۵]. بدین منظور از پتانسیل نوکلئون-نوکلئون هولوگرافی ارائه شده در بخش قبل استفاده می کنیم. در این راستا ما یک ترکیب مثالی برای نوکلئون های هسته  ${}^3\text{He}$  در نظر می گیریم که در آن فاصله نوکلئون ها از هم  $r$  می باشد. سپس پتانسیل هسته را به شکل زیر می نویسیم،

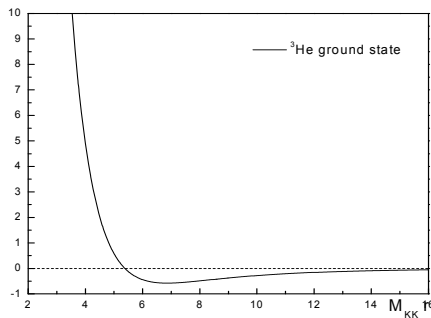
(۶)

$$V_{3\text{He}} = V_{12} + V_{13} + V_{23}$$

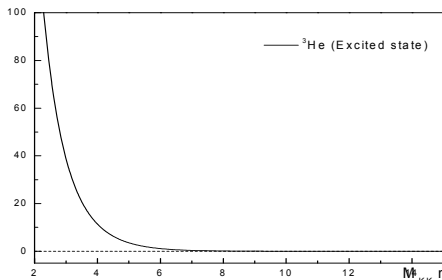
$$= 3V_C(r) + E_C(r) + (V_T^\sigma(r) \vec{\sigma}_1 \cdot \vec{\sigma}_2 + V_T^S(r) S_{12}) \vec{\tau}_1 \cdot \vec{\tau}_2$$

$$+ (V_T^\sigma(r) \vec{\sigma}_1 \cdot \vec{\sigma}_3 + V_T^S(r) S_{13}) \vec{\tau}_1 \cdot \vec{\tau}_3 + (V_T^\sigma(r) \vec{\sigma}_2 \cdot \vec{\sigma}_3 + V_T^S(r) S_{23}) \vec{\tau}_2 \cdot \vec{\tau}_3$$

$E_C(r)$  دافعه کولنی پنج بعدی بین دو اینستتون با  $N_c$  واحد بار الکتریکی است،  $E_C(r) = \frac{N_c}{\lambda} \frac{1}{M_{KK} r^2}$  می دانیم که اسپین- پاریته



شکل ۱: پتانسیل هولوگرافی  ${}^3\text{He}$  در حالت زمينه در واحد  $M_{KK} N_c / 4\pi\lambda$

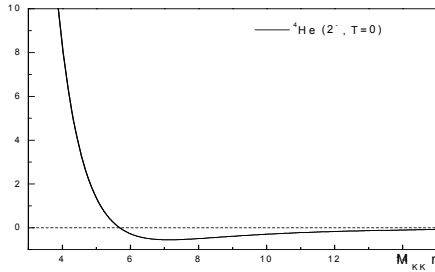


شکل ۲: پتانسیل هولوگرافی  ${}^3\text{He}$  در حالت برانگیخته در واحد  $M_{KK} N_c / 4\pi\lambda$

با فرض شکل مربعی به ضلع  $r$  برای  ${}^4\text{He}$  که دارای حداکثر تقارن است و اینکه پروتون‌ها در گوشه‌های مقابل هم قرار گرفته‌اند، پتانسیل هسته  ${}^4\text{He}$  را به صورت زیر می‌توان در نظر گرفت:

$$\begin{aligned}
 V_{4\text{He}} &= V_{12} + V_{13} + V_{14} + V_{23} + V_{24} + V_{34} \\
 &= 4V_c(r) + 2V_c(\sqrt{2}r) + E_c(r) \\
 &\quad + (V_T^\sigma(r)\bar{\sigma}_1\bar{\sigma}_2 + V_T^S(r)S_{12})\bar{\tau}_1\bar{\tau}_2 \\
 &\quad + (V_T^\sigma(r)\bar{\sigma}_1\bar{\sigma}_3 + V_T^S(r)S_{13})\bar{\tau}_1\bar{\tau}_3 \\
 &\quad + (V_T^\sigma(\sqrt{2}r)\bar{\sigma}_1\bar{\sigma}_4 + V_T^S(\sqrt{2}r)S_{14})\bar{\tau}_1\bar{\tau}_4 \\
 &\quad + (V_T^\sigma(\sqrt{2}r)\bar{\sigma}_2\bar{\sigma}_3 + V_T^S(\sqrt{2}r)S_{23})\bar{\tau}_2\bar{\tau}_3 \\
 &\quad + (V_T^\sigma(r)\bar{\sigma}_2\bar{\sigma}_4 + V_T^S(r)S_{24})\bar{\tau}_2\bar{\tau}_4 \\
 &\quad + (V_T^\sigma(r)\bar{\sigma}_3\bar{\sigma}_4 + V_T^S(r)S_{34})\bar{\tau}_3\bar{\tau}_4
 \end{aligned} \tag{7}$$

می‌دانیم که اسپین-پاریته هسته  ${}^4\text{He}$  در حالت زمینه  $(0)^+$  است. با استفاده از قوانین ابرگزینش و مقادیر قبلی برای پارامترهای مدل، پتانسیل هسته  ${}^4\text{He}$  را به صورت عددی محاسبه کرده و در شکل ۳ نشان داده ایم. محاسبات نشان می‌دهد که کمینه پتانسیل برابر است با  $-28/58 \text{ MeV}$  است که در توافق خوبی با نتایج تجربی مربوط به انرژی بستگی هسته  ${}^4\text{He}$  می‌باشد.

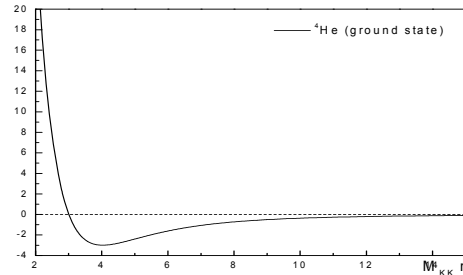


شکل ۴: پتانسیل هولوغرافی  ${}^4\text{He}$  در حالت برانگیخته  $(2)^-, T=0$  در واحد  $M_{KK} N_c / 4\pi\lambda$

از طرف دیگر اگر هر دونوکلئون (دو پروتون یا دو نوترون) با اسپین‌های موازی در تراز  $L=1$  قرار بگیرند، حالت برانگیخته‌ای با  $(2)^-, T=1$  و انرژی برانگیختگی  $E_{ex} = 23.330 \text{ MeV}$  خواهیم داشت. متأسفانه همان‌طور که از شکل ۵ پیداست پتانسیل هولوغرافی محاسبه شده در این حالت فاقد کمینه است. در نتیجه ما قادر به محاسبه انرژی برانگیختگی هولوغرافی در این حالت نیستیم. اما اگر اسپین پروتون (نوترون) قرار گرفته در تراز  $L=1$  با اسپین پروتون (نوترون) قرار گرفته در تراز  $L=0$  جفت شود، حالت برانگیخته دیگری با  $(1)^-, T=1$  و انرژی برانگیختگی  $E_{ex} = 23.640 \text{ MeV}$  بدست می‌آید. کمینه پتانسیل محاسبه شده در این حالت برابر  $-5/41 \text{ MeV}$  می‌باشد و در نتیجه مقدار  $23/17 \text{ MeV}$  برای انرژی برانگیختگی در این حالت بدست می‌آید.

### نتیجه گیری

در این مقاله، یک تصویر هولوغرافی برای هسته‌های سبک شامل  $A$  نوکلئون در نظر گرفته شده و انرژی پتانسیل هسته را از برهمکنش بین نوکلئون‌های تشکیل دهنده آن محاسبه کرده ایم. در این محاسبات از پتانسیل تبادل



شکل ۳: پتانسیل هولوغرافی  ${}^4\text{He}$  در حالت زمینه در واحد  $M_{KK} N_c / 4\pi\lambda$

برای بدست آوردن حالت‌های برانگیخته هسته  ${}^4\text{He}$  ما شرایط متفاوتی را برای اسپین-پاریته نوکلئون‌ها در نظر گرفته ایم. پتانسیل هولوغرافی محاسبه شده برای هر حالت برانگیخته دارای یک کمینه است. اختلاف این مقدار کمینه و انرژی بستگی هسته را به عنوان انرژی برانگیختگی برای هر حالت برانگیخته در نظر می‌گیریم. به عنوان اولین حالت برانگیخته، فرض می‌کنیم که اسپین دو پروتون (یا دو نوترون) جهت‌های یکسانی دارد و یکی از آن‌ها در تراز  $L=1$  قرار دارد. این شرایط، با حالت برانگیخته

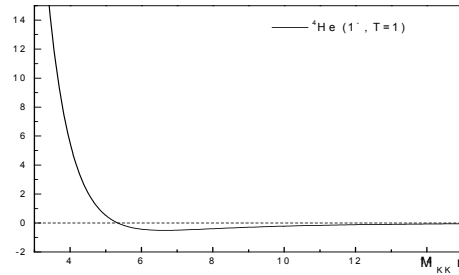
بدست آمده که در جدول ۱ نشان داده شده است، توافق خوبی با داده های تجربی هسته ای دارد [۶و۷].

جدول ۱: نتایج بدست آمده از مدل هولوگرافی برای انرژی بستگی و انرژی برانگیختگی هسته های  ${}^3\text{He}$  و  ${}^4\text{He}$

Nucleus	$J^P$	$M_{KK} (GeV)$	$E_H (MeV)$	$E_{Ex} (MeV)$
${}^3\text{He}$	$\frac{1}{2}^+$	0.92	-7.41	-7.71
${}^3\text{He}$	$\frac{3}{2}^+$	All of values	No stable	No stable
${}^4\text{He}$	$0^+$	0.68	-28.58	-28.30
${}^4\text{He}$	$2^-, T=0$	0.85	22.00	21.84
${}^4\text{He}$	$2^-, T=1$	All of values	No stable	23.33
${}^4\text{He}$	$1^-, T=1$	0.76	23.17	23.64

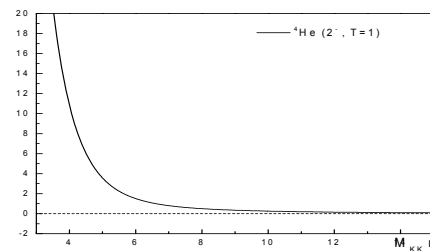
### مرجع‌ها

- [1] Kim Y, Lee S and Yi P, "Nucleon-Nucleon Potential in Holographic QCD", *Nuclear Physics A* **844** (2010) 224c-228c.
- [2] Kim Y, Lee S and Yi P, "Holographic Deuteron and Nucleon-Nucleon Potential", *JHEP* **04** 086 (2009).
- [3] D. K. Hong, M. Rho, H. U. Yee and P. Yi, "Dynamics of Baryons from String Theory and Vector Dominance", *JHEP* **0709** 063 (2007).
- [4] M. R. Pahlavani, J. Sadeghi and R. Morad, "Binding Energy of a Holographic Deuteron and Tritium in Anti-de-Sitter Space/Conformal Field Theory (AdS/CFT)", *Phys. Rev. C* **82**, (2010), 025201.
- [5] R. Pahlavani, J. Sadeghi and R. Morad, "Holographic  ${}^3\text{He}$  and  ${}^4\text{He}$  nuclei", *J. Phys. G: Nucl. Part. Phys.* **38** (2011) 055002.
- [6] G. Audia, O. Bersillonb, J. Blachotb and A. H. Wapstra, "The N evaluation of nuclear and decay properties", *Nucl. Phys. A* **624** (1997) 1-124;
- [7] D. R. Tilley and H. R. Weller, "Energy levels of light nuclei A = 4", *Nucl. Phys. A* **541** (1992), 1-104.



شکل ۵: پتانسیل هولوگرافی  ${}^4\text{He}$  در حالت برانگیخته  $T=1$ , در (۲) در واحد

$$M_{KK} N_c / 4\pi\lambda$$



شکل ۶: پتانسیل هولوگرافی  ${}^4\text{He}$  در حالت برانگیخته  $T=1$ , در (۱) در واحد

$$M_{KK} N_c / 4\pi\lambda$$

تک بوزونی برای برهمکنش نوکلئون- نوکلئون استفاده شده که همه ثابت های جفت شدگی در مدل Sakai-Sugimoto محاسبه شده است. ما در این محاسبات فرض کرده ایم که نوکلئون ها در داخل هسته به طور یکنواخت پخش شده اند و پتانسیل هسته از مجموع برهمکنش نوکلئون های هسته به دست می آید. ما شرایط متفاوتی را برای اسپین نوکلئون ها در نظر گرفته ایم که نشان دهنده ترازهای مختلف برانگیخته است. همچنین کمینه پتانسیل در حالت زمینه را به عنوان انرژی بستگی هسته در نظر گرفته ایم. علاوه بر این اختلاف بین کمینه پتانسیل در حالت برانگیخته و انرژی بستگی هسته به عنوان انرژی برانگیختگی فرض شده است. با این روش هسته های  ${}^3\text{He}$  و  ${}^4\text{He}$  را مورد مطالعه قرار داده ایم. برای بدست آوردن نتایج عددی، ما مقادیر  $\lambda = 17, N_c = 3, M_{KK} = 0.92 \text{ GeV}$  و  $m_N = 0.94 \text{ GeV}$  را برای ثابت ها در نظر گرفته ایم و مقدار  $M_{KK}$  را برای بدست آوردن نتیجه ایده آل انتخاب کرده ایم. نتایج

## انرژی بستگی باریون در مدل هولوگرافی غیر بحرانی

پهلوانی، محمدرضا؛ صادقی، جعفر؛ مراد، راضیه

گروه فیزیک، دانشکده علوم پایه، دانشگاه مازندران، بابلسر

## چکیده

در این مقاله باریون را در پس زمینه گرانشی غیربحرانی  $AdS_6$  که از ترکیب  $brane$  های  $D4/D4/\overline{D4}$  ساخته شده، در نظر گرفته و انرژی بستگی آن محاسبه نموده ایم. در این محاسبات جمله منبع که ناشی از جفت شدگی میدان پیمان‌ه ای  $brane$  طعم و بار الکتریکی رأس باریونی است، در نظر گرفته شده است.

## Baryon Binding Energy in Non-Critical Holographic Model

Pahlavani, Mohammad Reza<sup>1</sup>; Sadeghi, Jafar<sup>1</sup>; Morad, Razie<sup>1</sup><sup>1</sup> Department of Physics, Faculty of Science, University of Mazandaran

## Abstract

In this paper, baryon has been considered in a non-critical gravitational background  $AdS_6$ , constructed from the intersecting brane configuration  $D4/D4/\overline{D4}$  and its binding energy is calculated. In this calculation, the source term arising from the coupling of gauge field of flavor brane and the charge of baryon vertex is considered.

## مقدمه

اخیراً مدل های هولوگرافی زیادی توسط تناظر  $AdS/CFT$  برای بررسی مسائل  $QCD$  معرفی شده است که مدل  $SS$  یکی از بهترین آنها است [۱]. در این مدل ها، که برآمده از تئوری ریسمان بحرانی هستند،  $brane$  های رنگ پس زمینه، ده بعدی هستند و لازم است تا روی برخی ابعاد فشرده شوند تا ابرتقارن شکسته شود. این امر موجب تولید برخی مدهای  $Kaluza-Klein$  ناخواسته می شود که به مدهای هادرونی جفت می شوند و قابل جداسازی نیستند. برای غلبه بر این مشکل، می توان  $brane$  های پس زمینه را در تئوری ریسمان غیر بحرانی در نظر گرفت [۲-۴]. مطالعات نشان داده است که نتایج حاصل از مدل های غیربحرانی برای بسیاری از خواص  $QCD$  اندیس پایین با داده های حاصل از شبکه در توافق است [۵-۸]. یکی از این مدل های غیربحرانی مدل  $AdS_6$  است که در ادامه به توضیح آن می پردازیم.

پس زمینه  $AdS_6$ 

$AdS_6$  توسط یک دسته از  $D4$ -brane های near-extremal پیچیده روی یک دایره با شرایط مرزی پادتناوبی ایجاد می شود که  $N_f$  تا  $D4$ -brane و  $N_f$  تا  $\overline{D4}$ -brane در آن قرار می گیرند.  $Brane$  های رنگ در طول مختصات  $t, x_1, x_2, x_3, x_4, x_5$  گسترده شده اند، در حالیکه  $brane$  های طعم در جهت های  $x_1, x_2, x_3, x_4, x_5, x_6$  قرار دارند. تحت تقریب quenched،  $N_f \gg N_c$  می توان از backreaction،  $brane$  های رنگ صرف نظر کرد. در اینجا نیز مانند مدل  $SS$ ، مختصه  $t$  روی یک دایره  $S^1$  پیچیده می شود و برای فرم یون ها، روی این دایره حرارتی شرایط مرزی پادتناوبی در نظر گرفته می شود. تئوری مؤثر اندیس پایین روی ترکیب  $brane$  ها، یک تئوری مؤثر شبه  $QCD$  چهاربعدی با تقارن گلوبال  $U(N_f)_L \times U(N_f)_R$  می باشد که توسط جفت  $brane$  های طعم  $D4/\overline{D4}$  القا شده است. هندسه نزدیک افق  $D4$ -brane های رنگ در تئوری ریسمان غیربحرانی به شکل زیر نوشته می شود [۳ و ۶]:

جمله دوم، کنش CS می باشد که ما آن را صفر در نظر می گیریم  $T_4 = (2\pi)^{-4} \tau^4$ . در نتیجه کنش DBI به شکل زیر نوشته می شود:

$$S_{D4} = -N_f T_4 e^{-\phi} \int d^4 x dU \left(\frac{U}{R}\right)^5 \times \quad (7)$$

$$\sqrt{\tau'^2 f(U) + \left(\frac{R}{U}\right)^4 (f(U)^{-1} - (2\pi\alpha' A_0'^2))}$$

که  $A_0$  مشتق میدان پیمانه ای نسبت به  $U$  و  $\tau' = dx/dU$  می باشد.

معادلات حرکت برای  $\tau(U)$  و  $A_0(U)$  به شکل زیر می

باشند:

$$\frac{d}{dU} \left( \frac{\tau' f(U)}{\sqrt{\tau'^2 f(U) + \left(\frac{R}{U}\right)^4 (f(U)^{-1} - (2\pi\alpha' A_0'^2))}} \right) = 0 \quad (8)$$

$$\frac{d}{dU} \left( \frac{\frac{U}{R} A_0'}{\sqrt{\tau'^2 f(U) + \left(\frac{R}{U}\right)^4 (f(U)^{-1} - (2\pi\alpha' A_0'^2))}} \right) = 0$$

در این مقاله همانند مدل SS، مورد  $\tau = 0$  را در نظر می گیریم. با استفاده از تغییر متغیر های زیر،

$$U = (U_{KK}^5 + U_{KK}^3 Z^2)^{1/5}, \quad (9)$$

$$Z = \frac{z}{U_{KK}}, \quad K(Z) = 1 + Z^2$$

کنش D4-brane را به شکل زیر می نویسیم:

$$S_{D4} = -B \int d^4 x dZ K^{3/10} \sqrt{1 - B' K^{3/5} (\partial_z A_0)^2} \quad (10)$$

که ثابت  $B$  و  $B'$  به شکل زیر می باشند:

$$B = \frac{2 U_{KK}^4 N_f T_4 e^{-\phi}}{5 R^3}, \quad B' = \left(\frac{5\pi\alpha'}{U_{KK}}\right)^2 \quad (11)$$

میدان پیمانه ای  $A_0(Z)$  از طریق جمله CS به بار الکتریکی روی رأس باریونی جفت می شود و جمله چشمه را تولید می کند:

$$S_{source} = N_c n_B \int d^4 x \int dZ \delta(Z) A_0(Z) \quad (12)$$

$$ds^2 = \left(\frac{U}{R}\right)^2 (-dt^2 + dx_i dx_i + f(U) d\tau^2) + \left(\frac{R}{U}\right)^2 \frac{dU^2}{f(U)} \quad (1)$$

این پس زمینه شامل یک ویلاتون ثابت  $\Phi$  و یک قدرت میدان

شش- فرم راموند- راموند به شکل زیر است:

$$F_{(6)} = Q_c \left(\frac{U}{R}\right)^4 dt \wedge dx_1 \wedge dx_2 \wedge dx_3 \wedge du \wedge d\tau \quad (2)$$

$$e^\phi = \frac{2\sqrt{2}}{\sqrt{3}Q_c}, \quad R^2 = \frac{15}{2}, \quad f(U) = 1 - \left(\frac{U_{KK}}{U}\right)^5 \quad (3)$$

که پارامتر  $Q_c$  با تعداد brane های رنگ  $N_c$  متناسب است.

مختصه  $\tau$  نیز باید شرط تناوبی زیر را ارضاء کند:

$$\tau \sim \tau + \delta\tau \quad \delta\tau = \frac{4\pi R^2}{5U_{KK}} \quad (4)$$

و مقیاس جرم Kaluza-Klein این بعد فشرده برابر است با:

$$M_{KK} = \frac{2\pi}{\delta\tau} = \frac{5 U_{KK}}{2 R^2} \quad (5)$$

## باریون در $AdS_6$

بار ویتن رأس باریونی را به عنوان  $Dp$ -brane پیچیده روی

یک کره  $S^p$  تعریف کرد [9]. در مدل هولوگرافی غیربهرانی

$AdS_6$ ، کره  $S^4$  وجود ندارد. ولی می توان یک  $D_0$ -brane غیر

پیچیده را به عنوان رأس باریونی در نظر گرفت. در مقایسه با مدل

های بحرانی مانند مدل SS، در اینجا نیز یک جمله Chern-

Simon روی جهان حجم  $D_0$ -brane وجود دارد. بنابراین لازم

است تا  $N_c$  ریسمان بنیادی به رأس باریونی متصل باشد. انتهای

دیگر این ریسمان ها باید به  $D_4$ -brane طعم متصل شوند. ما یک

تقارن عدد باریونی  $U(1)$  در نظر می گیریم و مانند مدل های

هولوگرافی بحرانی، تنها مؤلفه صفر میدان پیمانه ای روی جهان

حجم  $D_4$ -brane طعم را روشن می کنیم و فرض می کنیم که

این مؤلفه غیر صفر  $A_0$  و همچنین مختصه فشرده  $\tau$ ، تنها به

مختصه شعاعی  $U$  وابسته باشد. در نتیجه کنش مؤثر کلی روی

$D_4$ -brane به شکل زیر نوشته می شود:

$$S_{D4} = -N_f T_4 e^{-\phi} \int d^5 x \sqrt{-\det(g_{MN} + 2\pi\alpha' F_{MN})} \quad (6)$$

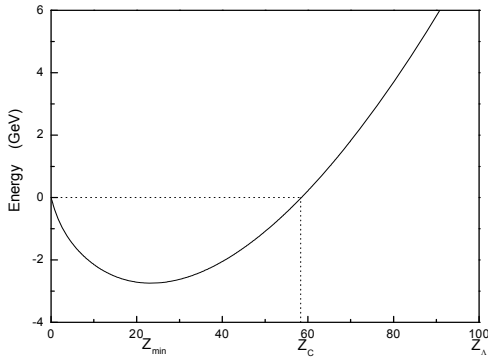
$$+ \mu \int C_5$$

$$C = \frac{2 N_c U_{KK}}{5 2\pi\alpha'} \quad (۲۰)$$

در نتیجه انرژی باریون به شکل زیر نوشته می شود:

$$E_B = BV_{baryon} \int_0^{z_\Lambda} dZ K^{3/10} \left[ 1 + \frac{n_q^2}{4B^2 B'} K^{-6/5} \right]^{1/2} - C \int dZ K^{-3/10} \quad (۲۱)$$

ما انرژی بستگی باریون را به عنوان کمینه انرژی در نظر گرفته و معادله بالا را به صورت عددی با انتخاب مقادیر  $N_c = 3, N_f = 2, M_{KK} = 1 \text{ GeV}$  حل کرده و در شکل ۱ به صورت تابعی از  $Z_\Lambda$  رسم نموده ایم. در واقع  $Z_\Lambda$  فاصله D4-brane های طعم از راس باریونی یا به عبارتی طول ریسمان های متصل به راس باریونی را نشان می دهد. نتایج ما نشان می دهد که طول ریسمان ها تا  $Z_C$  می تواند افزایش یابد، اما با افزایش بیشتر طول ریسمان ها ترکیب باریونی تفکیک می شود. انرژی باریون در نقطه  $Z_\Lambda = Z_{\min}$  کمینه می شود. ترکیب باریونی در این نقطه را به عنوان پایدارترین ترکیب در نظر گرفته و انرژی آن را به عنوان انرژی بستگی باریون محاسبه می کنیم که مقدار  $۲۷ \text{ GeV}$  بدست می آید.



شکل ۱- انرژی بستگی باریون بر حسب طول ریسمان ها

### نتیجه گیری

ما در این مقاله باریون دینامیکی را در پس زمینه گرانشی غیر بحرانی  $\text{AdS}_6$  در نظر گرفتیم. کنش باریون را به صورت جمع کنش DBI و جمله منبع ناشی از جفت شدگی CS فرض کردیم. برای محاسبه انرژی بستگی باریون، خود انرژی کوآرک ها سازنده

ما کنش باریون را به شکل مجموع کنش D4-brane و جمله source در نظر می گیریم و چگالی لاگرانژی باریون را به شکل زیر می نویسیم:

$$L_{baryon} = -BK^{3/10} \sqrt{1 - B'K^{3/5} (\partial_z A_0)^2} + N_c n_B \delta(Z) A_0(Z) \quad (۱۳)$$

اکنون معادله حرکت را برای میدان پیمانه ای  $A_0(Z)$  می نویسیم:

$$\frac{d}{dZ} \frac{\partial L}{\partial (\partial_z A_0)} = n_q \delta(Z) \quad (۱۴)$$

که  $n_q = N_c n_B$ ، چگالی کوآرک می باشد. با تعریف تکانه همیوگ میدان پیمانه ای به شکل زیر:

$$D \equiv \frac{\partial L}{\partial (\partial_z A_0)} = \frac{1}{2} n_q \text{Sgn}(Z) \quad (۱۵)$$

میدان پیمانه ای را می توان به شکل زیر بدست آورد:

$$A_0(Z; n_q) = A_0(0) + \quad (۱۶)$$

$$\int_0^Z dZ \frac{n_q / 2}{\sqrt{(BB')^2 K^{9/5} + B'n_q^2 / 4K^{3/5}}}$$

در ادامه، با اعمال یک تبدیل لژاندر روی چگالی لاگرانژی

میدان پیمانه ای را به شکل زیر حذف کنیم:

$$L \rightarrow -L + DA'_0 \quad (۱۷)$$

در نتیجه انرژی باریون را به شکل زیر می نویسیم:

$$E_{baryon} = \int d^3x \int_0^{z_\Lambda} dZ (L_{baryon}) \quad (۱۸)$$

$$= BV_{baryon} \int_0^{z_\Lambda} dZ K^{3/10} \sqrt{1 + \frac{n_q^2}{4B^2 B'} K^{-6/5}}$$

که شامل خودانرژی کوآرک ها نیز می باشد. بنابراین ما انرژی

$N_c$  کوآرک بنیادی را باید از آن کم کنیم. این انرژی به شکل زیر

محاسبه می شود:

$$E_{strings} = \frac{N_c}{2\pi\alpha'} \int dU f^{-1/2} \quad (۱۹)$$

$$= C \int dZ K^{-3/10}$$

که در آن داریم



باریون را از انرژی کل باریون کم نمودیم و سپس با اکستریم کردن انرژی حاصل نسبت به طول ریسمان ها انرژی بستگی باریون را بدست آورده ایم. نتیجه حاصل در شکل ۱ قابل مشاهده است. بر اساس این شکل می بینیم که انرژی باریون در  $Z_\Lambda = 0$  یا  $U_\Lambda = U_{KK}$  صفر می باشد. با افزایش  $Z_\Lambda$ ، انرژی ترکیب باریونی کاهش می یابد و در  $Z_\Lambda = Z_{\min}$  کمینه می شود. لذا این نقطه یک نقطه تعادل پایدار می باشد. همچنین انرژی در نقطه  $Z_\Lambda = Z_C$  دوباره صفر می شود و برای فواصل بزرگتر از  $Z_\Lambda > Z_C$  انرژی افزایش می یابد. این مطلب نشان می دهد که ترکیب باریونی در نظر گرفته شده برای  $Z_\Lambda$  بزرگتر از  $Z_C$  پایدار نمی باشد و باریون تفکیک می شود. این رفتار باریون با نتیجه بدست آمده در مدل هولوگرافی بحرانی معادل SS است [۱۰].

## مرجع‌ها

- [۱] T. Sakai and S. Sugimoto, "Low energy hadron physics in holographic QCD", *Prog. Theor. Phys.* **113**, (2005) 843.
- [۲] I. R. Klebanov, J. M. Maldacena, "Superconformal gauge theories and non-critical superstrings", *Int. J. Mod. Phys. A* **19**, (2004) 5003-5016.
- [۳] S. Kuperstein and J. Sonnenschein, "Non-critical supergravity ( $d > 1$ ) and holography", *JHEP* **0407**, (2004) 049.
- [۴] F. Bigazzi, R. Casero, A. L. Cotrone, E. Kiritsis and A. Paredes, "Non-critical holography and four-dimensional CFT's with fundamentals", *JHEP* **0510**, (2005) 012.
- [۵] R. Casero, A. Paredes and J. Sonnenschein, "Fundamental matter, meson spectroscopy and non-critical string / gauge", *JHEP* **0601**, (2006) 127.
- [۶] S. Kuperstein, J. Sonnenschein, "Non-critical, near extremal AdS(6) background as a holographic laboratory of four dimensional YM theory", *JHEP* **0411**, (2004) 026
- [۷] J. M. Maldacena, "Wilson loops in large N field theories", *Phys. Rev. Lett.* **80**, (1998) 4859.
- [۸] V. Mazu and J. Sonnenschein, "Non critical holographic models of the thermal phases of QCD", *JHEP* **06** (2008) 091.
- [۹] E. Witten, "Baryons and branes in anti de Sitter space", *JHEP* **9807**, (1998) 006.
- [۱۰] J. Sadeghi, M. R. Pahlavani, R. Morad and S. Heshmatian, "Baryon Binding Energy in Sakai-Sugimoto Model", *Int. J. Theor. Phys* **50** (2011) 488-96.

## فرم جدید پارامتریزه کردن میدان هیگز در مدل ابعاد اضافی جهانی

توفیقی، علی<sup>۱</sup>؛ میرزابابازاده، فاطمه<sup>۲</sup>

<sup>۱</sup>دانشگاه فیزیک، دانشگاه مازندران، بابلسر

<sup>۲</sup>دانشگاه فیزیک، دانشگاه سمنان، سمنان

### چکیده

ما مدل ابعاد اضافی جهانی (UED) را مورد بررسی قرار دادیم که بر روی یک اوربifold فشرده شده است. ما معادله حرکت مربوط به میدان اسکالری درون توده را مورد مطالعه قرار داده و حل جدیدی برای مقدار انتظاری خلاء این میدان بدست آوردیم. همچنین یک روش تئوری به منظور دستیابی به کمترین مد مربوط به بسط کالوزا-کلاین هیگز فیزیکی، بوزون گلدستون و هیگز باردار ارائه دادیم و در نهایت انحراف یوکاواایی کوآرک  $\kappa_{top}$  را در این چارچوب بدست آوردیم.

## New Parametrization of the Higgs Field in Universal Extra Dimension

Tofighi, Ali<sup>1</sup>; Mirzababazadeh, Fatemeh<sup>2</sup>

<sup>1</sup> Department of Physics, University of Mazandaran, Babolsar,

<sup>2</sup> Department of Physics, University of Semnan, Semnan

### Abstract

We consider a universal extra dimension model compactified on an orbifold  $S^1/Z_2$ . We study the equation of motion for the bulk scalar field, and we present a new solution for the vacuum expectation value of this field. We also find analytical expressions for the lowest order Kaluza-Klein expansion for the Higgs, Nambu-Goldstone and fermion fields. and finally we explore the issue of top Yukawa deviation in this framework.

PACS No (13)

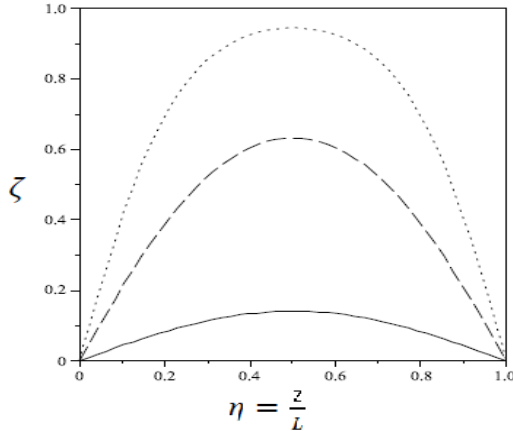
پیش‌بینی‌هایی نیز ارائه کند که بطور تجربی قابل بررسی باشند ابعاد اضافی یکی از همین نظریه‌هاست که در این مقاله به بررسی جنبه‌های مختلف شکست تقارن الکتروضعیف (مکانیزم هیگز) در ابعاد اضافی از نوع UED تحت پرداخته و در نهایت یکی از ویژگیهای پدیده‌شناسی آن یعنی انحراف یوکاواایی کوآرک  $\kappa_{top}$  را مورد بررسی قرار می‌دهیم.

### مدل

در این مقاله فرض بر این است که فضا دارای متریک تخت بوده و کنش برای میدان هیگز دوگان  $SU(2)_L$  دارای رابطه‌ی زیر است:

### مقدمه

مدل استاندارد فیزیک ذرات بر پایه گروه تقارنی  $SU(3)_C \otimes SU(2)_L \otimes U(1)_Y$  پایه‌گذاری شده است. امروزه این مدل یک تئوری رایج و کاربردی است که علی‌رغم تمام موفقیت‌های بی‌شمار یک بخش از آن هنوز به خوبی پایه‌گذاری نشده است. ما نمی‌دانیم چه عاملی باعث جرم‌دار شدن ذرات بنیادی می‌گردد، ساده‌ترین ایده استفاده از مکانیزم هیگز می‌باشد. این مکانیزم شامل یک ذره‌ی اضافی بنام بوزون هیگز است. بدلیل عدم پاسخگویی مدل استاندارد به بسیاری از سؤالات، فیزیکدانان را بر این عقیده استوار کرده است که باید نظریه‌ای کاملتر جانشین این مدل شده که علاوه بر حل مشکلات آن،



شکل ۱: کمترین مرتبه مد مربوط به میدان کلاسیکی غیر یکنواخت، نقطه‌چین به ازای  $k = 0.9$ ، خط‌چین به ازای  $k = 0.5$  و خط به ازای  $k = 0.1$

از آنجایی که توابع بیضوی دو متغیره می‌باشند لذا دارای فضای پارامتری بسیار غنی هستیم. به منظور حفظ پارامتری  $k$ ، طول اوربیت را در  $\frac{1}{2}$  دوره تناوب قرار داده و شروط مرزی را  $(D, D)$  لحاظ کردیم یعنی  $\varphi^*(z=0, L) = C$ ، در نتیجه رابطه‌ی زیر حاصل شد:

$$L = 2 \frac{\sqrt{L_0^2 - C^2}}{k} K(k) \quad (9)$$

یکی از نتایج فیزیکی رابطه‌ی (۸) این است که جرم  $\delta$  بعدی بوزونهای پیمانه‌ای در درون توده ثابت نیستند بلکه تابعی از بعد پنجم یعنی  $\delta$  می‌باشند. با توجه به رابطه‌ی (۹) ملاحظه می‌گردد که طول اوربیت در ارتباط با پارامتر مدول  $k$  و  $m$  می‌باشد که به ازای  $k = 0$  این طول مقدار  $L_{min} = \frac{\pi}{2}$  و به ازای  $k = 1$  مقدار  $L_{max} = \infty$  را کسب می‌کند که بعد اضافی نامتناهی نامیده می‌شود.

### طیف بخش اسکالری

مشابه مدل استاندارد که خلاء حول میدانهای مربوط به افت‌وخیز کوانتومی بسط داده می‌شد در اینجا نیز میدان کلاسیکی  $\varphi^*(z)$  را حول افت‌وخیزهای کوانتومی بسط می‌دهیم:

$$\mathbb{E} = \left[ \frac{1}{\sqrt{g}} (\varphi^*(z) + h(x^{\mu}, z) + i\chi(x^{\mu}, z)) \right] \quad (10)$$

$$\mathbb{E} = \int d^4x \int_0^L dz [(-D_{\mu}\mathbb{E})^{\dagger} (D^{\mu}\mathbb{E}) - V(\mathbb{E})] \quad (1)$$

$D_{\mu}$  مشتق هموردای پیمانه‌ای بوده و  $V(H)$  پتانسیلی است که در درون توده<sup>۱۵</sup> قرار دارد:

$$D_{\mu} = \partial_{\mu} + ig_3 T^a \gamma_{\mu}^a + ig_2 Y B_{\mu} \quad (2)$$

$$V(\mathbb{E}) = -m^2 |\mathbb{E}|^2 - \frac{\lambda}{4} |\mathbb{E}|^4 + O(\Lambda^{-4}) \quad (3)$$

با پارامتریزه کردن هیگز دوگان بصورت

$$\mathbb{E} = \left[ \frac{1}{\sqrt{2}} (\varphi + i\chi) \right] \quad (4)$$

و بکارگیری تغییر متغیر  $\lambda = \frac{4g}{\Lambda} = \frac{m^2}{v^2}$ ، پتانسیل  $V(H)$  بصورت زیر بازنویسی می‌شود.

$$V(\mathbb{E}) = \frac{\lambda}{4} (\varphi^2 + \chi^2 + 2\varphi^+\varphi^- - \varphi_0^2)^2 + O(\Lambda^{-4}) \quad (5)$$

یک روش رایج در فیزیک ذرات، استفاده از روش میدان زمینه است. در این روش میدان به دو بخش کلاسیکی و افت‌وخیزهای کوانتومی تفکیک می‌شود:

$$\varphi(x^{\mu}, z) = \varphi^*(x^{\mu}, z) + h^{\mu}(x^{\mu}, z) \quad (6)$$

اگر ساده‌ترین حالت برای میدان کلاسیکی (خلاء) در نظر گرفته شود یعنی هیچگونه وابستگی به مختصات ۴ بعدی تخت  $\mathbb{M}^4$  نداشته و فقط وابسته به بعد اضافی باشد  $\varphi^*(z) = \varphi_0$ ، آنگاه معادله حرکت مربوط به این میدان با رابطه‌ی زیر داده می‌شود [۱]:

$$\frac{d^2}{dz^2} \varphi^*(z) - 2(\varphi^*(z)^2 - \varphi_0^2) \varphi^*(z) = 0 \quad (7)$$

یکی از جوابهای رابطه‌ی ذکر شده این است که میدان کلاسیکی، شکل یکنواخت  $\varphi^*(z) = \varphi_0$  داشته باشد که در مراجع [۱][۲][۳] راجع به آن بحث کاملی شده است. اما اگر رابطه‌ی (۷) را در کلی‌ترین حالت آن حل کنیم در آن صورت دارای جوابی غیر یکنواخت براساس توابع بیضوی برای میدان کلاسیکی  $\varphi^*(z)$  خواهیم بود:

$$\varphi^*(z) = \frac{\sqrt{2k^2 - 1}}{\sqrt{1+k^2}} \operatorname{sn} \left( \sqrt{\frac{\Lambda^2}{1+k^2}} z, k \right) \quad (8)$$

$\operatorname{sn}$  تابع بیضوی ژاکوبی با پارامتر مدول  $(0 < k < 1)$  بوده و دارای دوره تناوب  $4K$  می‌باشد. در شکل ۱ کمترین مرتبه‌ی مد مربوط به افت‌وخیز کوانتومی میدان هیگز فیزیکی نشان داده‌شده است و پارامتر  $\zeta = \frac{z}{L}$  می‌باشد.

$$0 \leq \alpha \leq 1 \quad (19)$$

### انحراف یوکاواوی کوآرک top

در این بخش به بررسی میزان انحراف جفت‌شدگی بین کوآرک  $top$  و بوزون هیگز دوگان در مدل خلاء غیر یکنواخت نسبت به مدل استاندارد می‌پردازیم. برهمکنش بین کوآرک  $top$  و بوزون هیگز با استفاده از رابطه‌ی زیر تعریف می‌شود که در آن  $\psi^*(x)$  دارای شکل غیر یکنواخت (۸) است.

$$-L_4 = \int_{V_0} d^3x \left[ \frac{\partial \psi^*}{\partial t} + i\psi^* \frac{\partial \psi}{\partial t} \right] \psi^*(x, t) \psi(x, t) \quad (20)$$

میدان کوآرکی  $top$  نیز دارای بسط  $kk$  بوده

$$\psi(x, t) = \sum_n b_n(x) \chi_n^*(x) \quad (21)$$

که  $\chi_n^*(x)$  در شرط تعامد زیر صدق می‌کند.

$$\int_{V_0} \chi_n^*(x) \chi_m(x) dx = \delta_{nm} \quad (22)$$

از اولین جمله‌ی رابطه‌ی (۲۰) جرم کوآرک  $top$  بدست می‌آید.

$$m_t = \int_{V_0} d^3x \frac{\partial \psi^*}{\partial t} \psi(x, t) \quad (23)$$

در نتیجه می‌توان آن را بصورت زیر بازنویسی کرد.

$$-L_4 = \int_{V_0} d^3x \left[ m_t + \int_{V_0} d^3x \psi^*(x) \psi(x) \right] \psi^*(x) \psi(x) \quad (24)$$

در مدل استاندارد فیزیک ذرات جفت‌شدگی بوزون هیگز با فرمیون با چنین رابطه‌ای داده می‌شود.

$$-L_4 = m_f \left( 1 + \frac{h}{v} \right) \bar{f} f \quad (25)$$

مشاهده می‌کنیم که نسبت ضریب جفت‌شدگی فرمیون-فرمیون-هیگز به جرم فرمیون برابر با  $\frac{1}{v}$  است که آن را با  $r$  نمایش می‌دهیم و  $v$  دارای مقدار ۲۴۶ می‌باشد. اگر این نسبت برای مدل خلاء غیر یکنواخت محاسبه شود و با مقدار حاصل از مدل استاندارد مقایسه شود میزان انحراف از این مدل بدست می‌آید.

$$r = \frac{m_t}{m_f} \left[ \int_{V_0} d^3x \psi^*(x) \psi(x) \right] \quad (26)$$

بعنوان یک جمله‌ی جرمی وابسته به مکان برای فرمیون درون توده رفتار می‌کند که مد صفر مربوط به فرمیون براساس مراجع [۴][۵] دارای فرمی به شکل زیر می‌باشد.

$$\psi(x) = N_f \left[ D_n \left( \sqrt{\frac{\lambda x}{1+\lambda^2}} \epsilon, k \right) + k C_n \left( \sqrt{\frac{\lambda x}{1+\lambda^2}} \epsilon, k \right) \right] \quad (27)$$

با استفاده از رابطه‌ی ذکر شده، پتانسیل (۵) بصورت زیر

بازنویسی می‌شود:

$$V(x) = \frac{1}{2} (\psi^*(x) - \psi(x)) \chi(x, t) + 2i \psi^*(x) \psi(x) \quad (11)$$

$$+ \frac{1}{2} (i \psi^*(x) - \psi(x)) \chi(x, t)$$

میدان هیگز فیزیکی، بوزون گلدستون و هیگز باردار دارای

بسط  $kk$  یی به فرم زیر خواهند بود:

$$h(x, t) = \sum_n h_n(x) \chi_n^*(x) \quad (12)$$

$$\chi(x, t) = \sum_n \chi_n(x) \chi_n^*(x) \quad (13)$$

$$\psi^*(x, t) = \sum_n \varphi_n(x) \chi_n^*(x) \quad (14)$$

### مشخصات هیگز فیزیکی

طیف مربوط به هیگز فیزیکی از رابطه‌ی زیر بدست می‌آید:

$$\left[ \frac{d^2}{dx^2} - 2(i \psi^*(x) - \psi(x)) \right] \chi_n^*(x) = -m_n^2 \chi_n^*(x) \quad (15)$$

رابطه‌ی ذکر شده معرف معادله‌ی لمه می‌باشد که در پایین‌ترین

مرتبه به ازای  $n=0$  دارای جوابهایی براساس چند جمله‌ای لمه و توابع غیرجبری لمه است. در پایین‌ترین مرتبه جواب مناسب بگونه‌ای است که باید شروط مرزی دیریکله را در مرزها برآورده کند یعنی

$$f_n^*(s=0, L) = 0$$

$$\chi_n^*(x) = N_n \sin \left( \sqrt{\frac{\lambda x}{1+\lambda^2}} \epsilon, k \right) D_n \left( \sqrt{\frac{\lambda x}{1+\lambda^2}} \epsilon, k \right) \quad (16)$$

از طریق شرط بهنجارش حاصل می‌شود.

$$N_n = \sqrt{\frac{2\epsilon}{\sqrt{1+\lambda^2} \epsilon, k}} \quad (17)$$

نتیجه‌ی فیزیکی رابطه‌ی (۱۶) این است که بعد از کاهش

ابعادی مدل خلاء غیر یکنواخت جفت‌شدگی متفاوتی از میدان هیگز با بوزونها و فرمیونهای مدل استاندارد ارائه می‌کند، بویژه برای کوآرک  $top$ ، که نسبت به پیش‌بینی‌های مدل استاندارد قابل مقایسه است.

جرم هیگز فیزیکی براساس رابطه‌ی زیر داده می‌شود:

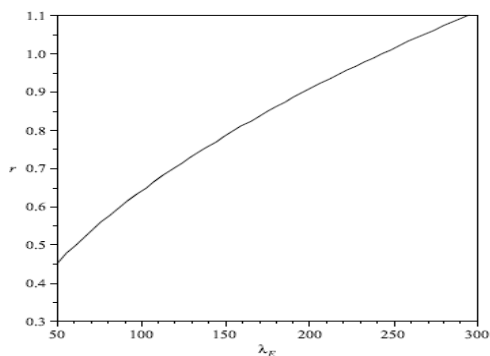
$$m_h^2 = \int_{V_0} d^3x \chi_n^*(x) \left[ -\frac{d^2}{dx^2} + 2(i \psi^*(x) - \psi(x)) \right] \chi_n(x) \quad (18)$$

$$= \frac{m_t^2}{1+\lambda^2} = \frac{m_f^2}{1+\lambda^2} = \left( \frac{m_f}{1} \right)^2$$

بخاطر اینکه از شکل غیر یکنواخت  $\psi^*(x)$  استفاده کردیم لذا جرم هیگز وابسته به پارامتر مدول  $k$  شده و بدلیل اینکه  $0 < k < 1$  است لذا حد بالا و پایینی برای  $m_h$  بدست می‌آید.

- [3] N. Haba, K. Oda, R. Takahashi, JHEP **1007**, 079(2010).  
 [4] K. Kong, S. C. Park and T. G. Rizzo, JHEP **1004**, 081(2010).  
 [5] S. C. Park and J. Shu, Phys. Rev. D, **79**, 091702(2009).

ما برای انجام محاسبات از داده‌های ورودی  $\Lambda = 10\text{TeV}$  ،  
 $m_b = 1.4\text{GeV}$  و  $m_c = 1.72\text{GeV}$  استفاده کردیم ابتدا برای  
 پارامتر مدول  $k$  ، یک مقدار در نظر گرفتیم سپس مقدار پارامتر  $\alpha$   
 را از طریق سعی و خطا با استفاده از رابطه‌ی (۲۳) بدست آوردیم  
 و در نهایت با کمک رابطه‌ی (۲۶) مقدار انحراف  $r$  را محاسبه  
 کردیم.  
 در شکل ۲ انحراف پارامتر  $r$  که با رابطه‌ی (۲۶) تعریف شده است  
 را براساس  $\lambda_E$  رسم کردیم و مقدار  $r = 1$  مطابق با پیش‌بینی‌های  
 مدل استاندارد است.



شکل ۱: انحراف پارامتر  $r$  از مدل استاندارد

## نتیجه‌گیری

در این مقاله ما یک راه حل جدید برای معادله حرکت مربوط  
 به میدان کلاسیکی ارائه دادیم و پایین‌ترین مد مربوط به بسط  $\lambda_E$   
 مربوط به بخش اسکالری و فرمیونی را مورد مطالعه قرار داده و  
 توانستیم حد بالا و پایینی برای جرم هیگز بدست آوریم که وابسته  
 به پارامتر  $m$  می‌باشد. در این چارچوب انحراف یوکاوی کوارک  
 $top$  را نسبت به مدل استاندارد محاسبه کردیم

## سپاسگزاری

از زحمات دکتر علی توفیقی صمیمانه قدردانی می‌کنم.

## مرجع‌ها

- [1] N. Haba, K. Oda, R. Takahashi, Nucl.Phys, B, **821**, 74(2009).  
 [2] N. Haba, K. Oda, R. Takahashi, Acta, Phys. Polon. B, **41**,  
 1291(2010).

## بررسی عملکرد RAD7 در آشکارسازی ذرات $^{220}\text{Rn}$ و $^{222}\text{Rn}$ برای پروتکل های مختلف

جلیلی مجارشین، امیر<sup>۱</sup>؛ آهانگرزاده مارالانی، علیرضا<sup>۲</sup>

<sup>۱</sup> دانشگاه محقق اردبیلی، دانشکده علوم، گروه فیزیک

<sup>۲</sup> دانشگاه آزاد اسلامی واحد تبریز، گروه فیزیک

### چکیده

آشکارساز با اطاقک نیم کره‌ای پیشرفته‌ای به نام RAD7 وجود دارد که می‌تواند همزمان ذرات رادیواکتیو  $^{222}\text{Rn}$  و  $^{220}\text{Rn}$  را آشکارسازی کند و برای مدها و پروتکل های مختلف کاربرد دارد. ما در این پروژه با دو پروتکل Sniff و Grab در مدهای مختلفی از Sniff، Normal و Auto سعی در بهینه سازی نتایج حاصل از آشکارسازی ذرات  $^{222}\text{Rn}$  و  $^{220}\text{Rn}$  برای پروتکل های مختلف در هوا، آب توسط سیستم RAD7 را خواهیم داشت.

کلمات کلیدی: RAD7، ذرات  $^{222}\text{Rn}$  و  $^{220}\text{Rn}$ ، پروتکل

## Investigation of RAD7 Performance in Detect of $^{222}\text{Rn}$ and $^{220}\text{Rn}$ Particle for Different Protocol

Jalili-Majareshin, Amir<sup>1</sup>; ahangarzadeh-maralani, Alireza

<sup>1</sup>Department of Physics, University of Mohagheghe Ardabili

<sup>2</sup>Department of Physics, Azad university of Tabriz

### Abstract

The RAD7 is a highly versatile hemisphere instrument in chamber that can form the basis of a comprehensive  $^{222}\text{Rn}$  and  $^{220}\text{Rn}$  measurement System. In this research we try with 2 protocols of Sniff and Grab in different mode of Sniff, Normal and Auto to optimize the results of  $^{222}\text{Rn}$  and  $^{220}\text{Rn}$  particles for two samples like water and air via RAD7

Key words: RAD7,  $^{222}\text{Rn}$  and  $^{220}\text{Rn}$  particles, protocol.

### مقدمه

همه آنها ناپایدارند. بعد از یک سری واپاشی ها با نیمه عمرهای مختلف میتوانند به حالت پایدار تبدیل شوند. از همه این ایزوتوبها، تنها  $^{219}\text{Rn}$ ،  $^{220}\text{Rn}$ ،  $^{222}\text{Rn}$ ،  $^{214}\text{Pb}$  در طبیعت تولید میشوند.

نیمه عمر  $^{222}\text{Rn}$  که تورون نامیده میشود ۵۵/۳ ثانیه است و از واپاشی توریم  $^{232}\text{Th}$  حاصل میشود.  $^{219}\text{Rn}$  یا آکتینون، با نیمه عمر ۳/۲۹ ثانیه، محصول واپاشی  $^{235}\text{U}$  است. بنابراین، از بین این سه ایزوتوب طبیعی رادون تنها  $^{222}\text{Rn}$  با نیمه عمر ۳/۸۲ روز از واپاشی  $^{238}\text{U}$  تولید میشود و فرصت رسیدن به سطح زمین و تجمع در ساختمان را دارد. نکته جالب تر اینکه محصولات واپاشی آن، یعنی

روش های مختلفی برای اندازه گیری گاز رادون در آب وجود دارد، که عبارتند از: استفاده از دستگاه آلفا گارد، روش اسپکترومتری گاما در نمونه آب، روش شمارنده سنتیلاسیون مایع، روش آزادسازی گاز رادون به درون یک محفظه سنتیلاسیون تخلیه شده از هوا و بالاخره با استفاده از سیستم RAD7 که ما در این پروژه از آن استفاده میکنیم. عنصری که رادون نامیده میشود و عدد اتمی آن ۸۶ میباشد دارای ۲۷ ایزوتوب است که از  $^{200}\text{Rn}$  شروع و به  $^{226}\text{Rn}$  ختم میشوند و

۲۵۰ ml، ۱۱-پمپ هوا، ۱۲- آداپتور، ۱۳- نرم افزار Capture.win

### روش آزمایش:

قبل از شروع با RAD7، سیستم را توسط پمپ داخلی RAD7 به مدت ۵ دقیقه تخلیه خواهیم کرد تا عاری از هرگونه ذرات و گازهای رادیواکتیو باشد. سپس مدار خود را همراه پمپ خارجی و رطوبت گیر توسط نمونه های ۴۰ml، ۲۵۰ml، به سیستم RAD7 خواهیم بست.

همچنین برای اندازه گیری در پروتکل های مختلف از جمله برای اندازه گیری در محیط های هوا و یا خاک باید از فیلترهای گرو و غبار استفاده کنیم.

**پروتکل:** مانیتور RAD7 شامل Menu با حالت های Test, Data, Setup می باشد که ابتدا از Menu Test، پروتکل ستون اول سمت چپ جدول زیر را برای نمونه های مختلف از جمله Sniff, Grab, Water40, Water250 و... برای زمانهای متفاوت از چرخه ها و بازه های گوناگون در Mode های مختلف، Sniff, Auto, و یا Normal را تعریف خواهیم کرد.

پروتکل Sniff برای اندازه گیری در هوا و پروتکل Grab برای اندازه گیری غلظت و اکتیویته گاز رادون و تورون در آب مورد استفاده قرار میگیرد.

برای شمارش اکتیویته نمونه ها رطوبت سیستم RAD7 را باید به ۶درصد برسانیم. افزایش رطوبت سیستم بالای ۱۰ درصد موجب اختلال در نمایش تعداد شمارش ها و همچنین انحراف از حد استاندارد خواهد شد. داده های مورد اندازه گرفته شده توسط پورت RS 232 جهت آنالیز و بررسی توسط نرم افزار Capture.win به PC انتقال داده میشود.

### عملکرد RAD7 در مدهای مختلف:

بعد از انتخاب پروتکل در حالت های مختلف عملکرد سیستم در مدهای Sniff, Auto و Normal به صورت زیر است.

$^{218}\text{Po}$  با نیمه عمر ۳/۰۵ دقیقه،  $^{214}\text{Po}$  با نیمه عمر  $10^{-4} \times 1/6$  ثانیه  $^{214}\text{Pb}$  با نیمه عمر ۲۶/۸ دقیقه و  $^{214}\text{Bi}$  با نیمه عمر ۱۹/۷ دقیقه همگی جامدند و با تنفس هوای محتوی رادون و واپاشی آن در ریه، تولید شده و به سطح بافت  $^{16}$  آن میچسبند. ذرات آلفای ناشی از واپاشی آنها باعث آسیب رساندن، و احتمالاً بروز سرطان در افراد میشود. خطر بالقوه  $^{218}\text{Po}$  و  $^{214}\text{Pb}$  حدود ۲۰ برابر بیش از خود رادون  $^{222}\text{Rn}$  است. [۱]

### استفاده از دستگاه RAD7

آشکارساز حالت جامد RAD7 شکل (۱-۱) یک سیستم بسیار پیشرفته برای اندازه گیری همزمان رادون و تورون و همچنین اندازه گیری همزمان طیفهای انرژی ایزوتوپهای این گاز رادیواکتیو که در مدهای مختلف با پروتکل های تعریف شده به کار میرود.



شکل (۱-۱) آشکارساز الکترونیکی RAD7

برای یک سیستم آشکارساز RAD7 ابزار و لوازم زیر برای یک مدار کامل جهت آشکارساختن گازهای رادیواکتیو در محیط خاک و یا هوا و همچنین در آب نیاز است.

- ۱- مانیتور RAD7، ۲- سیم کابل power، ۳- پرینتر، ۴- شیر، ۵- فیلتر دریچه ورودی، ۶- فیلتر گرد و خاک، ۷- شلنک، ۸- لوله نمگیر، ۹- رطوبت گیر CaSO4، ۱۰- لوله آزمایش ۴۰ml،

**مد Sniff**

نهایتاً RAD7 سیگنالها را بر اساس انرژی، تقویت و مرتب میکند (بر حسب ایزوتوپ های متفاوت).

برای تغییرات سریع در محاسبه غلظت گاز رادون به کار میرود که برای پاسخ سریع سطوح تغییرات رادون توسط انرژی پیک های آلفای ذرات  $^{218}\text{Po}$  با تمرکز ۳ دقیقه محاسبه میگردد.

**طیف های RAD7**

مقیاس انرژی آلفا از محدوده صفر تا ۱۰ Mev را با مشخصات ۲۰۰ کانال که هر یک با عرض ۰.۰۵ Mev طبقه بندی میکند. انرژی ذرات آلفای رادون و تورون در محدوده ۹-۶ Mev قرار دارد و ۲۰۰ کانال در ۸ پنجره انرژی با برجسب A-H گروه بندی شده- است.

**مد Normal**

برای عملکرد آماری دقیق بالا توسط شمارش پیک های آلفای در ایزوتوپ  $^{218}\text{Po}$  و  $^{214}\text{Po}$  به کار میرود.

**مد Auto**

مد Auto به صورت اتوماتیک در فرآیند سنجش بین مدهای Sniff و Normal با اندازه گیری بیش از ۳ ساعت عمل سوئیچ زنی را انجام میدهد و این زمان حالت تعادل بین ایزوتوپ ها با نیمه عمر بالای رادون را باعث میشود. در حالت کل مقدار میانگین غلظت گاز رادون را برای همه آزمایش ها انجام میدهد.

**ویندوز A**

انرژی ذرات آلفا در ۶ Mev برای  $^{218}\text{Po}$  که با نیمه عمر ۳ دقیقه که پنجره  $^{222}\text{Rn}$  در مد Sniff یا رادون جدید نامیده میشود.

اکتیویته ذرات  $^{222}\text{Rn}$  و  $^{220}\text{Rn}$  توسط طیف سنج آلفا که RAD7 نامیده میشوند مورد سنجش قرار میدهند. در سیستم RAD7 فیلتر  $0.45\ \mu\text{m}$  از ورود دختران گاز رادون و تورون به درون سیستم RAD7 جلوگیری میکند. در نتیجه سیستم را قادر به شناسایی غلظت گاز رادون و تورون به صورت همزمان همراه با طیف های انرژی ایزوتوپ آن میکند. و پمپ سیستم RAD7 در ابتدا با پیش تنظیم دستگاه شروع به کار میکند. پمپ میکروپروسر (ریزپردازنده) با نرخ شار در حدود  $650\ \text{ml/min}$  کنترل میشود. [۲] رادون  $^{222}\text{Rn}$  از منبع رادیوم  $^{226}\text{Ra}$  و تورون  $^{220}\text{Rn}$  از منبع تالیوم  $^{228}\text{Th}$  با فعالیت  $10\ \mu\text{Ci}$  ( $370\ \text{kBq}$ ) است.

**ویندوز B**

انرژی ذرات آلفا در ۶.۷۸ Mev برای  $^{216}\text{Po}$  که نیمه عمر ۰.۱۵ ثانیه که پنجره  $^{222}\text{Rn}$  در مد Sniff یا تورون جدید نامیده میشود.

**ویندوز C**

انرژی ذرات آلفا در ۷.۶۹ Mev برای  $^{214}\text{Po}$  که نیمه عمر تقریباً ۱ ساعت که پنجره  $^{222}\text{Rn}$ ، رادون قدیم نامیده میشود.

**ویندوز D:**

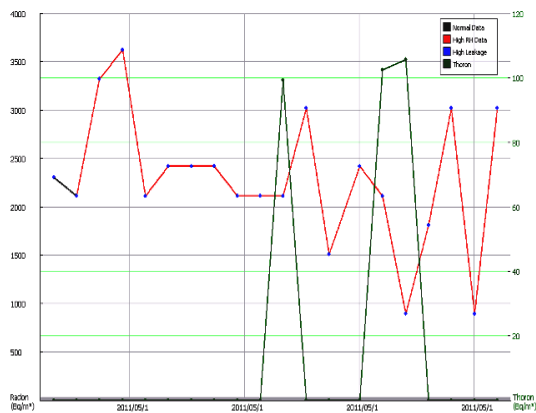
انرژی ذرات آلفا در ۸.۷۸ Mev برای  $^{212}\text{Po}$  که نیمه عمر ۱۰ ساعت که پنجره  $^{220}\text{Rn}$ ، تورون قدیم نامیده میشود.

برای هر ۶۶ شمارش در ویندوز D باید ۳۴ شمارش (۰.۰۵ و ۶.۰۹ Mev) در ویندوز A به خاطر دو شکافت از  $^{212}\text{Bi}$  را خواهیم داشت. بنابراین شمارش ها در ویندوز A به طور اتوماتیک وار برای شمارش در ویندوز D توسط RAD7 تصحیح میشود. لازم به ذکر است که سیستم RAD7 در مد Sniff تغییرات غلظت رادون را برای ویندوز A محاسبه میکند. و در مد

RAD7 شامل سلول ساده درونی نیمکروی با آشکارساز آلفای حالت جامد سیلیکون سطحی در مرکز سیستم قرار دارد. درون نیمکره با رسانش الکتریکی که پتانسیل ۵-۳ KV متناسب با آشکارساز پوشش داده شده است. هنگامی که محصولات اتم به آشکارساز میرسد به ذرات آلفا واپاشی و بعد گسیل می کند و حدوداً ۵۰ درصد ذرات آلفا توسط آشکارساز آشکار می شود در نتیجه سیگنال الکتریکی با شدت متناسب با انرژی آلفا تولید میشود



رادون و تورون در عرض ۱ ساعت و میزان افت و خیزهای این تغییرات همراه با زمان نشان داده شده در محور افقی است.



شکل

(۳-۱). نمودار تغییرات اکتیویته  $^{222}\text{Rn}$  و  $^{220}\text{Rn}$  برای آب به مدت ۱ ساعت

### نتیجه گیری:

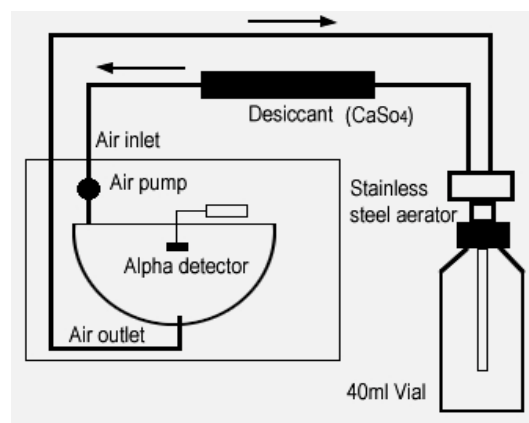
در این آزمایش با استفاده از سیستم RAD7 کلیه پروتکل‌ها با مدهای مختلف مورد سنجش قرار گرفت که بهترین و ایده آل ترین حالت برای نمونه اندازه گیری شده برای این ذرات با کمترین خطای ممکن<sup>۱۷</sup> در حالت Grab بدست آمد.

### مرجع‌ها:

- [1] Pickering, K. T and Owen, L. A., 1997. An introduction to global environmental issues; 2nd, ed. Routledge, London. 174pp  
 [2] Thomas K.C.Lee, K.N.Yu., 2000. Effects of air conditioning, dehumidification and Natural ventilation on indoor concentrations of  $^{222}\text{Rn}$  and  $^{220}\text{Rn}$ . vol:47., 189-199  
 [3] RAD7 radon detector owner's manual, 2000 DURRIDGE Co. 36pp

Normal هر دو ویندوز A و C را محاسبه میکند. یعنی با محاسبه هر دو پنجره دقت اندازه گیری بالا خواهد رفت. [۳]  
 برای اندازه گیری از پروتکل Sniff به مدت ۳ ساعت با مد Auto استفاده میشود.

برای اندازه گیری نمونه آبی از پروتکل Grab به مدت ۱ ساعت از مد Water 40 استفاده شده است.  
 بعد از آماده‌سازی لوازم ذکر شده جهت اندازه گیری نمونه های مورد نظر، مدار شامل پمپ خارجی را سریعاً بدون اتلاف وقت از مدار خارج گردیده و مدار شکل (۲-۱) را جهت سنجش با پروتکلی از پیش تنظیم شده، باید وارد کنیم تا داده های بدست آمده در مدت زمان سنجش را توسط پرینتر یا پورت Rs232 به PC جهت آنالیز انتقال داده شود و جهت بررسی برای اهداف خاص از جمله مقایسه، کنترل، و یا پیش بینی در زمینه های مختلف صنعت مورد استفاده قرار گیرد



شکل (۲-۱) شماتیک نمونه کامل ویال وصل شده به RAD7 جهت سنجش اکتیویته

در شکل (۳-۱) یک پروسه یک ساعته اندازه گیری شده از یک چشمه آب معدنی جهت نمونه برای آنالیز توسط RAD7 صورت گرفته که کل نمودار داده ها با نقاط Min و Max آن توسط نرم افزار Capturewin جهت سنجش نمونه آبی به طور پیوسته، غلظت گاز رادون (رنگ قرمز و مشکی) از  $500 \text{ Bq/m}^3$  تا  $3500 \text{ Bq/m}^3$  در حال نوسان بوده و میزان غلظت گاز تورون (رنگ سبز) که با دو تا پیک مشخص شده مقدار آن از  $\text{Bq/m}^3$  ۱۱۰ تجاوز نمیکند. در حالت کلی، کل نمودار نشانگر تغییرات گاز

## تأثیرات پیچش ۳ و تصحیحات جرم هدف در توابع

## ساختار اسپینی پروتون و نوترون

حدادی، زهرا<sup>۱</sup>؛ خرّمیان، علی<sup>۱،۲</sup>؛ آتشبار تهرانی، شاهین<sup>۲</sup><sup>۱</sup>گروه فیزیک دانشگاه سمنان، سمنان<sup>۲</sup>پژوهشکده‌ی فیزیک ذرات و شتابگرها، پژوهشگاه دانش‌های بنیادی (IPM)، تهران

## چکیده

اندازه‌گیری توابع ساختار قطبیده‌ی اسپینی می‌تواند اطلاعات بنیادی درباره‌ی توزیع‌های کوارک و گلوئون درون هسته‌ها در اختیار ما قرار دهد و این اطلاعات را می‌توان با بررسی برنامه‌ی آزمایشگاهی موفق پراکندگی ناکشسان ژرف قطبیده به دست آورد، اما بخش بزرگی از داده‌های آزمایشگاهی در پراکندگی ناکشسان ژرف در ناحیه‌ی ( $Q^2$ ) پایین قرار دارند که معمولاً در آنالیزهای اختلالی در نظر گرفته نمی‌شوند. از آنجا که تصحیحاتی ( $\frac{1}{Q^2}$ ) المان‌های ماتریسی عملگرهای  $QCD$  مربوط به پیچش بالاتر (به عنوان مثال پیچش ۳ و پیچش ۴)، همبستگی میدان‌های کوارک و گلوئون را در  $QCD$  غیراختلالی نشان می‌دهد، بنابراین در این مقاله میزان تأثیر پیچش ۳ در توابع ساختار قطبیده‌ی اسپینی پروتون و نوترون در تقریب مرتبه‌ی دوم درحالی‌که تصحیحات جرم هدف را دربرمی‌گیرند نسبت به حالتی که این تصحیحات را دربر نمی‌گیرند، محاسبه شده است.

## Twist 3 Effects and Target Mass Corrections in the Proton and Neutron Spin Structure Functions

Haddadi. Zahra<sup>1</sup>, Khorramian. Ali<sup>1,2</sup>, Atashbar Tehrani. Shahin<sup>2</sup><sup>1</sup>Physics Department, Semnan University, Semnan, Iran<sup>2</sup>School of Particles and Accelerators, Institute for Research in Fundamental Sciences (IPM), Tehran, Iran

## Abstract

Measurements of spin-dependent structure functions can give fundamental information about quark and gluon distributions inside nucleons and these information has been carried by the successful experimental program of polarized deeply-inelastic lepton-nucleon scattering but a large part of experimental data in polarized deep inelastic scattering are taken at low values of ( $Q^2$ ), but they are usually not included in perturbative analyses. because ( $1/Q^2$ ) corrections, from the matrix elements of higher twist (for example twist 3 and twist 4), show the nonperturbative correlations of the quark and gluon fields, so in this paper twist 3 effect in the Proton and Neutron spin structure functions has been studied in next to leading order approximation with and without target mass corrections.

## مقدمه

این دسته از جملات به طور کامل و دقیق در بررسی‌های قبلی ارائه شده‌اند [۲] و تحت عنوان تصحیحات جرم هدف<sup>۱۸</sup> شناخته می‌شوند. ۲- توزیع‌هایی که از المان‌های ماتریسی مربوط به پیچش غیرعمده نشأت می‌گیرند که آنها را پیچش‌های بالاتر<sup>۱۹</sup> دینامیکی

در ناحیه‌ی سینماتیکی توزیع‌های مربوط به توان‌های معکوس ( $Q^2$ ) می‌توانند مهم شوند که این توزیع‌ها دارای دو منشأ متفاوت می‌باشند [۱]:

۱- دسته‌ی اوّل از به حساب آوردن جرم محدود هدف در سطح مقطع پیچش عمده در ناحیه‌ی سینماتیکی نشأت می‌گیرد که

Target Mass corrections (TMCs) <sup>۱۸</sup>Higher Twist <sup>۱۹</sup>

$$a_n(Q^2) = \sum_{j=0}^n C_j^{(n)}(\alpha, \beta) f(j+2, Q^2), \quad (5)$$

با کمک گرفتن از سه رابطه‌ی بالا می‌توان تابع ساختار قطبیده در فضای X را به ممته‌های ملینشان مربوط کنیم:

$$xg_1(x, Q^2) = x^\beta (1-x)^\alpha \times \sum_{n=0}^{N_{\max}} \theta_n^{\alpha, \beta}(x) \sum_{j=0}^n c_j^{(n)}(\alpha, \beta) g_1[j+2, Q^2]. \quad (6)$$

برای رسیدن به بهترین دقت و سریع‌ترین همگرایی ما در محاسبات  $N_{\max} = 9$ ،  $\alpha = 3.0$  و  $\beta = 0.5$  را انتخاب کرده‌ایم.

دومین تابع ساختار قطبیده که نیازمند اعمال تصحیح بر روی آن هستیم، تابع ساختار قطبیده‌ی  $g_2(x, Q^2)$  است که به صورت زیر تعریف می‌شود [۶]:

$$g_2(x, Q^2) = g_2^{WWW}(x, Q^2) - \int_x^1 \frac{\partial}{\partial y} \left( \frac{m}{M} h_T(x, Q^2) + \xi(x, Q^2) \right) \frac{dy}{y}, \quad (7)$$

که در این رابطه m و M به ترتیب جرم کوارک و هدف هستند. جمله‌ی اول مجموعه‌ی یکسانی از عملگرهایی است که در  $g_1$  سهم‌اند، جمله‌ی دوم مشخص‌کننده‌ی قطبش عرضی کوارک است و با  $h_T(x, Q^2)$  نمایش داده می‌شود و جمله‌ی سوم دربرگیرنده‌ی برهم‌کنش‌های کوارک و گلوئون یا به عبارتی پیچش‌های بالاتر است، اما با توجه به اینکه در محاسبات مربوط به تصحیحات جرم هدف از جرم کوارک صرف‌نظر می‌شود جمله‌ی توزیع عرضی از بین می‌رود و به رابطه‌ی زیر می‌رسیم:

$$g_2(x, Q^2) = g_2^{WWW}(x, Q^2) + \bar{g}_2, \quad (8)$$

که جمله‌ی  $\bar{g}_2$  دربرگیرنده‌ی بخش پیچش-۳ این تابع ساختار است. اما در طی بررسی‌های آزمایشگاهی مربوط به گروه E155 نشان داده شد که در ناحیه‌ی  $x > 0.79$  که مربوط به ناحیه‌ی بررسی تصحیحات جرم هدف است جمله‌ی  $\bar{g}_2$  به راحتی قابل صرف‌نظر کردن است و رابطه‌ی  $g_2$  مورد استفاده در توابع ساختار تصحیح شده‌ی با جرم هدف به شکل زیر در می‌آید [۷]:

$$g_2(x, Q^2) \approx g_2^{WWW}(x, Q^2) \quad (9)$$

که در رابطه‌ی زیر تعریف شده است:

$$g_2^{WWW}(x, Q^2) = -g_1(x, Q^2) + \int_x^1 \frac{g_1(y, Q^2)}{y}. \quad (10)$$

ذکر این نکته ضروری به نظر می‌رسد که داده‌های اخیر در توافق خوبی با  $g_2^{WWW}$  می‌باشند که بیان‌کننده‌ی کوچک بودن سهم

می‌نامند و اثرات آنها قابل بررسی در تئوری اختلالی نیست و برای بررسی آنها نیاز به استفاده از چارچوب بسط ضرب عملگر<sup>۲۰</sup> داریم زیرا در این چارچوب اثرهای اختلالی و غیراختلالی در کنار یکدیگر قابل بررسی می‌باشند. نمونه‌ای از این توزیع‌ها پیچش ۳ و پیچش ۴ می‌باشند که ما قصد بررسی میزان تأثیر پیچش ۳ را در توابع ساختار اسپینی داریم.

### توابع ساختار قطبیده‌ی اسپینی

به کمک مدل پارتون که ابزار مفیدی برای فهم برهم‌کنش‌های انرژی بالا است، تابع ساختار قطبیده‌ی  $g_1$  در فضای ممته بر حسب توابع توزیع پارتونی<sup>۲۱</sup> در مرتبه‌ی پیچش عمده به صورت زیر بیان می‌شود [۳]:

$$g_1^p(N, Q^2) = \frac{1}{2} \sum_q e_q^2 \left\{ \left( 1 + \frac{\alpha_s}{2\pi} \Delta C_q^N \right) [\Delta q(N, Q^2) + \Delta \bar{q}(N, Q^2)] \right. \quad (1)$$

$$\left. + \frac{\alpha_s}{2\pi} 2\Delta C_g^N \Delta g(N, Q^2) \right\},$$

که در این رابطه  $\Delta q(N, Q^2)$ ،  $\Delta \bar{q}(N, Q^2)$  و  $\Delta g(N, Q^2)$  ممته توابع توزیع پارتون‌های قطبیده و  $\alpha_s(Q^2)$  ثابت جفت-شدگی در مرتبه‌ی NLO می‌باشد:

$$\alpha_s(Q^2) \equiv \frac{1}{b \log \frac{Q^2}{\Lambda_{MS}^2}} - \frac{b'}{b^3} \frac{\ln \left( \ln \frac{Q^2}{\Lambda_{MS}^2} \right)}{\left( \ln \frac{Q^2}{\Lambda_{MS}^2} \right)}, \quad (2)$$

اما هدف ما بررسی این تابع ساختار در فضای X می‌باشد که به کمک بسط چندجمله‌ای ژاکوبی به صورت زیر بازنویسی می‌شود [۵،۴]:

$$xg_1(x, Q^2) = x^\beta (1-x)^\alpha \sum_{n=0}^{N_{\max}} a_n(Q^2) \theta_n^{\alpha, \beta}(x), \quad (3)$$

که در رابطه‌ی بالا  $N_{\max}$  تعداد چند جمله‌ای‌ها و  $\theta_n^{\alpha, \beta}(x)$  چند جمله‌ای‌های ژاکوبی مرتبه n هستند:

$$\theta_n^{\alpha, \beta}(x) = \sum_{j=0}^n c_j^{(n)}(\alpha, \beta) x^j, \quad (4)$$

در رابطه‌ی بالا  $a_n(Q^2)$  ممته ژاکوبی است که در رابطه‌ی زیر تعریف شده است:

<sup>۲۰</sup> Operator Production Expansion (OPE)

<sup>۲۱</sup> Parton Distribution Functions (PDFs)

های بالاتر هستند که دارای منشأ دینامیکی می‌باشند. اگر پیچش ۳ از رابطه‌ی (۱۲) محاسبه شود توزیع پیچش ۴ می‌تواند از رابطه‌ی (۱۴) محاسبه شود.

باید به این نکته مهم نیز اشاره کنیم که در روش استخراج پیچش ۳ از معادله‌ی (۱۲)، از تصحیحات جرم هدف در  $g_{1,2}$  صرف‌نظر می‌کنیم، بنابراین از روابط زیر استفاده می‌شود:

$$\int_0^1 x^2 g_1(x, Q^2) = \frac{1}{2} \tilde{a}_2 \quad (15)$$

$\int_0^1 x^2 g_2(x, Q^2) = \frac{1}{3} (\tilde{d}_2 - \tilde{a}_2)$  تصحیحات جرم هدف با منشأ سینماتیکی در تضاد با پیچش‌های بالاتر با منشأ دینامیکی هستند که برای روبرو شدن با این تضاد از یک سو و به دست آوردن توزیع پیچش ۳ در یک عملگر با اسپین مشخص از سوی دیگر زمانیکه توابع ساختار تصحیحات جرم را دربرمی‌گیرند، نیاز به استفاده از ممته‌های ناچمن<sup>۲۳</sup> داریم. ممته‌های ناچمن به صورت زیر تعریف می‌شوند:

$$M_1^{(n)} = \int_0^1 dx \frac{\xi^{n+1}}{x^2} \left\{ \left[ \frac{x}{\xi} - \frac{n^2}{(n+2)^2} y^2 x \xi \right] g_1(x, Q^2) - y^2 x^2 \frac{4n}{n+2} g_2(x, Q^2) \right\}, \quad (n=1,3,5,\dots), \quad (16)$$

که در این رابطه  $y^2 = \frac{M^2}{Q^2}$  می‌باشد و  $\xi$  نیز متغیر ناچمن است که به صورت زیر تعریف می‌شود:

$$\xi = \frac{2x}{1 + \sqrt{1 + \frac{4M^2 x^2}{Q^2}}}, \quad (17)$$

به همین ترتیب داریم:

$$M_2^{(n)} = \int_0^1 dx \frac{\xi^{n+1}}{x^2} \left\{ \frac{x}{\xi} g_1(x, Q^2) + \left[ \frac{n}{n-1} \frac{x^2}{\xi^2} - \frac{n}{n+1} y^2 x^2 \right] g_2(x, Q^2) \right\}, \quad (n=3,5,\dots), \quad (18)$$

می‌توان ممته‌های ناچمن را تا مرتبه‌ی  $\frac{M^6}{Q^6}$  بدین گونه بسط داد:

$$M_1^{(n)} = a_n + O(y^8) \quad (19)$$

$$M_2^{(n)} = d_n + O(y^8)$$

روابط بالا زمانی معتبر هستند که تصحیحات جرم هدف در توابع ساختار در نظر گرفته شوند. این ممته‌ها تنها اثرهای پیچش

پیچش-۳ در تابع ساختار  $g_2$  می‌باشد و ما نیز در محاسبات از این رابطه کمک گرفته‌ایم.

توابع ساختار پروتون و نوترون فقط در مؤلفه‌های غیر یکتایشان با یکدیگر متفاوت‌اند که با در نظر گرفتن تقارن ایزواسپین یعنی تبدیل کوارک‌های  $u$  و  $d$  به یکدیگر، قابل محاسبه از یکدیگر می‌باشند [۵]:

$$\Delta u^p = \Delta d^n, \Delta d^p = \Delta u^n \quad (11)$$

به این ترتیب با داشتن تابع ساختار  $g_1$ ، تابع ساختار  $g_2$  از رابطه‌ی (۱۰) قابل محاسبه می‌باشد.

### پیچش ۳ و تصحیحات جرم

باید با مقایسه‌ی توزیع پیچش ۳ توابع ساختار زمانیکه تصحیحات جرم را دربرمی‌گیرند و زمانیکه تصحیحات را دربرنمی‌گیرند به میزان تأثیر پیچش ۳ بر روی توابع ساختار پرداخت.

توزیع پیچش ۳  $\tilde{d}_2$  از توابع ساختار  $g_{1,2}(x, Q^2)$  زمانی که جرم هدف به صفر میل کند با محاسبه‌ی ممته زیر که ممته کرنوال-نورتون<sup>۲۲</sup> نامیده می‌شود، استخراج می‌شود [۸]:

$$I(Q^2) = \int_0^1 dx x^2 (2g_1(x, Q^2) + g_2(x, Q^2)) \rightarrow \tilde{d}_2(Q^2) \quad (12)$$

ما می‌دانیم که ممته اول تابع ساختار  $g_1$  را به طور کلی می‌توانیم بر حسب توان‌های معکوس  $Q^2$  به صورت زیر بسط دهیم:

$$g_1^{(1)} = \int_0^1 g_1(x, Q^2) dx = \sum_{r=2, \text{even}}^{\infty} \frac{\mu_r(Q^2)}{Q^{r-2}} \quad (13)$$

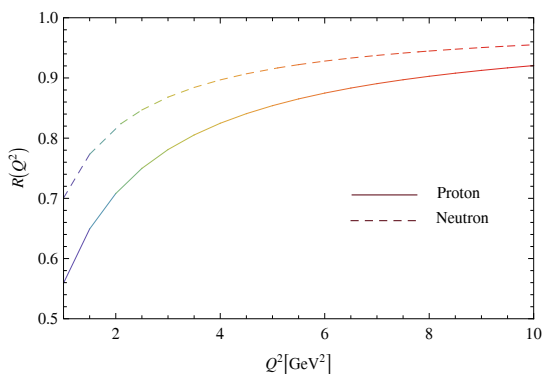
با ضرایب  $\mu_r$ ، که مربوط به المان‌های ماتریسی نوکلئون متعلق به عملگرهایی با پیچش کمتر  $\tau$  از می‌باشند. ضریب جمله-

ی  $\frac{1}{Q^2}$  به ترتیب توزیع‌هایی از پیچش ۲  $\tilde{a}_2$ ، پیچش ۳  $\tilde{d}_2$  و

پیچش ۴  $\tilde{f}_2$  را دربرمی‌گیرد. بنابراین داریم:

$$\mu_4 = \frac{1}{9} M^2 (\tilde{a}_2 + 4\tilde{d}_2 + 4\tilde{f}_2) \quad (14)$$

که  $M$  جرم نوکلئون است.  $\tilde{a}_2$  از تصحیحات جرم هدف به وجود می‌آید که دارای منشأ سینماتیکی است و  $\tilde{d}_2$  و  $\tilde{f}_2$  پیچش-



شکل ۱: نتیجه‌ی به دست آمده  $R(Q^2)$  برای پروتون و نوترون.

### مرجع‌ها

- [۱] J. Blumlein and A. Tkabladze, *Nucl. Phys.* **B 553**, 427 (1999), [arXiv: hep-ph/9812478].
- [۲] S. Taheri Monfared, A. Khorramian, S. Atashbar Tehrani, Z. Haddadi, *Nucl. Phys. Proc. Suppl.* 210-211:125-128, 2011
- [۳] B. Lampe and E. Reya, *Phys. Rept.* **332**, 1 (2000) [arXiv:hep-ph/9810270].
- [۴] S. Atashbar Tehrani and A. N. Khorramian, *JHEP* **0707**, 048 (2007) [arXiv:0705.2647 [hep-ph]].
- [۵] A. N. Khorramian, S. A. Tehrani, S. Taheri Monfared, F. Arbabifar, F. I. Olness, arXiv 1011.4873, *Phys. Rev.* **D83**:054017, 2011.
- [۶] K. Abe et al [E143 collaboration], *Phys. Rev.* **D 58**, 112003 (1998) [arXiv:hep-ph/9802357].
- [۷] P.L. Anthony et al., *Phys. Lett.* **B458**, 529 (1999).
- P.L. Anthony et al., [E155 collaboration], *Phys. Lett.* **B553**, 18 (2003).
- [۸] Y. B. Dong, *Phys. Lett.* **B 653**, 18 (2007) [arXiv:0707.0331 [hep-ph]].

بالاتر را دربرمی‌گیرند. بنابراین ممتهای ناچمن به المانهای ماتریسی دینامیکی با پیچش و اسپین مشخص مربوط می‌شوند. حال به محاسبه‌ی نسبت ممته ناچمن به مقدار معادله‌ی (۱۲) (نسبت پیچش ۳ در کنار تصحیحات جرم به پیچش ۳ بدون تصحیحات) می‌پردازیم:

$$R = \frac{2M_2^{(3)}(Q^2)}{I(Q^2)} \quad (20)$$

نتیجه‌ی محاسبه شده برای  $R(Q^2)$  بر اساس دو توافق زیر در شکل (۱) رسم شده است:

۱-  $\tilde{d}_2$  فقط به صورت لگاریتمی به  $Q^2$  وابسته است.

۲-  $\tilde{g}_2$  در دو ناحیه‌ی  $x < 0.021$  و  $x > 0.79$  قابل صرفنظر

کردن است.

به طور واضح و اگرایی از یک در شکل (۱) تصحیحات جرم هدف را نشان می‌دهد که می‌توان فهمید تصحیحات جرم هدف نقش قابل ملاحظه‌ای بر روی توابع ساختار اسپینی دارند. اثر تصحیحات جرم هدف در  $Q^2 = 1.6 \text{ GeV}^2$  حدود ۳۰٪ و در  $Q^2 = 8 \text{ GeV}^2$  به ۱۰٪ کاهش می‌یابد [۸]. مقادیر ممته ناچمن زمانی که جرم هدف را دربر نمی‌گیرد همواره کوچکتر از زمانی است که جرم هدف را دربرمی‌گیرد پس می‌توان نتیجه گرفت که توزیع پیچش ۳ در توابع ساختار نوکلئون به دست آمده از رابطه‌ی (۱۲) بیش از اندازه‌ی واقعی تخمین زده شده است. به عنوان مثال در مقدار آزمایشگاهی به دست آمده برای پروتون  $\tilde{d}_2^p = 0.0025$  است در حالی که به کمک رابطه‌ی (۱۲) در حالی که توابع ساختار جرم را دربر نمی‌گیرند این مقدار به  $\tilde{d}_2^p = 0.0021$  کاهش می‌یابد. شکل (۱) همچنین نشان می‌دهد که این نسبت برای نوترون مشابه پروتون است و تصحیحات جرم هدف برای نوترون کمی کمتر از پروتون است.

### نتیجه‌گیری

تخمین عددی  $R(Q^2)$  رسم شده در شکل (۱) برای پروتون و نوترون نشان می‌دهد که تصحیحات جرم هدف نقش قابل ملاحظه‌ای را در انتگرال معادله‌ی (۱۲) دارند، بنابراین این معادله نتیجه‌ای مخالف با توزیع محض پیچش ۳ را به ما می‌دهد. بنابراین به منظور استخراج دقیق پیچش ۳،  $\tilde{d}_2$  در مقادیر مختلف  $Q^2$  نیاز است که ممته ناچمن به جای ممته کرنوال-نوترون استفاده شود.

## نوسان‌های نوترینو در میدان مغناطیسی زمینه

حقیقت، منصور؛ باورساد، احسان

دانشکده فیزیک، دانشگاه صنعتی اصفهان، اصفهان

## چکیده

میدان‌های مغناطیسی رابطه‌ی پاشندگی نوترینوها را تصحیح می‌کنند. این تصحیح‌ها برای نوترینوهای با طعم‌های مختلف متفاوت است که سبب تصحیح نوسان نوترینو می‌شود. این تصحیح‌ها برای میدان‌های مغناطیسی بزرگ‌تر از در ستاره‌های نوترونی  $10^{15} G$  قابل ملاحظه شده و سبب ایجاد تشدید در نوسان نوترینوهای گرمایی تابش شده توسط ستاره‌های نوترونی می‌شود. هم‌چنین در این میدان‌های مغناطیسی زاویه‌ی آمیختگی و مربع اختلاف جرم‌های موثر نسبت به مقدارشان در فضای تهی کوچک‌تر می‌شوند.

## Neutrino Oscillations in Background Magnetic Fields

Haghighat, Mansour<sup>1</sup>; Bavarsad, Ehsan<sup>2</sup><sup>1,2</sup>Department of Physics, Isfahan University of Technology (IUT), Isfahan

## Abstract

*Dispersion relation of neutrinos can be modified in background magnetic fields. These modifications depend on the flavor of the neutrino, as a result correct the oscillations. In neutron stars with magnetic field larger than  $10^{15} G$  resonance could be occur in oscillations of thermal neutrinos. In this case, effective mixing angle and mass square difference become smaller than their values in vacuum.*

## مقدمه

چون نوترینوها بارالکتریکی ندارند در چارچوب مدل استاندارد برهم‌کنش‌های ضعیف دارای راس مستقیم برای برهم‌کنش با فوتون نیستند. پس میدان مغناطیسی زمینه از راه تصحیح انتشارگر ذرات باردار در نمودارهای فاینمن حلقه، عمل‌گر خود-انرژی و به‌این ترتیب رابطه‌ی پاشندگی نوترینوها را تصحیح می‌کند. برای هر نوترینوی با طعم مشخص لپتون باردار با همان طعم در نمودار فاینمن حلقه منتشر می‌شود. بنابراین اندازه‌ی تصحیح‌های میدان مغناطیسی به رابطه‌ی پاشندگی نوترینو برای طعم‌های مختلف متفاوت خواهد بود. برای مشخص کردن اندازه‌ی تاثیر میدان‌های مغناطیسی روی فرآیندهای کوانتمی برهم‌کنش‌های ضعیف یک مقیاس طبیعی وجود دارد که می‌توان آن را برحسب جرم بوزون‌های پیمانه‌ای  $W$  و بارالکتریکی بنیادی  $e = |e|$  نوشت  $B_W = m_W^2 / e = 0.9 \times 10^{24} G$ . موجودات اختریفیزیکی مثل

ولفنشتاین [۱] نشان داد که انتشار نوترینوها از میان ماده می‌تواند الگوی نوسان آن‌ها را به‌طور قابل ملاحظه‌ای تغییر دهد. ایده‌ی اصلی به این صورت است که ماده‌ی معمولی به‌طور کلی دارای الکترون‌ها است و نه میون‌ها و تاوها، پس اگر یک باریکه از نوترینوهای الکترونی از میان ماده بگذرد هم از راه جریان‌های باردار و هم از راه جریان‌های خنثی با الکترون‌ها برهم‌کنش می‌کند. اما، نوترینوهای میونی و تاونی تنها از راه جریان‌های خنثی با الکترون‌ها برهم‌کنش می‌کنند، بنابراین اندازه‌ی برهم‌کنش آن‌ها با اندازه‌ی برهم‌کنش الکترون‌ها متفاوت است [۲]. برهم‌کنش‌ها جرم نوترینو را هنگام گذشتن از میان ماده تصحیح می‌کنند و یک جرم موثر تولید می‌کنند. حضور میدان‌های مغناطیسی زمینه نیز می‌تواند رابطه‌ی پاشندگی و جرم موثر نوترینوها را تصحیح کند [۳ و ۴].

ستاره‌های نوترونی می‌توانند میدان‌های مغناطیسی به‌بزرگی  $10^{12} - 10^{18} G$  داشته باشند [۵]. بنابراین، با در نظر گرفتن دقت اندازه‌گیری‌ها، تصحیح جرم ناشی از میدان مغناطیسی ستاره‌های نوترونی برای نوترینوهایی که در این محیط‌ها منتشر می‌شوند، هرچند که ممکن است کوچک باشد اما به دلیل این که اختلاف جرم‌ها در فضای تهی نیز کوچک هستند، می‌تواند نوسان‌های نوترینو را به اندازه‌ی قابل ملاحظه‌ای تغییر دهد.

هم‌چنین تانسورهای بی‌بعد  $B_{\mu\nu} = 1/2 \varepsilon_{\mu\nu\alpha\beta} \phi^{\alpha\beta}$  و  $\phi_{\mu\nu} = B_{\mu\nu} / B$  به‌طوری که  $B_{21} = B_{12} = B$  در معادله‌ی ۱ ضریب‌های بی‌بعد  $a, b, c$  و  $K$  تابعی از میدان مغناطیسی  $B$  جزئیات محاسبه‌ی این ضریب‌ها را می‌توان در [۴] یافت اما نتیجه به‌صورت زیر است

$$a_L = -\frac{g^T}{4\pi} \beta^T \left[ \frac{5}{4} + \ln \lambda_\ell \right], \quad (2)$$

$$b_L = -\frac{g^T}{24\pi} \beta^T \left[ -\frac{3}{4} + \ln \lambda_\ell \right], \quad (3)$$

$$c_L = \frac{g^T}{16\pi} \beta^T \left[ \frac{3}{4} + \lambda_\ell \ln \lambda_\ell \right], \quad (4)$$

$$a_R = \frac{1}{4} \varepsilon a_L, \quad (5)$$

$$b_R = \frac{g^T}{4\pi} \varepsilon \beta^T \left[ -\frac{9}{4} + \ln \lambda_\ell \right], \quad (6)$$

$$c_R = \frac{g^T}{32\pi} \varepsilon \beta^T \left[ \frac{1}{4} + \lambda_\ell \ln \lambda_\ell \right], \quad (7)$$

$$K_1 = -\frac{g^T}{32\pi} \beta^T \left[ \frac{1}{4} + \lambda_\ell \ln \lambda_\ell \right], \quad (8)$$

$$K_2 = -\frac{g^T}{64\pi} \beta^T \lambda_\ell [1 + \ln \lambda_\ell], \quad (9)$$

به‌طوری که

$$\beta = \frac{eB}{m_\nu^i}, \quad (10)$$

$$\lambda_\ell = \frac{m_\nu^i}{m_\nu^T}, \quad (11)$$

$$\varepsilon = \frac{m_\nu^T}{m_\nu^i}. \quad (12)$$

در معادله‌ی ۱۱  $m_\ell$  جرم لپتون باردار با طعم  $\ell$  است. معادله‌ی دیراک برای یک نوترینو که در میدان مغناطیسی زمینه حرکت می‌کند، به صورت زیر نوشته می‌شود

$$[p - m_\nu - \Sigma_B] U_\nu = 0 \quad (13)$$

به‌طوری که  $U_\nu$  تابع موج نوترینو و عمل‌گر خود-انرژی در میدان مغناطیسی زمینه  $\Sigma_B$  با معادله‌های ۱-۱۲ داده می‌شود. رابطه‌ی پاشندگی تصحیح شده با استفاده از شرط صفر بودن دترمینان ضریب‌ها در دستگاه معادله‌های خطی ۱۳ به دست می‌آید

$$\det[p - m_\nu - \Sigma_B] = 0, \quad (14)$$

با در نظر گرفتن تنها جمله‌های خطی برحسب ضریب‌های  $a, b, c$  و  $K$ ، و استفاده از بسط فرانسبیتی خواهیم داشت

### رابطه‌ی پاشندگی نوترینو در میدان مغناطیسی زمینه

انتشار نوترینو از میان یک میدان مغناطیسی زمینه رابطه‌ی پاشندگی آن‌را از راه تصحیح انتشارگر ذرات درگیر در نمودارهای فاینمن حلقه‌ی خود-انرژی، تصحیح می‌کند. برای مطالعه‌ی این تصحیح‌ها تنها کافی است که میدان مغناطیسی زمینه را به صورت یک میدان ثابت در راستای مثبت محور- $Z$  در نظر بگیریم  $\vec{B} = B\hat{z}$ . چون میدان مغناطیسی یک جهت خاص را در فضا ترجیح داده است هم‌وردایی لورنتس شکسته شده و ساختار چهار-بردارها به دو قسمت موازی و عمود بر راستای میدان مغناطیسی تقسیم می‌شوند. برای محاسبه‌ی خود-انرژی نوترینو، مدل استاندارد به‌طور کمیته تعمیم یافته‌ی برهم‌کنش‌های ضعیف را در نظر می‌گیریم. این مدل با اضافه کردن یک نوترینوی راست-دست تک-تایی گروه پیمان‌های  $SU(2)_L \times U(1)_Y$  به ازای هر نوترینوی چپ-دست به دست می‌آید و برهم‌کنش‌های نوترینو-هیگز سبب تولید جرم دیرک برای نوترینوها میشوند [۲]. از دیدگاه نظریه‌ی اختلال عمل‌گر خود-انرژی تصحیح شده‌ی نوترینو در میدان مغناطیسی حاصل جمع دو نمودار فاینمن حلقه، یک نمودار که در آن بوزون پیمان‌های  $W$  و دیگر نمودار که در آن هیگز باردار منتشر می‌شوند. ساختار کلی این عمل‌گر تصحیح شده در میدان مغناطیسی زمینه به صورت زیر نوشته می‌شود

$$\begin{aligned} \Sigma_B(p) = & [a_L p + b_L (p\hat{\phi}\hat{\phi}\gamma) + c_L (p\hat{\phi}\gamma)]L \\ & + [a_R p + b_R (p\hat{\phi}\hat{\phi}\gamma) + c_R (p\hat{\phi}\gamma)]R \\ & + m_\nu [K_1 + iK_2(\gamma\phi\gamma)], \end{aligned} \quad (1)$$

به‌طوری که  $m_\nu$  جرم نوترینوی با طعم  $\ell = e, \mu, \tau$ ،  $p^\mu$  چهار-تکانه‌ی نوترینو،  $\gamma^\mu$  ماتریس‌های دیراک و

به طوری که  $\Delta m^2 = m_2^2 - m_1^2$  و

$$A = \sigma_e - \sigma_\mu. \quad (23)$$

زاویه آمیختگی موثر در میدان مغناطیسی زمینه تغییر خواهد

کرد، معادله‌ی ۲۲ را ببینید، این تغییر اگر

$$A = \Delta m^2 \cos 2\theta, \quad (24)$$

باشد، بیشینه خواهد شد. بنابراین حتی اگر زاویه‌ی آمیختگی در فضای

تهی  $\theta$  کوچک باشد هنگامی که شرط تشدید که با معادله‌ی ۲۴ داده می‌شود برقرار باشد به دست می‌آوریم  $\tilde{\theta} = \pi/4$  که به معنی بیشینه‌ی آمیختگی نوترینوهای  $V_e$  و  $V_\mu$  است. ویژه‌مقدارهای  $\tilde{H}$  برابر هستند با

$$E_\alpha = E + \frac{\tilde{m}_\alpha^2}{2E}, \quad (25)$$

به طوری که

$$\tilde{m}_{1,2}^2 = \frac{1}{2}[(m_1^2 + m_2^2 + \sigma_e + \sigma_\mu) \mp \sqrt{(\Delta m^2 \cos 2\theta - A)^2 + (\Delta m^2 \sin 2\theta)^2}], \quad (26)$$

به این ترتیب مربع اختلاف جرم‌ها در میدان مغناطیسی زمینه می‌شود

$$\Delta \tilde{m}^2 = \sqrt{(\Delta m^2 \cos 2\theta - A)^2 + (\Delta m^2 \sin 2\theta)^2}. \quad (27)$$

اکنون با داشتن زاویه‌ی آمیختگی موثر، معادله‌ی ۲۲ را ببینید، و مربع اختلاف جرم‌ها، معادله‌ی ۲۷ را ببینید، احتمال نوسان نوترینو از یک طعم به طعم دیگر  $\tilde{P}_{con}$  را، در میدان مغناطیسی زمینه، می‌توان به دست آورد

$$\tilde{P}_{con} = \sin^2 2\tilde{\theta} \sin^2 \left( \frac{\Delta \tilde{m}^2 L}{4E} \right), \quad (28)$$

به طوری که  $L$  مسافتی است که نوترینو در میدان مغناطیسی می‌پیماید. برای این که اثر میدان مغناطیسی زمینه بر نوسان‌های نوترینو را روشن‌تر ببینیم، نوترینوهای گرمایی تابش شده توسط ستاره‌های نوترونی را در نظر می‌گیریم. در این مورد، نوترینوهای الکترونی  $V_e$  با انرژی در حدود  $1-10 \text{ MeV}$  در هسته‌ی ستاره‌ی نوترونی که شعاع آن در حدود  $L \approx 10 \text{ Km}$  است [۶] تولید می‌شوند. برای تعیین پارامترهای نوسان در فضای تهی از داده‌های نوترینوهای خورشیدی استفاده می‌کنیم [۷] به این ترتیب زاویه‌ی آمیختگی  $\sin^2 2\theta \approx 0.87$  و مربع اختلاف جرم‌ها  $\Delta m^2 \approx 7.59 \times 10^{-5} \text{ eV}$  است. به این ترتیب کمیت  $A$  که پتانسیل موثر در میدان مغناطیسی زمینه است با استفاده از معادله‌های ۲۳ و ۱۷ به صورت زیر داده می‌شود

$$E \square |\vec{p}| + \frac{m_1^2}{2|\vec{p}|} + \frac{1}{2} b_L |\vec{p}| \sin^2 \phi + \frac{1}{2} s (c_L + 4K_2) m_\nu |\sin \phi|; \quad s = \pm 1, \quad (15)$$

به طوری که  $\phi$  زاویه‌ی بین راستای انتشار نوترینو و راستای

میدان مغناطیسی زمینه است.

### نوسان‌های نوترینو در میدان مغناطیسی زمینه

رابطه‌ی پاشندگی تصحیح شده در میدان مغناطیسی زمینه، که با

معادله‌ی ۱۵ داده می‌شود، برای نوترینوهای طعم نوشته شده است.

اما این حالت‌ها ویژه‌حالت‌های هامیلتونی نیستند. پیش از این که ویژه‌حالت‌ها و ویژه‌مقدارهای هامیلتونی قطری را به دست بیاوریم، ابتدا رابطه‌ی پاشندگی ۱۵ را به صورت زیر بازنویسی می‌کنیم

$$E_\ell \square E + \frac{m_\nu^2}{2E} + \frac{\sigma_\ell}{2E}; \quad (16)$$

$$\sigma_\ell = b_L E^2 + s(c_L + 4K_2) m_\nu E; \quad s = \pm 1, \quad (17)$$

که در آن برای ساده‌نویسی قرار داده‌ایم  $|\vec{p}| = E$  و زاویه‌ی

$\phi = 0$  در نظر گرفته‌ایم. در ادامه مطالعه‌ی خود را به ساده‌ترین

مورد نوسان‌های دو طعم  $V_e$  و  $V_\mu$  محدود می‌کنیم. می‌دانیم که همیلتونی نوترینوها در پایه‌ی طعم در فضای تهی به صورت زیر نوشته می‌شود

$$H' = U H U^\dagger \quad (18)$$

به طوری که  $U$  ماتریس آمیختگی نوترینوها و برحسب زاویه

آمیختگی  $\theta$  بیان می‌شود

$$U = \begin{pmatrix} \cos \theta & \sin \theta \\ -\sin \theta & \cos \theta \end{pmatrix}, \quad (19)$$

و  $H$  همیلتونی قطری در پایه‌ی جرم است

$$H \square E + \frac{1}{2E} \begin{pmatrix} m_1^2 & 0 \\ 0 & m_2^2 \end{pmatrix}, \quad (20)$$

$m_1$  و  $m_2$  ویژه‌مقدارهای جرم هستند. اکنون همیلتونی تصحیح

شده در میدان مغناطیسی زمینه را به صورت زیر می‌نویسیم

$$\tilde{H} = H' + \frac{1}{2E} \begin{pmatrix} \sigma_e & 0 \\ 0 & \sigma_\mu \end{pmatrix}, \quad (21)$$

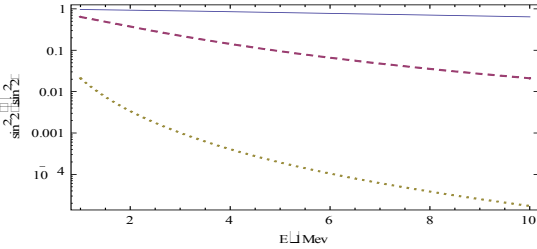
به طوری که  $H'$  با معادله‌ی ۱۸ و  $\sigma_\ell$  با معادله‌ی ۱۷ داده می‌شوند.

بنابراین زاویه‌ی آمیختگی موثر در میدان مغناطیسی زمینه  $\tilde{\theta}$  که همیلتونی

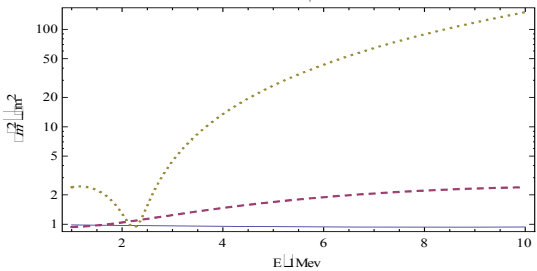
$\tilde{H}$ ، معادله‌ی ۲۱ را ببینید، را قطری می‌کند به دست می‌آید

$$\tan 2\tilde{\theta} = \frac{\Delta m^2}{\Delta m^2 - A}, \quad (22)$$





شکل ۲: نسبت  $\sin^2 2\bar{\theta} / \sin^2 2\theta$  به صورت تابعی از انرژی نوترینو برای میدان مغناطیسی  $B = 10^{15} G$  با خط،  $B = 10^{16} G$  با خط-چین و  $B = 10^{17} G$  با نقطه-چین رسم شده است.



شکل ۳: نسبت  $\Delta\bar{m}^2 / \Delta m^2$  به صورت تابعی از انرژی نوترینو برای میدان مغناطیسی  $B = 10^{15} G$  با خط،  $B = 10^{16} G$  با خط-چین و  $B = 10^{17} G$  با نقطه-چین رسم شده است.

### مرجع‌ها

- [۱] Wolfenstein L., "Neutrino oscillations in matter," Phys. Rev. D **17**, 2369 (1978).
- [۲] Mohapatra R. N., and Pal P. B., "Massive Neutrinos in Physics and Astrophysics," Third Edition, World Scientific Publishing Co. Pte. Ltd., Singapore, 2004.
- [۳] Mckee G., "Propagation Of A Neutrino In A Homogeneous Magnetic Field," Phys. Rev. D **24**, 2744 (1981); Erdas A., and Feldman G., "Magnetic Field Effects On Lagrangians And Neutrino Selfenergies In The Salam-Weinberg Theory In Arbitrary Gauges," Nucl. Phys. B **343**, 597 (1990).
- [۴] Kuznetsov A. V., and Mikheev N. V., "Neutrino dispersion properties in an external magnetic field," Phys. Atom. Nucl. **70**, 1258 (2007) [Yad. Fiz. **70**, 1299 (2007)]; Erdas A., "Neutrino self-energy in external magnetic field," Phys. Rev. D **80**, 113004 (2009) [arXiv:0908.4297 [hep-ph]].
- [۵] Thompson C., and Duncan R. C., "Neutron star dynamos and the origins of pulsar magnetism," Astrophys. J. **408**, 194 (1993).
- [۶] Steiner A. W., Lattimer J. M., and Brown E. F., "The Equation of State from Observed Masses and Radii of Neutron Stars," Astrophys. J. **722**, 33 (2010) [arXiv:1005.0811 [astro-ph.HE]].
- [۷] Ahmed S., N., et al. [SNO Collaboration], "Measurement of the total active B-8 solar neutrino flux at the Sudbury Neutrino Observatory with enhanced neutral current sensitivity," Phys. Rev. Lett. **92**, 181301 (2004) [arXiv:nuclex/0309004].
- [۸] Primack J. R., Holtzman J., Klypin A., and Caldwell D. O., "Cold + hot dark matter cosmology with  $m(\nu_\mu) \approx m(\nu_\tau) \approx 2.4 eV$ ," Phys. Rev. Lett. **74**, 2160 (1995) [arXiv:astro-ph/9411020].

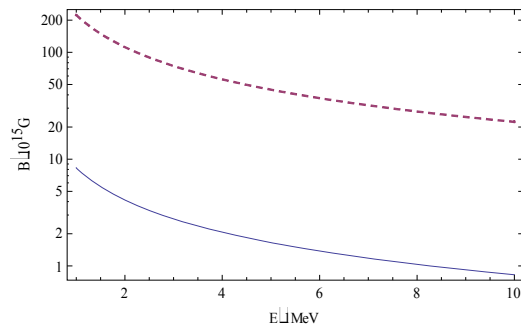
$$A = [-1.48 \times 10^{-8} \left( \frac{B}{10^{15} G} \right)^{-8} \left( \frac{E}{1 MeV} \right)^2] \quad (29)$$

$$+ 3.23 \times 10^{-6} \left( \frac{m_{\nu_\mu} - m_{\nu_e}}{1 MeV} \right) \left( \frac{B}{10^{15} G} \right) \left( \frac{E}{1 MeV} \right) eV^2$$

به طوری که  $s = -1$  و جرم نوترینوهای  $\nu_e$  و  $\nu_\mu$  را از مرتبه  $1 eV$  [۸] در نظر گرفته‌ایم.

### نتیجه‌گیری

شرط تشدید نوسان در میدان مغناطیسی زمینه که با معادله‌ی ۲۴ داده می‌شود برحسب میدان مغناطیسی یک معادله‌ی درجه ۲ است، معادله‌ی ۲۹ را ببینید، بنابراین در هر انرژی داده شده دو جواب برای میدان مغناطیسی به دست می‌آید که در شکل ۱ نشان داده شده است. این شکل نشان می‌دهد که در دامنه‌ی انرژی‌های  $1-10 MeV$  در میدان‌های مغناطیسی از مرتبه‌ی  $10^{15} G$  و  $10^{17} G$  در نوسان نوترینوها تشدید رخ می‌دهد و با افزایش انرژی اندازه‌ی این میدان مغناطیسی تشدید کاهش می‌یابد. شکل ۲ مقدار تغییر زاویه‌ی آمیختگی در میدان مغناطیسی زمینه  $\bar{\theta}$  که با معادله‌ی ۲۲ داده می‌شود را نشان می‌دهد. به این ترتیب میدان‌های مغناطیسی بزرگتر از  $10^{15} G$  سبب کوچک شدن زاویه‌ی آمیختگی نسبت به مقدار آن در فضای تهی می‌شوند. اثر میدان مغناطیسی بر مربع اختلاف جرم‌ها  $\Delta\bar{m}^2$  که با معادله‌ی ۲۷ داده می‌شود در شکل ۳ نشان داده شده است. به این ترتیب میدان‌های مغناطیسی بزرگتر از  $10^{15} G$  سبب کوچک شدن مربع اختلاف جرم‌ها نسبت به مقدار آن در فضای تهی می‌شوند.



شکل ۴: اندازه‌ی میدان مغناطیسی  $B$  در یکای  $10^{15} G$  که در آن شرط تشدید نوسان نوترینو برآورده می‌شود، به صورت تابعی از انرژی  $E$  در یکای  $1 MeV$  رسم شده است.

## داده‌های تجربی جدید و تعیین توابع توزیع کوارک‌ها

خانپور لهی، حمزه<sup>۱</sup>؛ خرمیان، علی<sup>۱</sup>؛ آتشبار تهرانی، شاهین<sup>۲</sup><sup>۱</sup>گروه فیزیک، دانشگاه سمنان<sup>۲</sup>پژوهشکده فیزیک ذرات و شتابگرها، پژوهشگاه دانش‌های بنیادی

## چکیده

با کمک جدیدترین داده‌های تجربی پراکندگی ناکشسان ژرف، آنالیز QCD تابع ساختار پروتون  $F_2^P(x, Q^2)$  ارائه می‌شود. طیف گسترده‌ای از داده‌های تجربی پراکندگی ناکشسان ژرف (NS DIS) برای استخراج توابع توزیع پارتونی KKT11C مورد استفاده قرار گرفته‌اند. در آنالیز حاضر از داده‌های تجربی ترکیب شده HERA برای سطح مقطع پراکندگی  $\sigma_{r,NC}^{\pm}(x, Q^2)$ ، به همراه تمامی داده‌های در دسترس برای کوارک‌های سنگین  $F_2^{c,b}(x, Q^2)$ ، تابع ساختار طولی  $F_L(x, Q^2)$  و خصوصاً داده‌های تجربی به‌روز HI به منظور استخراج تابع توزیع پارتونی KKT11C استفاده شده است. نتایج بدست آمده در تقریب NLO و در رهیافت موسوم به FFNS، سازگاری خوبی با آنالیزهای انجام شده توسط گروه‌های دیگر و داده‌های تجربی موجود دارد.

## New Experimental Data and Determination of Parton Distribution Function

Khanpour, Hamzeh<sup>1,2</sup>; Khorramian, Ali<sup>1,2</sup>; Atashbar Tehrani, Shahin<sup>2</sup><sup>1</sup> Department of Physics, Semnan University<sup>2</sup> School of Particles and Accelerators, Institute for Research in Fundamental Sciences (IPM)

## Abstract

Utilizing very recent deep inelastic scattering measurements, a QCD analysis of proton structure function  $F_2^P(x, Q^2)$  is presented. A wide range of the inclusive neutral-current deep-inelastic-scattering (NC DIS) data used in order to extract the updated set of parton distribution functions (KKT11C). The HERA 'combined' data set on  $\sigma_{r,NC}^{\pm}(x, Q^2)$  together with all available published up to date data for heavy quarks  $F_2^{c,b}(x, Q^2)$ , longitudinal  $F_L(x, Q^2)$  and also very recent reduced DIS cross sections data from HERA experiments are the input in the present next-to-leading order (NLO) QCD analysis which determines a new set of parton distributions, called KKT11C. The extracted results at NLO in the 'fixed flavour number scheme' (FFNS) are in very good agreement with the available theoretical models.

PACS No. 13

باشند، وابسته هستند. بنابراین آنها ابزار کلیدی برای استخراج توابع توزیع پارتونی هستند. در طول سال‌های اخیر به دلیل تلاش‌های وسیع نظری و همین‌طور دقت بسیار بالای اندازه‌گیری‌های جدید، پیشرفت‌های چشمگیری در زمینه شناخت دقیق‌تر ساختار نوکلئون بدست آمده است. به دلیل سهم بسیار زیاد کوارک‌های سنگین در

## مقدمه

فرایند ناکشسان ژرف لپتون-نوکلئون ابزاری کلیدی برای فهم ساختار نوکلئون‌ها است. در چارچوب QCD اختلالی مدل پارتونی، توابع ساختار مستقیماً به توابع توزیع پارتونی (PDFs) که معرف چگالی احتمال پارتون‌های موجود در داخل پروتون می-

سهم سبک در فضای ملین و با کمک QCD-PEGASUS انجام شده [۷] و سهم سنگین هم در فضای  $x$  مطابق با رابطه‌ای که در بخش بعد معرفی می‌گردد، به آن اضافه شده است.

### سهم کوارک‌های سنگین

در فضای  $x$  تابع ساختار  $F_2^{Heavy}$  در مرتبه  $O(\alpha_s^2)$  و در رهیافت FFNS به فرم دقیق به صورت زیر نوشته می‌شود [۳، ۸، ۹]

$$F_k^{Heavy}(x, Q^2, m_h^2) = \frac{Q^2 \alpha_s}{4\pi^2 m^2} \int_x^{z_{\max}} \frac{dz}{z} [e_h^2 f_g(\frac{x}{z}, \mu^2) c_{k,g}^{(0)}] \\ + \frac{Q^2 \alpha_s^2}{\pi m^2} \int_x^{z_{\max}} \frac{dz}{z} [e_h^2 f_g(\frac{x}{z}, \mu^2) (c_{k,g}^{(1)} + \bar{c}_{k,g}^{(1)} \ln \frac{\mu^2}{m^2}) \\ + \sum_{i=q,q} [e_h^2 f_i(\frac{x}{z}, \mu^2) (c_{k,i}^{(1)} + \bar{c}_{k,i}^{(1)} \ln \frac{\mu^2}{m^2}) \\ + e_{l,i}^2 f_i(\frac{x}{z}, \mu^2) (d_{k,i}^{(1)} + \bar{d}_{k,i}^{(1)} \ln \frac{\mu^2}{m^2})]]], \quad (2)$$

که در رابطه بالا  $k=2, l$  و  $z_{\max} = \frac{Q^2}{Q^2 + 4m_h^2}$  است و

کمیت  $f_i(x, \mu^2)$ ,  $(i = g, \bar{q}, q)$  توابع توزیع پارتون‌ها برای  $N_f$  طعم کوارک فعال می‌باشد. ضرایب ویلسون‌های  $d_{k,i}^{(l)}$ ,  $\bar{c}_{k,i}^{(l)}$ ,  $c_{k,i}^{(l)}$ ،  $\bar{d}_{k,i}^{(l)}$  با فرض  $(i = q, \bar{q}; l = 0, 1)$  تا تقریب LO (NLO) در فضای  $x$  به طور تحلیلی (عددی) محاسبه شده‌اند که در مرجع [۸] در دسترس هستند.

### تابع ساختار طولی $F_L(x, Q^2)$

در رهیافت  $\overline{MS}$  و برای سه طعم کوارک فعال  $N_f = 3$ ، تابع ساختار طولی پروتون  $F_L$  به صورت زیر نوشته می‌شود

$$x^{-1} F_L(x, Q^2) = C_{L,NS} \otimes (\frac{1}{6} q_3^+ + \frac{1}{18} q_8^+) \\ + \frac{2}{9} (C_{L,q} \otimes \Sigma + C_{L,g} \otimes g) + x^{-1} F_L^{c,b}(x, Q^2, m_{(c,b)}^2), \quad (3)$$

که در این رابطه  $F_L^{c,b}(x, Q^2, m_{(c,b)}^2)$  سهم سنگین تابع ساختار طولی پروتون است که مطابق با رابطه (۲) استخراج می‌شود. توابع توزیع پارتونی مستخرج از آنالیز حاضر برای استخراج تابع ساختار طولی مورد استفاده قرار گرفته‌اند. البته تابع ساختار طولی به همراه داده‌های تجربی مربوط به آن در برازش QCD

سطح مقطع هادرونی کل که تقریباً ۲۰ تا ۴۰ درصد را برای مقادیر بسیار کوچک  $x$  را شامل می‌شود بررسی رفتار صحیح طعم‌های سنگین در تحلیل توابع توزیع پارتون‌ها ضروری به نظر می‌رسد [۱، ۲]. تصحیحات سهم کوارک‌های سنگین در فرآیند ناکشسان ژرف نقش بسیار مهم و جدایی‌ناپذیری را در تحلیل QCD تابع ساختار (اعم از قطبیده و غیرقطبیده) خصوصاً در  $x$  های کوچک ایفا می‌کند. دلیل آن، سهم قابل توجه کوارک‌های سنگین در استخراج دقیق توابع توزیع پارتون‌ها، خصوصاً گلوئون، و ثابت جفت‌شدگی  $\alpha_s(M_Z^2)$  است. به این منظور HERA آزمایشات تعیین‌کننده‌ای را در محدوده  $x$  های کوچک کوارک‌های دریا و گلوئون انجام داده است. داده‌هایی که در HERA در طول چند سال اخیر در محدوده سینماتیکی گسترده‌ای استخراج شده‌اند اجازه اندازه‌گیری تابع ساختار را حتی برای مقادیری در حدود  $x \sim 10^{-6}$  و  $Q^2 \sim 5 \times 10^4$  خواهند داد.

تحلیل QCD انجام شده در این مقاله با کمک این داده‌ها و در تقریب NLO در رهیافت موسوم به FFNS، که فقط کوارک‌های سبک  $l = u, d, s$ ، به عنوان پارتون‌های بدون جرم در داخل نوکلئون در نظر گرفته می‌شوند، انجام شده است. در این رهیافت تعداد طعم کوارک‌های فعال ثابت و برابر با  $N_f = 3$  در نظر گرفته می‌شود. توابع ساختار کوارک‌های سنگین  $F_2^{c,b}(x, Q^2)$  از توابع توزیع کوارک‌های سبک و گلوئون استخراج می‌شوند. که در مرتبه  $O(\alpha_s)$  این سهم‌ها از فرآیند همجوشی فوتون-گلوئون  $\gamma^* g \rightarrow h\bar{h}$  بدست می‌آیند.

### سهم سبک تابع ساختار پروتون

در رهیافت  $\overline{MS}$  تابع ساختار پروتون  $F_2^p$  که از داده‌های فرآیند  $ep$  استخراج می‌شود به صورت زیر نوشته می‌شود [۳-۶]

$$F_2^p(x, Q^2) = F_2^{Light}(x, Q^2) + F_2^{Heavy}(x, Q^2) \quad (1) \\ = F_{2,NS}(x, Q^2) + F_{2,S}(x, Q^2) \\ + F_2^c(x, Q^2, m_c^2) + F_2^b(x, Q^2, m_b^2)$$

که در رابطه بالا به ترتیب سهم‌های غیریکتا، یکتا و سهم کوارک‌های سنگین وارد شده است. تحول تابع ساختار فوق برای

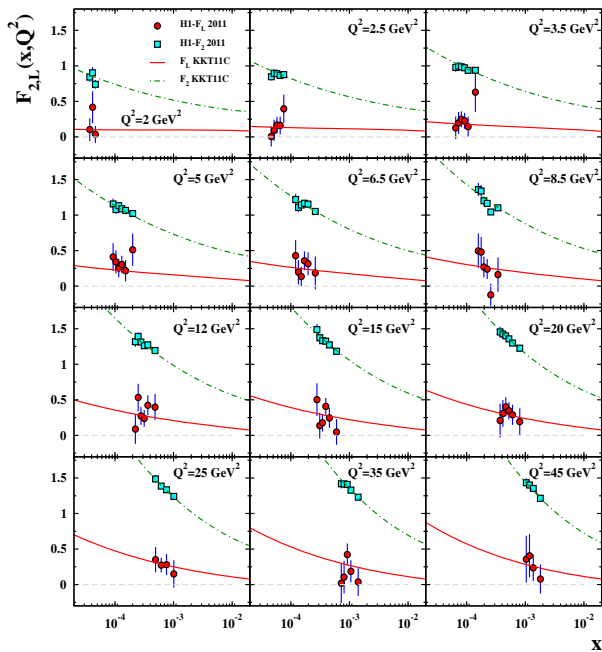
(۴)

$$xf_i = N_i x^{\alpha_i} (1-x)^{\beta_i} (1 + \gamma_i x^{\delta_i} + \eta_i x)$$

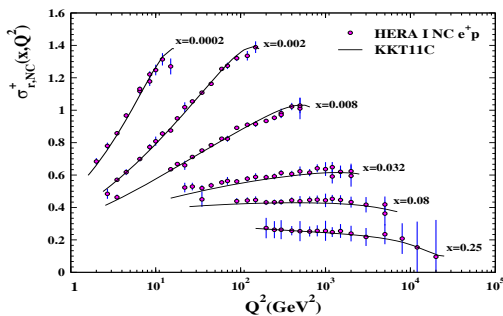
$$xg = N_g x^{\alpha_g} (1-x)^{\beta_g} (1 + \gamma_g x^2 + \eta_g x)$$

در برازش انجام شده از ۱۹۴۴ نقطه آزمایشگاهی استفاده شده است. که با انجام برازش، ۲۷ پارامتر موجود در معادله ۴ به همراه  $\alpha_s(M_Z^2)$  استخراج شده‌اند. شکل ۲ نتایج ما برای سطح مقطع کاهش یافته را در مقایسه با نتایج تجربی ترکیب شده HI/ZEUS

انجام شده وارد شده‌اند. این تابع ساختار دارای سهم گلوونی بالایی بوده بنابراین در نظر گرفتن این تابع ساختار در انجام تحلیل QCD بسیار با اهمیت است. اضافه شدن تابع ساختار طولی به همراه داده‌های تجربی مربوط به آن می‌تواند قید خوبی برای کنترل توزیع گلوئون برای  $x$  های کوچک باشد. مقایسه تابع ساختار طولی  $F_L(x, Q^2)$  به همراه  $F_2^p(x, Q^2)$  به صورتی تابعی از  $x$  برای مقادیر مختلف  $Q^2$  در مقایسه با داده‌های تجربی HI در شکل ۱ نشان داده شده است.



شکل ۱: مقایسه برازش QCD برای توابع ساختار  $F_2^p(x, Q^2)$  و



شکل ۲: سطح مقطع کاهش یافته  $\sigma_{r,NC}^+(x, Q^2)$  در مقایسه با داده‌های تجربی HI/ZEUS

## نتایج عددی

در آنالیز حاضر به منظور دسترسی به توابع توزیع پارتون دقیق و استخراج تابع ساختار کوآرک‌های سنگین از گستره وس از داده‌های تجربی استفاده شده است. بررسی مفصل‌تر داده تجربی مورد استفاده، گستره‌ی سینماتیکی آن‌ها، برش انجام شد روی داده‌ها و ... در مرجع [۳] موجود است. نقطه اتکای آن حاضر استفاده از داده‌های تجربی با ترکیب اندازه‌گیری‌های تج سطح مقطع پراکندگی گروه‌های HI و ZEUS استخراج شد که در محدوده سینماتیک  $0.045 GeV^2 < Q^2 < 30 \times 10^4 GeV^2$  و بیور  $6 \times 10^{-7} < x < 0.65$  قرار دارند، است [۱۰]. جدای از این روزترین داده تجربی گزارش شده برای سطح مقطع کاهش ؛  $\sigma_r(ep^\pm)$  در سال جاری توسط گروه HI که در محد انرژی  $1.5 GeV^2 < Q^2 < 120 GeV^2$  و بیور  $2.9 \times 10^{-5} < x < 0.01$  بدست آمده است نیز در این آنالیز مورد استفاده قرار گرفته است [۱۱]. در این آنالیز برش،  $Q^2 > 2 GeV^2$  و  $W^2 > 12 GeV^2$  بر روی داده‌های تج اعمال شده است.

به منظور دسترسی به توابع توزیع‌های پارتونی از فرم کلی ... در مقیاس اولیه  $Q_0^2 = 2 GeV^2$  برای توابع توزیع  $x d_v, x u_v, x \Delta \equiv x(\bar{d} - \bar{u}), x S \equiv 2x(\bar{u} + \bar{d} + \bar{s})$  استفاده شده است [۳،۴]

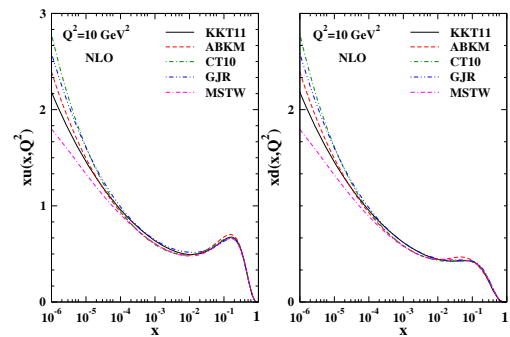
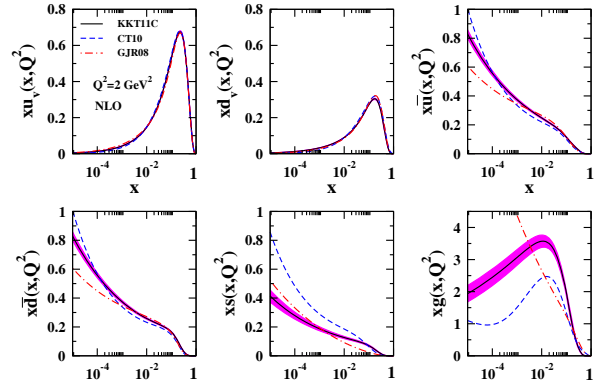
GJR08 [۱۳]، ABKM10 [۱۴] و MSTW08 [۱۵] نمایش می-دهد.

### نتیجه گیری

در این مقاله، تابع ساختار پروتون به کمک داده‌های تجربی جدید به منظور استخراج توابع توزیع پارتونی مورد مطالعه قرار گرفته است. سهم کوارک‌های سنگین به دلیل اهمیت بالای آنها در سطح مقطع پراکندگی کل، در رهیافت تعداد طعم ثابت FFNS به تابع ساختار پروتون اضافه شده است. به کمک آنالیز انجام شده و داده‌های آزمایشگاهی به‌روز موجود، توابع توزیع پارتون‌های سبک در مقیاس اولیه  $Q_0^2 = 2\text{GeV}^2$  محاسبه شده و به کمک این توابع توزیع، تابع ساختار کوارک سنگین  $F_2^{c\bar{c}}(x, Q^2)$  به همراه تابع ساختار طولی  $F_L(x, Q^2)$  استخراج شده‌اند. نتایج ارائه شده در این مقاله بر سازگاری بالای آن با داده‌های تجربی حکایت دارد.

### مراجع

- [1] Isabella Bierenbaum, Johannes Blümlein, Sebastian Klein, *Nuclear Physics B* **820** (2009) 417-482
- [2] Michael Kraemer, Fredrick I. Olness, Davison E. Soper, *Phys. Rev. D* **62**, 096007
- [3] For a recent analysis and a list of references, see, for example, H. Khanpour, Ali N. Khorramian, S. Atashbar, *Will be appeared in Phys. Rev. D* (2011).
- [4] H. Khanpour, Ali N. Khorramian, S. Atashbar, *Int. J. Mod. Phys. A* **26**, 658-659 (2011).
- [5] A. N. Khorramian and S. A. Tehrani, *Phys. Rev. D* **78**, 074019 (2008).
- [6] A. N. Khorramian, H. Khanpour and S. A. Tehrani, *Phys. Rev. D* **81**, 014013 (2010).
- [7] A. Vogt, *Comput. Phys. Commun.* **170**, 65 (2005).
- [8] E. Laenen, S. Riemersma, J. Smith and W.L. van Neerven, *Nuclear Physics B* **392**, 162-228 (1993).
- [9] M. Glück, E. Reya, M. Stratmann, *Nuclear Physics B* **422**, 37-56, (1994).
- [10] H1 and ZEUS Collaboration, *JHEP* **1001**, 109 (2010).
- [11] H1 Collaboration, *Eur. Phys. J. C* **71**, 1579 (2011).
- [12] H. L. Lai, M. Guzzi, J. Huston, Z. Li, P. M. Nadolsky, J. Pumplin and C. P. Yuan, *Phys. Rev. D* **82**, 074024 (2010).
- [13] M. Glück, P. Jimenez-Delgado and E. Reya, *Eur. Phys. J. C* **53**, 355 (2008).
- [14] S. Alekhin, J. Blumlein, S. Klein, and S. Moch, *Phys. Rev. D* **81**, 014032 (2010).
- [15] A. D. Martin, W. J. Stirling, R. S. Thorne and G. Watt, *Eur. Phys. J. C* **63**, 189 (2009).



شکل ۴: توابع توزیع KKT11C در مقایسه با نتایج گروه‌های CT10، GJR08، MSTW08 و ABKM10

توابع توزیع مستخرج از برازش در مقیاس اولیه  $Q_0^2 = 2\text{GeV}^2$  در شکل ۳ و در مقایسه با مدل‌های [۱۲] CT10 و [۱۳] GJR08 نشان داده شده است. بعد از تعیین توابع توزیع معادله ۴ در مقیاس اولیه  $Q_0^2 = 2\text{GeV}^2$ ، با کمک معادلات تحول می‌توان این توابع توزیع را در مقیاس‌های بالاتر  $Q^2$  و برای مقادیر مختلف  $x$  بدست آورد. این کار توسط بسته نرم‌افزاری QCD-PEGASUS انجام شده است. شکل ۴ توابع توزیع KKT11C را در مقیاس انرژی  $Q^2 = 10\text{GeV}^2$  در مقایسه با گروه‌های [۱۲] CT10،

$$V(q_1, q_2) = \frac{1}{2} a_1 q_1^2 + b q_2$$

## معادلات حرکت برای پتانسیل

در فضای فاز ناجابه جایی

خزاعی، الهام

گروه فیزیک، دانشکده علوم، دانشگاه اراک، اراک، صندوق پستی ۳۸۱۵۶-۸۷۹

### چکیده

در این مقاله گروه‌های پواسون دگرگونش یافته در یک فضای فاز ناجابه جایی تعریف شده و سپس یک قانون دوم نیوتون تعمیم یافته بدست آورده شده است. در ادامه دینامیک ذره کلاسیکی با پتانسیل مذکور در فضای فاز ناجابه جایی مورد بررسی قرار گرفته است. در انتها میان نتایج به دست آمده در این مقاله برای چنین پتانسیلی در فضای فاز ناجابه جایی با نتایج بدست آمده در مکانیک کلاسیک متعارف مقایسه ای صورت گرفته است.

## Equations of Motion for $V(q_1, q_2) = \frac{1}{2} a_1 q_1^2 + b q_2$ in Non-Commutative Phase Space

Khazaie, Elham<sup>1</sup>

Department of Physics, Arak University, 38156-879 Arak, Iran

### Abstract

*In this paper deformed Poisson brackets have been defined in non-commutative phase space and then a new modified second law of Newton has been obtained. Then equations of motion of classical particle for a potential have been investigated. Finally a comparison of our results in non-commutative phase space with those of standard classical mechanics has been made.*

PACS No. 02

عنوان مثال می توان به اثر کوانتومی هال اشاره کرد که در فیزیک ماده چگال مورد مطالعه قرار می گیرد [۱]. در این اثر ما با ناجا به جایی بودن میان تکانه و مختصات کانونیک مواجه می گردیم. از سوی دیگر در هنگام بررسی نظریه ریسمان در پس زمینه های خاص با این واقعیت مواجه می گردیم که مختصات مربوط به  $D$ -شامه ها ناجابه جایی می باشند [۲]. به لحاظ سیر تحول تاریخی فرمول بندی مکانیک کوانتومی بعد از ارائه فرمول بندی مکانیک کلاسیک از طریق جایگزین سازی مختصات فضای فاز با عملگرهایی که بر روی فضای هیلبرت توابع  $L^2$  در  $R^3$  اثر می کنند و نیز تعویض ساختار گروه پواسون با جابه جاگر صورت

### مقدمه

از میان موضوعاتی که در سالیان اخیر در کانون توجه فیزیکدان ها قرار گرفته است، می توان به موضوع فضاهای ناجابه جایی اشاره نمود. امروزه تحقیقات گسترده ای توسط ریاضی دانان برجسته دنیا صورت گرفته است و کاربرد های متنوعی از نمایش مجدد مدل استاندارد پدیده شناسی فیزیک ذرات به عنوان یک هندسه فضا-زمان جدید شروع شده است و هدف نهایی آن بررسی نظریه ریسمان ها، نظریه میدان های کوانتومی، کیهان شناسی و گرانش می باشد. در واقع دلایل متعددی باعث گردیده که مطالعه چنین فضاهایی مورد توجه نظریه پردازان قرار گیرد. به

$$p_i = -\frac{\partial H}{\partial q_i} + \sigma \varepsilon_{ij} \frac{\partial H}{\partial p_j}, \quad i, j = 1, 2. \quad (2)$$

که  $\varepsilon_{12} = -\varepsilon_{21} = 1$  اگر حد کلاسیکی  $\theta = \sigma = 0$  را در نظر بگیریم، معادلات بالا به شکل معادلات هامیلتونی متعارف در می‌آیند.

اکنون حالتی را در نظر می‌گیریم که هامیلتونی دستگاه فیزیکی به شکل زیر باشد

$$H = \frac{1}{2m}(p_1^2 + p_2^2) + V(q_1, q_2)$$

پس از جایگذاری هامیلتونی بالا در معادلات (1) و (2)

خواهیم داشت

$$m \dot{q}_i = -(1 - \theta \sigma) \frac{\partial V}{\partial q_i} + \sigma \varepsilon_{ij} q_j + m \theta \varepsilon_{ij} \frac{d}{dt} \frac{\partial V}{\partial q_j} \quad (3)$$

در پیکربندی فضای فاز ناجا به جایی ذرات کلاسیکی از معادله حرکت بدست آمده، پیروی می‌کنند.

همان گونه که دیده می‌شود به ازای  $\theta = \sigma = 0$  معادله بالا به صورت زیر در می‌آید

$$i = 1, 2 \quad m \dot{q}_i = -\frac{\partial V}{\partial q_i},$$

که همان قانون دوم نیوتون در مکانیک کلاسیک متعارف می‌باشد. در سمت راست معادله (3) سه جمله وجود دارد، نخستین جمله صرف نظر از عامل  $(1 - \theta \sigma)$  همان نیروی نیوتونی می‌باشد. دومین جمله، حرکت یک ذره باردار در صفحه  $q_1 - q_2$  در حضور یک میدان مغناطیسی یکنواخت  $\vec{B} = \hat{e}_3 B$  را توصیف می‌کند. سومین جمله جمله ای جدید بوده و در مکانیک نیوتونی متعارف برای آن همتایی وجود ندارد. این جمله که منشا آن ساختار پواسون دگرگون شده است مانع از ارائه یک فرمول بندی لاگرانژی جامع برای نظریه می‌گردد.

اکنون می‌توان برای سیستم‌های فیزیکی مختلف معادلات حرکت را در فضای فاز ناجابه جایی بدست آورد. در این مقاله

$$V(q_1, q_2) = \frac{1}{2} a q_1^2 + b q_2$$

بدست آورده ایم و مقایسه ای میان پاسخ‌ها در مکانیک کلاسیک ناجابه جایی و مکانیک کلاسیک متعارف انجام داده ایم.

می‌گیرد، بنا به دلایل ذکر شده در ابتدای این مقدمه تعمیم‌های متعددی از مکانیک کوانتومی انجام گرفته که در ساده‌ترین این تعمیم‌ها، روابط جابه‌جایی میان عملگرهای مکان و تکانه به شکل زیر در می‌آیند [3]

$$[\hat{q}_i, \hat{q}_j] = i \hbar \theta_{ij},$$

$$[\hat{p}_i, \hat{p}_j] = i \hbar \sigma_{ij},$$

$$[\hat{q}_i, \hat{p}_j] = i \hbar \delta_{ij}.$$

از این تعمیم‌ها تحت عنوان مکانیک کوانتومی ناجابه‌جایی نام برده می‌شود [4]. با انجام یک کوانتس معکوس به شکل

$$\frac{1}{i \hbar} [\hat{A}, \hat{B}] \rightarrow \{A, B\}$$

جایی، مکانیک کلاسیک ناجابه‌جایی بدست می‌آید. بنابراین گروه‌های پواسون میان متغیرهای فضای فاز چنین می‌شوند

$$\{q_i, q_j\} = \theta_{ij}, \quad \{p_i, p_j\} = \sigma_{ij}, \quad \{q_i, p_j\} = \delta_{ij}.$$

متغیرهای فضای فاز  $2n$  بعدی یعنی  $q_i$  و  $p_i$  که  $i = 1, \dots, n$  را با علامت یکتای  $z^\mu$  که  $\mu = 1, 2, \dots, 2n$  می‌باشد علامت گذاری می‌شود، بنابراین گروه‌های پواسون به شکل زیر بازنویسی می‌شوند [3]

$$\{z^\mu, z^\nu\} = \omega^{\mu\nu}$$

$\omega^{\mu\nu}$  یک ماتریس پادمقارن و موسوم به ماتریس سیمپلکتیک می‌باشد

$$\omega^{\mu\nu} = \begin{pmatrix} 0 & \theta & 1 & 0 \\ -\theta & 0 & 0 & 1 \\ -1 & 0 & 0 & \sigma \\ 0 & -1 & -\sigma & 0 \end{pmatrix} \quad \omega_{\mu\nu} = \frac{1}{1 - \theta \sigma} \begin{pmatrix} 0 & \sigma & -1 & 0 \\ -\sigma & 0 & 0 & -1 \\ 1 & 0 & 0 & \theta \\ 0 & 1 & -\theta & 0 \end{pmatrix}$$

که  $\omega_{\mu\nu}$  وارون ماتریس  $\omega^{\mu\nu}$  می‌باشد.

معادلات حرکت بر حسب این نماد نگاری چنین می‌شود

$$\dot{z}^\mu = \{z^\mu, H\} = \omega^{\mu\nu} \frac{\partial H}{\partial z^\nu}$$

برای هامیلتونی دو بعدی در فضای فاز ناجابه‌جایی به شکل زیر در می‌آیند [3]

$$\dot{q}_i = \frac{\partial H}{\partial p_i} + \theta \varepsilon_{ij} \frac{\partial H}{\partial q_j}, \quad (1)$$

$$q_2(t) = C_1 + C_2 t + C_3 \cos \Omega t + C_4 \sin \Omega t - \frac{v_1 b \omega_1^2}{2\Omega^2} t^2 \quad (11)$$

پس از جایگذاری  $q_1$  و  $q_2$  در معادلات (۶) و (۷) خواهیم داشت

$$D_1 = \frac{\sigma}{m \omega_1^2} C_2$$

$$D_2 = -\frac{\Omega}{v_0} C_4$$

$$D_3 = \frac{\Omega}{v_0} C_3$$

و همچنین با توجه به شرایط اولیه، ثابت‌ها را به شکل زیر

بدست می‌آوریم

$$C_1 = q_2(0) - \frac{v_0}{\Omega^2} \left( \dot{q}_1(0) + \frac{v_1 b \sigma}{m \Omega^2} \right)$$

$$C_2 = \frac{\omega_1^2}{\Omega^2} \left( v_0 q_1(0) + q_2(0) \right)$$

$$C_3 = \frac{v_0}{\Omega^2} \left( \dot{q}_1(0) + \frac{v_1 b \sigma}{m \Omega^2} \right)$$

$$C_4 = \frac{\left( q_2(0) (\Omega^2 - \omega_1^2) - v_0 \omega_1^2 q_1(0) \right)}{\Omega^3}$$

بنابراین

$$q_1(t) = \frac{\sigma}{m \Omega^2} \left( v_0 q_1(0) + q_2(0) \right) - \left[ \frac{q_2(0) (\Omega^2 - \omega_1^2) - v_0 \omega_1^2 q_1(0)}{\Omega^2 v_0} \right]$$

$$\cos \Omega t + \left( \frac{\dot{q}_1(0)}{\Omega} + \frac{v_0 b \sigma}{m \Omega^2} \right) \sin \Omega t - \frac{v_1 b \sigma}{m \Omega^2} t \quad (12)$$

$$q_2(t) = q_2(0) + \frac{\omega_1^2}{\Omega^2} \left[ v_0 q_1(0) + q_2(0) \right] t - \frac{v_0}{\Omega^2} \left[ \dot{q}_1(0) + \frac{v_1 b \sigma}{m \Omega^2} \right]$$

$$(1 - \cos \Omega t) + \left[ \frac{(\Omega^2 - \omega_1^2) q_2(0) - v_0 \omega_1^2 q_1(0)}{\Omega^3} \right] \sin \Omega t - \frac{v_1 b \omega_1^2}{2\Omega^2} t^2 \quad (13)$$

اکنون حد کلاسیکی  $\sigma = \theta = 0$  را برقرار می‌سازیم، خواهیم داشت

$$q_1(t) = q_1(0) \cos \omega_1 t + \frac{\dot{q}_1(0)}{\omega_1} \sin \omega_1 t \quad (14)$$

$$q_2(t) = q_2(0) + t \dot{q}_2(0) - (1 - \theta \sigma) \frac{bt^2}{2m} \quad (15)$$

$$V(q_1, q_2) = \frac{1}{2} a_1 q_1^2 + b q_2 \quad \text{معادلات حرکت پتانسیل}$$

در فضای فاز نا جا به جایی

$a_1$  و  $b$  اعداد حقیقی و ثابت هستند. این پتانسیل در راستای

$q_1$  از مرتبه دوم و در راستای  $q_2$  خطی است. با قرار دان پتانسیل

در معادله (۳) به ازای  $i = 1, 2$  خواهیم داشت

$$m \ddot{q}_1 = -(1 - \theta \sigma) a_1 q_1 + \sigma q_2, \quad (4)$$

$$m \ddot{q}_2 = -(1 - \theta \sigma) b - (\sigma + \theta m a_1) q_1. \quad (5)$$

در مرجع [۳] پاسخ‌های معادلات حرکت در حالت خاص

بدست آورده شده‌اند. در این مقاله ما بدون در نظر گرفتن این

حالت خاص معادلات را در حالت کلی حل می‌کنیم.

معادلات (۴) و (۵) معادلات جفت شده می‌باشند که می‌توان

آنها را به شکل زیر بازنویسی نمود

$$\ddot{q}_1 + \omega_1^2 q_1 - \frac{\sigma}{m} q_2 = 0 \quad (6)$$

$$\ddot{q}_2 + v_1 b + v_0 \dot{q}_1 = 0 \quad (7)$$

که  $v_0$ ،  $v_1$  و  $\omega_1^2$  پارامترهای ثابتی هستند که دارای تعاریفی

به شکل زیر می‌باشند

$$v_1 = \frac{(1 - \theta \sigma)}{m}$$

$$v_0 = \frac{(\sigma + m \theta a_1)}{m}$$

$$m \omega_i^2 = (1 - \theta \sigma) a_i \quad i = 1, 2$$

با استفاده از روش‌های استاندارد مربوط به حل معادلات

دیفرانسیل خطی مرتبه دوم ناهمگن دو معادله جفت شده بالا را به

دو معادله مجزا تبدیل می‌کنیم

$$q_1^{(3)} + \Omega^2 q_1 = -\frac{v_1 b \sigma}{m} \quad (8)$$

$$q_2^{(4)} + \Omega^2 q_2^{(2)} = -v_1 b \omega_1^2 \quad (9)$$

که  $\Omega^2 = \omega_1^2 + \frac{\sigma v_0}{m}$  می‌باشد.

با استفاده از روش اپراتورهای معکوس پاسخ معادلات (۶) و

(۷) خواهد شد

$$q_1(t) = D_1 + D_2 \cos \Omega t + D_3 \sin \Omega t - \frac{v_1 b \sigma}{m \Omega^2} t \quad (10)$$



## مرجع‌ها

- [۱] F. Delduc, Q. Duret, F. Gieres and M. Lefrancois, J. Phys. Conf. Ser. **103**, 012020 (2008).  
 [۲] N. Khosravi, S. Jalalzadeh and H. R. Sepangi, JHEP **0601**, 134 (2006)  
 [۳] C. Acatrinei, J. Phys. A: Math. Gen. **37**, 1225 (2004).  
 [۴] A. M. Frydryszak and V. M. Tkachuk, Czechoslovak J. Phys. **53**, 1035 (2003).  
 [۵] C. Acatrinei, Rom. J. Phys., **54**, 3 (2009).  
 [۶] C. Acatrinei, Comments on Noncommutative Particle Dynamics, hep-th/0106141.

همان گونه که مشاهده می‌کنیم معادلات (۱۴) و (۱۵) دینامیک ذره ای به جرم  $m$  در صفحه  $q_1 - q_2$  را توصیف می‌کنند که این ذره در راستای  $q_1$  تحت تأثیر نیروی برگرداننده ای از نوع قانون هوک بوده در حالی که در راستای  $q_2$  متأثر از نیروی ثابتی همانند نیروی جاذبه زمین می‌باشد.

## نتیجه‌گیری

سابقه استفاده از ایده فضا-زمان ناجابه جایی به زمان هاینبرگ باز می‌گردد. نخستین فرمول بندی رسمی فضا-زمان ناجابه جایی در فیزیک در سال ۱۹۴۷ میلادی توسط اشنايدر مطرح گردید. اخیراً مطالعه مکانیک کلاسیک در فضای فاز ناجابه جایی در کانون توجه قرار گرفته است.

فرمول بندی مکانیک کلاسیک در یک فضای فاز ناجابه جایی در مراجع [۳،۵،۶] بدست آورده شده اند و سپس برای یک سیستم دو بعدی با هامیلتونی به شکل زیر

$$H = \frac{1}{2m}(p_1^2 + p_2^2) + V(q_1, q_2)$$

صورتی تعمیم یافته از قانون دوم نیوتون در فضای فاز ناجابه جایی بدست آورده شده است. در مرجع [۳] پاسخ‌های معادلات حرکت برای پتانسیل  $V(q_1, q_2) = \frac{1}{2}a_1q_1^2 + bq_2$  در حالت خاص  $\sigma = 0$  بدست آورده شده اند در این مقاله معادلات حرکت را در حالت کلی بدست آوردیم و سپس شرط کلاسیکی  $\sigma = \theta = 0$  را برقرار نمودیم و مشاهده کردیم ذره در راستای  $q_1$  تحت تأثیر نیروی برگرداننده ای از نوع قانون هوک بوده در حالی که در راستای  $q_2$  متأثر از نیروی ثابتی همانند نیروی جاذبه زمین می‌باشد و نشان دادیم که هر دو رهیافت نتایج یکسانی را دارا می‌باشند. در نهایت نتیجه می‌گیریم که پتانسیل

$$V(q_1, q_2) = \frac{1}{2}a_1q_1^2 + bq_2$$

متفاوت از آنچه در مکانیک کلاسیک متعارف داشته است، از خود نشان می‌دهد اما با برقرای حد کلاسیکی دوباره به همان پاسخ‌های مکانیک کلاسیک متعارف دست می‌یابیم.

## مدل لایه ای اصلاح شده سازگار با نتایج تجربی برای هسته $^{197}_{79}\text{Au}$ در چارچوب مدل درهم روی

### هسته ای

ذوالفقارپور، فرهاد<sup>۱</sup> طباطبائی، سیدمحمد؛ محمدی، جواد

اردبیل، گروه فیزیک دانشگاه محقق اردبیلی، انتهای خیابان دانشگاه

### چکیده

در این مقاله با در نظر گرفتن ساختار کوارکی برای نوکلئونها در چارچوب مدل لایه ای تابع ساختار هسته طلا بررسی می شود و مشاهده می شود که با اعمال تغییر در لایه  $2p$  نتایج حاصله از مدل درهم روی هسته با نتایج تجربی سازگاری خوبی پیدا می کند.

## Modified Shell Model for $^{197}\text{Au}$ Nucleus in the Convolution Nuclear Theory to Get Appropriate Results that have Agreement with Experimental Data

Zolfagharpour, farhad<sup>1</sup>; Tabatabaei, seyed mohammad<sup>2</sup>; Mohammadi, javad<sup>3</sup>

University of Mohaghigh Ardabili, Ardabil, Iran

### Abstract

*In this paper, we consider quark structure for nucleons in the shell model framework. By this concentration we calculated nuclear structure function of gold nucleus. At the end we find that with some changes in the  $2p$  shell, the extracted results from convolution nuclear theory are consistent with experimental results.*

### مقدمه

مشخص شد که عدم سازگاری بین نتایج تجربی و نظری به این دلیل است که تراز  $2p$  در این هسته و هسته های سنگین به اندازه آنچه در مدل لایه ای گسترده است، از گسترش لازم برخوردار نیست و می توان در مدل لایه ای با اعمال تغییراتی در جهت کاهش گستردگی لایه های فوق، این مسئله را مد نظر قرار داد و نتایج حاصل را بهبود بخشید. در این تحقیق سعی کرده ایم این تغییرات را در مدل لایه ای بکار رفته در مدل درهم روی هسته ای برای هسته طلا اعمال کنیم.

در این مدل فرض می شود نوکلئون ها به صورت پایدار در ترازهای مستقل قرار دارند، مانند الکترون های اتمی در ترازهای اتمی. البته فاصله لایه های هسته ای از فاصله لایه های الکترونی بیشتر است.

به دلیل پیچیدگی نیروی هسته ای و عدم امکان حل معادله شرودینگر برای سیستم چند ذره ای هسته ای در فیزیک هسته ای، سعی بر حل مسائل در چارچوب مدل های ساده شده ای می شود که بتوان عمده خصوصیت هسته ها را به دست آورد. یکی از این خصوصیت ها، نتایج حاصل از پراکندگی لپتون ها از هسته ها است. در این تحقیق سعی کرده ایم که تابع ساختار هسته طلا را در چارچوب مدل درهم روی هسته ای محاسبه نماییم. با توجه به اینکه هسته طلا یک هسته سنگین است، لذا در چارچوب مدل لایه ای استخراج نتایج مربوط به تابع ساختار و اثر  $^{24}\text{EMC}$  [۱] این هسته به دلیل سنگین بودن هسته، از مدل لایه ای نوسانگر هماهنگ پیروی نمی کند. با مطالعات انجام گرفته در این تحقیق

<sup>۲۴</sup> European Muon Collaboration

$$F^N(z)_{nl} = \frac{1}{z} \left(\frac{m_N}{kN}\right)^{1/2} \frac{nl}{\Gamma(n+l+2)} \sum_{c_1=0}^n \sum_{c_2=0}^n \frac{(-1)^{c_1+c_2}}{c_1+c_2} \binom{n+l+1}{n-c_1} \times \left(\frac{n+l+1}{z-c_2}\right) \Gamma[1+c_1+c_2+l] \frac{m_N}{kN} (z-1-\frac{c_2}{m_N})^2 \quad (6)$$

جدول ۱: پارامترهای مورد استفاده در مدل لایه ای اصلاح شده که طبق رابطه های ۴ و ۵ به دست آمده اند.

shell	$\langle r^2 \rangle^{1/2}, \hbar\omega$
0s	(1.67,22.69)
0p	(2.44,10.0)
0d	(3.10,15.36)
1s	(3.48,12.19)
0f	(3.74,13.57)
1p	(3.96,12.10)
0g	(4.43,11.82)
1d	(4.67,10.74)
2s	(4.70,10.50)
0h	(5.18,10.22)
1f	(5.32,9.69)
2p	(5.37,100.0)
0i	(5.41,10.81)

همانطور که از جدول فوق مشاهده می شود مقدار  $\hbar\omega$  رابیشتر از مقدار مرسوم آن یعنی (9.51) انتخاب کرده ایم تا گستردگی این لایه را کاهش دهیم.

همچنین در این مدل فرض می شود که هسته بصورت یک چاه پتانسیل بوده و نوکلئون ها در یک میدان متوسط جاذبه قرار دارند و رفتار آنها مانند ذره در چاه پتانسیل می باشد [۲].

### محاسبه تابع ساختار برای هسته طلا

تابع ساختار را با در نظر گرفتن ساختار کواریکی برای نوکلئون ها از رابطه زیر حساب می کنیم [۳]:

$$F_T^N(x) = \sum_{N=0}^N \sum_{nl} \int_0^{\infty} dx F_{nl}^N(x) F_T^N(x) \quad (1)$$

که جمع اول روی کل پروتون ها و نوترون ها و جمع دوم بر روی عدد کوانتومی هر تراز انرژی بسته می شود.  $F_{nl}^N$  عدد اشغال تراز انرژی برای پروتون ( $N=p$ ) و نوترون ( $N=n$ ) است. همچنین توزیع نوکلئونها در داخل هسته ها بصورت زیر تعریف می شود:

$$F^N(x)_{nl} = \frac{1}{(2\pi)^{3/2}} \int_{m_N(x-1)-\hbar\omega}^{\infty} dp p m_N |\theta_{nl}(p)|^2 \quad (2)$$

که  $x = p_{nl}^2 / m_N^2 c^2$  نسبت تکانه حمل شده توسط نوکلئون به تکانه کل هسته و  $X = Q^2 / 2m_N \hbar\omega$  متغیر بیورکن<sup>۲۵</sup> می باشد. اگر سهم گلتونها و دریای کواریکی را در نظر بگیریم تابع ساختار بصورت فرمول زیر ساده می شود:

$$\int_0^1 dx F_T^N(x) = 1 \quad (3)$$

درمدل نوسانگر هماهنگ رابطه بین مربع شعاع و پوسته‌های انرژی بصورت زیر تعریف می شود [۴]:

$$\langle r^2 \rangle = \frac{1}{\omega^2} (2n+l+\frac{3}{2}) \quad (4)$$

$$\omega^2 = \frac{m_N}{\hbar^2}, \quad m_N = 938.906 \text{ MeV}$$

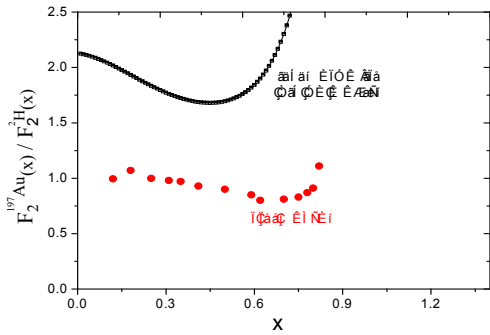
$$\hbar\omega = \frac{4\pi^2}{\hbar^2} (2n+l+\frac{3}{2}) \quad (5)$$

$(r^2)^{1/2}$  و  $\hbar\omega$  به ترتیب بر حسب فرمی و  $Mev$  بیان می شوند. با توجه به کارهای انجام شده توسط اکولینیچو<sup>۲۶</sup> و همکارانش تابع توزیع تکانه برحسب مدل نوسانگر هماهنگ بصورت زیر است [۵]:

<sup>۲۵</sup> Bjorken  
<sup>۲۶</sup> Akulinichev

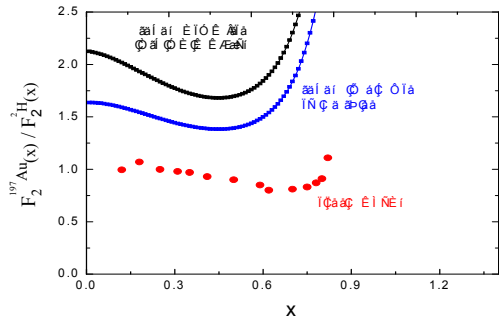
جدول ۲: اعداد اشغال برای پروتون و نوترون هسته  $^{197}\text{Au}$  در هر لایه که به صورت (پ، ن) نشان داده شده است.

shell	(p,n)	Extra neutrons
0s	(2,2)	
0p	(6,6)	
0d	(10,10)	
1s	(2,2)	
0f	(14,14)	
1p	(6,6)	
0g	(18,18)	
1d	(10,10)	
2s	(2,2)	
0h	(9,9)	(13)
1f		(14)
2p		(6)
0i		(6)



شکل ۳: نتیجه حاصل از مدل لایه ای نوسانگر هماهنگ مرسوم برای هسته طلا. دایره ها نشان دهنده نتایج تجربی از مرجع [7].

از شکل ۳ مشاهده می شود مدل لایه ای برای هسته طلا که یک هسته سنگین می باشد، با نتایج تجربی هم خوانی ندارد. پارامترهای مورد استفاده در محاسبات ما نشان داد لایه ها با  $L$  بزرگتر مساوی ۱ در عمل و در داخل هسته از گستردگی که مدل لایه ای برای آنها ارائه می دهد برخوردار نیستند لذا در این تحقیق با اعمال محدودیت در شعاع و پارامتر  $L$  نوسانگر هماهنگ متوسط (که با رابطه های ۴ و ۵ اعمال می شود) از گستردگی این لایه ها کاسته می شود و باعث بهبود نتایج حاصله و توافق آنها با نتایج تجربی می شود که شکل ۴ به خوبی آن را نشان می دهد.

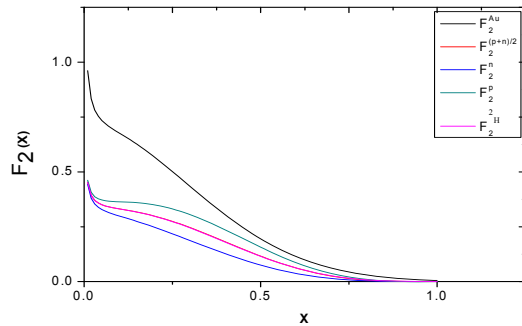


شکل ۴: مقایسه نتایج حاصل از مدل لایه ای اصلاح شده برای هسته طلا با نتایج تجربی [7] و مدل لایه ای اصلاح شده در این مقاله.

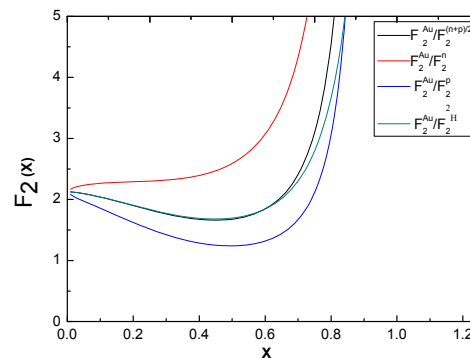
### نتیجه گیری

مدل لایه ای، مدل مناسبی برای توصیف خصوصیات هسته های سبک است و نتایج سازگار و قابل قبولی با نتایج آزمایشگاهی

جایگیری نوکلئونها در ترازهای انرژی هسته طلا مطابق جدول شماره ۲ می باشد که با استفاده از برنامه فرترن توابع ساختار بصورت شکل زیر بدست آمده است.



شکل ۱: تابع ساختار هسته طلا و دوترون بر واحد نوکلئون، محاسبه شده در این تحقیق. برای مقایسه تابع ساختار نوکلئون، پروتون و نوترون آزاد GRV [6] آورده شده است.



شکل ۲: نسبت تابع ساختار هسته طلا به دوترون و نوکلئون، پروتون و نوترون آزاد.

- [۳] F. Zolfagharpour, <http://arxiv.org/abs/0802.1623v2>
- [۴] R. C. Barratt and D. F. Jackson, "Nuclear sizes and structure", Oxford University Press (1977).
- [۵] S. V. Akulinichev, et al., *Phys. Rev. Lett.* 21 (1985) 2239.
- [۶] M. Gluck, E. Reya, A. Vogt, *Z. Phys. C* 67 (1995) 433.
- [۷] J. T. Aubert et al., *Phys. Lett.* 123B,275 (1983).

بدست می دهد ولی برای هسته های سنگین، انحراف در نتایج حاصل از مدل لایه ای نوسانگر هماهنگ و نتایج تجربی آشکار می شود و باید اصلاحاتی در مدل لایه ای بکار گرفته شود. در این تحقیق با توجه به محاسبات انجام گرفته مشاهده کردیم که این انحراف از گستردگی لایه ها در مدل لایه نسبت به آنچه لایه ها در حقیقت در داخل هسته برخوردارند، ناشی می شود لذا با اعمال محدودیت در شعاع متوسط لایه ها که توسط رابطه های ۴ و ۵ اعمال می شدند محاسبات را انجام دادیم و آنچه نتایج حاصل در شکل ۴ نشان می دهد، به نتایجی که در توافق با نتایج تجربی می باشند دست پیدا کردیم. این مسئله را شاید به این صورت می توان تعبیر کرد که میدان متوسطی که در مدل لایه ای مرسوم در نظر گرفته می شود با افزایش شعاع هسته افزایش پیدا می کند و این مسئله کوتاه برد بودن نیروی هسته ای را در لایه های بالاتر و بین نوکلئون های نزدیک سطح هسته را در نظر نمی گیرد و نیز به دلیل وابستگی نیروی هسته ای به تکانه زاویه ای، بنابراین نوکلئون ها در لایه ها با تکانه زاویه بزرگتر مساوی یک در میدان متوسطی قرار دارند که از گسترده گی لایه ها می کاهد که در این تحقیق با کاهش گستردگی این لایه ها و تغییر در میدان موثر در لایه های بالاتر نتایج حاصل با نتایج تجربی توافق پیدا نمود. البته با ید گفت که در این تحقیق فقط اثر فرمی و انرژی بستگی با در قرار دادن مقدار  $E = -40 \text{ MeV}$  که همان انرژی بستگی هسته آهن بکار رفته در مدل های مرسوم هسته ای می باشد، در نظر گرفته شده است و از اثرهای دیگر ناشی از محیط هسته ای روی نوکلئون ها و تابع توزیع کواریکی داخل نوکلئون های مقید صرف نظر شده است. انتظار می رود با در نظر گرفتن اثر های دیگر محیط هسته ای از قبل ابر مزونی، اثر ذره دلتا، تبادل کواریکی که باعث تغییر تابع موج هسته ها بخصوص هسته های سنگین می شوند، بتوان نتایج سازگار با نتایج تجربی در انرژی های بستگی پائین تر که به نتایج تجربی نزدیک تر است، رسید.

## مرجع ها

- [۱] J. J. Aubert, et al., *Phys. Lett. B* 123 (1985) 275.
- [۲] M.A.PRESTON and R.K.BHADURI, "STRUCTURE of the NUCLEAS", (1975)217-241.

## بدست آوردن فشار خارجی خلا در مدل کیسه‌ای MIT اصلاح شده

رستمی، ثمره<sup>۱</sup>؛ رجبی، علی‌اکبر<sup>۲</sup>

<sup>۱</sup>دانشکده ریاضی، مرکز تحصیلات تکمیلی زنجان، زنجان

<sup>۲</sup>دانشکده فیزیک، دانشگاه صنعتی شاهرود، شاهرود

### چکیده

ما به کمک روش‌های ریاضی قصد داریم تا فشار خارجی ناشی از خلاء را برای نوکلئون بدست آوریم. در این مدل، ما نوکلئون‌ها را به عنوان سیستمی سه ذره‌ای شامل سه کوارک مشابه تعریف کرده‌ایم که در معادله دیراک صدق می‌کنند. با فرض وجود پتانسیل‌های برهمکنش کننده بین کوارک‌ها، روشی برای اصلاح مدل کیسه‌ای MIT پیشنهاد خواهیم کرد.

## Obtaining the External Pressure of Vacuum in Improved MIT bag model

Rostami, Samareh<sup>1</sup>; Rajabi, Ali Akbar<sup>2</sup>

<sup>1</sup> Department of Mathematics, IASBS, Zanjan

<sup>2</sup> Department of Physics, Shahrood University of Technology, Shahrood

### Abstract

Using mathematical methods, we aim to obtain an external pressure of vacuum for nucleons. In this article, nucleons are defined as a three-body system with three identical quarks which follow the Dirac equation. With assumption of existence of the interact potential between quarks, we will offer a method to improve MIT bag model.

PACS No. 14

سه ذره‌ای را می‌توان به طور آسان در فرمولبندی های هارمونیک فوق کروی توصیف کرد، لذا ما در این مقاله به بیان حرکت سیستم سه ذره‌ای در مختصات ژاکوبی پرداخته‌ایم. در این مختصات متغیرهای فوق کروی  $\rho$  و  $\lambda$  را به صورت تابعی از موقعیت ذرات در سیستم مرکز جرم بیان می‌کنیم [۲]:

$$\rho = \frac{1}{\sqrt{2}}(\vec{r}_1 - \vec{r}_2), \quad \lambda = \frac{1}{\sqrt{6}}(\vec{r}_1 + \vec{r}_2 - 2\vec{r}_3), \quad R = \frac{\vec{r}_1 + \vec{r}_2 + \vec{r}_3}{3}$$

مقدار مطلق فوق شعاع را به صورت زیر تعریف می‌کنیم.

$$x = \sqrt{\lambda^2 + \rho^2} = \sqrt{\frac{1}{3}(r_{12}^2 + r_{23}^2 + r_{13}^2)} = \frac{1}{\sqrt{3}}r \quad (1)$$

که در آن  $r$  شعاع کره محاط شده بر سه ذره می‌باشد. با تعریف این کمیت‌ها حرکت سه ذره را به صورت کلی‌تری بررسی

### مقدمه

از میان مدل‌های بسیاری که خواص نوکلئون‌ها را به خوبی توصیف می‌کنند می‌توان به مدل کیسه‌ای MIT<sup>۲۷</sup> اشاره کرد که در آن تابع موج کوارک‌های آزاد با شرایط جریان صفر روی دیواره کیسه در نظر گرفته می‌شوند [۱]. از آنجاییکه برهمکنش بین کوارک‌ها را نمی‌توان نادیده گرفت، ما در این کار قصد داریم با در نظر گرفتن پتانسیل‌های ناشی از باررنگ‌ها و نوسانگرهارمونیک به اصلاح این مدل بپردازیم.

با توجه به اینکه نوکلئون‌ها سیستم‌ای سه ذره‌ای شامل کوارک‌های ظرفیت با جرم نسبتاً یکسان می‌باشند و اینکه نیروهای

<sup>27</sup> Massachusetts Institute of Technology bag model

فرض می‌کنیم پتانسیل  $U(x)$  شامل دو ترم پتانسیل فوق کروی اسکالر  $U_0(x)$  و پتانسیل فوق کروی برداری  $V_0(x)$  است. داریم

$$(\sigma.p_i)\chi + (m_i + U_0(x) + V_0(x))\varphi = \varepsilon_i\varphi \quad (7)$$

$$(\sigma.p_i)\varphi - (m_i + U_0(x) - V_0(x))\chi = \varepsilon_i\chi$$

که اندیس  $i$  مربوط به ذره  $i$  ام می‌باشد و فرض می‌کنیم که

پتانسیل‌های فوق کروی اسکالر و برداری به صورت مقابل باشند [۴] و [۵].

$$2V_0(x) = 2U_0(x) = ax^2 - \frac{c}{x}$$

اکنون با ترکیب معادلات (۶) و (۷) معادله زیر خواهیم رسید

$$g_\gamma''(x) + \frac{5}{x}g_\gamma'(x) + \frac{L^2(\Omega)}{x^2}g_\gamma(x) = -3(\varepsilon^2 - m^2 + (m + \varepsilon)A(x))g_\gamma(x) \quad (8)$$

برای تعیین ویژه تابع  $g_\gamma(x)$  فرض می‌کنیم که آن به صورت

$$g_\gamma(x) = h(x)\exp(Z(x)) \quad (9)$$

قابل تعریف باشد که در آن  $h(x)$  و  $Z(x)$  به صورت مقابل

می‌باشند [۶].

$$\begin{cases} h(x) = \prod_{i=0}^{\nu} (1 + \alpha_i^{(\nu)} x) & \alpha_i \neq 0 \\ Z(x) = -\frac{1}{2}ax^2 + \delta \ln(x) \end{cases} \quad (10)$$

که در آن  $\nu$  به مراتب انرژی سیستم بستگی دارد. با قرار دادن معادله (۱۰) در معادله (۹) و برابر قرار دادن ضرایب توان‌های متفاوت  $x$ ، می‌توانیم کمیت‌های مجهول  $\alpha_i^{(\nu)}$  و  $\delta$  را محاسبه کنیم. داریم:

$$\delta = \gamma - \gamma - 4, \quad \alpha = (E_{\gamma,\nu} + 3m)\omega_{\gamma,\nu}$$

با قرار دادن  $\delta = \gamma$  تابع موج ما در محدوده موردنظر خوش

تعریف خواهد بود. و نیز می‌توانیم کمیت‌های مجهول پتانسیل را برحسب تابعی از انرژی بدست آوریم.

$$a = (E_{\gamma,\nu} + 3m)\omega^2, \quad E_{\gamma,\nu} = 6(\gamma + 4 + \nu)\omega + 3m$$

$$c_{\gamma,\nu} = (1 + \nu) \left[ \frac{4\gamma + 10 + \nu}{6(\gamma + 4 + \nu)} \frac{E_{\gamma,\nu} - 3m}{E_{\gamma,\nu} + 3m} \right]^{\frac{1}{2}} \quad (11)$$

می‌کنیم. از آنجایی که سیستم سه جسمی تشکیل فضای بعدی می‌دهد، با در نظر گرفتن  $(\hbar = c = 1)$ ، عملگر لاپلاسی به صورت زیر تعریف خواهد شد.

$$\nabla^2 = \nabla_\rho^2 + \nabla_\lambda^2 = \left( \frac{\partial^2}{\partial x^2} + \frac{5}{x} \frac{\partial}{\partial x} + \frac{L^2(\Omega)}{x^2} \right) \quad (2)$$

$L^2(\Omega)$  در رابطه فوق، عملگر مداری بزرگ<sup>۲۸</sup> می‌باشد و ویژه

مقدارهای آن برابر  $-\gamma(\gamma + 4)$  می‌باشد و در آن  $\gamma$  عدد کوانتمی

زاویه‌ای بزرگ<sup>۲۹</sup> است که از طریق  $\gamma = 2n + l_\lambda + l_\rho$  معین می‌شود.

پتانسیلی که برای برهمکنش بین کوارکها در نظر گرفته ایم

شامل یک ترم نوسانی و ترم کلونی است. که با استفاده از

مختصات فوق کروی، پتانسیل نوسانگر هارمونیک به صورت

$$V_{h.o} = \frac{1}{2}k \sum_{i,j} (r_i - r_j)^2 = \frac{N}{2}kx^2 = ax^2 \quad (3)$$

و پتانسیل فوق کلونی که از باررنگ‌ها ناشی می‌شود مانند زیر

تعریف خواهند شد:

$$V_{hvc} = b\alpha_s \sum_{i,j} \frac{1}{|r_i - r_j|} = \frac{b\alpha_s}{x} \quad (4)$$

که در آن  $b\alpha_s = -c$  در نظر می‌گیریم. بنابراین پتانسیلی که

برای حل معادله دیراک بررسی خواهیم کرد مانند مقابل است:

$$A(x) = ax^2 - \frac{c}{x}$$

با توجه به اینکه کوارکهای سبک ذراتی نسبیتی هستند و در

معادله دیراک صدق می‌کنند و تعاریف ذکر شده می‌توانیم تابع

موج سیستم را محاسبه کنیم

### تابع موج نسبیتی با پتانسیل فوق کروی

شکل‌ای که برای معادله دیراک استفاده می‌شود مانند زیر است

[۳]

$$[\gamma_0 \varepsilon + i\vec{\gamma} \cdot \vec{\nabla} - (m + U(x))] \psi(x) = 0 \quad (5)$$

که این معادله جوابی مانند زیر خواهد داشت

$$\psi_{jj_3} = \begin{pmatrix} \varphi \\ \chi \end{pmatrix} = \begin{pmatrix} g_\kappa(x) y_{jl}^{j_3}(\bar{x}) \\ if_\kappa(x) y_{jl}^{j_3}(\bar{x}) \end{pmatrix} \quad (6)$$

<sup>28</sup> Grand orbital operation

<sup>29</sup> grand angular quantum number

حال اگر بخواهیم این فرمول را به فضای ۶ بعدی تعمیم دهیم لازم است تا از قوانین انتگرال‌گیری در فضای  $D$  بعدی استفاده کنیم. انتگرال‌گیری حجم در فضای  $D$  بعدی به صورت [۲]

$$\int dr_1 dr_2 \dots dr_D = \int x^{D-1} dx d\Omega$$

تعریف می‌شود که در این صورت شعاع باری در فضای ۶ بعدی به صورت

$$\langle x^2 \rangle = \frac{\int_{bag} x^7 (|g_0(x)|^2 + |f_0(x)|^2) dx \int d\Omega}{\int_{bag} x^5 (|g_0(x)|^2 + |f_0(x)|^2) dx \int d\Omega} \quad (14)$$

بدست خواهد آمد. از دیگر کمیت‌های مهم در بررسی خواص هادرون‌ها تعیین نسبت ثابت جفت شدگی شبه برداری  $g_A$  به ثابت جفت شدگی برداری  $g_V$  برای آنهاست. که داریم:

$$\frac{g_A}{g_V} = \frac{5}{3} \left( 1 - \frac{4}{3} \frac{\int_{bag} x^5 |f_0(x)|^2 dx \int d\Omega}{\int_{bag} x^5 (|f_0(x)|^2 + |g_0(x)|^2) dx \int d\Omega} \right)$$

برای پروتون این مقدار به طور آزمایشگاهی  $1/254 \pm 0/006$

و شعاع باری برابر  $0/88 = \sqrt{\langle x^2 \rangle}$  اندازه‌گیری شده اند. ما

با تعیین جرم کوارک ظرفیت برابر  $200 MeV$  و شعاع باری  $(0/88)$  به عنوان کمیت‌های ثابت در این مسئله، می‌توانیم دیگر

کمیت‌های مجهول سیستم را بدست بیاوریم

### تعیین فشار خارجی وارد بر سطح کیسه در حالت پایه

همانطور که از ترمودینامیک می‌دانیم فشار وارد بر سطح را می‌توان از تغییرات انرژی سیستم نسبت به تغییرات حجم آن در دمای ثابت محاسبه کرد [8].

$$P = - \left( \frac{dE}{dV} \right)_T$$

ابتدا سیستم را در حالت پایه آن در نظر می‌گیریم  $\gamma = 0$ .

بنابراین با استفاده از این فرمول، می‌توانیم فشار وارد بر سطح کیسه را در دمای صفر محاسبه کنیم. داریم

$$P = - \left( \frac{dE}{dV} \right) = - \left( \frac{dV}{dE} \right)^{-1} \Big|_{x=x_b} = - \left( \frac{dV}{dx} \right)^{-1} \left( \frac{dx}{dE} \right)^{-1} \Big|_{x=x_b} \quad (15)$$

اکنون با نتایج بدست آمده می‌توانیم تابع موج نسبیتی سیستم را محاسبه کنیم.

### تابع موج نسبیتی در حالت پایه

ابتدا مسئله را برای مرتبه صفرم انرژی یعنی  $\nu = 0$  بررسی

خواهیم کرد [۷]. در این حالت

$$g_\gamma(x) = x^\gamma \left( 1 - \frac{yx}{(2\gamma+5)^{\frac{1}{2}}} \right) e^{-\frac{y^2 x^2}{4}}$$

یافت می‌شود که در آن  $y$  را تعریف کرده ایم

$$y = \left( \frac{\frac{1}{3}(E_{\gamma,0}^2 - 9m^2)}{(\gamma+4)} \right)^{\frac{1}{2}} \quad (12)$$

و تابع موج به صورت زیر مشخص می‌شود

$$\psi_{\gamma,0}(x) = \left( \frac{x^\gamma - \frac{yx^{\gamma+1}}{(2\gamma+5)^{\frac{1}{2}}}}{E+3m} \left( \gamma x^{\gamma-1} - \frac{y^2}{2} x^{\gamma+1} + \frac{y^3 x^{\gamma+2} - 2y(\gamma+1)x^\gamma}{2(2\gamma+5)^{\frac{1}{2}}} \right) \right) e^{-\frac{y^2 x^2}{4}}$$

با توجه به اینکه ذرات در کره‌ای به شعاع  $x_b$  محدود شده‌اند،

چگالی جریان باید در سطح کره صفر شود

$$\bar{\psi}_{\gamma,0} \psi_{\gamma,0} \Big|_{x=x_b} = [g_{\gamma,0}^2(r) - f_{\gamma,0}^2(r)] \Big|_{x=x_b} = 0$$

بنابراین برای پیدا کردن شعاع کیسه در حالت پایه از معادله

زیر استفاده می‌کنیم

$$\frac{\xi_\gamma y^3 x_b^3}{(2\gamma+5)^{\frac{1}{2}}} - 2 \left[ \frac{y}{(2\gamma+5)^{\frac{1}{2}}} + \frac{\xi_\gamma y^2}{2} \right] x_b^2 + 2 \left[ 1 - \frac{\xi_\gamma y(\gamma+1)}{(2\gamma+5)^{\frac{1}{2}}} \right] x_b + 2\xi_\gamma \gamma = 0$$

که در آن  $x_b$  شعاع کیسه و  $\xi_\gamma$  به صورت زیر تعریف می‌شوند.

$$\xi_\gamma = \frac{1}{E_{\gamma,0} + 3m} \quad (13)$$

یکی دیگر از خواصی که برای هادرون‌ها تعریف می‌شود متوسط

شعاع باری  $\sqrt{\langle r_{cm}^2 \rangle}$  آن است که به صورت زیر می‌باشد:

$$\langle r^2 \rangle_q = \int_{bag} r^2 \psi_0^*(r) \psi_0(r) dr$$

<sup>۲۰</sup> axial-vector coupling constant  
<sup>۲۱</sup> vector coupling constant



جدول ۱: مقایسه خواص استاتیکی پروتون در این مدل با مدل کیسه ای MIT و مقادیر تجربی

تجربی	مدل ما	مدل کیسه ای MIT	نوکلئون
~100~350 MeV	200 MeV	.	$m_q$
$1/254 \pm 0/006$	1/45	$1/09$	$g_A/g_V$
$fm\ 0/88 \pm 0/03$	$fm\ 0/88$	$0/73\ fm$	$\langle r_{cm}^2 \rangle^{1/2}$
-	$fm\ 1/32$	$1\ fm$	$x_b$
-	$0/361\ fm^{-1}$	$1/22\ fm^{-1}$	$E_{out}$

### نتیجه گیری

حال اگر انرژی این مدل را با انرژی خلا در مدل کیسه ای MIT مقایسه کنیم متوجه خواهیم شد که در این مدل بخاطر وجود پتانسیل بین کوارک ها فشار وارد بر کیسه و در نتیجه انرژی خلا کاهش خواهد یافت . و از آنجایی که این فشار توسط آزمایشات تجربی به اثبات نرسیده است ، پس هر قدر این فشار کاهش یابد ، نتایج بدست آمده به مقادیر تجربی نزدیک تر خواهند شد . همچنین با در نظر گرفتن دیگر ترم های انرژی مانند پتانسیل های خطی یا نمایی می توان پیش بینی کرد که انرژی خلا به صفر میل کند در این صورت محبوس بودن کوارک ها تنها ناشی از پتانسیل درونی آنها خواهد شد.

### مرجع ها

- [۱] Close F E "an introduction to quarks and partons", Academic Press, New York (1979)
- [2] fabre de la Ripelle. M, Fieldeldey. H, and S.A. Sofianos "Integrodifferential equation for few-and many-body systems" Phys. Rev C. V 38, p 449. (1988)
- [۳] Bhaduri. R. K., "Models of the Nucleon: From Quarks to Soliton" Addison-Wesley. p 1-12 0,(1988)
- [۴] حسن آبادی. ح. رساله دکتری "محاسبه ویژگیهای استاتیکی باریون ها با استفاده از معادله دیراک" دانشکده فیزیک. دانشگاه صنعتی شاهرود (۱۳۸۶)
- [۵] Rajabi. A.A. "Improved MIT bag model with hyper central interacting potential" Iranian Journal of Science & Technology, Transation A. V28. No A2(2004)
- [۶] Rajabi A.A "A three-body force model for the harmonic and anharmonic oscillator". Iranian Journal of Physics Research, Vol. 5, No.2.(2005)
- [7] رستمی. ث. رساله کارشناسی ارشد "بررسی خواص ترمودینامیکی باریون ها در مدل کیسه ای MIT اصلاح شده متشکل از سه کوارک" دانشکده فیزیک. دانشگاه صنعتی شاهرود (۱۳۸۸)
- [8] Greiner W., Neise, Stocker "Thermodynamics and statistical" Springer. (1994)

و حجم کیسه در فضای ۶ بعدی تعریف می شود [8].

$$V = \frac{\pi^3}{6} x_b^6, \quad \frac{dV}{dx} = \pi^3 x_b^5 \quad (16)$$

و همچنین برای بدست آوردن  $\frac{dx}{dE}$  از رابطه

$$\frac{dx}{dE} = \frac{dx}{dy} \frac{dy}{dE} + \frac{dx}{d\xi_0} \frac{d\xi_0}{dE} \quad (17)$$

استفاده کرده ایم . از معادلات (13) و (12) داریم

$$\frac{dy}{dE} = \frac{\sqrt{3E}}{6\sqrt{E^2 - 9m^2}}, \quad \frac{d\xi_0}{dE} = -\frac{1}{(E + 3m)^2} \quad (18)$$

$$\frac{dx_b}{dy} = -\frac{(-\xi_0 y \sqrt{5} + 4)\mu + 13\xi_0^2 y^2 - 6\sqrt{5}\xi_0 y + 8}{2\mu\xi_0 y^3}$$

که برای سادگی از نماد گذاری

$$\mu = \sqrt{(2 + \sqrt{5}\xi_0 y)^2 + 8\xi_0 y(\xi_0 y - \sqrt{5})}$$

استفاده کرده ایم . از اینرو با قرار دادن معادله (18) در معادله (17) و جایگذاری معادله (17) و (16) در معادله (15) فشار بدست خواهد آمد و این فشار را می توان به عنوان فشار وارد بر سطح کیسه از طریق خلا در نظر گرفت . بعلاوه انرژی وارد شده بر سطح کیسه هم از رابطه

$$E_{out} = PV = P \frac{\pi^3}{6} x_b^6$$

محاسبه می شود . در جدول ۱ مقادیر بدست آمده در این مدل با مقادیر بدست آمده در مدل کیسه ای MIT و مقادیر آزمایشگاهی مقایسه شده است . همچنین با استفاده از اختلاف انرژی درون و بیرون کیسه می توان جرمی برای کیسه مشخص کرد

$$M = E - E_{out} = 6(\gamma + 4 + \nu)\omega + 3m - E_{out} = 24\omega + 3m - E_{out}$$

که با قرار دادن مقادیر بدست آمده برای انرژی خارجی و  $\omega$ ،

جرم نوکلئون مقدار  $937\ MeV$  خواهد شد که بسیار نزدیک به جرم آزمایشگاهی آن می باشد.

حال اگر سیستم را در حالت های بالاتر انرژی بررسی کنیم ، فشار خارجی با افزایش  $\gamma$  یا  $\nu$  به طور قابل ملاحظه ای کاهش پیدا می کند.

## آیا ضریب $d$ از نقض لورنتس صفر است؟

رضایی، زهرا<sup>۱</sup>؛ حقیقت، منصور<sup>۲</sup>

<sup>۱</sup>دانشکده فیزیک دانشگاه صنعتی اصفهان، اصفهان

### چکیده

در مدل استاندارد تعمیم یافته، تعداد زیادی پارامتر وجود دارد. طراحی آزمایش برای تعیین برخی از این پارامترها با مشکلاتی همراه است. در این مقاله نشان خواهیم داد که تحول ضرایب  $c_R, c_L$  یکسان است و با دانستن این که در نظریه های وحدت بزرگ همه ی ضرایب با هم برابرند، بنابراین  $c_R, c_L$  یک پارامتر هستند و پارامتر  $d$  از ضرایب نقض لورنتس صفر است.

## Is the Lorentz Violation Parameter $d$ Zero?

Rezaei, Zahra<sup>1</sup>; Haghigat, Mansour<sup>2</sup>

<sup>1,2</sup> Department of Physics, Isfahan University of Technology, 84156-83111, Iran Isfahan

### Abstract

In the Standard Model Extension (SME), there are large numbers of parameters. Designing the experiments to determine some of these is difficult. In this paper we show that the running of  $c_L$  and  $c_R$  is similar and since in grand unified theory all the coefficients run to one parameter, so  $c_L$  and  $c_R$  are always the same and therefore the Lorentz violation parameter  $d$  which is defined as the difference of  $c_L$  and  $c_R$  is zero

$$L_{SME} = \frac{1}{2} i \bar{\psi} \{ \gamma^v + c^{\mu\nu} \gamma_\mu + d^{\mu\nu} \gamma_5 \gamma_\mu + e^v + i f^v \gamma_5$$

$$+ \frac{1}{2} g^{\lambda\mu\nu} \sigma_{\lambda\mu} \} \bar{D}_\nu \psi - \bar{\psi} \{ M + a_\mu \gamma^\mu + b_\mu \gamma_5 \gamma^\mu$$

$$+ \frac{1}{2} H_{\mu\nu} \sigma^{\mu\nu} \} \psi - \frac{1}{4} F_{\mu\nu} F^{\mu\nu} - \frac{1}{4} (k_F)_{\kappa\lambda\mu\nu} F^{\kappa\lambda} F^{\mu\nu}$$

$$+ \frac{1}{2} (k_{AF})^K \varepsilon_{\kappa\lambda\mu\nu} A^\lambda F^{\mu\nu}$$
(۱)

### مقدمه

مدل استاندارد بهترین نظریه ی پیمانانه ایی برای توصیف برهم کنش های بین ذرات بنیادی است. عقیده بر این است که این نظریه حد انرژی پایین از یک نظریه ی بنیادی است و همه ی برهم کنش های بنیادی طبیعت به استثنای گرانش را در بر می گیرد. پیش بینی های این نظریه تا دقت بسیار بالا در آزمایشگاه ها تحقیق شده است [1,2,3]. هر چند تصور نمی شود که این نظریه، نظریه ایی بنیادی برای برهم کنش های پیمانانه ایی باشد.

یک شکل کلی از نظریه استاندارد معمولی و نسبت خاص که همه ی ویژگی های مطلوبِ قراردادی را شامل می شود اما شکست تقارن های لورنتس و "سی-پی-تی" در آن مجاز است "تعمیم مدل استاندارد" [4] نامیده می شود. مدل استاندارد تعمیم یافته ی کمینه که ناوردایی پیمانانه ایی را حفظ می کند، پارامترهای بازبهنجارپذیر قراردادی را شامل می شود که ضرایب تانسوری موجود، عامل نقض تقارن لورنتس هستند. لاگرانژی مدل استاندارد تعمیم یافته عبارت است از:

همان طور که از شکل لاگرانژی مشخص است تعداد زیادی ضریب تانسوری داریم که برای استفاده از نظریه، تعیین اندازه ی آنها لازم است. تا به امروز آزمایش های نقض تقارن لورنتس و سی پی تی بسیار زیادی شامل هادرون ها [5]، پروتون ها و نوترون ها [6]، الکترون ها [7]، فوتون ها [8]، میون ها [9] و نوترینو ها [10] در چارچوب مدل استاندارد تعمیم یافته مورد بررسی قرار گرفته اند. با توجه به این که تعیین پارامترهایی که شامل اسپین ذرات می شوند بسیار پیچیده است در این کار می خواهیم با محاسبات نظریه ی میدان کوانتومی نشان دهیم که سهم برخی از این ضرایب و مشخصا ضریب  $d$  تا همه مراتب اختلال صفر است.

ثابت جفت شدگی در این گروه وجود دارد. پس می‌توان نتیجه گرفت که ثابت‌های جفت شدگی  $c_L$  و  $c_R$  در حد مدل‌های وحدت با یکدیگر برابرند. ضرایب نقض  $c$  و  $d$  از ترکیب ضرایب  $c_L$  و  $c_R$  بدست می‌آیند

$$c^{\mu\nu} = \frac{c_L^{\mu\nu} + c_R^{\mu\nu}}{2} \quad (6)$$

$$d^{\mu\nu} = \frac{c_L^{\mu\nu} - c_R^{\mu\nu}}{2}$$

در ادامه تحول ضرایب  $c_L$  و  $c_R$  را محاسبه می‌کنیم و نشان می‌دهیم که این دو ضریب در انرژی‌های مختلف تحول یکسانی دارند.

### تحول $c_L$ و $c_R$

برای محاسبه ی تحول پارامترهای  $c$  از روش مقاله ی [11] استفاده می‌کنیم. لاگرانژی نقض لورنتس عریان در قسمت لپتون عبارت است از

$$L_{fermions, SME}^{CPT-even} = i \left[ (\bar{l}_L)_b (c_L^b)^{\mu\nu} \gamma_\mu \bar{D}_\nu (l_L)_b + (\bar{l}_R)_b (c_R^b)^{\mu\nu} \gamma_\mu \bar{D}_\nu (l_R)_b \right] \quad (7)$$

$$= i \left[ \bar{\psi}_b (c_L^b)^{\mu\nu} \frac{1+\gamma_5}{2} \gamma_\mu \bar{D}_\nu \psi_b + \bar{\psi}_b (c_R^b)^{\mu\nu} \frac{1-\gamma_5}{2} \gamma_\mu \bar{D}_\nu \psi_b \right]$$

با  $L = \frac{1-\gamma_5}{2}$ ,  $R = \frac{1+\gamma_5}{2}$  و اندیس  $b$  کمیت‌های عریان را نشان می‌دهد.

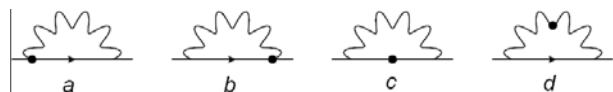
با باز تعریف میدان‌های عریان بر حسب میدان‌های فیزیکی بازهنجارش نظریه با پارامترهای جدید ادامه می‌یابد

$$\psi_b = \sqrt{Z_\psi} \psi; (c_L^b)_{\alpha\beta} = (Z_{c_L})_{\mu\nu}^{\beta\beta} (c_L)_{\alpha\beta}; (c_R^b)_{\alpha\beta} = (Z_{c_R})_{\mu\nu}^{\beta\beta} (c_R)_{\alpha\beta} \quad (8)$$

برای محاسبه ی  $Z_{c_R}$  و  $Z_{c_L}$ ، با وارد کردن پارامترهای نقض لورنتس در راس‌ها و انتشارگرها، واگرایی در انتشارگر فرمیونی محاسبه می‌شود.  $Z_\psi$  در مرجع [11] محاسبه شده است

$$Z_\psi = 1 - \frac{q^2}{16\pi^2 \mathcal{E}} (1 + \xi) \quad (9)$$

قوانین فاینمن استفاده شده در مرجع [11] آورده شده است.



شکل ۱: نمودارهای فاینمن برای انتشارگر فرمیونی

با محاسبه ی نمودارهای شکل ۱ داریم:

برای این منظور می‌خواهیم نظریه ی وحدت بزرگ را با استفاده از ضرایب نقض لورنتس بنویسیم، زیرا نظریه‌های مدل استاندارد و مدل استاندارد تعمیم یافته می‌توانند در چارچوب نظریه‌های وحدت بزرگ که درجات آزادی به مراتب بیشتری دارند حل شوند. نظریه‌های وحدت بزرگ بر گروه‌های پیمانانه‌ای استوارند که نظریه ی مدل استاندارد را به صورت یک زیرگروه در بر می‌گیرند. تعداد محدودی از چنین گروه‌های پیمانانه‌ای وجود دارند. نمونه‌های اصلی از نظریه‌های وحدت بزرگ،  $SU(5)$  و  $SO(10)$  هستند. در ادامه  $SO(10)$  را بررسی می‌کنیم.

### ثابت‌های جفت شدگی در $SO(10)$

در این بخش می‌خواهیم رابطه ی بین ثابت‌های جفت شدگی نقض لورنتس و  $SO(10)$  را به دست آوریم. در گروه  $SO(10)$ ، قسمت فرمیونی لاگرانژی که شامل پارامتر نقض لورنتس نیز می‌باشد عبارت است از

$$L_{fermions, SO(10)}^{CPT-even} = g_{10} \bar{\psi} c_{SO(10)}^{\mu\nu} \gamma_\mu D_\nu \psi \quad (2)$$

همه ی ذرات مدل استاندارد به همراه نوترینوی راست دست در یک نمایش ۱۶ تایی از نمایش‌های گروه  $SO(10)$  قرار می‌گیرند، بنابراین لاگرانژی برای همه ی فرمیون‌ها یک ثابت جفت شدگی یکتا دارد. قسمت فرمیونی لاگرانژی در مدل استاندارد تعمیم یافته شامل دو جمله است

$$L_{fermions, SM}^{CPT-even} = \bar{\psi}_L c_L^{\mu\nu} \gamma_\mu D_\nu \psi_L + \bar{\psi}_R c_R^{\mu\nu} \gamma_\mu D_\nu \psi_R \quad (3)$$

با عبارات زیر:

$$\psi_L : l_L = \begin{pmatrix} \nu_i \\ e_i \end{pmatrix}; Q = \begin{pmatrix} u_i \\ d_i \end{pmatrix} \quad (4)$$

$$\psi_R : l_{i,R}; u_{i,R}; d_{i,R}$$

جملات مشابه با جملات مدل استاندارد صریحاً بدست می‌آید

$$(c_L)_{\mu\nu} \bar{\psi}_L \gamma^\mu \partial^\nu \psi_L = (c_{l,L})_{\mu\nu} (\bar{e}_L \gamma^\mu \partial^\nu e_L + \bar{\nu}_L \gamma^\mu \partial^\nu \nu_L) + (c_{Q,L})_{\mu\nu} \sum_{i=1}^3 (\bar{u}_i \gamma^\mu \partial^\nu u_i + \bar{d}_i \gamma^\mu \partial^\nu d_i)_L \quad (5)$$

$$(c_R)_{\mu\nu} \bar{\psi}_R \gamma^\mu \partial^\nu \psi_R = (c_{l,R})_{\mu\nu} (\bar{e}_R \gamma^\mu \partial^\nu e_R) + \sum_{i=1}^3 ((c_{u,R})_{\mu\nu} (\bar{u}_i \gamma^\mu \partial^\nu u_i)_R + (c_{d,R})_{\mu\nu} (\bar{d}_i \gamma^\mu \partial^\nu d_i)_R)$$

همانطور که می‌دانیم در  $SO(10)$  همه ی فرمیون‌های مدل استاندارد در یک نمایش ۱۶ تایی قرار می‌گیرند و بنابراین تنها یک

و  $\mu$  پارامتر جرم باز بهنجارش مربوط به روش منظم سازی است [12]. می توان نشان داد که

$$\beta_{x_j} \equiv \lim_{\varepsilon \rightarrow 0} \left[ -\rho_{x_j} a_1^j + \sum \rho_{x_k} x_k \frac{\partial a_1^j}{\partial x_k} \right] \quad (14)$$

که تنها یک قطب ساده  $a_1^j$  را شامل می شود. در کار کنونی تنها پارامتر غیر صفر  $\rho_q$  است. تابع بتا برای  $C_L$  و  $C_R$  با استفاده از این رابطه بدست می آید

$$\beta(C_L) = \frac{q^2}{6\pi^2} [c_L^{\mu\nu} + c_L^{\nu\mu} - (k_F)_\alpha^{\mu\nu}] \quad (15)$$

$$\beta(C_R) = \frac{q^2}{6\pi^2} [c_R^{\mu\nu} + c_R^{\nu\mu} - (k_F)_\alpha^{\mu\nu}]$$

با استفاده از تعریف  $\beta(x_j) = \beta_0 x_j + O(x_j^2)$  تحول ثابت

جفت شدگی خواهد بود

$$\bar{x}_j(t) = \frac{x_j}{1 + 2\beta_0 x_j t} \quad (16)$$

بسته به علامت  $\beta_0$ ، علامت مخرج می تواند مثبت یا منفی باشد. چون هر دو ثابت جفت شدگی مورد بحث ما به شکل کاملا یکسان تغییر می کنند این علامت برای کار ما اهمیت ندارد و تنها از مشتق آنها استفاده می کنیم. از محاسبات چنین استخراج می شود که مشتق  $C_L$  و  $C_R$  کاملا یکسان هستند

$$\bar{c}_L = \frac{c_L}{1 + 2\beta_0 c_L t} \quad (17)$$

$$\bar{c}_R = \frac{c_R}{1 + 2\beta_0 c_R t}$$

با توجه به توضیحات ارائه شده برای نظریه های وحدت،  $C_L$  و  $C_R$  در حد وحدت بزرگ با یکدیگر برابرند و از محاسبات هم می بینیم که این دو پارامتر دارای شیب برابرند.

### نتیجه گیری

در این مقاله نشان دادیم که  $C_L$  و  $C_R$  در حد نظریه های وحدت با یکدیگر برابرند و تحول آنها نیز یکسان است بنابراین به صورت یک نتیجه می توانیم اعلام کنیم که ضرایب  $C_L$  و  $C_R$  یکی هستند و پارامتر  $d$  از نظریه ی نقض لورنتس صفر است.

مجموع نمودارهای  $a$  و  $b$  و  $c$

$$= \frac{q^2}{3} I_0 \left[ c_{L,R}^{\nu\mu} \frac{1 \pm \gamma_5}{2} ((3\xi - 1)\gamma_\nu p_\mu - 4\gamma_\mu p_\nu) \pm 3m c_{L,R}^{\nu\mu} \gamma_5 \sigma_{\nu\mu} \right]$$

نمودار  $d$

$$= \frac{q^2}{3} I_0 (k_F)_\alpha^{\mu\nu} \gamma_\nu p_\mu$$

$$= \frac{q^2}{3} I_0 \left[ (k_F)_\alpha^{\mu\nu} \frac{1 + \gamma_5}{2} \gamma_\nu p_\mu + (k_F)_\alpha^{\mu\nu} \frac{1 - \gamma_5}{2} \gamma_\nu p_\mu \right] \quad (10)$$

با استفاده از روش باز بهنجارش ابعادی  $I_0 = \frac{i}{16\pi^2 \varepsilon}$  است.

توجه داشته باشید که جملات راست و چپ با یکدیگر قرار داده شده اند، علامت مثبت و منفی به ترتیب سهم  $C_L$  و  $C_R$  را نشان می دهند. بنابراین با استفاده از روش [11] شکل کلی از جملات  $L$  و  $R$  محاسبه می شوند.

$$i\bar{\psi}_b c_L^{\nu\mu} \frac{1 + \gamma_5}{2} \gamma_\nu p_\mu \psi_b + \bar{\psi}_b \Sigma_c |_{m=0} \psi_b$$

$$+ \bar{\psi}_b \Sigma_{k_F} |_{m=0} \psi_b + \dots = iZ_\psi \bar{\psi} (Z_{c_L})_{\alpha\beta}^{\nu\mu} c_L^{\alpha\beta} \frac{1 + \gamma_5}{2} \gamma_\nu p_\mu \psi \quad (11)$$

$$+ \frac{q^2}{3} I_0 \bar{\psi} \left[ c_L^{\nu\mu} \frac{1 + \gamma_5}{2} ((3\xi - 1)\gamma_\nu p_\mu - 4\gamma_\mu p_\nu) \right] \psi$$

$$+ \frac{4q^2}{3} I_0 \bar{\psi} \left[ (k_F)_\alpha^{\mu\nu} \gamma_\nu p_\mu \frac{1 + \gamma_5}{2} \right] \psi + \dots$$

$$i\bar{\psi}_b c_R^{\nu\mu} \frac{1 - \gamma_5}{2} \gamma_\nu p_\mu \psi_b + \bar{\psi}_b \Sigma_c |_{m=0} \psi_b$$

$$+ \bar{\psi}_b \Sigma_{k_F} |_{m=0} \psi_b + \dots = iZ_\psi \bar{\psi} (Z_{c_R})_{\alpha\beta}^{\nu\mu} c_R^{\alpha\beta} \frac{1 - \gamma_5}{2} \gamma_\nu p_\mu \psi$$

$$+ \frac{q^2}{3} I_0 \bar{\psi} \left[ c_R^{\nu\mu} \frac{1 - \gamma_5}{2} ((3\xi - 1)\gamma_\nu p_\mu - 4\gamma_\mu p_\nu) \right] \psi$$

$$+ \frac{4q^2}{3} I_0 \bar{\psi} \left[ (k_F)_\alpha^{\mu\nu} \gamma_\nu p_\mu \frac{1 - \gamma_5}{2} \right] \psi + \dots$$

از تحلیل روابط بالا ارتباط بین پارامترهای مربوطه به دست می آید:

$$(Z_{c_L})_{\alpha\beta}^{\nu\mu} c_L^{\alpha\beta} = c_L^{\mu\nu} + \frac{q^2}{12\pi^2 \varepsilon} (c_L^{\mu\nu} + c_L^{\nu\mu} - (k_F)_\alpha^{\mu\nu}) \quad (12)$$

$$(Z_{c_R})_{\alpha\beta}^{\nu\mu} c_R^{\alpha\beta} = c_R^{\mu\nu} + \frac{q^2}{12\pi^2 \varepsilon} (c_R^{\mu\nu} + c_R^{\nu\mu} - (k_F)_\alpha^{\mu\nu})$$

در یک نظریه با مجموعه ی پارامتر های تحول  $\{x_j\}, j = 1, 2, \dots, N$  تابع بتا برای یک پارامتر مشخص  $X_j$  به صورت زیر تعریف می شود

$$\beta_{x_j} \equiv \mu \frac{dx_j}{d\mu} \quad (13)$$

5055 (2000); V.A. Kosteleck'y, M. Mewes, **hep-ph/0308300**; V.A. Kosteleck'y, M.

Mewes, *Phys. Rev. D*, in press [hep-ph/0309025].

[۱۱] V. A. Kostelecky et al. "One-Loop Renormalization of Lorentz-Violating electrodynamics" *Phys. Rev. D* **65**, 056006(2002)

[arXiv:hep-th/0111123]

[۱۲] J.C. Collins, *Renormalization*, Cambridge University Press, Cambridge, 1986

[۱] R. M. Barnett et al., "Review of Particle Properties," *Phys. Rev. D* **54**, 1 (1996)

[۲] B. Schwingerheuer et al., *Phys. Rev. Lett.* **74**, 4376 (1995)

[۳] R. Carosi et al., *Phys. Lett.* **B 237**, 303 (1990)

[۴] D. Colladay and V. A. Kostelecky, "Lorentz-violating extension of the standard model," *Phys. Rev. D* **58**, 116002 (1998) [arXiv:hep-ph/9809521].

[۵] V. A. Kosteleck'y "CPT and Lorentz Symmetry II", *World Scientific, Singapore, 2002*; OPAL Collaboration, R. Ackerstaff et al., *Z. Phys. C* **76**, 401 (1997); DELPHI Collaboration, M. Feindt et al., preprint DELPHI 97-98 CONF **80** (1997); BELLE Collaboration, K. Abe et al., *Phys. Rev. Lett.* **86**, 3228 (2001); FOCUS Collaboration, J. M. Link et al., *Phys. Lett.* **B 556**, 7 (2003); D. Colladay, V. A. Kosteleck'y, *Phys. Lett.* **B 344**, 259 (1995); D. Colladay, V. A. Kosteleck'y, *Phys. Rev. D* **52**, 6224 (1995); D. Colladay, V. A. Kosteleck'y, *Phys. Lett.* **B 511**, 209 (2001); V. A. Kosteleck'y, R. Van Kooten, *Phys. Rev. D* **54**, 5585 (1996); O. Bertolami, D. Colladay, V. A. Kosteleck'y, R. Potting, *Phys. Lett.* **B 395**, 178

(1997); V. A. Kosteleck'y, *Phys. Rev. Lett.* **80**, 1818 (1998); V. A. Kosteleck'y, *Phys. Rev. D* **61**, 016002 (2000); V. A. Kosteleck'y, *Phys. Rev. D* **64**, 076001 (2001); N. Isgur et al, *Phys. Lett.* **B 515**, 333 (2001).

[۶] L.R. Hunter et al.: 'Limits on Local Lorentz Invariance from Hg and Cs Magnetometers'. In: *CPT and Lorentz Symmetry*, ed. by V.A. Kosteleck'y (World Scientific, Singapore, 1999); D. Bear et al., *Phys. Rev. Lett.* **85**, 5038 (2000); M.A. Humphrey et al., *Phys. Rev. A* **62**, 063405 (2000); V.A. Kosteleck'y, C.D. Lane, *Phys. Rev. D* **60**, 116010 (1999); V.A. Kosteleck'y, C.D. Lane, *J. Math. Phys.* **40**, 6245 (1999); R. Bluhm et al., *Phys. Rev. Lett.* **88**, 090801 (2002); R. Bluhm et al., **hep-ph/0306190**; D. Sudarsky, L. Urrutia, H. Vucetich, *Phys. Rev. Lett.* **89**, 231301 (2002); D.F. Phillips et al., *Phys. Rev. D* **63**, 111101 (2001); R. Bluhm et al., *Phys. Rev. Lett.* **82**, 2254 (1999).

[۷] H. Dehmelt et al., *Phys. Rev. Lett.* **83**, 4694 (1999); R.

Mittleman et al., *Phys. Rev. Lett.* **83**, 2116 (1999); G. Gabrielse et al., *Phys. Rev. Lett.* **82**, 3198 (1999); R. Bluhm et al., *Phys. Rev. Lett.* **79**, 1432 (1997); R. Bluhm et al., *Phys. Rev. D* **57**, 3932 (1998); R. Bluhm, V.A. Kosteleck'y, *Phys. Rev. Lett.* **84**, 1381 (2000); B. Heckel, 'Testing CPT and Lorentz Symmetry with a Spin-Polarized Torsion Pendulum'. In: *CPT and Lorentz Symmetry II*, ed. by V.A. Kosteleck'y, World Scientific, Singapore, 2002; E.O. Iltan, **hep-ph/0308151**; E.O. Iltan, **hep-ph/0309154**; R. Lehnert, **hep-ph/0401084**. [8] S. Carroll, G. Field, R. Jackiw, *Phys. Rev. D* **41**, 1231 (1990); V.A. Kosteleck'y, M. Mewes, *Phys. Rev. Lett.* **87**, 251304 (2001); V.A. Kosteleck'y, M. Mewes, *Phys. Rev. D* **66**, 056005 (2002); H. Müller et al., *Phys. Rev. D* **67**, 056006 (2003); J.A. Lipa et al., *Phys. Rev. Lett.* **90**, 060403 (2003); G.M. Shore, *Contemp. Phys.* **44**, 503 (2003).

[۹] V.W. Hughes et al., *Phys. Rev. Lett.* **87**, 111804 (2001); R.

Bluhm et al., *Phys. Rev. Lett.* **84**, 1098 (2000); E.O. Iltan, *JHEP* **0306**, 016 (2003).

[۱۰] D. Colladay, V.A. Kosteleck'y, *Phys. Rev. D* **55**, 6760 (1997);

S. Coleman, S.L. Glashow, *Phys. Rev. D* **59**, 116008 (1999); V. Barger, S. Pakvasa, T. Weiler, K. Whisnant, *Phys. Rev. Lett.* **85**,

## بررسی تاثیر کوارک برداری بر واپاشی های مزون $B_s$ در تئوری QCDF

زبرجد، سید محمد<sup>۱</sup>؛ فلاحتی، فاطمه<sup>۲</sup>؛ پورجعفرآبادی، اسماعیل<sup>۳</sup>

<sup>۱,۲,۳</sup>بخش فیزیک، دانشگاه شیراز

### چکیده

در این مقاله تأثیر مدل کوارک برداری را بر چند مورد از واپاشی‌های هادرونی مزون  $B_s$  مورد بررسی قرار داده‌ایم، محاسبات ما تغییراتی را برای نسبت شاخه‌ای این واپاشی‌ها تحت تأثیر کوارک برداری پیش‌بینی می‌کنند که بایستی با اطلاعاتی که در آینده از آزمایشگاه‌های ذرات مانند: LHC و آزمایشگاه‌های  $B$  به دست می‌آیند مورد مقایسه قرار گیرند.

## Investigation of Vector Quark Effect on $B_s$ Meson Decays using of QCDF Theory

Zebarjad, S. Mohamad<sup>1</sup>; Falahati, Fatemeh<sup>2</sup>; Pourjafarabadi, Esmail<sup>3</sup>

<sup>1,2,3</sup> Department of Physics, University of Shiraz

### Abstract

We've investigated the effect of vector quark model on some of hadronic  $B_s$  meson decays, It is shown that Branching ratios of these decays receive shifts from the presence of a vector quark, which can be compared with future experimental data at LHC and B factories.

PACS No. 12.15.Mm, 13.25.Hw, 11.30.Hv

### مقدمه

آینده شتاب دهنده‌های هادرونی مانند CDF, DO, HERA, BTeV, و LHCb واپاشی‌های مزون  $B_s$  را با دقت زیادی مورد بررسی قرار خواهند داد و اطلاعات زیادی راجع به آنها بدست خواهد آمد. مطالعه جریان‌های خنثی که همراه با تغییر طعم هستند (FCNC)<sup>۳۵</sup> در فیزیک ذرات یک نقش کلیدی را در پیشرفت فیزیک انرژی‌های بالا بازی می‌کند. به خاطر مکانیزم GIM<sup>۳۶</sup>، FCNC در مدل استاندارد (SM) در حلقه‌های مرتبه‌ی بالاتر اتفاق می‌افتد، و بنابراین FCNC را یک زمینه‌ی مناسب برای تحقیق در مورد فیزیک ورای مدل استاندارد می‌سازد. در این مقاله قصد داریم تاثیر کوارک برداری VQ را بر واپاشی‌های مزون  $B_s$  بررسی کنیم. بنابراین توجه خود را جلب مدلی می‌کنیم که شامل یک کوارک برداری پایین D علاوه بر سه دسته کوارک‌های معمولی مدل استاندارد می‌باشد. تفاوت این کوارک جدید با کوارک‌های قبلی در این است که مولفه‌های چپ دست و راست

اخیرا پیشرفت‌های قابل توجهی در مطالعه واپاشی‌های مزون B اتفاق افتاده است، و از لحاظ آزمایشگاهی تعداد زیادی از این واپاشی‌ها به وسیله CLEO و آزمایشگاه‌های  $B^{32}$  مشاهده شده‌اند، و به زودی کانال‌های دیگر واپاشی مزون B با دقت زیادی اندازه‌گیری خواهند شد. با انباشته شدن این اطلاعات مدل استاندارد با جزئیات بیشتری مورد آزمون قرار خواهد گرفت. از لحاظ تئوری روش‌های جالب زیادی می‌توان برای مطالعه آثار غیر قابل فاکتورگیری، در عناصر ماتریس هادرونی پیشنهاد داد، از جمله QCDF<sup>۳۳</sup> [1]، PQCD<sup>۳۴</sup> [2] و غیره. به خاطر اینکه مزون  $B_s$  با فرکانس زیادی نوسان می‌کند و واپاشی‌های غیر لپتونی آن هنوز از مشاهده دور مانده‌اند، برخلاف مزون  $B_{u,d}$  تاکنون تعداد کمی از واپاشی‌های مزون سنگین‌تر  $B_s$  مشاهده شده‌اند. هر چند که در

<sup>۳۵</sup>Flavor changing neutral current

<sup>۳۶</sup>Glashow–Iliopoulos–Maiani mechanism

<sup>۳۲</sup>B factories

<sup>۳۳</sup>QCD factorization

<sup>۳۴</sup>Perturbative QCD

$B_s$  ناپود و دو مزون  $M_1$  و  $M_2$  تولید می‌شوند در  $\bar{q}q$  قرار می‌گیرند و نهایتاً دامنه واپاشی به عنوان مثال برای گذار  $B_s \rightarrow \bar{K}K$  به صورت زیر داده می‌شود:

$$A_{B_s \rightarrow \bar{K}K} = B_{\bar{K}K} \delta_{ps} b_1^2 + A_{\bar{K}K} [\alpha_1^2 + \delta_{ps} \beta_1^2] \quad (3)$$

در این رابطه  $\alpha_i$ ها ترکیبی از  $\alpha_i$ ها هستند که به صورت زیر بر حسب ضرایب ویلسون و یکسری توابع خاص که مربوط به محاسبه نمودارهای شکل(۱) می‌باشند، تعریف می‌شوند:

$$\alpha_i^p(M_1 M_2) = (C_i + \frac{G_i \tau_i}{N_c}) N_i(M_2) + \frac{G_i \tau_i}{N_c} \frac{G_i \tau_i}{4\pi} [V_i(M_2) + \frac{4\pi^2}{N_c} \bar{H}_i(M_1 M_2)] + P_i^p(M_2) \quad (4)$$

$$P_i^p(M_2)$$

و  $b_i$  ها و  $\beta_i$  ها مربوط به ناپودی‌های ضعیف<sup>۳۷</sup> می‌باشند، جزئیات در مورد محاسبه دامنه واپاشی را می‌توانید در [3] مشاهده نمایید. در نهایت وقتی دامنه واپاشی به دست آمد، نسبت شاخه‌ای به صورت زیر محاسبه می‌گردد:

$$Br(B_s \rightarrow PP) = \tau_{B_s} \frac{P_s}{\Gamma_{B_s}} |A(B_s \rightarrow PP)|^2 \quad (5)$$

$$Br(B_s \rightarrow PV) = \tau_{B_s} \frac{P_s^2}{\Gamma_{B_s}} |A(B_s \rightarrow PV)|^2 \quad (6)$$

در اینجا ما واپاشی‌هایی که در آنها مزون  $B_s$  به دو مزون اسکالر و یا یک مزون برداری و یک مزون اسکالر می‌رود را بررسی کرده‌ایم گذارهایی که بررسی کرده‌ایم عبارتند از:

$$B_s \rightarrow K^+ K^-, B_s \rightarrow \eta\eta, B_s \rightarrow \pi^+\pi^-, B_s \rightarrow \rho^+\rho^-, B_s \rightarrow \eta\phi, B_s \rightarrow K^* K^{*-}$$

روابط مربوطه برای بدست آوردن دامنه‌های واپاشی را می‌توانید در [3] مشاهده نمایید. بعد از اینکه دامنه‌ی واپاشی و سپس نسبت شاخه‌ای را در مدل استاندارد حساب کردیم، نوبت به این می‌رسد که تأثیر کوآرک برداری را بر این واپاشی‌ها ببینیم.

تأثیر کوآرک برداری بر واپاشی‌های مزون  $B_s$ :

دست آن حالت یکتای گروه  $SU(2)_L$  می‌باشند. پس ماتریس  $V_{CKM}$  به یک ماتریس  $3 \times 4$  تعمیم می‌یابد. در اینجا ابتدا به روش QCDF دامنه‌ی واپاشی در مدل استاندارد را برای واپاشی‌های هادرونی مزون  $B_s$  بدست آورده‌ایم و سپس تأثیر کوآرک برداری را بر این واپاشی‌ها اعمال نموده‌ایم، تأثیر کوآرک برداری در ضرایب ویلسون ظاهر می‌شود.

محاسبه دامنه واپاشی در مدل استاندارد با روش QCDF

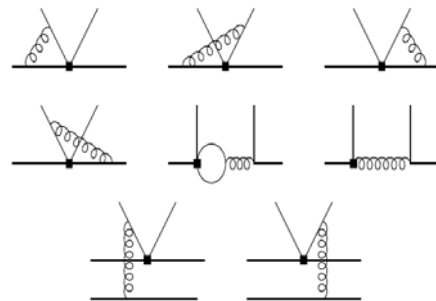
همیلتونی موثر برای واپاشی‌های هادرونی مزون  $B$  در غیاب کوآرک  $C$  به صورت زیر می‌باشد

$$\mathcal{H}_{eff} = \frac{G_F}{\sqrt{2}} \sum_{p=u,c} \lambda_p^{(D)} (C_1 Q_1^p + C_2 Q_2^p + \sum_{i=3}^{10} C_i Q_i + C_{7\gamma} Q_{7\gamma} + C_{8g} Q_{8g}) + h.c \quad (1)$$

در این رابطه داریم  $\lambda_p^{(D)} = V_{pb} V_{pd}^*$  که  $D = d, s$  و  $p = u, c, t$  می‌باشند. اگر همیلتونی موثر برهم کنش ضعیف را برای یک فرایند خاص اعمال کنیم، دامنه‌ی واپاشی آن به صورت زیر نوشته می‌شود:

$$\langle M_1 M_2 | \mathcal{H}_{eff} | B \rangle = \sum_{p=u,c} \lambda_p^{(D)} \langle M_1 M_2 | \mathcal{H}_A^p + \mathcal{H}_B^p | B \rangle \quad (2)$$

$\mathcal{H}_A^p$  و  $\mathcal{H}_B^p$  ترکیبی از ضرایب ویلسون(اثرات فواصل کوتاه) و عناصر ماتریسی (اثرات فواصل بلند) هستند و اثرات مربوط به تصحیحات QCD نیز در آنها لحاظ می‌کنیم این تصحیحات مربوط به انتقال گلئون بین خطوط کوآرکی(شکل(۱))، و در نظر گرفتن ناپودی‌های ضعیف می‌باشند. اثر نمودارهای شکل(۱) در  $\mathcal{H}_A^p$  و اثر نمودارهایی که در آنها مزون



شکل (۱): تصحیحات QCD مربوط به انتقال گلئون بین خطوط کوآرکی

$$C_5^{FCNC}(M_W) = \frac{-L}{72\pi V_b V_s} C_5(M_W)$$

$$C_7^{FCNC}(M_W) = \frac{-L}{12\pi V_b V_s} \sin^2 \theta_W + \frac{L}{12\pi V_b V_s} C_5(M_W)$$

$$C_9^{FCNC}(M_W) = \frac{L}{12\pi V_b V_s} (1 - \sin^2 \theta_W) + \frac{L}{12\pi V_b V_s} \left( \frac{1 - \sin^2 \theta_W}{2} - \frac{L}{12\pi V_b V_s} \right)$$

سپس هر یک از این ضرایب را در مقیاس  $M_W$  می‌نویسیم. در نهایت ضرایب ویلسون جدید با اضافه کردن این تصحیحات از رابطه‌ی زیر به دست می‌آیند:

$$C_i^{FCNC} = C_i + C_i^{FCNC} \quad i = 3, \dots, 10, 7, 8, 9 \quad (10)$$

پس حضور کوارک برداری باعث شد که در دامنه‌ی واپاشی پارامتر جدید  $U_{cb}$  ظاهر شود که آن را می‌توان به صورت  $U_{cb} = |U_{cb}| e^{i\phi_{cb}}$  نوشت. ناحیه مجاز پارامترهای  $|U_{cb}|$  و  $\phi_{cb}$  در مقاله [5] داده شده است. بنابراین نمودار تغییرات نسبت-های شاخه‌ای را بر حسب این دو پارامتر رسم می‌کنیم تا ببینیم که تأثیر مدل کوارک‌های برداری چه مقادیر بیشینه و کمینه‌ای برای آنها پیش‌بینی می‌کند.

### تحلیل نتایج:

نتایج محاسبات ما را می‌توانید در جدول (۱) مشاهده نمایید، در این جدول نسبت شاخه‌ای برای شش مورد از واپاشی‌های مزون  $B_s$  را ابتدا در مدل استاندارد و سپس مقادیر بیشینه‌ی تغییرات آنها را تحت تأثیر کوارک برداری در محدوده مجاز پارامترهای آن مشاهده می‌نمائید.

جدول (۱): نسبت‌های شاخه‌ای در مدل استاندارد و محدوده تغییرات آنها در مدل کوارک برداری

گذار	مدل استاندارد	مدل کوارک برداری
$B_s \rightarrow \pi^+ \pi^-$	$2.044 \times 10^{-6}$	$2.099 \times 10^{-6}$ $2.004 \times 10^{-6}$
$B_s \rightarrow \eta \eta$	$1.499 \times 10^{-6}$	$1.544 \times 10^{-6}$ $1.392 \times 10^{-6}$
$B_s \rightarrow \eta' \eta$	$7.598 \times 10^{-7}$	$1.155 \times 10^{-6}$ $1.545 \times 10^{-7}$
$B_s \rightarrow \pi^+ \pi^0$	$3.016 \times 10^{-6}$	$4.909 \times 10^{-6}$ $2.549 \times 10^{-6}$
$B_s \rightarrow \eta \eta'$	$1.547 \times 10^{-6}$	$5.000 \times 10^{-6}$ $6.590 \times 10^{-7}$
$B_s \rightarrow \rho^+ \rho^-$	$1.520 \times 10^{-6}$	$1.24 \times 10^{-6}$ $7.991 \times 10^{-7}$

در اینجا ما مدل کوارک‌های برداری را بررسی می‌کنیم، این مدل بسط ساده‌ای از مدل استاندارد است که در آن علاوه بر سه دسته‌ی کوارک‌های معمولی یک دسته‌ی چهارم کوارک‌ها وجود دارند که تفاوتشان با کوارک‌های معمولی این است که برخلاف آنها که حالت‌های دوتایی گروه  $SU(2)_L$  هستند، این کوارک‌های جدید نمایش‌های یکتایی این گروه می‌باشند، و همین امر باعث می‌شود که مستقیماً در برهم‌کنش‌های ضعیف شرکت نکنند. پس اگر این کوارک‌های جدید را هم درون مدل قرار دهیم داریم:

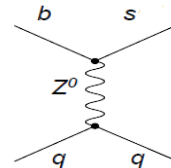
$$\begin{pmatrix} u \\ d \end{pmatrix} \quad \begin{pmatrix} c \\ s \end{pmatrix} \quad \begin{pmatrix} t \\ b \end{pmatrix} \quad \begin{pmatrix} U \\ D \end{pmatrix} \quad (7)$$

این کوارک‌های جدید چون حالت‌های یکتایی گروه  $SU(2)_L$  هستند، مستقیماً در برهم‌کنش‌های ضعیف شرکت نمی‌کنند و این امر باعث غیر یکانی شدن ماتریس آمیختگی کوارک‌ها  $V_{CKM}$  خواهد شد. و بین عناصر این ماتریس رابطه زیر بدست می‌آید:

$$U_{cb} = (V_{cb}^* V_{ub})_{22} = V_{cb}^* V_{ub} + V_{cb}^* V_{ub} + V_{cb}^* V_{ub} \quad (8)$$

و همچنین سبب می‌شود که فرایند FCNC از طریق

نمودارهای درختی نیز مجاز باشد، یعنی تأثیر نمودار شکل (۲) را نیز باید در نظر بگیریم.



شکل (۲): در صورت وجود کوارک برداری فرایند FCNC می‌تواند از طریق نمودار درختی اتفاق بیفتد

اولین تأثیر وجود این نمودار در ضرایب ویلسون  $C_7$  و  $C_9$  و ظاهر می‌شود و همچنین بخاطر مکانیزم GIM تصحیحاتی نیز باید در توابع اینامی صورت گیرد [4] و ضرایب ویلسونی که در آنها این توابع حضور دارند بایستی تصحیح شوند، بنابراین تصحیحات کلیه ضرایب ویلسون به صورت زیر داده می‌شوند:

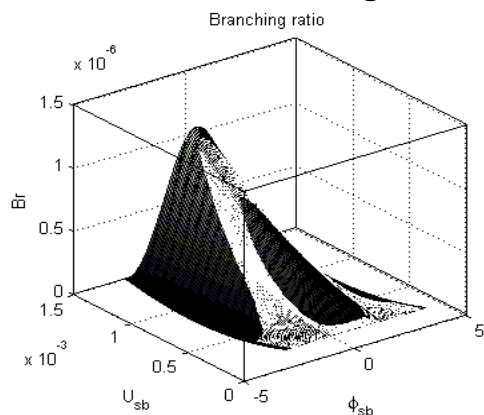
$$C_7^{FCNC}(M_W) = \frac{-g^2}{8\pi V_b V_s} - \frac{g^2}{16\pi V_b V_s} \left( \frac{1 - \sin^2 \theta_W}{2} - \frac{L}{12\pi V_b V_s} \right) \quad (9)$$

$$C_9^{FCNC}(M_W) = \frac{-L}{72\pi V_b V_s} C_9(M_W)$$

$$C_1^{FCNC}(M_W) = \frac{-L}{12\pi V_b V_s} C_1(M_W)$$



برای نمونه یکی از نمودارهایی را که با نرم افزار مطلب رسم کرده‌ایم را می‌توانید در شکل (۳) مشاهده نمائید. می‌بینید که مدل کوآرک برداری یک محدوده تغییرات را برای نسبت شاخه‌ای این گذارها پیش‌بینی می‌کند و به عنوان مثال برای گذارهای  $B_s \rightarrow \rho^+ \eta$  و  $B_s \rightarrow \pi^+ \eta$  تغییر خیلی زیادی را نسبت به مدل استاندارد پیش‌بینی می‌کند. پس ما باید ببینیم آزمایش‌هایی که در آینده در آزمایشگاه‌های B و LHC انجام می‌شوند چه اطلاعات جدیدی در این موارد در اختیار ما می‌گذارند و آیا این پیش‌بینی‌ها با مشاهدات سازگار خواهند بود یا خیر، اگر داده‌های آزمایشگاهی با پیش‌بینی مدل استاندارد تفاوت زیادی داشته باشند و در محدوده‌ی مجاز مدل کوآرک برداری قرار بگیرند، پس شاید مدل کوآرک برداری توضیح خوبی برای این تفاوت باشد.



شکل(۳): نمودار تغییرات نسبت شاخه‌ای برای گذار  $B_s \rightarrow \rho^+ \eta$  ناحیه سفید رنگ محدوده مجاز پارامترهای  $U_{sb}$  و  $\phi_{sb}$  می‌باشد.

## مراجع

- [۱] M. Beneke, G. Buchalla, M. Neubert and C. T. Sachrajda, Phys. Rev. Lett. 83, 1914, (1999); Nucl. Phys. B591, 313, (2000).
- [۲] C. H. Chang, and H. N. Li, Phys. Rev. D55, 5577, (1997).
- [۳] H. N. Li, Prog.Part. and Nucl. Phys. 51, 85 (2003).
- [۴] M. R. Ahmady and M. Nagashima, in Ochanomizu University Work-shop, ed. M. R. Ahmady, A. H. Fariborz and A. Sugamoto, June 2001, Tokyo.
- [۵] M. Beneke and M. Neubert, Nucl. Phys. B 651 (2003) 225 [hep-ph/0210085].

## معادله دی-کی-پی تحت یک پتانسیل برداری نمایی

## با استفاده از مکانیک کوانتومی ابرتقارنی

زرین کمر، صابر<sup>۱</sup>؛ رجیبی، علی اکبر<sup>۱</sup>؛ حسن آبادی، حسن<sup>۱</sup><sup>۱</sup>دانشکده فیزیک دانشگاه صنعتی شاهرود، خیابان تهران، شاهرود

## چکیده

معادله دی-کی-پی ذرات نسبیتی با اسپین صفر و یک را در یک چارچوب واحد توصیف می‌کند. در برخی از موارد، نتایج این معادله از معادلات کلین-گوردون و پروکا به مقادیر تجربی نزدیک تر است. در این مقاله، با استفاده از مکانیک کوانتومی ابرتقارنی، قسمت اسپین صفر معادله این معادله را تحت یک پتانسیل نمایی به طور تحلیلی حل می‌کنیم. نتایج بویژه در بررسی کوارکونیم کاربرد دارند.

DKP Equation under a Vector Exponential Potential  
via Supersymmetry Quantum MechanicsZarrinkamar, Saber<sup>1</sup>; Rajabi, Ali Akbar<sup>1</sup>; Hassanabadi, Hassan<sup>1</sup><sup>1</sup> Department of Physics, Shahrood University of Technology, Shahrood

## Abstract

The DKP equation describes relativistic spin-zero and one particles in a unified basis. In some cases, the results obtained from the DKP equation are closer to experimental ones than those of Klein-Gordon or Proca equations. Here, using the supersymmetry quantum mechanics, the spin-0 section of the equation is analytically solved. The results are particularly useful in the study of quarkonium.

PACS No. 03.65.Ca; 03.65.Pm, 03.65.Nk.

تجربی دارند. در این مقاله، این معادله را تحت یک پتانسیل نمایی برداری در نظر می‌گیریم و برای حل معادله از روش قدرتمند مکانیک کوانتومی ابرتقارنی استفاده می‌کنیم. ای روش نه تنها برای معادله غیر نسبیتی شرودینگر، بلکه برای سایر معادلات موج مکانیک کوانتومی از جمله کلین-گوردون، دیراک و دی-کی-پی نیز مورد استفاده قرار گرفته است [۶-۷].

## معادله دی-کی-پی

برای اختصار از معادله زیر شروع میکنیم

$$(\beta \cdot \vec{p}c + mc^2 + U_s + \beta^0 U_v) \psi(\vec{r}) = \beta^0 E \psi(\vec{r}), \quad (1)$$

که

## مقدمه

مدل پتانسیل، علی‌رغم قدمتش، کماکان یکی از جذاب‌ترین مدل‌های فیزیکی مورد استفاده در اسپکتروسکوپی ذرات است. بر خلاف معادلات شرودینگر، کلین-گوردون و دیراک، بررسی‌های بسیار اندکی بر روی معادله دی-کی-پی [۱-۳] صورت گرفته است. این معادله در یک چارچوب واحد، ذرات اسپین صفر و یک نسبیتی را توصیف می‌کند. اگر چه بسیاری معتقدند این معادله دقیقاً با معادلات نسبیتی کلین-گوردون و پروکا یکسان است، بسیاری نیز این هم‌ارزی را زیر سوال می‌برند [۴-۵]. در بسیاری از موارد نیز نتایج معادله دی-کی-پی همخوانی بیشتری با نتایج

برقرار باشد، عملاً" توابع موج و طیف انرژی سیستم به دست می آیند. در رابطه اخیر  $a_1$  مجموعه جدیدی از پارامترهاست که از نگاشت  $F: a_0 \mapsto a_1 = F(a_0)$  تعیین میشود و جمله باقیمانده  $R(a_1)$  شامل متغیر نیست. با برقراری شر ناوردایی پیمانه ای

داریم  $[\lambda]$

$$E_n = \sum_{s=1}^n R(a_s), \quad (10)$$

$$\phi_n^-(a_0, x) = \prod_{s=0}^{n-1} \left( \frac{A^\dagger(a_s)}{[E_n - E_s]^{1/2}} \right) \phi_0^-(a_n, x), \quad (11)$$

$$\phi_0^-(a_n, x) = C \exp \left\{ -\int_0^x dz \Phi(a_n, z) \right\}. \quad (12)$$

$$A_s^\dagger = -\frac{\partial}{\partial x} + \Phi(a_s, x). \quad (13)$$

### یک مثال ابرتقارنی ساده

ابرتانسیل

$$\Phi(x) = A - B \exp(-\beta x), \quad (14)$$

را در نظر می گیریم. پتانسیل های همراه عبارتند از

$$\begin{aligned} V_- &= A^2 + B^2 \exp(-2\beta x) - 2B(A + \beta/2) \exp(-\beta x), \\ V_+ &= A^2 + B^2 \exp(-2\beta x) - 2B(A - \beta/2) \exp(-\beta x), \end{aligned} \quad (15)$$

دو پتانسیل با نگاشت

$$A_1 = F(A) = A - \beta. \quad (16)$$

دارای ناوردایی شکل هستند. بنابراین، از رابطه (۱۰) داریم

$$\begin{aligned} A_1 &= F(A) = A - \beta, \\ A_2 &= F(A_1) = A_1 - \beta = A - 2\beta, \\ &\vdots \\ A_s &= F(A_{s-1}) = A - n\beta, \end{aligned} \quad (17)$$

و در نتیجه  $[\lambda]$

$$\begin{aligned} E_n &= \sum_{s=1}^n R(A_s) = \\ &R(A_1) + R(A_2) + \dots + R(A_n) \\ &= (A^2 - A_1^2) + (A_1^2 - A_2^2) + \dots + (A_{n-1}^2 - A_n^2) \\ &= A^2 - A_n^2 = A^2 - (A - n\beta)^2. \end{aligned} \quad (18)$$

و ویژه توابع عبارتند از  $[\lambda]$

$$y^{s-n} \exp(-y/2) L_n^{2s-2n}(y), \quad (19)$$

که

$$\psi(\vec{r}) = \begin{pmatrix} \psi_{upper} \\ i\psi_{lower} \end{pmatrix}, \quad (2)$$

$$\begin{aligned} \psi_{upper} &\equiv \begin{pmatrix} \phi \\ \varphi \end{pmatrix}, \\ \psi_{lower} &\equiv \begin{pmatrix} A_1 \\ A_2 \\ A_3 \end{pmatrix}, \end{aligned} \quad (3)$$

$U_s, U_v^o$  به ترتیب پتانسیل های اسکالر و برداری را نشان می

دهند. پس از ساده کردن داریم

$$\begin{aligned} (mc^2 + U_s)\phi &= (E - U_v^o)\varphi + \hbar c \vec{\nabla} \cdot \vec{A}, \\ \vec{\nabla} \phi &= (mc^2 + U_s)\vec{A}, \\ (mc^2 + U_s)\varphi &= (E - U_v^o)\phi. \end{aligned} \quad (4)$$

جواب کلی را به فرم زیر در نظر می گیریم:

$$\psi_{JM}(r) = \begin{pmatrix} f_{nJ}(r) Y_{JM}(\Omega) \\ g_{nJ}(r) Y_{JM}(\Omega) \\ i \sum_L h_{nJL}(r) Y_{JL1}^M(\Omega) \end{pmatrix}, \quad (5)$$

پس از کمی محاسبه داریم

$$\begin{aligned} &\frac{d^2 F(r)}{dr^2} \left[ 1 + \frac{\zeta_J^2}{\alpha_J^2} \right] \\ &\leq -\frac{dF(r)}{dr} \left[ \frac{U'_s}{(m+U_s)} \left( 1 + \frac{\zeta_J^2}{\alpha_J^2} \right) \right] \\ &+ F(r) \left[ -\frac{J(J+1)}{r^2} \left( 1 + \frac{\zeta_J^2}{\alpha_J^2} \right) + \frac{U'_s}{(m+U_s)} \left( \frac{J+1}{r} - \frac{\zeta_J^2 J}{\alpha_J^2 r} \right) \right. \\ &\left. - \frac{1}{\alpha_J^2} \left( (m+U_s)^2 - (E - U_v^o)^2 \right) \right] = 0, \quad (6) \\ &\zeta_J = \sqrt{J/(2J+1)} \text{ و } \alpha_J = \sqrt{(J+1)/(2J+1)} \end{aligned}$$

### مکانیک کوانتومی ابرتقارنی

در این قسمت مکانیک کوانتومی ابرتقارنی رت تا آنجا که

ممکن است به طور خلاصه معرفی می کنیم. قدم اول در استفاده از این روش پیدا کردن جواب معادله ریکاتی زیر است

$$V_{\mp} = \Phi^2 \mp \Phi', \quad (7)$$

اگر جواب این معادله را پیدا کنیم و شرط ناوردایی پیمانه ای، یعنی

$$V_+(a_0, x) = V_-(a_1, x) + R(a_1), \quad (9)$$

یک معادله هیون سر و کار داریم که حالت کلی تر معادلات فوق هندسی است و نا گفته پیداست که کار مشکل تر خواهد بود. این وضعیت یکی از مسایل مهم فیزیک ذرات است که هنوز جواب های سرراستی برای آن در اختیار نداریم.

### نتیجه گیری

در این مقاله ضمن معرفی مختصر معادله دی=کی=پی، این معادله را در حضور یک پتانسیل برداری نمایی بررسی کرده ایم. همان طور که دیدیم، با استفاده از یک تقریب فیزیکی مناسب و مکانیک کوانتومی ابرتقارنی، مسئله به سادگی حل می شود و نیازی به روش های عددی پرزحمت و وقتگیر نیست.

### مرجع ها

- [۱] N. Kemmer, Proc. R. Soc. A 166, 127 (1938)  
 [۲] R. J. Duffin, Phys. Rev. 54, 1114 (1938)  
 [۳] N. Kemmer, Proc. R. Soc. A, 173, 91 (1939)  
 [۴] T. R. Cardoso, L. B. Castro and A. S. de Castro, Int. J. Theor. Phys. 49 (2010) 10-17.  
 [۵] A. S. de Castro, J. Phys. A: Math. Theor. 44 (2011) 035201.  
 [۶] S. Zarrinkamar, A. A. Rajabi and H. Hassanabadi, Ann. Phys. (New York) 325 (2010) 2522-2528.  
 [۷] S. Zarrinkamar, A. A. Rajabi, H. Hassanabadi and H. Rahimov, Mod. Phys. Lett. A 26, 22 (2011) 1621-1629.  
 [۸] F. Cooper et al., Phys. Rep. 251 (1995) 267-385.

$$y = (2B/\beta)\exp(-\beta x),$$

$$s = A/\beta. \quad (20)$$

### قسمت شعاعی معادله

اکنون پتانسیل نمایی  $U_v = Ve^{-a(r-r_0)}$  را در نظر میگیریم. با استفاده از تقریب پکرینس مانند [۹]

$$\frac{1}{r^2} \approx (C_0 + C_1 e^{-\alpha x} + C_2 e^{-2\alpha x}), \quad (21)$$

که در آن

$$x = \frac{r - r_0}{r_0} \quad (28-a)$$

$$\alpha = ar_0 \quad (28-b)$$

$$C_0 = \frac{1}{r_0^2} \left( 1 - \frac{3}{\alpha} + \frac{3}{\alpha^2} \right),$$

$$C_1 = \frac{1}{1r_0^2} \left( \frac{4}{\alpha} - \frac{6}{\alpha^2} \right),$$

$$C_2 = \frac{1}{r_0^2} \left( \frac{-1}{\alpha} + \frac{3}{\alpha^2} \right).$$

میرسیم به

$$\left( \frac{d^2}{dx^2} - e^{-\alpha x} (C_1 J(J+1) - 2EV) r_0^2 \right. \\ \left. + e^{-2\alpha x} (V^2 - C_2 J(J+1)) r_0^2 \right. \\ \left. + (C_0 J(J+1) + E^2 - m^2) r_0^2 \right) F(x) = 0, \quad (22)$$

که درست مشابه با مثال ابرتقارنی بخش قبل است. در نتیجه با

مشابهت با قسمت قبل داریم

$$B = \pm r_0 \sqrt{(V^2 - C_2 J(J+1))},$$

$$A = \pm r_0 \sqrt{C_0 J(J+1)},$$

$$\beta = \frac{r_0^2 (C_1 J(J+1) - 2EV)}{B} - 2A. \quad (23)$$

و ویژه مقادیر انرژی در رابطه زیر صدق می کنند

$$\varepsilon_n = r_0^2 (E^2 - m^2) = C_0 J(J+1) r_0^2 -$$

$$r_0 \left( \pm \sqrt{C_0 J(J+1)} - \right.$$

$$\left. n \left( \frac{(C_1 J(J+1) - 2EV)}{\pm \sqrt{(V^2 - C_2 J(J+1))}} \mp 2\sqrt{C_0 J(J+1)} \right) \right)^2. \quad (24)$$

نکته ای که در پایان باید به آن اشاره کنیم، حل معادله دی-

کی=پی تحت پتانسیل اسکالر است. در چنین وضعیتی در واقع با

محاسبه ثابت پیوندی در برهم کنش‌های  $e^-e^+$ ،  $p^-p^-$ زمردیان، محمد ابراهیم<sup>۱</sup>؛ نجفی، فاطمه<sup>۲</sup><sup>۱</sup>دانشگاه فیزیک دانشگاه فردوسی مشهد، میدان آزادی، مشهد

## چکیده

بررسی نابودی الکترون-پوزیترون به هادرون‌ها نشان می‌دهد که علاوه بر رویدادهای دو و سه جتی، آثاری نیز از رویدادهای چهار جتی مشاهده می‌شود، که می‌توان آن را به عنوان تابش گلوئون از کوآرک‌ها تفسیر کرد. در این مقاله به بررسی و تحلیل داده‌های واقعی و همچنین بررسی و تحلیل داده‌های مونت کارلو که از طریق برنامه *pythia* اقتباس شده است می‌پردازیم. و با استفاده از آن‌ها رویدادهای چهار جتی را از بقیه رویدادها تفکیک می‌کنیم. برای انجام این کار از الگوریتم *JADE* بهره می‌بریم. پس از آن ثابت پیوندی را برای این رویدادها و با استفاده از روش استفان حساب می‌کنیم. این محاسبه را در انرژی‌های مختلف *pythia* برای داده‌های مونت کارلو الکترون-پوزیترون و پروتون-پاد پروتون انجام می‌دهیم.

Measurements of Strong Coupling Constant in  $e^-e^+$  and  $p^-p^-$  InteractionsZomorrodian Mohammad Ebrahim<sup>1</sup>; Najafi, Fatemeh<sup>2</sup><sup>1,2</sup> Department of Physics, Ferdowsi, University of Mashhad

## Abstract

*Perturbation QCD theory is one of the most important branch of elementary particles. In this thesis we present results obtained from a study of the structure of hadronic events from  $e^-e^+$  and  $p^-p^-$  annihilation data at different center of mass energies both for real data and for Monte-carlo data. First we separate four jet events by using JADE algorithm introduced by the JADE group. Next the strong coupling constant ( $\alpha_s$ ) is measured by stephan equation. Our results are consistent with the coupling constant predicted by QCD theories.*

## مقدمه

تشکیل جت هادرونی می‌دهند. [۲] همان طور که در نظریه QCD تابش یک گلوئون منجر به تولید یک رویداد سه جتی می‌شود، تابش دو گلوئون یک رویداد چهار جتی تولید می‌کند. [۳] هدف مادر این مقاله یافتن ثابت پیوندی با استفاده از الگوریتم *JADE* [۴] در رویدادهای چهار جتی می‌باشد. در بخش ۱ به تفکیک کسر رویدادهای چند جتی برای داده‌های واقعی و داده‌های LEP [۵] می‌پردازیم و آن‌ها را با یکدیگر مقایسه می‌کنیم. در بخش ۲ و ۳ ثابت پیوندی را در برهمکنش‌های  $e^-e^+$  و  $pp^-$  محاسبه می‌کنیم. بخش ۴ نتیجه گیری را شامل می‌شود.

پیش‌بینی‌هایی که بر مبنای QCD صورت می‌گیرد، بر یک پارامتر بنیادی یعنی قدرت جفت شدگی بین پارتون‌ها (کوآرک‌ها و گلوئون‌ها) استوار است که آن را ثابت جفت شدگی نیروی قوی  $\alpha_s$  می‌نامند. مقدار  $\alpha_s$  را می‌توان با استفاده از برهمکنش‌هایی که شامل کوآرک و گلوئون است اندازه‌گیری نمود. [۱] رایج‌ترین روش اندازه‌گیری  $\alpha_s$  از طریق آزمایشاتی است که در آن دو ذره ( $e^-e^+$ ) یا ( $pp^-$ ) در یک شتاب دهنده به انرژی بالایی می‌رسند. فرایند نابودی الکترون-پوزیترون به هادرون‌ها به عنوان ساده‌ترین مثال از تولید چند ذره ای است. در اثر نابودی  $e^-e^+$  جفت ذرات و پاد ذرات تولید می‌شوند. این ذرات و پاد ذرات می‌توانند کوآرک و پاد کوآرک تولید کنند، اما کوآرک‌ها به دلیل داشتن ویژگی حبس نمی‌توانند به صورت مجزا و مستقل وجود داشته باشند. بنابراین

## تفکیک کسر رویدادهای چند جتی

به منظور تفکیک جت‌ها در هر رویداد برای هر زوج ذره که در حالت کلی از جت‌های مختلف می‌باشند کمیت  $Y_{ij}$  را تعریف می‌کنیم. (۱)

می یابد. هم چنین فراوانی رویدادهای سه و چهار جتی یک بیشینه حول  $Y_{cut} = 0/01$  از خود نشان می دهد و پس از آن با افزایش  $Y_{cut}$  این فراوانی کاهش می یابد. بنابراین تعداد جت های تفکیک یافته در هر رویداد معین تابعی از  $Y_{cut}$  می باشد.

شکل های (۱) و (۲) کسر رویدادها را برای داده های مونت کارلو داده های واقعی نشان می دهند. با مقایسه شکلها مشاهده می کنیم روند تغییرات کسر رویدادهای چند جتی هم برای داده های مونت کارلو وهم برای داده های واقعی با یکدیگر سازگارند.

### محاسبه $\alpha_s$ با استفاده از آهنگ رویدادهای چهار جتی

#### در برهم کنش $e^-e^+$

اکنون ثابت پیوندی را با استفاده از رویدادهای چهار جتی مورد مطالعه قرار می دهیم. برای این منظور از معادله زیر استفاده می کنیم. در این معادله  $\alpha_s$  ثابت پیوندی،  $R_4$  کسر رویدادهای چهار جتی به کل رویدادها و ثابت های  $B$  و  $C$  ضرایبی هستند که از روش مونت کارلو به دست آمده اند. [۵]

$$R_4 = \frac{\sigma_{4-jet}}{\sigma_{total}} = \left(\frac{\alpha_s}{2\pi}\right)^2 B_{4-jet} + \left(\frac{\alpha_s}{2\pi}\right)^3 C_{4-jet} \quad (2)$$

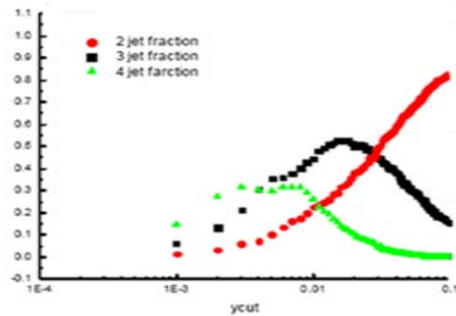
جدول (۱) و شکل (۳) تغییرات  $\alpha_s$  را در انرژی های مختلف نشان می دهد.

جدول (۱) مقادیر ثابت پیوندی در  $Y_{cut} = 0/02$

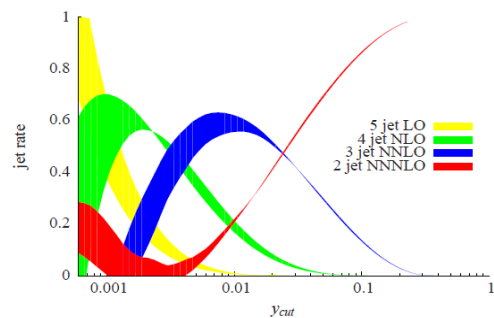
$\sqrt{s}$	$\alpha_s$
۴۰	$0/13 \pm 0/002$
۵۵	$0/126 \pm 0/003$
۶۰	$0/124 \pm 0/004$
۷۰	$0/121 \pm 0/006$
۸۵	$0/116 \pm 0/003$
۹۱/۳	$0/1191 \pm 0/005$
۱۳۳	$0/1122 \pm 0/004$
۱۶۱	$0/1041 \pm 0/009$
۱۷۲	$0/107 \pm 0/003$
۱۸۳	$0/1089 \pm 0/005$
۲۰۰	$0/1035 \pm 0/001$

$$Y_{ij} = \frac{2 E_i E_j (1 - \cos \theta_{ij})}{E_{vis}^2}$$

$E_{vis}$  عبارت است از انرژی ذرات ورودی در هر رویداد.  $E_i, E_j$  انرژی  $i$  و  $j$  ذره متمایز است که توسط  $\theta_{ij}$  از یکدیگر جدا شده اند. اگر کمترین مقدار  $Y_{ij}$  از یک پارامتر انتخابی  $Y_{cut}$  کمتر باشد؛ زوج ذره ی متناظر به وسیله ی جمع کردن چار بردار اندازه حرکت به یک دسته ملحق می شوند، که اصطلاحاً شبه ذرات را تولید می کنند. پس از ترکیب دو ذره با یکدیگر، طیف جدیدی از هادرون ها را شاهد خواهیم بود. برای این طیف جدید جرم ناوردا را دوباره محاسبه می کنیم. این شیوه تا زمانی ادامه پیدا می کند که هیچ جرم ناوردایی کوچکتر از  $Y_{cut}$  نباشد. در نهایت دسته هایی که در این مرحله باقی می مانند جت نامیده می شوند.

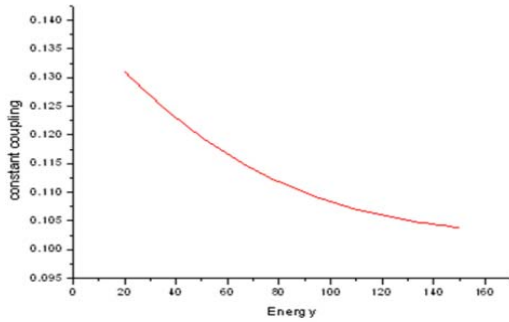


شکل (۱) مقایسه رویدادهای ۲، ۳، ۴ جتی برای داده های مونت کارلو

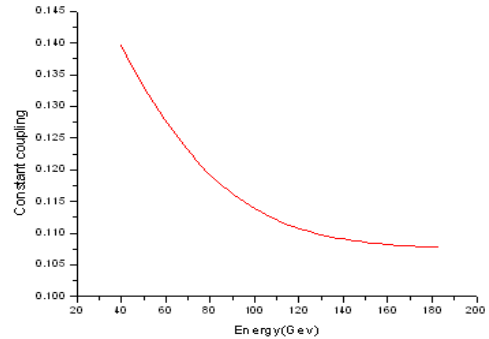


شکل (۲) مقایسه رویدادهای ۲، ۳، ۴، ۵ جتی برای داده های LEP [۵]

در شکل (۱) نسبت رویدادهای دو، سه و چهار جتی به کل رویدادها به صورت تابعی از  $Y_{cut}$  نشان داده شده است. همان گونه که از شکل پیداست فراوانی رویدادهای دو جتی با افزایش  $Y_{cut}$  افزایش می یابد. یعنی هر چه  $Y_{cut}$  افزایش می یابد شانس تقسیم جت ها به تعداد شاخه های بیشتر، کمتر می شود. از آن جایی که کوچکترین شاخه دو است بنابر این تعداد دو جتی ها افزایش



شکل (۴) تغییرات ثابت پیوندی بر حسب به انرژی در بر هم کنش  $pp^-$  در  $Y_{cut} = 0/02$



شکل (۳) تغییرات ثابت پیوندی بر حسب به انرژی در بر هم کنش  $e^-e^+$  در  $Y_{cut} = 0/02$

### بحث و نتیجه گیری

در این مقاله از بررسی و تحلیل داده های مونت کارلو، ثابت پیوندی در برهم کنش های  $e^-e^+$  و  $pp^-$  را با استفاده از آهنگ رویدادهای چهار جتی مورد مطالعه قرار دادیم. محاسبات ثابت پیوندی در انرژی های مختلف نشان می دهد. با افزایش انرژی ثابت پیوندی کاهش می یابد. این نتایج با نظریه اختلال کوانتومی رنگ QCD و [۶] هم خوانی دارد.

### مرجع ها

- [1] F.Halzen and A.D. Martin, Quark and Lepton, John Wiley, New York (۱۹۸۴)  
 [2] P.K. Ellis, W.J. Stirling, B.R. Webber, QCD and Collider Physics, Cambridge University Press, Cambridge b1996  
 [۳] Francis Halzen & Alen D Martin. Quarks and Leptons (1984).  
 [۴] JADE collab, S. Bethke et al., Phys. Lett. B213(1988)235  
 [۵] Stefan Weinzierl, / arxiv: hep-ph/09041077 V1/2002  
 [۶] Eur. Phys.J.C 47,295-307(2006)

شکل (۳) نشان می دهد با افزایش انرژی، ثابت پیوندی کاهش می یابد. این نتیجه با نظریه اختلال کوانتومی رنگ (QCD) نیز سازگار است.

### ۳- محاسبه $\alpha_s$ با استفاده از آهنگ رویدادهای چهار

#### جتی در برهم کنش $pp^-$

شکل (۴) نمودار تغییرات ثابت پیوندی بر حسب انرژی را در بر همکنش  $pp^-$  نمایش می دهد. برای محاسبه ثابت پیوندی در این برهمکنش نیز از فرمول (۱) استفاده شده است. واضح است با افزایش انرژی، ثابت پیوندی کاهش می یابد. این نتیجه با نظریه اختلال کوانتومی رنگ (QCD) نیز سازگار است.

جدول (۲) مقادیر ثابت پیوندی در  $Y_{cut} = 0/02$

$\sqrt{s}$	$\alpha_s$
۲۴/۳	$0.1212 \pm 0.007$
۳۰	$0.123 \pm 0.004$
۶۰	$0.123 \pm 0.006$
۹۱	$0.111 \pm 0.004$
۱۳۰	$0.107 \pm 0.002$
۱۳۳	$0.107 \pm 0.006$
۱۳۶	$0.107 \pm 0.005$
۱۵۰	$0.116 \pm 0.003$

# بررسی اثر جرم در تراست اختلالی و تأثیر آن

## بر روی ثابت پیوندی

زمردیان، محمدابراهیم<sup>۱</sup>؛ عرب سلمانی، سهیلا<sup>۲</sup>

<sup>۱</sup>گروه فیزیک، دانشگاه فردوسی، مشهد

### چکیده

تقریب‌های  $NLO, LO$  تصحیحات اختلالی مهمی در بسیاری از تحقیقات می‌باشند. در این تحقیق از این تقریب‌ها بهره گرفته شده و ثابت جفت‌شدگی قوی با استفاده از پیش‌بینی‌های کرومودینامیک کوانتومی برای متغیر  $I-T$  تا مرتبه اول و دوم محاسبه شده است. ابتدا تأثیر جرم را بر روی تراست اختلالی محاسبه کرده، سپس با کمک داده‌های مونت‌کارلو مقدار میانگین  $\langle I-T \rangle$  را برای فرآیندهای سه‌جتی در فرآیند نابودی زوج الکترون-پوزیترون به کمک الگوریتم  $JADE$  محاسبه و در نهایت سازگاری این نتایج را با پیش‌بینی‌های  $QCD$  مورد مقایسه قرار گرفته است.

## The Study of Effect Mass in Perturbation Thrust and the Effect of it on the Coupling Constant

Zomorrodian, mohammad Ebrahim<sup>1</sup>; soheila, arabsalmani<sup>2</sup>

Department of Physics, Ferdowsi University, Mashhad

### Abstract

The LO and NLO corrections are also important in research activities. In this thesis we use these approximations in order to calculate the coupling constant. We will do this for the variable thrust for the first and the second order calculations. First calculate the effect of the mass on perturbative thrust. Next use the Monte Carlo data and calculate the mean value  $\langle I-T \rangle$  for three jet events in electron positron annihilations. Finally compare the results with predictions of QCD.

PACS No.12.38.-t, 12.20.Fv, 12.38.Bx

$$T = \max \frac{|\vec{p}_i| |\vec{p}_j|}{E_i E_j} \quad (1)$$

مقدار میانگین تراست به صورت زیر است:

$$\langle I-T \rangle = \langle I-T \rangle_{PT} + \langle I-T \rangle_{NB} \quad (2)$$

و

$$\langle (I-T)_{PT} \rangle = A_0 \alpha_s(Q) + (B_0 - \gamma_0) \alpha_s^2(Q) \quad (3)$$

در مرتبه دوم اختلال NLO سهم غیر اختلالی عبارت است از:

$$\langle I-T \rangle_{NB} \approx \frac{1}{2} \quad (4)$$

حاکمی از آن است که در انرژی‌های بالا سهم غیر اختلالی ناچیز است. بحث خود را پیرامون سهم اختلالی ادامه می‌دهیم و اثر جرم

را در این مورد بررسی می‌کنیم. [۳] و [۱]

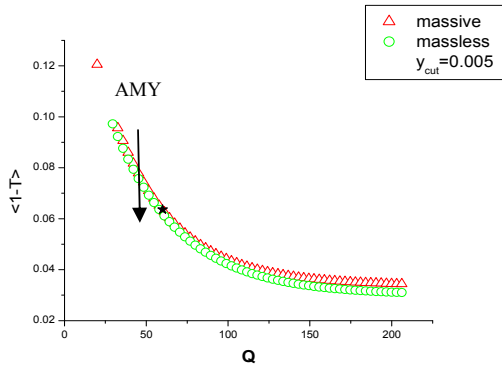
مقدمه

می‌دانیم که QCD یک نظریه پیشرو برای برهمکنش قوی است، بعلاوه در پدیده شناختی، به یک مدل خاص جهت ساده کردن محاسبات نیازمندیم. دینامیک‌های اختلالی و غیر اختلالی جزو لاینفک مشاهدات QCD هستند. در این تحقیق برآنیم تا اثر جرم را بر روی یکی از مهمترین متغیرهای شکل رویداد (تراست) بررسی کنیم.

تراست

بطور قراردادی تراست به این صورت تعریف می‌شود:



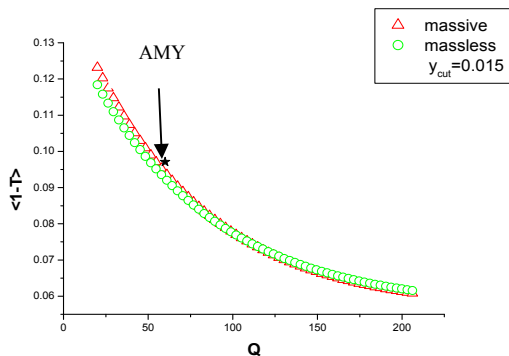


شکل ۲: نمودار مقدار میانگین  $\langle 1-T \rangle$  بر حسب انرژی در  $y_{cut}=0.005$

شکل ۲ نشان می‌دهد که با افزایش انرژی مرکز جرم، مقدار میانگین  $\langle 1-T \rangle$  کاهش می‌یابد. این قابل انتظار است، زیرا با افزایش انرژی مرکز جرم، امکان تابش گلوئون زیاد می‌شود که این منجر به افزایش تراس است و از این رو منجر به کاهش  $\langle 1-T \rangle$  می‌شود. همچنین با در نظر گرفتن جرم ذرات در مقایسه با موردی که جرم ذرات نادیده گرفته شده مشاهده می‌کنیم مقادیر  $\langle 1-T \rangle$ ، سطح مقطع بالاتری از خود نشان می‌دهد، این نیز مورد انتظار است. زیرا با در نظر گرفتن جرم ذرات مقادیر تراس کاهش یافته و در پی آن میانگین  $\langle 1-T \rangle$  افزایش می‌یابد. با این همه این افزایش چندان قابل ملاحظه نیست. به این دلیل که با افزایش انرژی مرکز جرم، تکانه (ممنتوم) ذرات افزایش یافته و باعث می‌شود که جرم ذرات تأثیر خود را از دست بدهند.

برای  $y_{cut}$  های دیگر نیز با رسم نمودارها باز هم نتیجه قبل

بدست می‌آید. شکل ۳ و شکل ۴



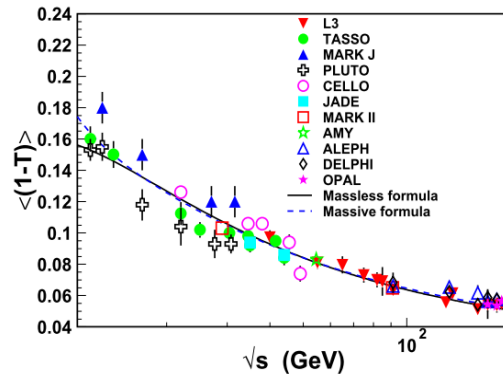
شکل ۳: نمودار مقدار میانگین  $\langle 1-T \rangle$  بر حسب انرژی در  $y_{cut}=0.015$

همانگونه که مشاهده می‌شود در تعریف تراس تأکید جمع‌بندی بر روی کلیه تکانه‌های ذرات است، بنابراین این تعریف در زمانی مورد استفاده قرار می‌گیرد که کلیه ذرات را بدون جرم در نظر بگیریم. بدیهی است با در نظر گرفتن جرم تک‌تک ذرات تراس به صورت زیر تعریف می‌شود که در آن  $W$  عبارت است از حاصل جمع بر روی انرژی تک‌تک ذرات در هر رویداد

$$T = \frac{E_1 + E_2}{W} \quad (5)$$

روابط بالا نشان می‌دهند که با در نظر گرفتن جرم، مقدار تراس کاهش یافته و در پی آن مقدار میانگین  $\langle 1-T \rangle$  تراس افزایش می‌یابد. [۲]

شکل زیر این موضوع را برای داده‌های مونت‌کارلو نشان می‌دهد، البته این افزایش مقدار میانگین جزئی بوده و در انرژی‌های بالا به حد صفر می‌رسد.



شکل ۱: مقدار میانگین  $\langle 1-T \rangle$  برای داده‌های مونت‌کارلو با و بدون اثر جرم [2]

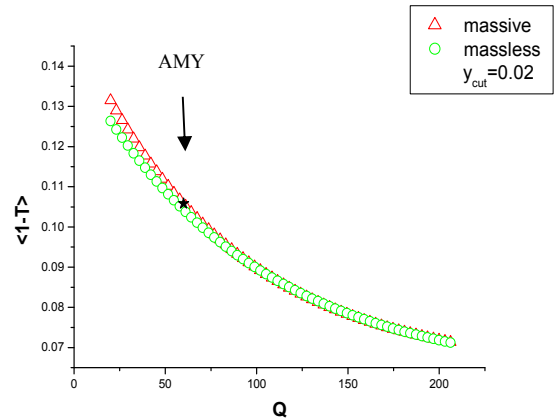
### بررسی نتایج تجربی

برای بررسی این موضوع‌ها ابتدا با استفاده از الگوریتم *JADE*، به جداسازی رویدادهای سه جتی داده‌های مونت‌کارلو [4] با  $y_{cut}$  های مختلف می‌پردازیم، سپس مقدار میانگین تراس را به دو صورتی که بحث شد بدست می‌آوریم.

در ادامه نمودارهای مقادیر تراس برای ذرات باردار رویداد، در  $y_{cut}$  ها و انرژی‌های مختلف نشان داده شده است. نشان‌های ستاره شکل داده‌های آشکارساز AMY را در انرژی ۶۰ GeV نشان می‌دهند.

جدول ۱: مقادیر ثابت پیوندی با  $y_{cut}=0.005$  در تقریب  $NLO$ 

Q(GeV)	$\alpha_s$	
	$\langle 1-T \rangle$	$\langle (1-T)^2 \rangle$
۲۰	$0.2130 \pm 0.0106$	$0.1236 \pm 0.0061$
۵۸	$0.1225 \pm 0.0066$	$0.0672 \pm 0.0033$
۶۰	$0.1298 \pm 0.0064$	$0.0663 \pm 0.0033$
۹۱.۲	$0.1060 \pm 0.0053$	$0.0475 \pm 0.0023$

شکل ۴: نمودار مقدار میانگین  $\langle 1-T \rangle$  بر حسب انرژی در  $y_{cut}=0.05$ جدول ۲: مقادیر ثابت پیوندی با  $y_{cut}=0.015$  در تقریب  $NLO$ 

Q(GeV)	$\alpha_s$	
	$\langle 1-T \rangle$	$\langle (1-T)^2 \rangle$
۲۰	$0.2130 \pm 0.0106$	$0.1260 \pm 0.0063$
۵۸	$0.1288 \pm 0.0089$	$0.0699 \pm 0.0048$
۶۰	$0.1240 \pm 0.0087$	$0.0931 \pm 0.0046$
۹۱.۲	$0.1616 \pm 0.0080$	$0.0853 \pm 0.0042$

در این شکل‌ها نیز همانند شکل ۲ با افزایش انرژی مرکز جرم، تکانه (ممتوم) ذرات افزایش یافته و باعث می‌شود که جرم ذرات تأثیر خود را از دست بدهند.

همچنین این نمودارها نشان می‌دهند که مقادیر بدست آمده از داده‌های آشکارساز AMY مطابقت خوبی با مقادیر بدست آمده از داده‌های مونت‌کارلو دارند، این سازگاری صحت داده‌های مونت‌کارلو را مورد تأیید قرار می‌دهد. از این رو می‌توان از داده‌های مونت‌کارلو در گسترش تحقیقات در زمینه QCD استفاده کرد.

جدول ۳: مقادیر ثابت پیوندی با  $y_{cut}=0.02$  در تقریب  $NLO$ 

Q(GeV)	$\alpha_s$	
	$\langle 1-T \rangle$	$\langle (1-T)^2 \rangle$
۲۰	$0.2314 \pm 0.0069$	$0.1218 \pm 0.0039$
۵۸	$0.1937 \pm 0.0058$	$0.1071 \pm 0.0032$
۶۰	$0.1902 \pm 0.0057$	$0.1042 \pm 0.0031$
۹۱.۲	$0.1799 \pm 0.0054$	$0.0980 \pm 0.0029$

### محاسبه ثابت جفت‌شدگی قوی

اینک با استفاده از بسط اختلالی معادله (۳) به محاسبه  $\alpha_s$  می‌پردازیم. در این بررسی از همان‌های اول و دوم متغیرهای شکل رویداد و ضرایب مربوطه استفاده می‌شود. همچنین برای مقایسه ثابت پیوندی در مرتبه اول و دوم اختلال، این مقادیر نیز برای  $y_{cut}$  مختلف در مرتبه اول محاسبه شد که فقط نتایج حاصل از مرتبه دوم اختلال به تفسیر بررسی می‌شود.

جدول‌های زیر ثابت جفت‌شدگی قوی را به ازای همان‌های اول و دوم متغیر  $\langle 1-T \rangle$  تا مرتبه دوم اختلال نشان می‌دهند.

همانطور که از جداول بر می‌آید مقادیر ثابت پیوندی با پیشبینی‌های QCD همخوانی دارد و با افزایش انرژی مقدار ثابت پیوندی کاهش می‌یابد. شکل ۵ و ۶ نمودار ثابت جفت‌شدگی قوی را با افزایش انرژی نشان می‌دهد.

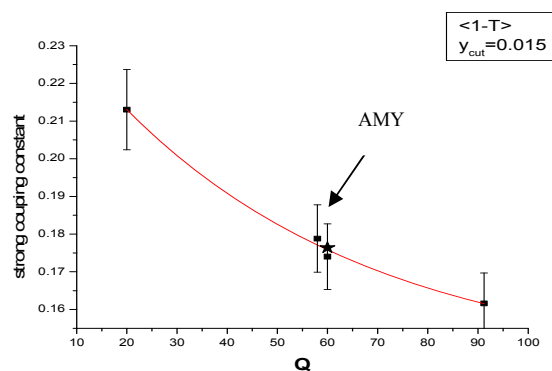
پس از تفکیک جت‌ها و با استفاده از این متغیر، ثابت پیوندی را برای ممان‌های اول و دوم تا اختلال مرتبه دوم (مرتبه‌های LO, NLO) بدست آورده شد. از مقایسه این مقادیر با پیش‌بینی‌های QCD مشاهده میشود مقدار ثابت پیوندی برای مرتبه بالاتر اختلال دقیق‌تر است و به نتایج قابل قبول‌تری دست میابیم.

این عمل را برای  $Y_{cut}$  های مختلف تکرار کردیم. با توجه به آنکه هر چه  $Y_{cut}$  بزرگتر باشد تعداد رویدادهای دو جتی بیشتر خواهد بود و سه جتی کمتر پدید می‌آید، بهترین  $Y_{cut}$  که بطور دقیق‌تر رویدادهای دو جتی و سه جتی را از یکدیگر متمایز می‌سازد در محدوده ۰.۰۱۵ تا ۰.۰۲۰ است.

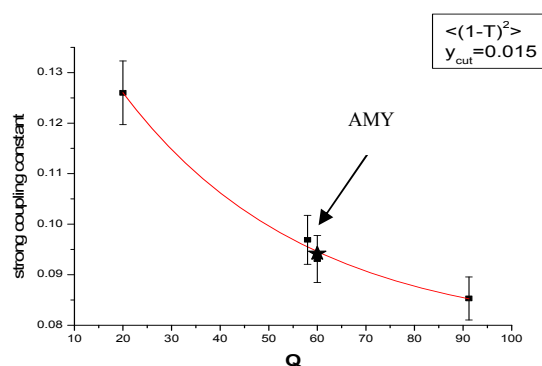
داده‌های ما نیز در این محدوده از  $Y_{cut}$  نتایج دقیق‌تری را برای ثابت پیوندی در مقایسه با نظریه QCD بدست می‌دهد.

## مراجع

- [۱] A. Banfi. Sezione di Milano. <http://arxiv.org/abs/hep-ph/0605125v1>
- [۲] Sunanda Banerjee. Quark Mass Corrections to the Perturbative Thrust and its Effect on the determination of  $\alpha_s$ . <http://arxiv.org/abs/hep-ph/0006008v2>
- [۳] J. Schieck, C. Pahl, S. Bethke, O. Biebel, S. Kluth. Tests of analytical hadronisation models using event shape moments in  $e^+e^-$  annihilation *Eur. Phys. J. C* (2009) 64: 533–547
- [۴] Radchenko.N.V. (2007) "About agreement of PYTHIA and the experimental results in  $e^+e^-$  annihilation to hadrons". Novgorod the Great, Russia : [arXiv:0706.3453v1](http://arXiv:0706.3453v1) [hep-ph] 23 Jun 2007.



شکل ۵ ثابت جفت‌شدگی قوی برحسب انرژی با  $Y_{cut}=0.015$  به ازای ممان اول  $1-T$



شکل ۶ ثابت جفت‌شدگی قوی برحسب انرژی با  $Y_{cut}=0.015$  به ازای ممان دوم  $1-T$

برای انرژی‌های پایین شیب نزولی ثابت پیوندی بسیار زیاد است و با افزایش انرژی این شیب کاهش می‌یابد. همانگونه که مشاهده میشود نتایج حاصل از انرژی ۶۰ GeV نیز با نتایج مونت کارلو مطابقت دارد.

## نتیجه‌گیری

تأثیر جرم بر روی تراست اختلالی را برای داده‌های مونت-کارلو در انرژی‌های مختلف به همراه داده‌های AMY در انرژی ۶۰ GeV را محاسبه شد. همچنین ممان متغیری که مورد استفاده قرار گرفت  $\langle 1-T \rangle$  بود، که محاسبه تراست برای رویدادهای سه جتی انجام شده است. برای تفکیک جت‌ها الگوریتم JADE مورد استفاده قرار گرفته است.

## تولید باریون‌های سنگین در ترکش دی‌کوآرک و نقش حرکت فرمی

سپه‌وند، رضا؛ قلیچی، محمد

گروه فیزیک، دانشکده علوم پایه، دانشگاه لرستان، خرم آباد

### چکیده

در این تحقیق ابتدا تولید باریون سنگین  $\Omega_{bcc}$  و  $\Omega_{bbc}$  در ترکش دی‌کوآرک نرده ای  $bc$  و باریون های برداری  $(\Omega_{ccc})^{(\frac{3}{2})}$  و  $(\Omega_{ccc})^{(\frac{1}{2})}$  در ترکش دی‌کوآرک برداری  $cc$  بدون در نظر گرفتن حرکت فرمی بررسی شده، سپس تولید این باریون ها با در نظر گرفتن حرکت فرمی اجزای تشکیل دهنده باریون مورد مطالعه قرار گرفته است. نتایج ما نشان می‌دهد که در نظر گرفتن اثر فرمی احتمال کل ترکش و متوسط پارامتر ترکش را افزایش می‌دهد.

## The Production of the Heavy Baryons in the Fragmentation of Diquark and the Effect of Fermi Motion

Sepahvand, Reza; ghelichi, Mohammad

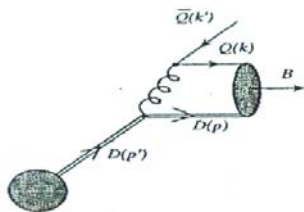
Department of Physics, University of Lorestan, Khorram Abad

### Abstract

In this research, first we investigate the production of the heavy scalar baryons  $\Omega_{bcc}, \Omega_{bbc}$  in fragmentation of the scalar diquark  $bc$  and vector baryons  $(\Omega_{ccc})^{(\frac{1}{2})}$ ,  $(\Omega_{ccc})^{(\frac{3}{2})}$  in the fragmentation of the vector diquark  $cc$  without consideration the effect of Fermi motion. Then, we investigate the production of these baryons taking into consideration the Fermi motion of the constituents of baryon. Our results show that consideration the Fermi motion increases the fragmentation probability and also the average fragmentation parameter.

PACS NO: 13

نشان می‌دهد به صورت زیر تعریف می‌شود



شکل (۱): نمودار فاینمن برای ترکش دی‌کوآرک سنگین به باریون سنگین

$$z = \left( \frac{P_{baryon}}{P_{diquark}} \right)_L \quad (1)$$

### مقدمه

توابع ترکش برای باریون های  $\Omega$  در ترکش کوآرک  $b$  یا  $c$  [۱] و تولید این باریون ها در ترکش دی‌کوآرک [۲] محاسبه شده است. ما در این کار نقش حرکت فرمی را بر تولید باریون های سنگین از ترکش دی‌کوآرک مورد مطالعه قرار داده ایم. در شکل (۱) باریون حالت نهایی در جهت  $Z$  حرکت می‌کند به طوریکه کل تکانه عرضی دی‌کوآرک اولیه را پاد دی‌کوآرک نهایی حمل می‌کند. محاسبات این کار در چارچوب تکانه بی نهایت انجام شده است. پارامتر ترکش  $Z$  که کسر انرژی-تکانه حمل شده توسط باریون را

در چارچوب تکانه بینهایت این پارامتر به صورت زیر در می آید:

$$z = \frac{E_B}{E_D} = \frac{P_o + K_o}{P'_o} \quad (2)$$

با در نظر گرفتن  $\alpha = \frac{m_1}{M}$  که در آن  $m_1$  جرم کوآرک و  $M$  جرم دی کوآرک است، خواهیم داشت:

$$k_o = \alpha z p'_o, p_o = (1 - \alpha) z p'_o, k'_o = (1 - z) p'_o \quad (3)$$

و به این ترتیب تابع ترکش  $D(Z, \mu_o)$  که احتمال ترکش یک دی کوآرک به یک باریون را نشان می دهد به صورت زیر تعریف می شود [۳]:

$$D_{D \rightarrow B}(Z, \mu_o) = \frac{1}{2S_D + 1} \sum_s \int d^3 p d^3 k d^3 k' \left| T_{D \rightarrow B} \right|^2 \delta^3(p + k + k' - p') \quad (4)$$

که در آن  $T_{D \rightarrow B}$  از رابطه زیر به دست می آید:

$$T_{D \rightarrow B} = -i \int d^4 x [dx] \left[ j_s^\mu \frac{1}{q^2} j_\mu^o \right] \phi_B \quad (5)$$

$\phi_B$  نشان دهنده تابع موج حالت بایونی است. این تابع در حالتی که از حرکت فرمی اجزاء داخلی باریون صرف نظر کنیم به صورت زیر تعریف می شود [۴]:

$$\phi_B = \frac{f_B}{m_B} \delta(x_i - \frac{m_i}{m_B}) \quad (6)$$

### محاسبه تابع ترکش برای تولید $\Omega_{bcc}$ و $\Omega_{bbcc}$ بدون در نظر گرفتن حرکت فرمی:

با توجه به جریان های تولید شده توسط جفت های دی کوآرک-دی کوآرک و کوآرک-پاد کوآرک [۲] و تابع موج باریونی بالا و در نظر گرفتن  $S_D = 0$  برای دی کوآرک نرده ای و ضرب های نقطه ای محاسبه شده در [۱] و با انجام انتگرال های فضای فاز به شکل زیر:

$$\begin{aligned} \int f(z, K_T^2) d^3 k' &= \\ \int f(z, K_T^2) dk'_L d^2 k'_T &= m_Q^2 p'_o f(z, \langle k'_T \rangle) \\ \int \frac{d^3 k}{k_o} &= \int \frac{4\pi k_o^2 dk_o}{k_o} = 2\pi m_Q^2 \end{aligned} \quad (7)$$

تابع ترکش به صورت زیر به دست می آید:

$$D_{D \rightarrow B}(z, \mu_o) = \frac{4\pi^3 \alpha_{1s} \alpha_{2s} f_b^2 c_f^2 m_1^4 Q_s^4 \sum \Gamma \bar{\Gamma}}{(1 - \alpha) z g^4 S^2 M^4} \quad (8)$$

که در آن:

$$S = k^2 + k'^2 + 2k.k' + 2p.k + 2k'.p \quad (9)$$

$$g = 2m_1^2 + 2k.k' \quad (10)$$

و مقادیر ثابت به شکل زیر است:

$$m_1 = 1.25, m_2 = 5.5, M = m_1 + m_2, \quad (11)$$

$$Q_s = 5, f_b = 0.25, c_f = \frac{11}{12}, \alpha_{1s} = \alpha_{2s} = 0.26$$

### محاسبه تابع ترکش برای تولید $\Omega_{bbcc}$ و $\Omega_{bcc}$ با در نظر گرفتن حرکت فرمی:

اگر در شکل (۱) اجزای تشکیل دهنده باریون یعنی کوآرک و دی کوآرک علاوه بر تکانه طولی دارای تکانه عرضی نیز باشند به گونه ای که تکانه عرضی باریون صفر باشد یعنی  $\vec{k}_T = -\vec{p}_T$ ، چهار تکانه ها به شکل زیر تعریف می شوند:

$$(\vec{p}_T)_B = 0, \vec{p}_T = -\vec{k}_T \quad (12)$$

$$\vec{p}'_T = \vec{k}'_T, \vec{k}_T = \vec{k}'_T$$

در حالتی که اثر حرکت فرمی را در نظر بگیریم تابع موج

باریون به صورت زیر تعریف می شود [۵]:

$$\phi_B = A_\mu \exp\left(-\frac{1}{8\beta^2} \left(\frac{K_T^2 + m_1^2}{x_1} + \frac{p_T^2 + m_2^2}{x_2}\right)\right) \quad (13)$$

با استفاده از ضرب های نقطه ای محاسبه شده در [۶] و انتگرال های فضای فاز زیر:

$$\int f(z, k_T) d^3 k' = f(z, \langle k'_T \rangle) m_Q^2 k_o \quad (14)$$

$$\int d^3 k = \int dk_L d^2 k_T = 2\pi z p'_o \int k_T dk_T dx_1$$

تابع ترکش به شکل زیر در می آید:

$$D(z) = \frac{8\pi^4 \alpha_{1s} \alpha_{2s} c_f^2 Q_s^4 A_\mu^2 F m_1^2 \sum \Gamma \bar{\Gamma}}{M^2 g^4 (1 - \alpha) z (1 - z) S^2} \quad (15)$$

که در آن:

$$F = \int_{x_1=K \Rightarrow}^1 \int_{x_2=K \Rightarrow}^4 \frac{k \exp\left[\frac{(-\frac{1}{4\beta^2})(k^2 + m_1^2)(m_1^2(1-x_1) + m_2^2 x_1)}{m_1^2(1-x_1)x_1}\right]}{x_1(1-x_1)} dk dx_1 \quad (16)$$

$$L = \int_{x_1=K \Rightarrow}^1 \int_{x_2=K \Rightarrow}^4 k \exp\left[\frac{(-\frac{1}{4\beta^2})(k^2 + m_1^2)(m_1^2(1-x_1) + m_2^2 x_1)}{m_1^2(1-x_1)x_1}\right] dk dx_1 \quad (17)$$

با استفاده از انتگرال گیری های فضای فاز و ضرب های نقطه ای [۱] تابع ترکش به صورت زیر به دست می آید:

$$D(Z) = \frac{\pi^2 \alpha_{1s} \alpha_{2s} c_f^2 Q_V^8 R(\circ) m_1^4 \sum \Gamma^{(\frac{1}{2})'} \bar{\Gamma}^{(\frac{1}{2})'}}{36 m_2 M^4 g^6 S^2 (1-\alpha)(1-z)z} \quad (22)$$

که در آن:

$$S = m_1^2 + 2m_2^2 + 2k.k' + 2p.k + 2p.k' \quad (23)$$

$$m_1 = 1.25, m_2 = 2.5, M = m_1 + m_2, Q_V = 2.5, \alpha_{1s} = .26, \alpha_{2s} = .26, c_f = \frac{4}{3\sqrt{3}}, f_b = 0.25, \quad (24)$$

$$R(0) = (0.29)^3$$

### محاسبه تابع ترکش برای $(\Omega_{ccc})^{(\frac{1}{2})'}$ با در نظر گرفتن حرکت فرمی:

تابع موج باریون در این حالت همانند رابطه (۲۱) می باشد و انتگرال های فضای فاز و ضرب های نقطه ای همانند باریون های نرده ای محاسبه می شوند.

بنابراین تابع ترکش به شکل زیر به دست می آید:

$$D(Z) = \frac{\pi^2 \alpha_{1s} \alpha_{2s} c_f^2 Q_V^8 m_1^4 R(\circ) F A_\mu^2 \sum \Gamma^{(\frac{1}{2})'} \bar{\Gamma}^{(\frac{1}{2})'}}{36 m_2 M^4 g^6 S^2 (1-\alpha)(1-z)z} \quad (25)$$

که در آن g همانند رابطه (۱۰) و F همانند رابطه (۱۶) و  $A_\mu^2$

همانند رابطه (۱۹) تعریف می شوند و داریم:

$$S = m_1^2 + 2m_2^2 + 2k.k' + 2p.k + 2p.k' \quad (26)$$

$$\alpha_{1s} = \alpha_{2s} = 0.26$$

$$c_f = \frac{4}{3\sqrt{3}}, Q_V = 2.5, R = (0.29)^3, \beta = 2.38$$

### محاسبه تابع ترکش برای $(\Omega_{ccc})^{(\frac{3}{2})'}$ بدون در نظر گرفتن حرکت فرمی:

تابع ترکش در این حالت بسیار شبیه به تابع ترکش  $(\Omega_{ccc})^{(\frac{1}{2})'}$  می باشد، تنها تفاوت آنها مربوط به بخش اسپینوری دامنه می باشد.

تابع موج باریونی در این حالت از رابطه زیر به دست می آید:

$$\Psi^{\frac{3}{2}} = \frac{1}{2\sqrt{2}M^3} \Psi_\mu^{\frac{3}{2}}(p+M) \quad (27)$$

بخش اسپینوری دامنه مطابق رابطه زیر است:

$$\Gamma^{\frac{3}{2}} = \bar{\Psi}_\mu^{\frac{3}{2}} \{ -\chi'(p')\gamma^\mu(p+M)(k'+m_1) + (1+k)[(2\beta p.\chi'(p'))(2p_\mu - M\gamma_\mu - p'\gamma_\mu(p+M)\chi'(p'))] \} \quad (28)$$

$$S = k^2 + k'^2 + 2kk' + 2pk + 2k'.p \quad (18)$$

$$A_\mu^2 = \frac{1}{32\pi^4 L} \quad (19)$$

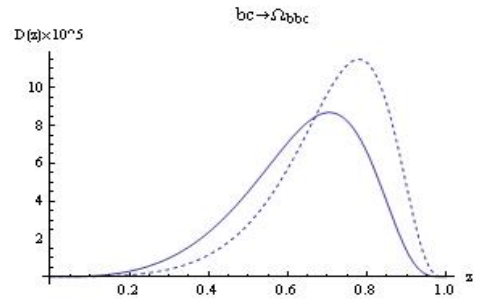
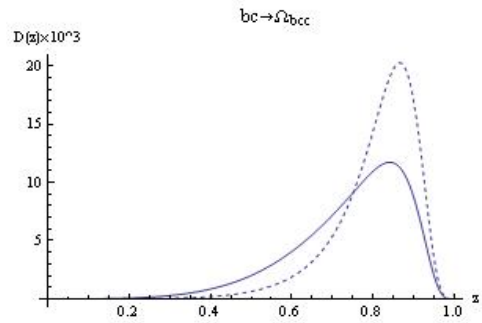
و مقادیر ثابت به شکل زیر می باشند:

$$m_1 = 1.25, m_2 = 5.5, M = m_1 + m_2, \quad (20)$$

$$\beta = 2.02, Q_s = 5, f_b = .25, c_f = \frac{11}{12}$$

در شکل (۲) نمودار تابع ترکش برای  $\Omega_{bcc}$  و  $\Omega_{bbc}$  در حالت های

بدون حرکت فرمی و با حرکت فرمی با هم مقایسه شده است:



شکل ۲: نمودار تابع ترکش برای  $\Omega_{bcc}$  و  $\Omega_{bbc}$ ، نمودار خط-پر مربوط به حالت بدون حرکت فرمی و نمودار خط چین مربوط به حالت با حرکت فرمی می باشد.

### محاسبه تابع ترکش برای $(\Omega_{ccc})^{(\frac{1}{2})'}$ بدون در نظر گرفتن حرکت فرمی:

در این کار ما ترکش دی کوآرک سنگین برداری CC به

باریون  $(\Omega_{ccc})^{(\frac{1}{2})'}$  مطابق نمودار فاینمن شکل (۱) را در نظر می گیریم و برای این کار از یک چارچوب تکانه بینهایت که در آن همه ذرات در یک امتداد و یک جهت حرکت می کنند استفاده می کنیم.

تابع موج باریون اسپین  $(\frac{1}{2})'$  به صورت زیر است:

$$\Psi^{(\frac{1}{2})'} = \frac{2}{\sqrt{6}M^3} (p+M)\gamma_5 U_B \quad (21)$$

جدول ۱: مقایسه احتمال کل ترکش و متوسط پارامتر ترکش برای باریون‌های مختلف در حالت‌های بدون حرکت فرمی و با حرکت فرمی.

F.P		$\langle Z \rangle$	
$\Omega_{bcc}$	بدون حرکت فرمی	$3/37 \times 10^{-3}$	۰/۷۴
	با حرکت فرمی	$3/83 \times 10^{-3}$	۰/۸۰
$\Omega_{bbc}$	بدون حرکت فرمی	$3/19 \times 10^{-5}$	۰/۶۳
	با حرکت فرمی	$3/58 \times 10^{-5}$	۰/۷۰
$(\Omega_{ccc})^{(1/2)^\gamma}$	بدون حرکت فرمی	$3/28 \times 10^{-4}$	۰/۶۷
	با حرکت فرمی	$3/63 \times 10^{-4}$	۰/۷۳
$(\Omega_{ccc})^{(3/2)}$	بدون حرکت فرمی	$1/77 \times 10^{-5}$	۰/۶۱
	با حرکت فرمی	$2/49 \times 10^{-5}$	۰/۶۸

### نتیجه‌گیری:

۱. با در نظر گرفتن حرکت فرمی احتمال کل ترکش بیشتر می‌شود.
۲. با در نظر گرفتن حرکت فرمی متوسط پارامتر ترکش بیشتر می‌شود. چون برای انجام فرایند ترکش باید انرژی بیشتری به باریون منتقل شود.
۳. با تغییر پارامتر  $\beta$  مقدار متوسط  $Z$  در حالتی که از حرکت فرمی صرف‌نظر شود تغییر نمی‌کند. البته این امر بدیهی می‌باشد؛ چون با صرف‌نظر کردن از حرکت فرمی، تابع موج به یک ضریب تبدیل می‌شود و با تغییر پارامتر  $\beta$  فقط ماکزیمم مقدار تابع ترکش تغییر می‌کند.
۴. با در نظر گرفتن حرکت فرمی با افزایش (کاهش) پارامتر  $\beta$ ، احتمال کل ترکش زیاد (کم) می‌شود.
۵. با تغییر  $\beta$  مقدار متوسط پارامتر ترکش یعنی  $\langle Z \rangle$  تغییر نمی‌کند.

### مراجع:

- [۱] M.A. Gomshi Nobary, R. Sepahvand, Phys. Rev. D 71 (2005) 114006.  
 [۲] M.A. Gomshi Nobary, T. Osati, Z. Bahadori, Nucl. Phys. A 821 (2009) 210-219  
 [۳] M. Suzuki, Phys. Rev. D 33 (1986) 676.  
 [۴] S. Brodsky, C.R. Ji, Phys. Rev. Lett. 55 (1985) 2257.  
 [۵] See, e.g. Elementary Particle Theory Group, Acta Phys. Sin. 25, 415 (1976); N. Isgur, in New Aspects of Subnuclear Physics, edited by A. Zichichi (Plenum, New York 1980), p.107  
 [۶] M.A. Gomshi Nobary, B. Javadi, Eur. Phys. J. C (2005)

و تابع ترکش به شکل زیر به دست می‌آید:

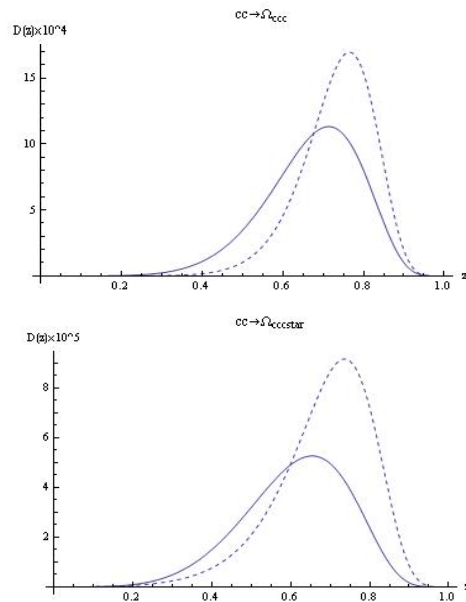
$$D(Z) = \frac{2\pi^3 \alpha_{1s} \alpha_{2s} c_f^2 Q_V^8 R(\circ) m_1^4 \sum \Gamma^{\frac{3}{2}} \bar{\Gamma}^{\frac{3}{2}}}{192 m_2 M^4 g^6 S^2 z (1-z)} \quad (29)$$

محاسبه تابع ترکش برای  $(\Omega_{ccc})^{(3/2)}$  با در نظر گرفتن حرکت فرمی:

تابع موج باریون در این حالت همانند رابطه (۲۷) می‌باشد و انتگرال‌های فضای فاز و ضرب‌های نقطه‌ای همانند باریون‌های نرده‌ای محاسبه می‌شوند. بنابراین تابع ترکش به شکل زیر به دست می‌آید:

$$D(Z) = \frac{2\pi^2 \alpha_{1s} \alpha_{2s} c_f^2 Q_V^8 m_1^4 R(\circ) F A_{ii}^2 \sum \Gamma^{\frac{3}{2}} \bar{\Gamma}^{\frac{3}{2}}}{192 m_2 M^4 g^6 S^2 (1-z)z} \quad (30)$$

در شکل (۳) نمودار تابع ترکش برای  $(\Omega_{ccc})^{(1/2)^\gamma}$  و  $(\Omega_{ccc})^{(3/2)}$  در حالت‌های بدون حرکت فرمی و با حرکت فرمی با هم مقایسه شده است:



شکل ۳: نمودار تابع ترکش برای  $(\Omega_{ccc})^{(1/2)^\gamma}$  و  $(\Omega_{ccc})^{(3/2)}$ ، نمودار خط-پر مربوط به حالت بدون حرکت فرمی و نمودار خط چین مربوط به حالت با حرکت فرمی می‌باشد.

در جدول (۱) نتایج احتمالات کل ترکش و متوسط پارامتر ترکش در دو حالت بدون حرکت فرمی و با حرکت فرمی با هم مقایسه شده است.

توابع ترکش باریونهای با سه طعم سنگین  $\Omega_{ccc}^{1/2}, \Omega_{bbb}^{1/2}, \Omega_{ccc}^{3/2}, \Omega_{bbb}^{3/2}$  با در نظر گرفتن حرکت فرمی

## در مدل کوآرک دوکوآرک

سپه وند، رضا؛ پیردادی، الهام

گروه فیزیک دانشگاه لرستان، خرم‌آباد

r.sepahvand@gmail.com

el\_pirdadi@yahoo.com

## چکیده

در این تحقیق تولید باریون‌های با سه طعم سنگین  $\Omega_{ccc}^{1/2}, \Omega_{bbb}^{1/2}, \Omega_{ccc}^{3/2}, \Omega_{bbb}^{3/2}$  با توجه به حرکت فرمی اجزاء تشکیل دهنده در مدل کوآرک-دوکوآرک و در ترکش کوآرک‌های سنگین مورد مطالعه قرار داده ایم. نتایج ما نشان می‌دهد که اعمال اثر فرمی بر روی فرآیند تولید موجب افزایش احتمال کل ترکش و افزایش متوسط پارامتر ترکش این باریونها می‌شود.

Fragmentation Function of Triply Heavy Baryons  $\Omega_{ccc}^{1/2}, \Omega_{ccc}^{3/2}, \Omega_{bbb}^{1/2}, \Omega_{bbb}^{3/2}$  Including Fermi Motion in the Quark-Diquark model

Sepahvand Reza; Elham Pirdadi

Department of Physics, University of Lorestan, Khoramabad

r.sepahvand@gmail.com

el\_pirdadi@yahoo.com

## Abstract

In this research, we have studied the production of heavy triply baryons  $\Omega_{ccc}^{1/2}, \Omega_{bbb}^{1/2}, \Omega_{ccc}^{3/2}, \Omega_{bbb}^{3/2}$  including Fermi motion in quark-diquark model. Our results show that the effect Fermi motion on the process of production, increase the total fragmentation probability and the mean of fragmentation parameter.

PACS No: 13

داراست حالت پایه آن می‌تواند به شکل‌های نرده‌ای و برداری برای تولید باریونهای سنگین شامل یک، دو یا سه طعم سنگین بکار گرفته شود. استفاده از مدل دوکوآرک یک مسئله سه جسمی را به یک مسئله دو جسمی تقلیل می‌دهد. ایده دوکوآرک بطور گسترده در فیزیک هادرونها بویژه در مورد نوکلئونها مورد استفاده قرار گرفته است [۱]. عامل شکل دوکوآرک برداری را بصورت عامل شکل‌های کروموالکتریکی و کرومومغناطیسی تعریف می‌کنیم که بصورت زیر نوشته می‌شوند

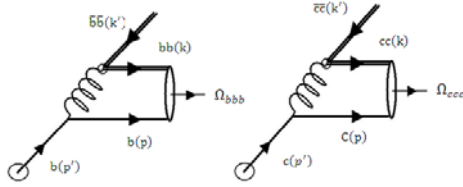
$$F_E(Q^2) = (1 - \frac{Q^2}{\Lambda^2})^{-2} \quad (1)$$

$$F_M(Q^2) = (1 + k)F_E(Q^2) \quad (2)$$

## مقدمه

مطالعه هادرونهاى سنگین نقش مهمی را در توسعه و پذیرش احتمالی کرومودینامیک کوانتومی بعنوان نظریه میدان برهمکنش قوی ایفا می‌کند. در میان کوآرک‌های سنگین فقط طعم‌های  $b$  و  $c$  در تشکیل هادرونها شرکت می‌کنند. در میان هادرونهاى سنگین، باریونهای با سه طعم سنگین  $\Omega$  از اهمیت ویژه‌ای برخوردارند. یکی از ایده‌های پدیده‌شناسی مفید، مفهومی بنام دوکوآرک است. بطور کلی مدل دوکوآرک، مدلی است که در آن دوکوآرک بعنوان یک ذره مجرد تقریب زده می‌شود که می‌تواند دارای عامل شکل باشد. چون دوکوآرک اعداد کوانتومی سیستم دو کوآرکی را





شکل ۱. پایین‌ترین مرتبه دیاگرام فاینمن در ترکش کوآرک (b)c به باریونهای  $\Omega_{ccc}^2, \Omega_{bbb}^2$  در مدل کوآرک - دو کوآرک

در اینجا در چارچوب تکانه بینهایت کار می‌کنیم که در آن کوآرک سنگین اولیه دارای تکانه عرضی  $p_T'$  است. این تکانه عرضی توسط پاددو کوآرک نهایی  $\bar{c}c(\bar{b}b)$  که یک جت را تولید می‌کند حمل می‌شود. فرض می‌کنیم اجزای تشکیل دهنده باریون پس از خلق در امتداد محور Z با تکانه عرضی  $p_T = -k_T$  حرکت - کنند  $(p_T = k_T = q_T)$ . بنابراین ذرات دارای چهار تکانه‌ای به صورت زیر می‌باشند.

$$\begin{aligned} p_\mu &= (p_0, p_L, p_T) & k_\mu &= (k_0, k_L, k_T) \\ p'_\mu &= (p'_0, p'_L, p'_T) & k'_\mu &= (k'_0, k'_L, k'_T) \end{aligned} \quad (7)$$

اگر چهار تکانه باریون را با  $\bar{P}$  نمایش دهیم می‌توانیم بنویسیم  $p_\mu = x_1 \bar{P}_\mu, k_\mu = x_2 \bar{P}_\mu$ . بنابراین انرژی ذرات را بصورت زیر پارامتری می‌کنیم

$$\begin{aligned} P_0 &= zp_0 & p_0 &= x_1 z p_0 \\ k_0 &= x_2 z p_0 & k_0 &= (1-z)p_0 \end{aligned} \quad (8)$$

اینجا پارامتر ترکش را بصورت رابطه زیر در چارچوب تکانه بینهایت تعریف می‌کنیم

$$z = \frac{E_{\text{Baryon}}}{E_{\text{Quark}}} = \frac{p_0 + k_0}{p_0} \quad (9)$$

### توابع ترکش

تابع ترکش باریون سنگین که در ترکش مستقیم کوآرک سنگین Q بوجود می‌آید از انتگرالگیری فضای فاز مربع دامنه با احتساب پایستگی انرژی-تکانه به دست می‌آید [۳].

$$\begin{aligned} D_{Q \rightarrow \Omega}(z, \mu_0) &= 1/2 \sum_s \int |T_B|^2 \delta^3(p+k+k'-p') \\ &\times d^3 p d^3 k d^3 p' \end{aligned} \quad (10)$$

در اینجا  $Q^2 = -q^2$  در نظر می‌گیریم و k گشتاور دوقطبی کرومومغناطیسی می‌باشد.

### حرکت فرمی و تابع موج حالت مقید باریون

اجزای درونی هادرون‌ها دارای حرکت‌های عرضی نسبت به یکدیگر هستند که این اثر به حرکت فرمی معروف است. این حرکت می‌تواند اثر زیادی روی تولید ذرات در پدیده ترکش داشته باشد. در کارهایی که تاکنون در زمینه ترکش کوآرک‌ها انجام شده است فقط حرکت داخلی اجزای تشکیل دهنده مزون در نظر گرفته شده است [۲] و به دلیل نبودن تابع موج تحلیلی حالت‌های مقید سه جزیی اثر حرکت فرمی بر روی تولید باریون‌های با سه طعم سنگین اعمال نشده است. در فرمالیسم مخروط نوری و در چارچوب تکانه بینهایت تابع موج حالت مقید مزون را بصورت زیر تعریف می‌کنیم. چون در مدل کوآرک-دو کوآرک یک مسئله سه جسمی به یک مسئله دو جسمی همانند مزونها تقلیل می‌یابد می‌توان از این معادله به عنوان تابع موج حالت مقید باریون نیز استفاده نمود.

$$\begin{aligned} \Psi_{LC}(k_{1T}, p_{1T}, x_i) &= \\ &A_M \exp\left\{-\frac{1}{8\beta^2} \left[ \frac{m_2^2 + k_{1T}^2}{x_2} + \frac{m_1^2 + p_{1T}^2}{x_1} \right]\right\} \end{aligned} \quad (3)$$

که در آن  $m_1$  جرم کوآرک و  $m_2$  جرم پادکوآرک و  $\beta$  پارامتر حبس می‌باشد که معیاری از میزان تکانه عرضی اجزای درونی باریون است.  $x_1$  و  $x_2$  کسر تکانه حمل شده توسط هر کدام از اجزاء داخل هادرون بوده و در شرط  $x_1 + x_2 = 1$  صدق می‌کنند. در تابع موج فوق هم سهم تکانه طولی (بواسطه  $x_i$ ) و هم سهم تکانه عرضی اجزای درونی هادرون (به واسطه  $k_{1T}, p_{1T}$ ) در نظر گرفته شده است به طوری که:

$$\sum_{n, \lambda_i} \int [dx] [d^2 k_T] |\Psi_n(x_i, k_{1T}, \lambda_i)|^2 = 1 \quad (4)$$

$$[dx] = \prod_{i=1}^n dx_i \delta(1 - \sum_{i=1}^n x_i) \quad (5)$$

$$[d^2 k_T] \equiv \prod_{i=1}^n d^2 k_{Ti} 16\pi^3 \delta^2\left(\sum_{i=1}^n k_{Ti}\right) \quad (6)$$

### سینماتیک

دیاگرام فاینمن در پایین‌ترین مرتبه اختلال برای ترکش کوآرک (b)c به باریونهای  $\Omega_{ccc}^2, \Omega_{bbb}^2$  در شکل ۱ نشان داده شده‌اند. در این حالت دو کوآرک در حالت برداری می‌باشند.

جهت در نظر گرفتن تکانه عرضی اجزای داخلی باریون در محاسبات تابع ترکش  $\Phi_B$  را بصورت رابطه (۳) می‌نویسیم. پس از مربع نمودن دامنه‌های (۱۵) و (۱۶) و محاسبه تریس و انتگرالهای فضای فاز [۵] و ضرب‌های نقطه‌ای تابع ترکش را برای باریونهای

اسپین  $\frac{1}{2}, \frac{3}{2}$  بصورت زیر خواهیم نوشت

$$D_{ccc} = \frac{1}{\sqrt{3}} \int_{\Omega_{ccc}^{\frac{1}{2}}} \psi(\vec{x}, M_c) = \frac{\pi^3 m_c \alpha_s C_F Q_V^2 \beta^3 (F_T^2) F}{12 m_B^2 q^{11} (q^2 + k^2)^2} \quad (19)$$

$Dz =$

$$10^8 \times 1/9(59049\alpha_s^2 C_F^2 A_V^2 F \pi^4 Q_V^8 \gamma(z) \left( (-1+z)^4 z^4 (9-18z+(13+9\gamma^2)z^2) (-12(-1+z)^2(81+135z+9(1+18\gamma^2)z^2+3(-37+45\gamma^2)z^3+(-2-9\gamma^2+81\gamma^4)z^4)+k(2349-8100z+9(1549+603\gamma^2)z^2-324(40+33\gamma^2)z^3+(6071+12618\gamma^2+3807\gamma^4)z^4-4(407+2601\gamma^2+648\gamma^4)z^5+(391+3483\gamma^2-243\gamma^4+729\gamma^6)z^6)+k^2(3321-11340z+9(1921+819\gamma^2)z^2-36(376+441\gamma^2)z^3+(5147+16074\gamma^2+4779\gamma^4)z^4-4(269+2385\gamma^2+1134\gamma^4)z^5+(259+2403\gamma^2+729\gamma^4+729\gamma^6)z^6) \right) \right) \quad (20)$$

که در این روابط  $A_M$  از شرط بهنجارش (۴) محاسبه می‌شود و

$F$  نیز بصورت زیر است

$$F = \int \frac{k_T^2 \exp\left[ \frac{-1}{\beta^2} \left( \frac{(k_T^2 + m^2)(m^2 - x_T) + m^2 x_T}{m^2 x_T (1 - x_T)} \right) \right]}{x_T (1 - x_T)} dx_T dk_T \quad (21)$$

### بحث و نتیجه گیری

در این کار جرم کوارکها

$$m_c = 1/25 GeV, m_b = 4/25 GeV$$

و ضریب رنگ  $C_F$  را برابر  $\frac{4}{3\sqrt{3}}$  در نظر گرفته‌ایم [۵]. سایر

کمیتاتی که در توابع بکار رفته‌اند در جدول ۱ خلاصه شده است.

جدول ۱. پارامترهای مختلف که از آنها در محاسبات خود استفاده کرده‌ایم [۶]

	$\alpha_s$	$\beta$	$\langle k_T^2 \rangle$	$Q_V$
$\Omega_{ccc}^{\frac{1}{2}}$	۰/۲۶	۱/۳	۱	۲/۹
$\Omega_{ccc}^{\frac{3}{2}}$	۰/۲۶	۱/۶۴	۱	۲/۹
$\Omega_{bbb}^{\frac{1}{2}}$	۰/۱۸	۳/۵۵	۱	۱۰/۵
$\Omega_{bbb}^{\frac{3}{2}}$	۰/۱۸	۴/۶۵	۱	۱۰/۵

که در آن میانگین روی اسپین حالت اولیه و جمع روی اسپین حالات نهایی انجام شده است.  $\mu_0$  مقیاس اولیه ترکش و  $T_B$  دامنه مربوط به دیاگرام شکل ۱ است که بصورت زیر نوشته می‌شود

$$T_B = -i \int [dx] d^4x \Phi_B \left( \frac{1}{q} \right) J_B^{\mu} \quad (11)$$

در این رابطه  $j_V^{\mu}, j_A^{\mu}$  جریانه‌های مربوط به کوارک سنگین اولیه

و دوکوارک برداری هستند که چنین تعیین می‌شوند

$$j_V^{\mu} = \bar{q} \gamma^{\mu} (-F_B(Q)) [\chi(k), \chi'(k')] q + \quad (12)$$

$$F_B(Q) [(k, \chi'(k')) \gamma^{\mu} + (k', \chi(k)) \gamma^{\mu}] e^{-iqx}$$

که در این رابطه  $\chi(k) \chi'(k')$  اسپینورهای دوکوارک و پاد

دوکوارک برداری می‌باشند که چنین نوشته می‌شوند

$$\chi^{\mu} = \frac{1}{\sqrt{m_D}} [(k, \chi^{\mu} + m_D) \gamma^{\mu}] \quad (13)$$

$$j_A^{\mu} = \bar{q} \gamma^{\mu} [\bar{u}(p) \gamma_5 u(p')] e^{-i(p-p')x} \quad (14)$$

با جایگذاری عبارات (۱۲)، (۱۳) و (۱۴) در رابطه (۱۱) برای

باریونهای اسپین  $\frac{1}{2}$  دامنه پراکندگی را بصورت زیر خواهیم داشت

$$T_{VB}^{\frac{1}{2}} = \frac{16\pi^2 \alpha_s^2 F_E(Q^2) f_B C_f}{m_B^2 2\sqrt{2p_0 p'_0 k_0 k'_0} D_0 q^2} [\bar{U}_B \{ \bar{\chi}'(k')(P+m_B) \gamma_5 (k'+m_D) + (1+k)[-2\beta(P.\chi')(P-2m_B)\gamma_5 + k'(P+m_B) \gamma_5 \chi' \gamma^{\mu} \} u(p')] \quad (15)$$

و به همین ترتیب برای باریون برداری اسپین  $\frac{3}{2}$  خواهیم داشت

[۴]

$$T_{VB}^{\frac{3}{2}} = \frac{-16\pi^2 \alpha_s^2 C_F f_B}{8m_B^2 \sqrt{2p_0 p'_0 k_0 k'_0} D_0 q^2} \bar{\Psi}_3^{\mu} \{ \chi' \gamma_{\mu} (P+m_B) (k'+m_D) - (1+k)[2\beta(P.\chi')(2P_{\mu} - m_B \gamma_{\mu}) + k' \gamma_{\mu} (P+m_B) \chi' ] u(p') \} \quad (16)$$

با توجه به اینکه اجزای داخلی باریون از لحاظ جرم متفاوت

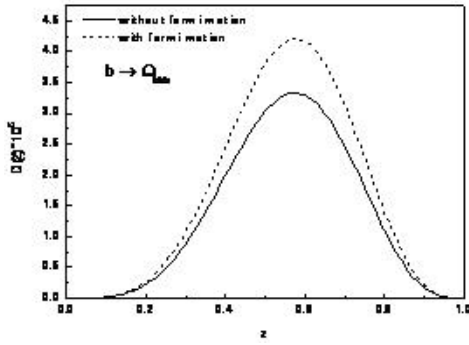
هستند، تکانه عرضی به نسبت جرم اجزاء بین آنها تقسیم می‌شود.

$$p_T = \frac{m_2}{m_1} k_T \quad (17)$$

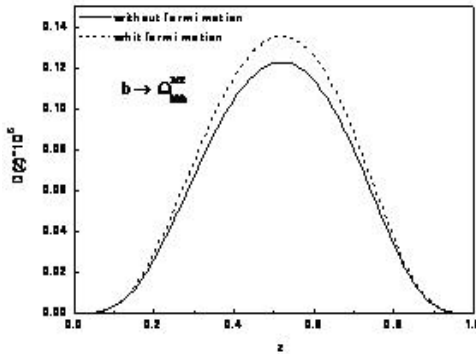
که در آن  $m_1 = m_Q, m_2 = m_D$ . سهم‌های انرژی- تکانه

حمل شده توسط اجزا نیز به صورت زیر در نظر گرفته شده است

$$x_2 = x, x_1 = 1-x \quad (18)$$



شکل ۴. تابع ترکش برای فرآیند  $b \rightarrow \Omega_{bbb}^{1/2}$



شکل ۵. تابع ترکش برای فرآیند  $b \rightarrow \Omega_{bbb}^{3/2}$

بنابراین می توان نتیجه گرفت که:

۱- احتمال تولید با تاثیر حرکت فرمی برای مقادیر معلوم  $\beta$

افزایش می یابد.

۲- مقدار متوسط پارامتر ترکش برای حالتی که حرکت فرمی در نظر گرفته شود نسبت به حالتی که از حرکت فرمی صرف نظر شود بیشتر می باشد. این امر بدان معنی است که برای انجام فرآیند ترکش با در نظر گرفتن حرکت فرمی بایستی کسر بیشتری از انرژی- کوآرک اولیه به باریون منتقل شود

### مرجع ها

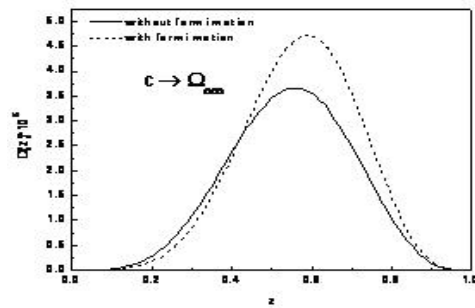
- [۱] J.Brodsky and C.R.Ji, Phys. Rev. Lett 55(1985)2257.
- [۲] M.A.Gomshi Nobary, B.Nikoobakht, J.Naji, Nucl. Phys. A 789(2007)243.
- [۳] M.A.Gomshi Nobary and T.Osati, Mod. Phys. Lett. A 74(2000)455.
- [۴] M.A.Gomshi Nobary and R.Sepahvand, Phys. Rev. D 76(2007)114006.
- [۵] M.A.Gomshi Nobary and R.Sepahvand, Phys. Rev. D71(2005).
- [۶] M.A.Gomshi Nobary, J. Phys. G:Nucl. Part. Phys.27(2001)21.

پس از قرار دادن مقادیر اشاره شده در توابع ترکش، احتمال تولید (F.P) و متوسط پارامتر ترکش ( $\langle k_T \rangle$ ) را برای باریونهای برداری اسپین  $\frac{1}{2}$  و اسپین  $\frac{3}{2}$  بدست آورده ایم که این مقادیر را در جدول ۲ با حالتی که در آن از حرکت فرمی اجزا صرف نظر شده است مقایسه نموده ایم.

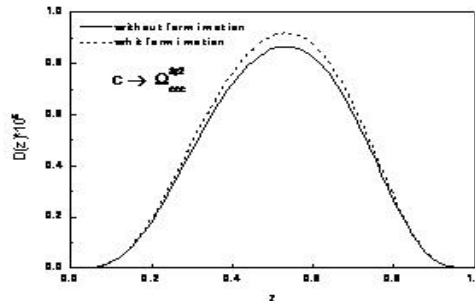
جدول ۲. احتمال کل ترکش و مقدار متوسط Z.

بدون حرکت فرمی		با حرکت فرمی		فرآیند
$\langle z \rangle$	F.P	$\langle z \rangle$	F.P	
0/546	$1/44 \times 10^{-5}$	0/571	$1/71 \times 10^{-5}$	$c \rightarrow \Omega_{ccc}^{1/2}$
0/517	$3/96 \times 10^{-6}$	0/517	$4/20 \times 10^{-6}$	$c \rightarrow \Omega_{ccc}^{3/2}$
0/557	$1/31 \times 10^{-5}$	0/560	$1/65 \times 10^{-5}$	$b \rightarrow \Omega_{bbb}^{1/2}$
0/510	$5/54 \times 10^{-7}$	0/510	$6/12 \times 10^{-7}$	$b \rightarrow \Omega_{bbb}^{3/2}$

در شکل های (۲) تا (۵) تابع توزیع احتمال  $D(z, \mu_0)$  بر حسب پارامتر ترکش Z را برای هر یک از حالات باریونی نمایش داده ایم



شکل ۲. تابع ترکش برای فرآیند  $c \rightarrow \Omega_{ccc}^{1/2}$



شکل ۳. تابع ترکش برای فرآیند  $c \rightarrow \Omega_{ccc}^{3/2}$

## تابع ترکش مزونهای سنگین در فرایند دو فوتونی

## در انرژی LEP

سپهوند، علی؛ عبدالمالکی، حامد<sup>۲</sup><sup>۱</sup>گروه فیزیک، دانشگاه آزاد اسلامی واحد توپسرکان، توپسرکان<sup>۲</sup>باشگاه پژوهشگران جوان، دانشگاه آزاد اسلامی واحد توپسرکان، توپسرکان

## چکیده

تابع ترکش مزونهای سنگین در فرایند دو فوتونی برای انرژی LEP محاسبه شده است. نتایج بدست آمده برحسب دو متغیر  $z$ ،  $P_t$  در مقیاسهای مختلف رسم شده است. همچنین نتایج بدست آمده با مقادیر پیش بینی BFGW مقایسه گردیده

## Heavy Mesons Fragmentation Function in Two Photon Collisions at LEP Energy

Sepahvand, ali<sup>1</sup>; abdolmaleki, hamed<sup>2</sup><sup>1</sup> Department of Physics, Azad University, Toyserkan branch, iran,<sup>2</sup> Azad University, Toyserkan branch, Young researchers club, Iran

## Abstract

Heavy mesons fragmentation function in the two photon collisions for the LEP energy is calculated. Results in terms of two variables  $z$ ,  $P_t$  is plotted on different scales. The results are compared with BFGW LO predication.

PACS No 12.38.Bx, 12.38.Cy

## سینماتیک مساله

## مقدمه

چون فرایند ترکش در تکانه های بالا انجام می گیرد و در چارچوب تکانه بینهایت تمام ذرات در یک راستا حرکت می کنند بنابراین با توجه به دیاگرام فاینمن (شکل ۱) مساله می توان چار بردار تکانه مربوط به ذرات را می توان به صورت زیر نوشت:

$$\begin{aligned} P_{1\mu} &= (P_{10}, P_{1L}, P_{1T}) & , & & P'_{1\mu} &= (P'_{10}, P'_{1L}, P'_{1T}) \\ P_{2\mu} &= (P_{20}, P_{2L}, P_{2T}) & , & & P'_{2\mu} &= (P'_{20}, P'_{2L}, P'_{2T}) \\ P'_{1T} &= P'_{2T} = 0 & , & & P_T &= P_{1T} = P_{2T} \end{aligned} \quad (1)$$

در مدل پارتونی هر کدام از اجزاء تشکیل دهنده پارتون کسری از انرژی - اندازه حرکت آن را حمل می کنند. به طوری که رابطه  $\sum_{parton} X_i = 1$  برقرار باشد، اگر  $\bar{P}$  چار بردار تکانه مزون خروجی باشد، بنابراین می توان نوشت:

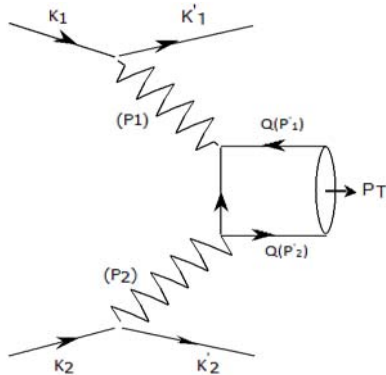
کوارکهای سنگین بدلیل ماهیت مقیدی که دارند توسط معادله شرودینگر به خوبی توصیف می گردند. در این میان بیان پتانسیلی که در بر گیرنده تمام ابعاد هسته باشد، نقش بسیار مهمی را ایفا می کند. تابع موج در مبداء محاسبه شده توسط معادله شرودینگر یکی از ابزارهای مفید برای محاسبه تابع ترکش می باشد. (۱)

تولید کوارکهای سنگین در فرایند دو فوتونی توسط ساختار یک ذره واسطه بنیادی بیان می گردد (۲). این محاسبات در QCD اختلالی که کوارکها و گلوونها با فوتون جفت می شوند انجام می پذیرد. در فرایند دو فوتونی هر کدام از فوتون ها می توانند شبه نقطه ای یا شبه هادرونی باشند

که در آن  $j_\mu^{(1)}, j_\mu^{(2)}$  چگالی جریان ناشی نمودار فاینمن شکل (۱) می باشد. بنابر مدل سوزوکی (۴) می توان دامنه پراکندگی سخت را به صورت زیر نوشت:

$$T_D = \frac{\alpha m_1 m_2 M}{\sqrt{p'_{01} p'_{02} p_{02} p_{01}}} \frac{\delta^3(p'_2 - p'_1 - p_2 - p_1)}{(p'_{02} - p'_{01} - p_{02} - p_{01})} \mathbf{M} \quad (9)$$

عبارت  $(p'_{01} + p'_{02} + p_{02} - p_{01})$  در منحنی کسر از آنجا ناشی می شود که چون مزون در پوسته جرمی خود قرار دارد بنا براین پایستگی انرژی نداریم. دامنه پراکندگی ناورد<sup>۳۸</sup> با توجه به شکل (۱) ناشی از دوسهم می باشد:



شکل 3: نمودار فاینمن برای نابودی زوج الکترون - پوزیترون

(۱۰)

$$\mathbf{M} = |\mathbf{M}_1 + \mathbf{M}_2|$$

$$-i\mathbf{M}_1 = \bar{V}(p'_1)[\epsilon_\nu^*(ie\gamma^\nu) \frac{-\not{p}'_1 - \not{p}'_1 + m}{(p'_1 + p_1)^2 - m^2} \epsilon_\mu (ie\gamma^\mu)] U(p_1)$$

$$-i\mathbf{M}_2 = \bar{V}(p'_2)[\epsilon_\nu^*(ie\gamma^\nu) \frac{-\not{p}'_2 - \not{p}'_2 + m}{(p'_2 + p_1)^2 - m^2} \epsilon_\mu (ie\gamma^\mu)] U(p_1)$$

با در نظر گرفتن تمام حالت‌های اسپینی بهتراست دامنه پراکندگی ناورد را به صورت زیر در نظر بگیریم.

$$|\mathbf{M}|^2 \rightarrow |\bar{\mathbf{M}}|^2 = \frac{1}{(2S_1 + 1)(2S_2 + 1)} \sum_{\text{all spin}} |\mathbf{M}|^2 \quad (11)$$

که  $S_1$  و  $S_2$  اسپین کل ذره شماره ۱ و ۲ هستند. بنابراین با توجه به  $\mathbf{M}_1 \times \mathbf{M}_2^* = 0$  می توان نوشت:

$$P'_{1\mu} = X_1 \bar{P} \quad , \quad P'_{2\mu} = X_2 \bar{P} \quad (2)$$

$$X_1 + X_2 = 1$$

از طرفی کسر  $Z$  از انرژی - اندازه حرکت مزونی که توسط کوآرک حمل می شود، بنابراین می توان نوشت:

$$Z = \frac{P_{Hadron}}{P_{photon}} = \frac{\bar{P}}{P_i} = \frac{\bar{P}}{P_2} \quad (3)$$

$$P'_{1\mu} = X_1 Z P_{2\mu} \quad , \quad P'_{2\mu} = X_2 Z P_{2\mu}$$

$$P_{2\mu} = P_{2\mu} \quad , \quad P_{1\mu} = (1-Z)P_{2\mu}$$

### فرایند ترکش:

می توان تابع ترکش برای هادرونها سنگین را در حالت

عمومی به صورت زیر نوشت (۳)

$$D(z, \mu_0) = \sum_n d_n(z, \mu_0) \langle o_n^x \rangle \quad (4)$$

در اینجا  $d_n(z, \mu_0)$  احتمال اینکه کوآرک  $i$  ام به صورت

یک جت در حالت  $n$  ام باشد و  $\langle o_n^x \rangle$  نیز احتمال اینکه یک جفت کوآرک- پاد کوآرک در حالت  $n$  ، در حالت هادرونی  $H$  یافت شوند.

$$\langle o_n^x \rangle = -i \int [dx] (T_D \Phi_M)^2 \quad (5)$$

که  $\Phi_M$  تابع موج مزونی و  $T_D$  دامنه پراکندگی سخت است.

در انتقال تکانه بینهایت تابع موج حالت مقید هادرونی به صورت تابع دلتا رفتار می کند چون کوآرکهای سنگین حالت مقید تشکیل می دهند بنا براین تابع موج برای مزونها به صورت زیر نوشته می شود:

$$\Phi_M = \frac{f_M}{m_M} \delta(x_i - \frac{m_i}{m_M}) \quad (6)$$

که در اینجا  $f_M$  ،  $m_M$  ثابت اشکار سازی و جرم مزون

هستند.  $m_i$  می تواند هر کدام از کوآرکها یا انٹی کوآرک باشد.

$$[dx] = \prod_i dx_i \delta(1 - \sum_i x_i) \quad (7)$$

که در رابطه بالا جمع و ضرب روی تمام حالت‌های کوآرکی که

ها درون را تشکیل می دهند بسته می شود. می توان  $T_D$  دامنه پراکندگی سخت را به صورت زیر تعریف می گردد.

$$T_D = \int d^4x \left( j_{(1)}^\mu \left( \frac{1}{q^2} \right) j_{(2)}^{(2)} \right) \quad (8)$$

$$D(z, \mu_0) = \sum_n d_n(z, \mu_0) \langle o_n^x \rangle$$

$$D(z, \mu_0) = \frac{1}{2} (\alpha m_1 m_2 M)^2 WFO \quad (17)$$

$$\times \int d^3 \bar{P} d^3 P_1 \frac{\delta^3(\bar{p} + p_1 - p_2)}{\bar{p}_0 p_{01} p_{02} (\bar{p}_0 + p_{01} - p_{02})^2} |\mathbf{M}|^2$$

### محاسبه انتگرال‌های مختلف

در این فضا انتگرالهای فضائی تنها روی سه کمیت  $P_2$ ،  $P_2'$ ،  $P_1'$  گرفته می‌شود.

$$\int d^3 \bar{P} \frac{\delta^3(\bar{p} + p_1 - p_2)}{(\bar{p}_0 + p_{01} - p_{02})^2} = \frac{(p_{02})^2}{(\bar{p} + p_1)^4}$$

$$\int f(z, P_{2T}) d^3 P_1 = \int f(z, P_{1T}) dP_{1L} d^2 P_{1T} \quad (18)$$

$$= x^2 M^2 p_{02} f(z, \langle P_{1T} \rangle^{1/2})$$

با توجه به چارچوب تکانه بینهایت انتگرال روی تکانه طولی کواریک و پاد کواریک را می‌توان به انتگرال روی انرژی آنها تبدیل کرد و همچنین انتگرال روی تکانه عرضی با  $\langle P_{2T} \rangle^{1/2}$  جایگذاری کنیم.

حال با قرار دادن روابط (۱۳) و (۱۸) در (۱۷) می‌توان تابع تر کش برای هادرون‌های سنگین به صورت نوشت:

$$D(z, \mu_0) = \frac{1}{2} (\alpha m_1 m_2 M)^2 WFO \frac{|\mathbf{M}|^2}{2(1-Z)Z^2 \xi^2} \quad (19)$$

در رابطه بالا  $|\mathbf{M}|^2$  طبق رابطه (۱۳) تعریف می‌گردد. و  $\xi^2$  نیز طبق رابطه زیر معرفی می‌گردد:

$$\xi^2 = M^2 - t - u$$

که  $u$ ،  $t$  متغیرهای مندلستون و  $M$  نیز جرم مزون نهایی می‌باشند. در زیر تابع تر کش بر حسب کمیت  $Z$  برای مقادیر مختلف انرژی مرکز جرم رسم گردیده است.

$$|\bar{\mathbf{M}}|^2 \cong |\bar{\mathbf{M}}_1|^2 + |\bar{\mathbf{M}}_2|^2 \quad (12)$$

با استفاده از متغیرهای ناوردای مندلستون می‌توان دامنه پراکندگی ناوردا را بصورت زیر نوشت:

$$|\bar{\mathbf{M}}|^2 = 2e^4 \left( -\frac{s}{u} - \frac{u}{s} + \frac{2Q^2 t}{su} \right)$$

$$s = (P_1 + P_2)^2 \cong 2P_1 P_2 \quad (13)$$

$u = (P_1 - P_2')^2 \cong -2P_1 P_2'$      $t = (P_1 - P_1')^2 \cong -2P_1 P_1'$   
که در آن جمله سوم ناشی  $Q^2$  جرم فوتون مجازی می‌باشد. می‌توان تکانه فوتون مجازی را با استفاده از تکانه الکترون و پزیترون نوشت بنابراین:

$$Q^2 = -(k_i - k_i')^2 \cong -k_i^2 \quad (14)$$

در دستگاه مرکز جرم می‌توان گفت هر کدام از فوتون‌ها سهم برابری از انرژی مرکز جرم را حمل می‌کنند بنابراین:

$$P_1 + P_2 = \sqrt{S_{e^-e^+}} \Rightarrow P_1 = P_2 = \frac{\sqrt{S_{e^-e^+}}}{2} \quad (15)$$

$$S_{e^-e^+} = (K_1 + K_2)^2 \cong 2K_1 K_2$$

### محاسبه ضربهای نقطه‌ای

برای محاسبه این ضربها از خواص چار بردار و روابط (۳) استفاده می‌کنیم.

$$2(P_1' P_1) = \frac{1-Z}{X_1 Z} (m_1^2 + P_T^2) + \frac{X_1 Z}{1-Z} (m_{1\gamma}^2 + P_T^2)$$

$$2(P_1 P_2') = \frac{XZ}{1-Z} (m_{1\gamma}^2 + P_T^2) + \frac{1-Z}{XZ} (m_2^2 + P_T^2) \quad (16)$$

$$2(P_1 P_2) = 1-Z (m_{2\gamma}^2 + P_T^2) + \frac{1}{1-Z} (m_{1\gamma}^2 + P_T^2) + 2P_T^2$$

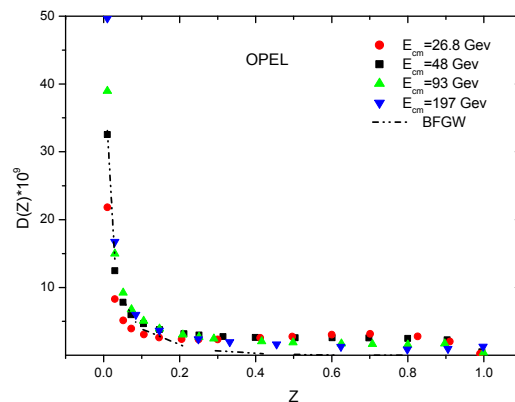
که در رابطه بالا  $X_1 = X_2 = X$  می‌باشد. با قرار دادن رابطه بالا در (۱۳)، دامنه پراکندگی نا ورده بدست می‌آید که به کمک آن و رابطه عامل بندی (۳) تابع تر کش بصورت زیر به دست می‌آید:

[۳] Braaten E and Cheung K 1995 Phys. Rev. D 51 4819

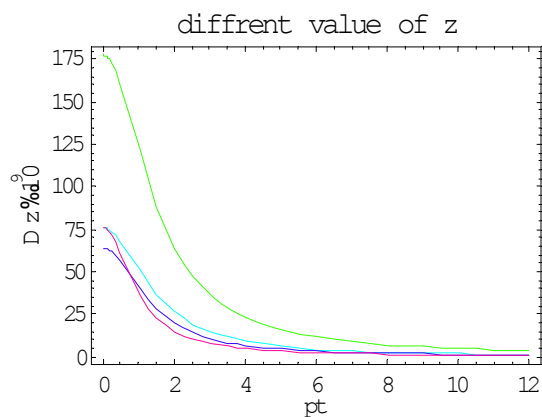
[۴] M.A. Gomshi Nobary and B. Javadi, Eur.Phys.J.C42, (2005)37.

E. Braaten, S. Fleming and T.C. Yuan, Ann. Rev. Nuc.Part. Sci. 46,(1996) 197.

[۵] L. Bourhis, et al, arXiv:hep-ph/0009101v1 8 Sep 2000



شکل ۲: تابع ترکش رسم شده بر حسب Z به ازای مقاس های مختلف که با مقدار پیش بینی BFGW (۵) (نقطه چین) مقایسه شده است.



شکل ۳: تابع ترکش بر حسب pt به ازای مقادیر مختلف Z

### نتیجه گیری:

تابع ترکش در فرایند دوفوتونی برای انرژی LEP در فرایند دوفوتونی محاسبه شده است. این تابع ترکش در مقیاس های مختلف بر حسب کمیت Z (شکل ۲) و کمیت Pt (شکل ۳) رسم شده است. و با مقادیر پیش بینی شده در دومین مرتبه نمودار فاینمن توسط BFGW (۵) مقایسه شده است.

### مرجع ها:

[۱] G. R. Boroun and H. Abdolmalki, Phys. Scr. 80 (2009) 065003.

[۲] S. Frixione et al, arXiv:hep-ph/002112v1 10 Feb 2000

## محاسبه توابع ترکش کائون تا مرتبه NLO

سلیمانی‌نیا، مریم<sup>۱</sup>؛ خرمیان، علی<sup>۲</sup>؛ موسوی نژاد، محمد<sup>۳</sup><sup>۱</sup>گروه فیزیک، دانشگاه سمنان<sup>۲</sup>دانشکده فیزیک دانشگاه یزد<sup>۳</sup>پژوهشکده فیزیک ذرات و شتابگرها، پژوهشگاه دانش‌های بنیادی (IPM)

## چکیده

در این مقاله توابع ترکش جدیدی برای مزون کائون ارائه می‌دهیم که مربوط به فرآیند تولید هادرون در نابودی الکترون-پوزیترون هستند. این توابع ترکش توسط آنالیز برازش کلی  $\chi^2$  و به کمک داده‌های گزارش شده از گروه‌های TPC, TOPAZ, OPAL, DELPHI, SLD, ALEPH و TASSO در مقیاس اولیه  $Q_0^2 = 1\text{GeV}^2$  تا مرتبه NLO محاسبه می‌شوند. اهمیت این برازش در استفاده از داده‌هایی است که در آن‌ها فرآیند ترکش به صورت مجزا برای کوارک‌های سبک  $u, d, s$  و سنگین  $c, b$  در نظر گرفته می‌شود.

## Determination of Kaon Fragmentation Functions up to NLO

Soleymaninia, Maryam<sup>1,3</sup>; Khorramian, Ali<sup>1,3</sup>; Moosavi Nejad, Mohammad<sup>2,3</sup><sup>1</sup> Department of Physics, Semnan University, Semnan,<sup>2</sup> Department of Physics, Yazd University, Yazd,<sup>3</sup> School of particles and accelerators, Institute for Research in Fundamental Science (IPM),  
P.O. Box 19395-5531, Tehran, Iran

## Abstract

In this paper, we present new kaon fragmentation functions related to the hadron production process in electron-positron annihilation. These fragmentation functions are calculated by global fitting analysis and data reported by TOPAZ, OPAL, SLD, DELPHI, ALEPH and TASSO collaborations in initial scale  $Q_0^2 = 1\text{GeV}^2$  up to NLO order. The importance of this fitting is to use the data in which fragmentation is considered as separated process for light ( $u, d, s$ ) and heavy ( $c, b$ ) quarks.

PACS No. (13)

محاسبه بخش اختلالی بسیاری از فرآیندهای هادرونی، در QCD

اختلالی، تا مراتب NLO و حتی NNLO انجام شده است. جزء مهم دیگر، تعیین بخش غیراختلالی فرآیند است که در حالت کلی به کمک توابع توزیع پارتون و توابع ترکش توصیف می‌شوند. توابع ترکش، توصیف کننده بخش هادرونی برهمکنش‌های انرژی بالا همانند نابودی الکترون-پوزیترون، پراکندگی لبتون‌ها از نوکلئون‌ها، برخوردهای پروتون-پروتون و برخوردهای یون‌های سنگین هستند. از آنجا که توابع ترکش مربوط به بخش QCD

## مقدمه

در سیستم فرآیندهای هادرونی انرژی بالا مانند RHIC<sup>۳۹</sup> و LHC<sup>۴۰</sup> استفاده از پیشگویی‌های QCD<sup>۴۱</sup> برای تعیین آهنگ واپاشی یا سطح مقطع فرایندهای تولید هادرون ضروری است.

Relativistic Heavy Ion Collider ۳۹  
Large Hadron Collider ۴۰  
Quantum Chromo Dynamics ۴۱



در رهیافت بازبهنجارش  $\overline{MS}^{33}$ ، شرط زیر را برای تابع ترکش داریم

$$\int_z^1 dz z \sum_h D_i^h(z) = 1, \quad (4)$$

که بیانگر اصل بقاء انرژی است. همچنین

$$\frac{1}{2\sigma_{tot}} \int_0^1 dz z \sum_h \frac{d\sigma^h}{dz} = 1. \quad (5)$$

توابع ترکش در مقیاس اولیه  $Q_0^2$  به صورت تابعی از پارامترهای مجهول تعریف می‌شوند و سپس با استفاده از برازش داده‌های مربوط به فرایند  $e^+ + e^- \rightarrow h + X$  (که  $h = K^\pm$ ) پارامترها تعیین می‌شوند [۵-۷].

در این مقاله توابع ترکش طبق قاعده‌ی خاص پارامتری می‌شوند. توابع پارامتری برای کوارک‌های ظرفیت  $u$  و  $d$  یکسان و برای کوارک ظرفیت  $s$  (به دلیل اختلاف جرمش با کوارک‌های سبک) متفاوت در نظر گرفته می‌شوند. همچنین برای همه‌ی کوارک‌های دریای سبک، تابع ترکش مشترک تعریف می‌نماییم. گلئون، کوارک  $c$  و  $b$  هر کدام فرم پارامتری مخصوص به خود دارند و این کوارک‌های سنگین دارای فرم یکسانی با پاد کوارک-های خود هستند.

فرم کلی تابع ترکش در این مقاله برای کوارک‌های سبک عبارتست از

$$D(z, Q_0^2) = Nz^\alpha (1-z)^\beta (1+\gamma z + \lambda x^{0.5}), \quad (6)$$

و برای کوارک‌های سنگین و گلئون به صورت

$$D(z, Q_s^2) = Nz^\alpha (1-z)^\beta \quad (7)$$

در نظر گرفته می‌شود. با توجه به این که مزون  $K^+$  از کوارک-های سبک  $u\bar{s}$  تشکیل شده است توابع ترکش برای کوارک‌های سبک و گلئون بدین صورت تعریف می‌شوند

$$D_u^{K^+}(z, Q_0^2) = N_u^{K^+} z^{\alpha_u^{K^+}} (1-z)^{\beta_u^{K^+}} (1+\gamma_u^{K^+} z + \lambda_u^{K^+} z^{0.5}), \quad (8)$$

$$D_s^{K^+}(z, Q_0^2) = N_s^{K^+} z^{\alpha_s^{K^+}} (1-z)^{\beta_s^{K^+}} (1+\gamma_s^{K^+} z + \lambda_s^{K^+} z^{0.5}), \quad (9)$$

غیراختلالی می‌باشند بنابراین نمی‌توان آن‌ها را فقط از روش‌های تئوری محاسبه کرد. محاسبه‌ی این توابع شبیه به تعیین توابع توزیع پارتون‌ها است [۴-۱] و داده‌های آزمایشگاهی برای تعیین مجهولات تئوری به کار می‌روند. در این مقاله از داده‌های نابودی الکترون-پوزیترون برای تعیین توابع ترکش در مراتب LO و NLO استفاده می‌کنیم.

در مدل پارتون، توابع ترکش  $D_p^h(z)$  مفهوم چگالی احتمال را دارند که در آن

$$z = 2E_h/Q = 2p_h \cdot q / Q^2 \quad (1)$$

کسری از تکانه است که هادرون از پارتون دریافت می‌کند. به عبارتی  $D_p^h(z)dz$  بیانگر تعداد هادرون‌هایی بوجود آمده از پارتون نهایی  $p$  است که دارای کسر تکانه خطی در ناحیه  $(z, z+dz)$  هستند.

### ترکش پارتون در برخوردهای $e^+e^-$

در تعیین تابع ترکش همواره از فرایندی که بیشترین دقتترین داده‌های آزمایشگاهی برای آن موجود است استفاده می‌شود. لذا فرایند نابودی الکترون-پوزیترون با سطح مقطع تعریف شده به صورت

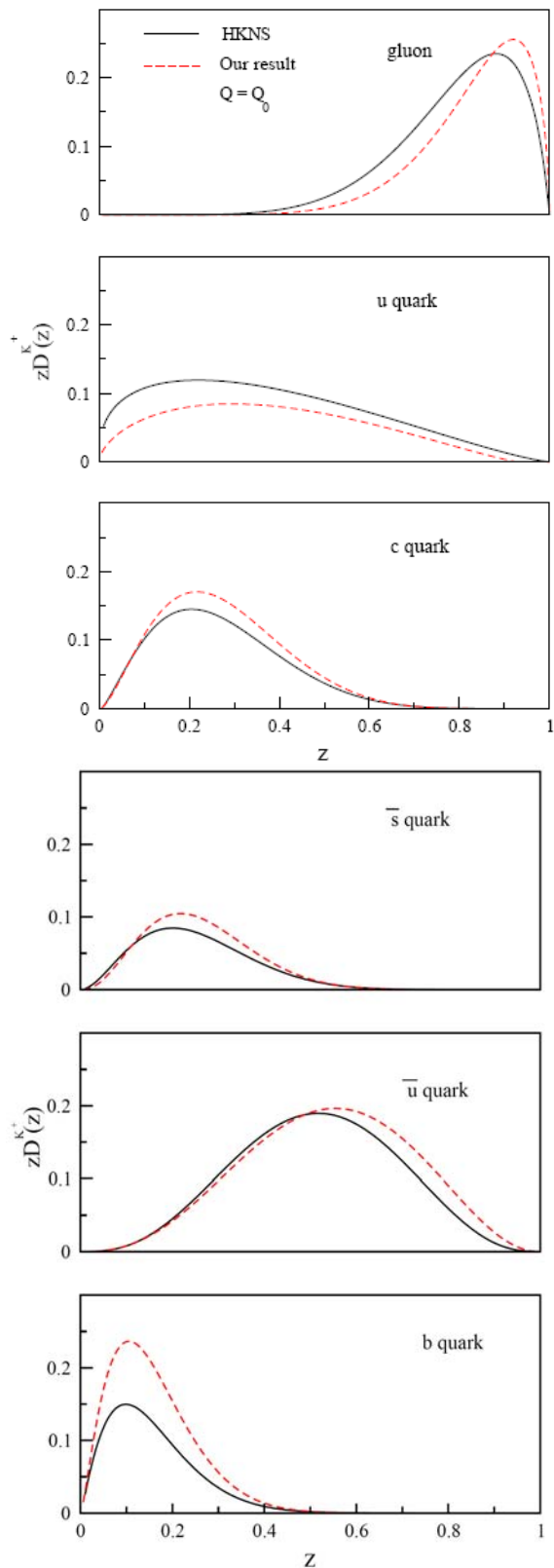
$$\frac{d\sigma(e^+e^- \rightarrow \gamma, Z^0 \rightarrow h, X)}{dz} \equiv \frac{d\sigma^h}{dz} = \frac{d\sigma_T^h}{dz} + \frac{d\sigma_L^h}{dz}, \quad (2)$$

را در نظر می‌گیریم که در آن انرژی هادرون تولید شده در مقیاس انرژی  $Q/2 = \sqrt{s}/2$  است. سمت راست معادله‌ی (۲) به سهم‌های مربوط به بوزون‌های مجازی عرضی (T) و طولی (L) تقسیم شده است که محور قطبش در جهت تکانه‌ی هادرون  $h$  است.

مطابق با قضیه جداسازی<sup>۲۲</sup> در تئوری QCD می‌توان بخش اختلالی و غیراختلالی فرایند را از هم جدا کرد که در این صورت برای سطح مقطع دیفرانسیلی داریم

$$\frac{d\sigma_{P=T,L}^h}{dz} = \sum_{i=u,d,s,\dots} \int_z^1 \frac{d\zeta}{\zeta} C_P^i(\zeta, Q^2, \mu_R^2) \times D_i^h\left(\frac{z}{\zeta}, \mu_F^2\right), \quad (3)$$

که  $\mu_R^2$  و  $\mu_F^2$  مقیاس‌های جداسازی و بازبهنجارش بوده و مقادیر آنها اختیاری است. لذا جهت ساده سازی همواره فرض می‌کنیم  $\mu_F^2 = \mu_R^2 = Q^2$ .



شکل ۱: توابع ترکش کائون در  $Q_0^2 = 1\text{GeV}^2, m_c^2, m_b^2$  در مراتب NLO.

$$D_u^{K^+}(z, Q_0^2) = D_d^{K^+}(z, Q_0^2) = D_s^{K^+}(z, Q_0^2) = D_g^{K^+}(z, Q_0^2) = N_u^{K^+} z^{\alpha_u^{K^+}} (1-z)^{\beta_u^{K^+}} (1 + \gamma_u^{K^+} z + \lambda_u^{K^+} z^{0.5}), \quad (10)$$

$$D_g^{K^+}(z, Q_0^2) = N_g^{K^+} z^{\alpha_g^{K^+}} (1-z)^{\beta_g^{K^+}}. \quad (11)$$

توابع ترکش بالا را در مقیاس اولیه برابر با  $Q_0^2 = 1\text{GeV}^2$  تعریف کرده‌ایم. اما اگر پایون از کوآرک‌های سنگین  $c, b$  تولید شود به دلیل تفاوت جرم آن‌ها با کوآرک‌های سبک توابع ترکش مجزا برای آن‌ها تعریف می‌کنیم:

$$D_c^{K^+}(z, Q_0^2) = D_b^{K^+}(z, Q_0^2) = N_c^{K^+} z^{\alpha_c^{K^+}} (1-z)^{\beta_c^{K^+}}, \quad (12)$$

$$D_b^{K^+}(z, Q_0^2) = D_c^{K^+}(z, Q_0^2) = N_b^{K^+} z^{\alpha_b^{K^+}} (1-z)^{\beta_b^{K^+}}. \quad (13)$$

برای محاسبه‌ی تحول‌های  $Q^2$  و همچنین ثابت جفت شدگی  $\alpha_s(Q^2)$ ، برای کوآرک‌های سنگین انرژی آستانه  $Q^2 = m_c^2, m_b^2$  در نظر گرفته می‌شود.

بدین ترتیب با استفاده از داده‌های تجربی  $e^+ + e^- \rightarrow K^{\pm} + X$  [۱۱-۱۸] و توابع ترکش در مقیاس اولیه می‌توان برازش را برای محاسبه‌ی  $\chi^2$  انجام داد [۱۲ و ۱۳]

$$\chi^2 = \sum_j \frac{(F_j^{data} - F_j^{theo})^2}{(\sigma_j^{data})^2}, \quad (14)$$

که  $F_j^{data}$  و  $F_j^{theo}$  مقادیر آزمایشگاهی و تئوری سطح مقطع دیفرانسیلی  $F(z, Q^2)$  می‌باشند. خطاهای آزمایشگاهی شامل خطاهای سیستماتیک و خطاهای آماری هستند

$$(\sigma_j^{data})^2 = (\sigma_j^{sys})^2 + (\sigma_j^{stat})^2. \quad (15)$$

## نتیجه گیری

در این مقاله توابع ترکش جدید برای کائون تا مرتبه‌ی NLO با استفاده از برازش داده‌های مربوط به تولید کائون از نابودی الکترون-پوزیترون بدست آمده‌اند که در شکل ۱ نمایش داده شده‌اند و با نتایج گروه دیگر به نام HKNS [۵] مقایسه شده‌اند. نتیجه‌ی این مقایسه حاکی از قابل قبول بودن نتایج ما با سایر گروه‌های تئوری است.

مرجع‌ها

- [۱] M.Soleymaninia, Ali N. Khorramian, *Int. J. Mod. Phys. A* **26** (2011), 686-687.
- M.Soleymaninia, Ali N. Khorramian, S. Atashbar, Proceedings of [۲] the Conference in Honor of Murray Gell-Mann's 80th Birthday, *World Scientific*, 451-458 (2010).
- [۳] A. N. Khorramian, H. Khanpour, S. Atashbar Tehrani, *Phys. Rev. D* **81**: 014013, 2010.
- [۴] Ali N. Khorramian, H. Khanpour, S. Atashbar Tehrani, PoS EPS-HEP2009:393,2009.
- [۵] M. Hirai, S. Kumano, T.-H. Nagai, and K. Sudoh, *Phys. Rev. D* **75** (2007), 094009.
- [۶] M. Hirai and S. Kumano, *Nucl. Phys. B* **813** (2009).
- [۷] D. de Florian, R. Sassot, and M. Stratmann, *Phys. Rev. D* **75** (2007).
- [۸] K. Abe et al. (SLD Collaboration), *Phys. Rev. D* **69**, 072003 (2004).
- [۹] P. Abreu et al. (DELPHI Collaboration), *Eur. Phys. J. C* **5**, 585 (1998).
- [۱۰] D. Buskulic et al. (ALEPH Collaboration), *Z. Phys. C* **66**, 355 (1995).
- [۱۱] R. Akers et al. (OPAL Collaboration), *Z. Phys. C* **63**, 181 (1994).
- [۱۲] MB. A. Kniehl and G. Kramer, *Phys. Rev. D* **71**, 094013 (2005); **74**, 037502 (2006).
- [۱۳] S. Kretzer, *Phys. Rev. D* **62**, 054001 (2000).

## واپاشی مزون B به مزون های بردار- محور در تقریب فاکتوریزیشن QCD

سیاحی ، محبوبه ؛ مهربان ، حسین

دانشگاه فیزیک ، دانشگاه سمنان

### چکیده

در این مقاله، واپاشی هادرونی واپاشی های  $B \rightarrow J/\psi K_1(1400)$  و  $B \rightarrow J/\psi K_1(1270)$  با استفاده از روش فاکتوریزیشن QCD و همچنین فاکتوریزیشن تعمیم یافته بدست آورده شده است. با محاسبه ضرایب مؤثر  $a_i^h$  برای مقادیر هلیسیتی  $h=0, +, -$  سهم های متفاوتی از دامنه واپاشی را بدست آورده ایم. فرض می کنیم که مزون  $J/\psi$  به صورت مزونی سبک در مقایسه با مزون  $B$  رفتار می کند. نسبت تناسبات واپاشی های  $B \rightarrow J/\psi K_1(1400)$  و  $B \rightarrow J/\psi K_1(1270)$  به طور تجربی به ترتیب  $< 5 \times 10^{-4}$  و  $(1.8 \pm 0.5) \times 10^{-3}$  است. بهترین نتایج بدست آمده در این مقاله برای واپاشی  $B \rightarrow J/\psi K_1(1270)$  برابر با  $1.79 \times 10^{-3}$  و  $1.4 \times 10^{-3}$  به ترتیب برای زاویه های  $\theta = 58^\circ$  و  $\theta = 32^\circ$  و برای واپاشی  $B \rightarrow J/\psi K_1(1400)$  بهترین نتیجه در زاویه  $\theta = 32^\circ$  برابر  $3.45 \times 10^{-4}$  بدست آمده است.

## B to Axial-Vector Mesons decays in QCD Factorization Approach

Sayahi, Mahboobeh; Mehrban, Hossein

Department Physics, Semnan University

### Abstract

In this paper, the hadronic decays  $B \rightarrow J/\psi K_1(1400)$  and  $B \rightarrow J/\psi K_1(1270)$  have been analyzed within QCD factorization approach and also in generalized factorization. The effective coefficients  $a_i^h$  have been calculated for three helicity states  $h=0, +, -$ ; which are given different contributions of amplitudes. We have considered that  $J/\psi$  treat as a light meson in comparison with  $B$ . For  $B \rightarrow J/\psi K_1(1270)$  and  $B \rightarrow J/\psi K_1(1400)$ , the experiment data of branching ratios are  $(1.8 \pm 0.5) \times 10^{-3}$  and  $< 5 \times 10^{-4}$ , respectively. Our best obtained results are  $1.79 \times 10^{-3}$  at  $\theta=58^\circ$  and  $1.4 \times 10^{-3}$  at  $\theta=32^\circ$  for  $B \rightarrow J/\psi K_1(1270)$  decay. And for  $B \rightarrow J/\psi K_1(1400)$ , we have  $3.45 \times 10^{-4}$  at  $\theta=32^\circ$ .

### مقدمه

سیستم  $(B, K)$  داشته باشد و در واقع در این سیستم همانند مزونی سبک رفتار می کند؛ از اینرو ما را ملزم به روش فاکتوریزیشن اصلاح یافته در این دسته واپاشی ها می سازد. هامیلتونی مؤثر  $H_{eff}$  به صورت زیر نوشته می شود:

$$H_{eff} = \frac{G_F}{\sqrt{2}} (V_{cb}V_{cs}^* (C_1 O_1 + C_2 O_2) - V_{tb}V_{ts}^* \sum_{i=3}^{10} C_i O_i) \quad (1)$$

که  $C_i$  ضرایب ویلسون در مرتبه دوم (NLO) هستند که در مقیاس بازهنجارش  $\mu = m_b$  بدست آورده شده اند.  $V_{cb}V_{cs}^*$  و  $V_{tb}V_{ts}^*$  ضرب عناصر ماتریس CKM می باشند. عملگرهای  $O_i(\mu)$  عملگرهای موضعی اند که به طور مؤثر، واپاشی مورد نظر را با باز سازی اندرکنش ضعیف کوارک ها در تقریب نقطه

عمومی ترین روش پدیدارشناسی برای بررسی خواص واپاشی های مزون  $B$  تقریب فاکتوریزیشن می باشد که با استفاده از هامیلتونی مؤثر، نسبت های انشعابی واپاشی هادرونی مزون  $B$  محاسبه می شود. در اینجا به صورت تئوری، واپاشی های هادرونی  $B \rightarrow J/\psi K_1(1270)$  و  $B \rightarrow J/\psi K_1(1400)$  در فاکتوریزیشن QCD را بررسی کرده ایم که در آن مزون تابیده شده  $J/\psi$  یک کوارکونیوم برداری است. در این واپاشی ها با توجه به نوع واپاشی ضعیف؛ کوارک ناظر در مزون  $B$  توسط مزون های بردار-محور سبک حمل می شود. به هر حال مسئله خاصی که در مورد  $J/\psi$  وجود دارد این است که اندازه چارمونیوم بسیار کوچکتر از آن است که بتواند همپوشانی با

ضرائب آشکار می شوند که ضرائب موثر نامیده می شوند. از طرفی این واپاشی دارای سهم color-suppressed می باشد و از اینرو ضریب موثر  $a_2$  را داراست و همچنین سهم های پنگوئی  $a_3, a_5, a_7, a_9$  نیز غیر صفر می باشند. در نتیجه دامنه های هلیسسته به صورت

$$A^{\pm}(B \rightarrow J/\psi K_{1A}) = [V_{cb}^* V_{cs}^2 a_2^{\pm} - V_{cb}^* V_{cs}^2 (a_3^{\pm} + a_5^{\pm} + a_7^{\pm} + a_9^{\pm})] A_2^{\pm}(m_{J/\psi}^2/\mu^2)$$

$$A^{\pm}(B \rightarrow J/\psi K_{1B}) = [V_{cb}^* V_{cs}^2 a_2^{\pm} - V_{cb}^* V_{cs}^2 (a_3^{\pm} + a_5^{\pm} + a_7^{\pm} + a_9^{\pm})] A_2^{\pm}(m_{J/\psi}^2/\mu^2) \quad (4)$$

می باشند که دامنه های فاکتور پذیربا هلیسسته متفاوت فاکتور به صورت زیر است

$$K_0^{\pm}(B \rightarrow J/\psi K_{1A}) = \frac{V_{cb}^* V_{cs}^2}{2\alpha_s} [(m_b^2 - m_{J/\psi}^2 - m_c^2) (m_b + m_c) A_1^{\pm}(m_{J/\psi}^2/\mu^2) - \frac{m_b m_c}{m_b + m_c} A_2^{\pm}(m_{J/\psi}^2/\mu^2)]$$

$$K_{\frac{1}{2}}^{\pm}(B \rightarrow J/\psi K_{1A}) = -V_{cb}^* V_{cs}^2 m_{J/\psi} (m_b + m_c) A_1^{\pm}(m_{J/\psi}^2/\mu^2) \mp \frac{2m_b m_c}{m_b + m_c} A_2^{\pm}(m_{J/\psi}^2/\mu^2) \quad (5)$$

که از ترکیب دو عنصر ماتریسی شامل ثابت واپاشی و فرم فاکتورها بدست آمده است.  $A_1, A_2, V$  فرم فاکتورهای گذار  $B \rightarrow K_{1B}$  و  $B \rightarrow K_{1A}$  در مقیاس  $m_{J/\psi}^2$  هستند.  $p_c$  تکانه مرکز جرم سیستم است. در فاکتوریزیشن تعمیم یافته از ضرائب ویلسون مستقل از مقیاس بازهنجارش است استفاده شده که این از مرجع [5] گرفته شده است که ضرائب موثر این روش با ضرائب فاکتوریزیشن ساده بدست می آید. ضرائب موثر  $a_i$  که شامل سهم های تصحیحات QCD فاکتور ناپذیر می باشند به صورت

$$a_i^{\pm}(J/\psi K_{1A}(K_{1B})) = \left\{ C_i + \frac{C_{E1}}{C_i} \right\} H_i^{\pm}(J/\psi) \int_0^1 \phi^{J/\psi}(x) dx + \frac{C_{E1} C_i}{C_i} \left[ V_i^{\pm}(J/\psi) + \frac{C_{E1}}{C_i} H_i^{\pm}(J/\psi K_{1A}(K_{1B})) \right] \quad (6)$$

$V_i^{\pm}(J/\psi)$  و  $H_i^{\pm}(J/\psi)$  به ترتیب سهم های ورتکسی و پراکندگی ناظر سخت (وجود گلئون hard) را بیان می کنند. در حد کوآرک سنگین، سهم های ورتکسی در حالتی که از جرم مزون  $J/\psi$  در برابر مزون B صرف نظر شود [7و6]:

ای کنترل می کنند. عملگرهای مربوطه در  $H_{eff}$  عملگرهای موضعی جریان-جریان، پنگوئی QCD و پنگوئی الکتروویک می باشند. برای بدست آوردن دامنه واپاشی، هامیلتونی موثر را روی حالات نهائی اثر می دهیم. در نتیجه دامنه های واپاشی غیر لپتونی B شامل عناصر هادرونی ماتریس،  $(M_1 M_2, O_1|B)$ ؛ است و محاسبه آن دشوار است، چون نیازمند عناصر ماتریسی هادرونی عملگرهای چهار کوآرکی است. با فرض اینکه آنها با حالت میانی خلاء آمیخته شوند، به ضرب دو عنصر ماتریسی از جریان دو کوآرکی فاکتور می شوند، که متناسب با فرم فاکتور گذار ضعیف و ثابت واپاشی است [2و1].

حالت های فیزیکی  $K_1(1400)$  و  $K_1(1270)$  ترکیبی از حالت های  $K_{1B}$  و  $K_{1A}$  می باشند که روابط آنها به صورت زیر پارامتر گذاری می شود [3]:

$$K_1(1270) = K_{1A} \sin \theta + K_{1B} \cos \theta$$

$$K_1(1400) = K_{1A} \cos \theta - K_{1B} \sin \theta \quad (2)$$

که  $K_{1B}$  و  $K_{1A}$  مزون های بردار-محور  $^3P_1$  و  $^1P_1$  می باشند و  $\theta$  زاویه mixing این دو مزون را بیان می کند. با استفاده از داده های تجربی مربوط به جرم ها و نسبت های جزئی مزون های  $K_{1B}$  و  $K_{1A}$  دو جواب برای این زاویه در مرجع [4] داده شده است که مقادیر آنها برابر  $32^\circ$  و  $58^\circ$  می باشد. از اینرو دامنه های واپاشی فیزیکی این دو واپاشی را به صورت زیر داریم:

$$A(B \rightarrow J/\psi K_1(1270)) = A(B \rightarrow J/\psi K_{1A}) \sin \theta + A(B \rightarrow J/\psi K_{1B}) \cos \theta$$

$$A(B \rightarrow J/\psi K_1(1400)) = A(B \rightarrow J/\psi K_{1A}) \cos \theta - A(B \rightarrow J/\psi K_{1B}) \sin \theta \quad (3)$$

از آنجائیکه در حالت های نهائی این دسته واپاشی ها درجه آزادی های اسپینی حمل می شود دامنه های هلیسسته آنها را به طور جداگانه محاسبه می کنیم که شامل دامنه های طولی  $\mathbf{h} = 0$  و عرضی  $\mathbf{h} = \pm 1$  می باشند. با استفاده از تقریب فاکتوریزیشن QCD می توان عناصر ماتریسی را به صورت انتگرال های پیچیده ای از فرم فاکتورها و  $\phi_M$  ها دامنه توزیع مخروط نوری (LCDA) و هسته های پراکندگی سخت نوشت [2]. با در نظر گرفتن تصحیحات QCD که در دربردارنده سهم های ورتکسی و اندرکنشهای ناظر سخت می باشد؛ سهم های فاکتور ناشدنی در

$$H_I^{\pm}(J/\psi K_{1410}) = \frac{2if_1 f_2 f^{\pm} g_{14}(a_{10})^{m_{14}/\psi} m_{14} m_B}{\chi_{\pm}^{(m_{14}/\psi)}} \lambda_B \times \int_0^1 dy dx \frac{G - \alpha y^2}{(1-y)^2} \frac{e^{i\alpha y} \phi_{\pm}^{J/\psi}(x)}{(1-y)^2} \quad (14)$$

برای مزون  $J/\psi$  دامنه های توزیع مجانبی را به صورت  $\phi_{\pm}(x) = 3x(1-x)$  در نظر گرفته شده و سهم های توزیع مربوط به دامنه های طولی و عرضی برابر  $\phi_{\pm}(x) = 3x^2$  و  $\phi_{\pm}(x) = 3x$  می باشند.  $\lambda_{\pm}^+$  و  $\lambda_{\pm}^-$  ثابت های واپاشی طولی و عرضی مربوط به مزون های بردار محور و  $\lambda_{\pm}^0$  ثابت واپاشی مزون برداری در واپاشی میباشند. واگرائی های ایجاد شده در سهم های پراکندگی سخت با استفاده از رابطه زیر برطرف شده است:

$$\chi_{\pm}^{\pm} = \int_0^1 \frac{dx}{1-x} = \ln\left(\frac{m_B}{\lambda_{QCD}}\right) \quad (15)$$

در مخرج کسر می توانیم با اضافه کردن کمیتی از مرتبه  $A_{QCD}/m_B$  می توانیم به عبارت بالا برسیم. از طرفی نسبت تناسب در این واپاشی ها را می توان به صورت زیر نوشت [8]:

$$BR(B \rightarrow VA) = \frac{P_c}{8m_B^2 \tau_B} \left(\frac{G_F}{\sqrt{2}}\right)^2 (|A_0|^2 + |A_+|^2 + |A_-|^2) \quad (16)$$

$G_F$  ثابت فرمی و  $\tau_B$  نیمه عمر مزون B است. کمیت های مورد استفاده در اینجا عبارتند از [9]

$$m_b = 4.4 GeV, m_c = 1.5 GeV, m_B = 5.28 GeV, m_{J/\psi} = 3.1 GeV, f_{J/\psi} = 405 MeV, f_B = 190 MeV,$$

$$\alpha_s(\mu = m_b) \approx 0.2, C_F = \frac{N^2 - 1}{2N} = \frac{4}{3}$$

$$\lambda_B \approx \lambda_{QCD} = 0.225 GeV, G_F = 1.166 \times 10^{-5}$$

$$\tau_{B^0} = (1.525 \pm 0.009) \times 10^{-12} S.$$

همچنین ضرائب ویلسون در NLO و در مقیاس  $\mu = m_b$  و عناصر ماتریس CKM از داده های مراجع [1] و [10] استفاده شده است.

نتیجه گیری

واپاشی های هادرونی  $B \rightarrow J/\psi K_1(1400)$  و  $B \rightarrow J/\psi K_1(1270)$  در روش فاکتوریزیشن QCD بررسی شده است.

$$\psi^{\pm}(J/\psi) =$$

$$\begin{cases} \int_0^1 dx \phi_1^{J/\psi}(x) [12\ln\frac{m_B}{\mu} - 18 + g(x)], i=2,3,9 \\ \int_0^1 dx \phi_2^{J/\psi}(x) [-12\ln\frac{m_B}{\mu} + 6 - g(1-x)], i=5,7, \end{cases}$$

$$\psi_{\pm}^{\pm}(J/\psi) = \begin{cases} \int_0^1 dx \phi_{\pm}^{J/\psi}(x) [12\ln\frac{m_B}{\mu} - 18 + g_{\pm}(x)], i=2,3,9 \\ \int_0^1 dx \phi_{\pm}^{J/\psi}(x) [-12\ln\frac{m_B}{\mu} + 6 - g_{\pm}(1-x)], i=5,7, \end{cases} \quad (7)$$

که

$$g_{\pm}(x) = 3 \left( \frac{1-2x}{1-x} \ln x - \ln^2 x \right)$$

$$g_{\pm}(x) = g(x) + \frac{4x}{1-x} \quad (8)$$

و سهم های پراکندگی ناظر سخت به صورت

$$H_I^{\pm}(J/\psi K_{1410}) = \frac{4ef_1 f_2 f^{\pm} g_{14}(a_{10})^{m_{14}/\psi} m_B}{\chi_{\pm}^{(m_{14}/\psi)}} \lambda_B \times \int_0^1 dy dx \left( \frac{e^{i\alpha y} \phi_{\pm}^{J/\psi}(x)}{(1-y)^2} - \frac{e^{i\alpha y} \phi_{\pm}^{J/\psi}(x)}{(1-y)^2} \right) \quad (9)$$

برای  $i=2,3,9$  و

$$H_I^{\pm}(J/\psi K_{1410}) = - \frac{4ef_1 f_2 f^{\pm} g_{14}(a_{10})^{m_{14}/\psi} m_B}{\chi_{\pm}^{(m_{14}/\psi)}} \lambda_B \times \int_0^1 dy dx \left( \frac{e^{i\alpha y} \phi_{\pm}^{J/\psi}(x)}{(1-y)^2} - \frac{e^{i\alpha y} \phi_{\pm}^{J/\psi}(x)}{(1-y)^2} \right) \quad (10)$$

برای  $i=5,7$ . همچنین جملات پراکندگی سخت عرضی به

صورت زیر بیان شده است:

$$H_I^{\pm}(J/\psi K_{1410}) = \frac{2if_1 f_2 f^{\pm} g_{14}(a_{10})^{m_{14}/\psi} m_B}{\chi_{\pm}^{(m_{14}/\psi)}} \lambda_B \times \int_0^1 dy dx \frac{e^{i\alpha y} \phi_{\pm}^{J/\psi}(x)}{(1-y)^2} \quad (11)$$

$$H_I^{\pm}(J/\psi K_{1410}) = - \frac{2if_1 f_2 f^{\pm} g_{14}(a_{10})^{m_{14}/\psi} m_B}{\chi_{\pm}^{(m_{14}/\psi)}} \lambda_B \times \int_0^1 dy dx \frac{G - \alpha y^2}{(1-y)^2} \frac{e^{i\alpha y} \phi_{\pm}^{J/\psi}(x)}{(1-y)^2} \quad (12)$$

برای  $i=2,3,9$  و

$$H_I^{\pm}(J/\psi K_{1410}) = - \frac{2if_1 f_2 f^{\pm} g_{14}(a_{10})^{m_{14}/\psi} m_B}{\chi_{\pm}^{(m_{14}/\psi)}} \lambda_B \times \int_0^1 dy dx \frac{e^{i\alpha y} \phi_{\pm}^{J/\psi}(x)}{(1-y)^2} \quad (13)$$

کوچک است. نسبت تناسبات واپاشی های  $B \rightarrow J/\psi$   $K_1(1400)$  و  $B \rightarrow J/\psi K_1(1270)$  به طور تجربی به ترتیب  $< 5 \times 10^{-4}$  و  $(1.8 \pm 0.5) \times 10^{-3}$  است. بهترین نتایج بدست آمده در این مقاله برای واپاشی  $B \rightarrow J/\psi K_1(1270)$  برابر با  $1.79 \times 10^{-3}$  و  $1.4 \times 10^{-3}$  به ترتیب برای زاویه های mixing  $\theta = 58^\circ$  و  $\theta = 32^\circ$  و برای واپاشی  $B \rightarrow J/\psi K_1(1400)$  بهترین نتیجه در زاویه  $\theta = 32^\circ$  برابر  $3.45 \times 10^{-4}$  بدست آمده است.

شده است. دامنه های فاکتورپذیر در رابطه (۵) با استفاده از داده های ورودی برای فرم فاکتورها، ثابت های واپاشی و جرم مزون ها محاسبه شده است. سهم های فاکتورناپذیر مربوط به تصحیحات ورتکسی و اندرکنشهای پراکنده ناظر سخت را در حد کوارک سنگین بدست آورده ایم. نسبت تناسبات مربوط به این دو واپاشی در فاکتوریزیشن تعمیم یافته و فاکتوریزیشن QCD در جداول (۱) و (۲) ذکر شده است. در فاکتوریزیشن تعمیم یافته نتایج بدست آمده در مقایسه با داده های تجربی

جدول ۱: نسبت تناسبات مربوط به واپاشی  $B \rightarrow J/\psi K_1(1270)$ 

Factorization method	Mixing angle $\theta^\circ$	$BR(B \rightarrow J/\psi K(1270))$
Generalized	$32^\circ$	$(0.44 \pm 0.02) \times 10^{-4}$
	$58^\circ$	$(0.42 \pm 0.01) \times 10^{-4}$
QCDF	$32^\circ$	$(1.42 \pm 0.01) \times 10^{-3}$
	$58^\circ$	$(1.79 \pm 0.01) \times 10^{-3}$
Exp.		$(1.8 \pm 0.5) \times 10^{-3}$

جدول ۲: نسبت تناسبات مربوط به واپاشی  $B \rightarrow J/\psi K_1(1400)$ 

Factorization method	Mixing angle $\theta^\circ$	$BR(B \rightarrow J/\psi K(1400))$
Generalized	$32^\circ$	$1.27 \times 10^{-6}$
	$58^\circ$	$3.35 \times 10^{-6}$
QCDF	$32^\circ$	$3.45 \times 10^{-4}$
	$58^\circ$	$4.27 \times 10^{-4}$
Exp.		$< 5 \times 10^{-4}$

## مرجع ها

[۱۷] H.Y. Cheng, Y.Y. Keum, K.C. Yang, " $B \rightarrow J/\psi K^*$  Decays in QCD Factorization", *Phys. Rev.* **D65**, 094023 (2002).  
 [۱۸] H.Y. Cheng and K.C. Yang, *Phys. Rev.* **D78**, 094001 (2008).  
 [۱۹] K. Nakamura, et al. "Particle Data Group", *Journal of Physics* **G37**, 075021 (2010).  
 [۱۰] L. Wolfenstein, "Parametrization of the Kobayashi Maskawa Matrix", *Phys. Rev. Lett.* **51**, 1945 (1983).

[۱] G. Buchalla, A.J. Buras, M.E. Lautenbacher, "Weak decays beyond leading logarithms", *Rev. Mod. Phys.* **68**, 1125 (1996).  
 [۲] M. Beneke, M. Neubert, "QCD factorization for  $B \rightarrow PP$  and  $B \rightarrow PV$  Decays", *Nucl. Phys.* **B675**, 333 (2003).  
 [۳] G. Calderon, J.H. Munoz and C.E. Vera, *Phys. Rev.* **D76**, 094019 (2007).  
 [۴] H. Hatanaka and K.C. Yang, *Phys. Rev.* **D77**, 094023 (2008).  
 [۵] C.H. Chen, C.Q. Geng, Y.K. Hsiao, Z.T. Wei, *Phys. Rev.* **D72**, 054011 (2005).  
 [۶] M. Beneke, J. Rohrer, D. Yang; "Branching fractions, polarization and asymmetries of  $B \rightarrow VV$  decays", *Nucl. Phys.* **B774**, 64-101 (2007).

## پلاسمای کوارک-گلوئون گرانیو در جهان آغازین

شهامت دهسرخ<sup>۱</sup>، نرجس<sup>۱</sup>؛ جاویدان، کوروش<sup>۲</sup><sup>۱</sup>دانشکده علوم پایه دانشگاه فردوسی، ابتدای بولوار وکیل آباد، مشهد.<sup>۲</sup>گروه فیزیک، دانشگاه فردوسی، مشهد.

## چکیده

در این کار جهان تخت، همگن و همسانگرد فریدمن-رابرتسون-واکر که از سیال گرانیو علی پلاسمای کوارک-گلوئون پر شده، در نظر گرفته شده است و سپس با استفاده از معادلات میدان اینشتین و فرض پایستگی انرژی کل جهان و نیز در نظر گرفتن معادلات حالت مربوط به کمیت های ترمودینامیکی جهان، که با استفاده از شبیه سازیهای QCD شبکه ای و برخورد دهنده های یون سنگین به دست آمده، به بررسی تحول جهان آغازین پرداخته شده است. مقایسه نتایج به دست آمده با آنچه از یک سیال کامل حاصل می شود بیانگر این است که اثرات اتلافی (در اینجا گرانیوی حجمی) نقش مهمی در تحول جهان اولیه ایفا می کنند. در پایان با انجام حل عددی معادلات، در کنار حل تحلیلی آنها، میزان اعتبار تقریب به کار رفته را در حل تحلیلی بررسی کرده ایم.

## Viscous Quark-Gluon Plasma in the Early Universe

Shahamat Dehsorkh, Narjes<sup>1</sup>; Javidan, Kurosh<sup>2</sup><sup>1</sup>Faculty of science, Ferdowsi University of Mashhad, Mashhad<sup>2</sup>Department of Physics, Ferdowsi University, Mashhad

## Abstract

*In this treatment the flat, homogenous and isotropic FRW universe, filled with the causal bulk viscous Quark-Gluon Plasma, has been considered. The study of the early universe has been done through use of Einstein field equations, assumption of total energy conservation and equations of state deduced from Lattice QCD simulations and recent heavy-ion collisions experiments. The comparison of results with what has been deduced from perfect fluid shows that the dissipative effects play an important role in the early universe evolutions. Finally we have solved equations by numerical methods and have studied the validation of their approximate analytic solutions.*

PACS No.12.38.Mh

در ایجاد یک نظریه برای سیال های نسبیتی توسط اکارت، در سال ۱۹۴۰، و سپس لاندائو و لیفشیتز، در دهه ۱۹۵۰، صورت گرفت [1]. اما در این نظریه ها مشکلاتی وجود داشت از جمله ناپایداری تمام حالت های تعادلی و نیز امکان انتشار اختلالات اتلافی، مانند گرانیوی و جریان حرارتی، با سرعتی بیشتر از سرعت انتشار نور. این مشکلات به مرتبه اول بودن نظریه بر می گشت.

یک نظریه نسبیتی از مرتبه دو نخستین بار توسط اسرائیل [2] ارائه شد که امروزه ترمودینامیک برگشت ناپذیر بسط یافته نام

## مقدمه

کاوش ها در جهان آغازین بیانگر این است که در حدود  $10^{-5}$  ثانیه پس از انفجار بزرگ و در دمایی حدود 150-200 MeV جهان به صورت پلاسمای کوارک-گلوئون بوده است. در حال حاضر آزمایش های متعددی در LHC و RHIC به منظور بررسی چنین حالتی از ماده در حال انجام است.

اثرات اتلافی، شامل گرانیوی حجمی و برشی، در چنین سیالی نقش مهمی در تحول جهان اولیه ایفا می کنند. نخستین تلاش ها



با توجه به پایستگی تانسور انرژی-تکانه،  $T_{ij}^i = 0$  و به ازای  $i=0$ ، چگالی انرژی ماده کیهانی در قانون پایستگی زیر صدق میکند:

$$\dot{\rho} + \nabla H(\rho_{eff} + \rho) = 0 \quad (6)$$

با در نظر گرفتن معادلات تحولی علی و ملاحظات ترمودینامیکی و نیز براساس تئوری نسبیتی علی اسرائیل-استوارت، معادله تحولی برای فشار گرانشی حجمی به این ترتیب خواهد بود:

$$\dot{\tau} \Pi + \Pi = -\nabla H - \frac{1}{\tau} \tau \Pi \left( \nabla H + \frac{\dot{\tau}}{\tau} - \frac{\dot{\xi}}{\xi} - \frac{\dot{T}}{T} \right) \quad (7)$$

که  $T$  دما،  $\xi$  گرانشی حجمی و  $\tau$  زمان استراحت نام دارد. معادلات حالت برای دما و گرانشی حجمی پلاسمای کوآرک-گلوئون با استفاده از محاسبات QCD شبکه ای در دماهای بالا، بطور تقریبی چنین به دست می آید [4]:

$$\begin{aligned} p &= \alpha p, & T &= \beta p, & \xi &= \alpha p + \frac{5}{24} T_0^4 \\ \omega &= (\gamma - 1), & \gamma &= 1/1.87, & r &= 1/1.17, & \beta &= 1/1.17 \\ \omega, \gamma, r &= 1/2.06, & \alpha &= \frac{1}{24} \frac{5T_0^4 - 2p + 17}{T} \end{aligned} \quad (8)$$

فرض می شود:  $\alpha p \gg \frac{5}{24} T_0^4$ ، به این ترتیب  $\xi = \alpha p$  هم چنین:

$$\tau = \xi p^{-1} \omega \quad (9)$$

که اساس یافتن آن برپایه اطمینان حاصل کردن از عدم تجاوز سرعت انتشار پالس های گرانشی از سرعت نور است، که با در نظر گرفتن رابطه مربوط به سرعت انتشار پالس های گرانشی،  $v = \sqrt{\frac{3}{\rho T}}$  می توان آن را استنباط نمود. به این ترتیب با استفاده از روابط (7)، (8) و (9) می توان به معادله تحولی تابع هابل رسید:

$$\dot{H} + \frac{1}{\tau} \left[ 1 + (\gamma - r) \right] H \dot{H} + \frac{1}{2} \dot{H} - (\gamma + r) H^{-1} \dot{H}^2 + \frac{1}{\tau} (\gamma - 1) H^2 + \frac{1}{\tau} \dot{H}^2 = 0 \quad (10)$$

در ادامه با استفاده از یک روش تقریبی به دنبال یافتن جواب تحلیلی برای معادله خواهیم بود.

### جواب تقریبی

با اعمال تبدیل  $u = \dot{H}$ ، معادله (10) به یک معادله دیفرانسیل مرتبه اول تبدیل خواهد شد. می توان این معادله را به شکل زیر بازنویسی کرد:

گرفته است. در این نظریه لحاظ شدن جملات مرتبه دوم از کمیت های اتلافی، سبب برطرف شدن اشکالات موجود در نظریه استاندارد می شود [3].

هدف عمده در این کار بررسی اثرات گرانشی در جهان آغازین می باشد. به این منظور جهان تخت، همگن و همسانگرد فریدمن-رابرتسون-واکر که از سیال گرانشی علی پلاسمای کوآرک-گلوئون پر شده، در نظر گرفته شده است و گرانشی حجمی و سایر معادلات حالت از نتایج مربوط به آزمایش های اخیر برخوردار دهنده های یون سنگین و شبیه سازی های QCD شبکه ای به دست آمده است.

### معادلات تحولی

فرض می کنیم که جهان اولیه با یک سیال کیهانشناختی گرانشی حجمی پر شده است و متریک مورد نظر، متریک فریدمن-رابرتسون-واکر در فضایی تخت است:

$$ds^2 = dt^2 - a^2(t) [dr^2 + r^2(d\theta^2 + \sin^2\theta d\phi^2)] \quad (1)$$

معادلات میدان گرانشی اینشتین نیز چنین اند:

$$G_{ik} = R_{ik} - \frac{1}{2} g_{ik} R = -\kappa T_{ik} \quad (2)$$

در ادامه سیستم واحدهای طبیعی در نظر گرفته شده است:  $c=1$

تانسور انرژی-تکانه برای چنین سیالی، در جهان اولیه، به شکل زیر در نظر گرفته می شود:

$$T_{ik} = (\rho + p + \Pi) u_i u_k + (p + \Pi) g_{ik} \quad (3)$$

که در آن  $\rho$  چگالی انرژی،  $p$  فشار ترمودینامیکی،  $\Pi$  فشارگرانشی حجمی و  $u_i$  نیز چهار بردار سرعت سیال است.

با تعریف فشار ترمودینامیکی مؤثر بصورت:  $p_{eff} = p + \Pi$  و در نظر گرفتن دستگاه سکون سیال، که تانسور انرژی-تکانه در آن دارای مؤلفه هایی به این ترتیب می باشد:

$$T_{00} = \rho, \quad T_{0i} = T_{i0} = T_{ij} = T_{ji} = p_{eff}$$

بصورت زیر در خواهند آمد:

$$\left(\frac{\dot{\rho}}{\rho}\right)^2 = \frac{3\kappa}{\tau} p \quad (4)$$

$$\frac{\dot{\rho}}{\rho} = -\frac{3\kappa}{\tau} (\nabla p_{eff} + p) \quad (5)$$

$$\Rightarrow H = \frac{Bt}{\sqrt{t}} \quad (20)$$

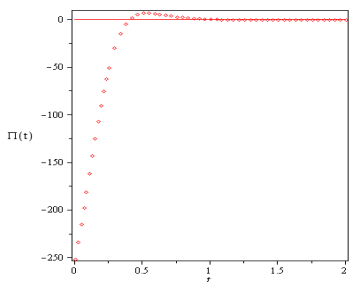
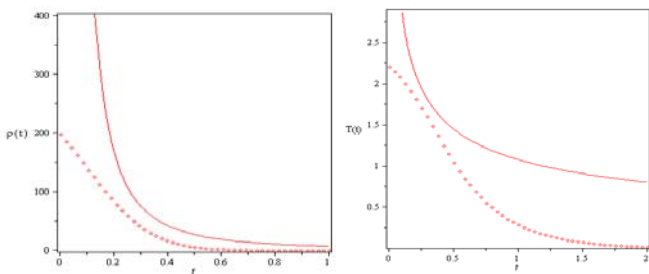
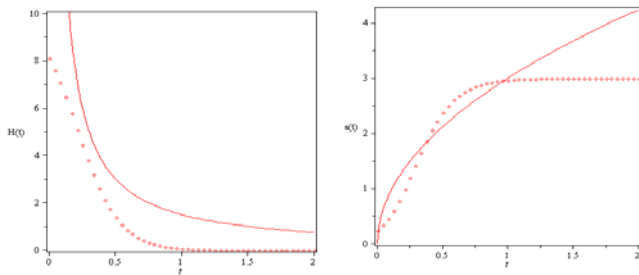
$$h(t) = h_0 \sqrt{t} \quad (21)$$

$$\rho(t) = \gamma H^2 = \frac{\gamma B^2 t}{t^2} \quad (22)$$

$$T(t) = \beta \rho^m = \beta \left( \frac{\gamma B^2}{t} \right)^m t^{-2m} \quad (23)$$

### رسم نمودار

در نمودارهای رسم شده، خط بیانگر تغییرات مربوط به سیال کامل و نقطه چین سیال گرانو را نشان می دهد.



### حل عددی

با حل عددی معادله (10) برای یک سیال گرانو می توان بدون در نظر گرفتن تقریب، نتایج دقیقتری را مشاهده کرد. از مقایسه نمودارها با آنچه از حل تحلیلی حاصل شده، می توان دریافت تقریب استفاده شده در حل معادله مورد نظر قابل قبول و مناسب بوده است.

$$\Omega \frac{d\Omega}{dH} = F_1(H)\Omega + F_2(H) \quad (11)$$

که در آن:

$$\Omega = uE = u \exp\left(-\int \frac{1+r}{H} dH\right) \quad (11)$$

$$F_1(H) = -\left(\frac{\gamma}{\alpha} [1 + (1-r)\gamma] H + \frac{1}{\alpha}\right) E$$

$$F_2(H) = -\left(\frac{1}{\alpha} (\gamma - \gamma) H^2 + \frac{\gamma}{\alpha} H^2\right) E^2$$

بامعرفی یک متغیر مستقل بصورت  $z = \int F_1(H) dH$

خواهیم داشت:

$$\Omega \frac{d\Omega}{dz} - \Omega = g(z), \quad g(z) = \frac{F_2}{F_1} \quad (12)$$

می توان  $g(z)$  را بطور تقریبی به شکل زیر در نظر گرفت [4]:

$$g(z) \approx cz \quad (13)$$

که  $c$  یک ثابت است. دلیل استفاده از چنین تقریبی دست یابی به یک معادله دیفرانسیل قابل حل، به شکل معادله کانونیک آبلین کاهش یافته، می باشد. بنابراین می توان جوابی به صورت  $\Omega = \frac{B}{W}$  برای معادله (12) در نظر گرفت، که در آن  $W$  یک پارامتر آزاد است. لذا خواهیم داشت:

$$WH = \frac{-\gamma [1 + (1-r)\gamma] H^2 + \frac{1}{\alpha} H}{\gamma (1-r)} \Rightarrow H(t) = \frac{B}{\exp\left(\frac{Bt}{W}\right) - A} \quad (14)$$

$$A = \frac{-\gamma [1 + (1-r)\gamma]}{\gamma (1-r)}, \quad B = \frac{1}{\alpha \gamma} \quad (14)$$

که در آن:

$$a(t) = a_0 \left( \frac{\exp\left(\frac{Bt}{W}\right)}{\exp\left(\frac{Bt}{W}\right) - A} \right)^{\frac{1}{\alpha}} \quad (15)$$

$$\rho(t) = \gamma H^2 = \gamma \left( \frac{B}{\exp\left(\frac{Bt}{W}\right) - A} \right)^2 \quad (16)$$

$$T(t) = \beta \rho^m = \beta \left( \frac{\gamma B^2}{[\exp\left(\frac{Bt}{W}\right) - A]^2} \right)^m \quad (17)$$

$$\Pi(t) = -\gamma H - \gamma \gamma H^2 = -\frac{B^2}{W} \left( \frac{\gamma \exp\left(\frac{Bt}{W}\right) + \gamma \gamma W}{[\exp\left(\frac{Bt}{W}\right) - A]^2} \right) \quad (18)$$

که  $a_0$  یک ثابت دلخواه انتگرال گیری است.

### سیال کامل

برای چنین سیالی داریم:

$$\xi = 1, \alpha = 1 \Rightarrow \gamma = \frac{1}{\alpha}, \omega = \frac{1}{\alpha} \Rightarrow p = \frac{E}{\alpha} \quad (19)$$

انتظار می‌رود، تابع هابل در یک سیال گرانی نسبت به سیال ایده آل، افت سریع‌تری دارد. تفاوت آشکار دیگری که می‌توان به آن اشاره کرد اینست که در  $t$  های کوچک سیال کامل وجود یک تکینگی یا واگرایی را نشان می‌دهد در حالیکه در سیال گرانی چنین نیست.

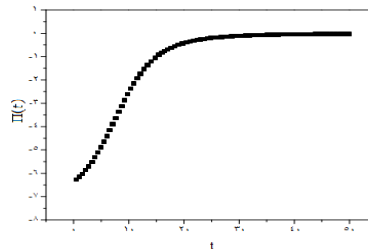
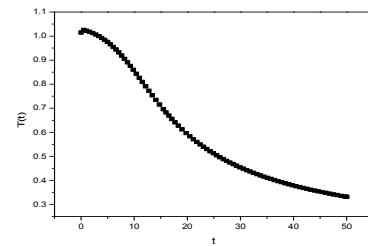
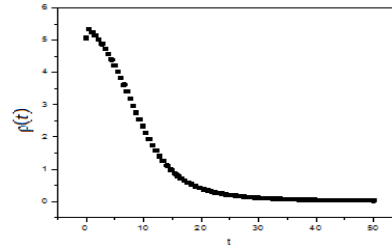
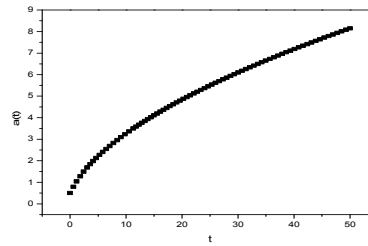
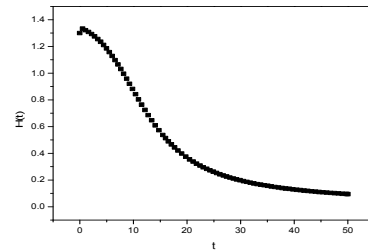
روند تغییرات فاکتور مقیاس  $a(t)$  نیز در دو حالت متفاوت است. در سیال ایده آل و در  $t=0$  فاکتور مقیاس (که بیانگر شعاع جهان است) صفر می‌شود و همین عامل تکینگی در  $t=0$  است، حال آنکه در یک سیال گرانی چنین نیست. هم چنین در زمان های به اندازه کافی بزرگ، طوریکه  $\left(-\frac{\dot{a}}{a}\right) \gg A$  ، مقدار ثابتی خواهد داشت ( $\bar{a}$ ).

در مورد  $\rho, T$  نیز تحلیل مشابهی راجع به تکینگی‌ها وجود دارد. هم چنین می‌توان اضافه کرد که کاهش چگالی با افزایش زمان، در هر دو حالت ایده آل و گرانی، بیانگر انبساط جهان اولیه است. بعلاوه طول عمر جهان در حالت ایده آل بیشتر از حالت گرانی می‌باشد.

با توجه به نمودار، فشار گرانی حجمی در زمان های کوچک منفی است، که این اشاره به دوره تورمی دارد، اما با افزایش زمان به سمت مقادیر مثبت میل کرده و پس از رسیدن به مقدار بیشینه به صورت نمایی به صفر کاهش می‌یابد. اعتبار بررسی انجام شده به میزان اعتبار معادلات حالت به دست آمده از شبیه‌سازیهای QCD شبکه‌ای، که در دماهایی بالاتر از  $0/19\text{GeV}$  به دست آمده، وابسته است.

## مرجع‌ها

- [۱] C.Ekart, Phys.Rev. 58, 919 (1940)  
 [2] W.Israel, ann. Phys. 100, 310 (1976)  
 [۳] R.Maartens; "Causal thermodynamics in relativity"; Astroph/9609119 (1996)  
 [۴] A.Tawfik, M.Wahba, H.Mansour and T.Harko; "Viscous Quark-Gluon Plasma in the Erly Universe"; Arxiv:1001.2814v1 [gr-qc] 16 Jan 2010



## نتیجه‌گیری

همانگونه که مشهود است گرانی حجمی نقش مهمی را در تحول جهان اولیه ایفا می‌کند. با توجه به نمودارهای رسم شده برای  $H(t)$  و همانگونه که از طبیعت وابستگی‌های خطی و نمایی

## نقش تصحیحات تابشی ابرتقارنی بر روی جرم لپتون‌ها و کوارک‌های اسکالر ابرتقارنی با استفاده

### از توابع بتای ۲ حلقه‌ای

شاهفر، حسن<sup>۱</sup>؛ فرزانه کرد، احمد<sup>۲</sup>

گروه فیزیک، دانشگاه تربیت معلم سبزوار، سبزوار

گروه فیزیک، دانشگاه تربیت معلم سبزوار، سبزوار

### چکیده

یکی از مهم‌ترین پارامترهای موجود برای محاسبه‌ی جرم یک ذره خود انرژی ذره می‌باشد. در این پژوهش اثر تصحیحات تابشی ابرتقارنی را بر روی خود انرژی لپتون‌ها و کوارک‌های اسکالر با استفاده از توابع بتای ۲ حلقه‌ای بررسی کرده‌ایم.

## The Role of Supersymmetric Radiative Correction on the Scalar Leptons and Scalar quarks Using 2-Loop $\beta$ -Function

Shahfar, Hassan<sup>1</sup>; Farzaneh Kord, Ahmad<sup>2</sup>

<sup>2</sup>Department of Physics, Tarbiat Moallem University of Sabzevar, Sabzevar

<sup>1</sup>Department of Physics, Tarbiat Moallem University of Sabzevar, Sabzevar

### Abstract

*The self energy of a particle is one of the important building blocks of the calculation of the mass of the particle. In this investigation, we calculate the impacts of the supersymmetric radiative corrections of the self energy for scalar quarks and scalar leptons using 2-loop  $\beta$  function.*

### مقدمه

تأثیر این تصحیحات می‌باشند. آنچه در این تحقیق بررسی شده است بررسی اثر خود انرژی یک ذره ابرتقارنی بر روی جرم خودش می‌باشد.

به طور کلی لاگرانژی یک برهمکنش شامل جمله‌های جنبشی از میدان‌ها و نحوه‌ی نحوه‌ی برهمکنش این میدان‌ها با هم می‌باشد. کمیات مشاهده پذیر از قبیل شدت برهمکنش‌ها و جرم ذراتی که در این لاگرانژی ظاهر می‌شوند، کمیت‌های مشاهده پذیر تجربی نیستند. این کمیت‌ها را در اصطلاح "bare" می‌نامند. آزمایش‌های تجربی معادلات حرکت را اندازه نمی‌گیرند و آن چیزی که در آزمایش‌ها به دست می‌آید، سطح مقطع این برهمکنش‌ها می‌باشد. سطح مقطع‌ها را می‌توان با استفاده از نمودارهای فاینمن به دست آورد. نمودارهای فاینمن اثر تصحیحات تابشی خلاء را بر روی کمیات مشاهده پذیر بیان می‌کنند. تمام کمیت‌های مشاهده پذیر از جمله جرم ذرات تحت

### ملزومات محاسبه‌ی جرم یک ذره

تمام کمیت‌هایی که در لاگرانژی ذرات ظاهر می‌شوند از جمله جرم ذرات، وابسته به مقیاس انرژی هستند [1]. نحوه‌ی تغییرات این پارامترها را دسته معادلات گروه بازبهنجارش (RGEs) یا همان توابع بتا ( $\beta$ ) به عهده دارند. از طرف دیگر، در هر مقیاس انرژی یا به عبارت دیگر در هر فاصله‌ای که از ذره‌ها باشیم باید تأثیر خلاء موجود در این فاصله را بر روی جرم ذره بررسی کنیم. نقش این تأثیر در خود انرژی ذره لحاظ می‌شود.

از این رو جرم یک ذره وابسته به دو کمیت مهم زیر می باشد.

۱. دسته معادلات گروه بازبهنجارش

۲. خود انرژی ذرات

### شیوه ی محاسبه ی جرم ذره

در قسمت قبل به نقش توابع بتا اشاره شد. در این تحقیق از شدت ۳ برهمکنش هسته ای قوی، ضعیف و الکترومغناطیسی و جرم ذرات نسل سوم به عنوان پارامتر های ورودی و نتایج آزمایشگاهی بررسی شده در  $m_z$  بهره برده ایم. پارامتر های ورودی در جدول ۱ آمده است.

جدول ۱: جرم ذرات نسل سوم در مدل استاندارد

$m_t$	$m_b$	$m_\tau$
178Gev	4.9Gev	1.7777Gev

جدول ۲: شدت برهمکنش نیروها در  $M_z$

$\alpha_3$	$\alpha_2$	$\alpha_1$
0.1172	0.033823	0.016943

همچنین از مدل شکست ابرتقارنی  $mSUGRA^{44}$  که در نقطه

ی وحدت بزرگ (GUT) بر روی جملات جرمی اعمال می شود به عنوان قیدفیزیک در انرژی های بالا برای شکست ابر تقارن استفاده کرده ایم. بر اساس وحدتی که این مدل برای جملات جرمی در نظر می گیرد، ۵ پارامتر آزاد زیر باقی می ماند.

علامت  $A, m_0, m_{1/2}, \tan(\beta), \mu$

این مقادیر توسط شرایط مرزی زیر تعیین می شود [2].

جدول ۳: شرایط مرزی مختلف شکست ابر تقارنی در مدل ابرگراش کمینه

Point	Tan( $\beta$ )	$m_{1/2}$ (Gev)	$m_0$ (Gev)	A(Gev)	Sgn $\mu$
SPS1a	10	250	100	-100	+
SPS1b	30	400	200	0	+
SPS2	10	300	1450	0	+
SPS3	10	400	90	0	+
SPS4	50	300	400	0	+
SPS5	5	300	150	-1000	+

به دلیل تفاوت موجود بین خلاء مدل استاندارد و خلاء ابرتقارنی بواسطه ی وجود ذرات ابرتقارنی، این مقادیر شامل

تصحیحات تابشی ابرتقارنی نیستند و از این رو دقیق نمی باشند. در ابتدا باید مقادیر ورودی را اصلاح کرد. فرمول جرم ذرات و جفت شدگی های پیمانه ای تصحیح شده ی ناشی از ذرات ابر تقارنی در مقاله ی [3] موجود است. می توان این مقادیر را با استفاده از یک فرایند تکراری تصحیح کرد.

در ابتدا جفت شدگی ها را در توابع بتا [4] جایگذاری کرده و معادلات را تا حیطه ی انرژی  $M_G$  (جایی که شدت ۳ برهمکنش یکی می شوند) بالا می بریم. سپس بعد از اعمال یکی از شرایط مرزی موجود در جدول 3 تمام معادلات را به سمت پایین آورده و شدت برهمکنش ها را با استفاده از تصحیحات تابشی ابرتقارنی حساب می کنیم. سپس کل فرایند را تا رسیدن به یک همگرایی بر روی جفت شدگی ها ادامه می دهیم. به این نحو جفت شدگی ها تصحیح می شوند.

مرحله ی بعد محاسبه ی جرم ذره می باشد. شیوه ی محاسبه مشابه قسمت قبل و شامل یک فرایند تکراری می باشد. در ابتدا یک جرم حدسی دلخواه  $Q$  برای ذره ی مورد نظر در نظر می گیریم. سپس جفت شدگی های تصحیح شده از قسمت قبل را در توابع بتای مربوطه جایگذاری کرده و آن ها را تا  $M_G$  بالا می بریم. بعد از اعمال شرایط مرزی در این نقطه، کل معادلات را تا انرژی  $Q$  پایین می آوریم. در این انرژی جرم ذره را با استفاده خود انرژی ابر تقارنی موجود در [3] محاسبه می کنیم و سپس کل فرایند را تا رسیدن بر روی همگرایی بر روی جرم ذره ادامه می دهیم. لیست کاملی از تصحیحات تابشی تک حلقه ای ابر تقارنی و فرمول های جرمی ذرات ابر تقارنی در مرجع [3] موجود است.

### نتایج محاسبات

برای پی بردن به نقش خود انرژی ذره ابتدا جرم ذره را با در نظر گرفتن خود انرژی ذره محاسبه کردیم ( $m$ ). برای بار دوم خود انرژی ذره را حذف کرده و جرم ذره را به دست آوردیم ( $m'$ ) سپس درصد اختلاف جرمی  $\frac{m-m'}{m} \times 100$  را برای هر ذره محاسبه کردیم. این کار برای ۴ شرط مرزی SPS1a, SPS1b, SPS2 و SPS3 انجام شده است. نتایج محاسبات در ادامه آمده است.

<sup>44</sup>Minimal Super Gravity

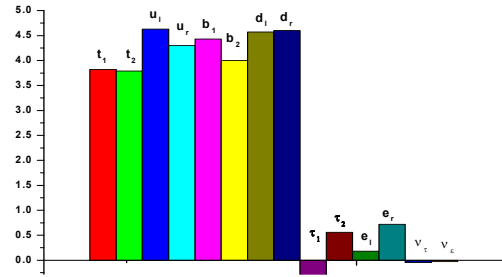
### نتیجه گیری

براساس نتایج، اثر خود انرژی کوارک های اسکالر نسبت به لپتون های اسکالر بیشتر است. به عنوان مثال در SPS1a حداقل تاثیر خودانرژی در کوارک های اسکالر برابر ۳.۷ درصد است در حالی که در همین شرط مرزی حداکثر تاثیر ۰.۶ درصدی را برای لپتون های اسکالر می بینیم.

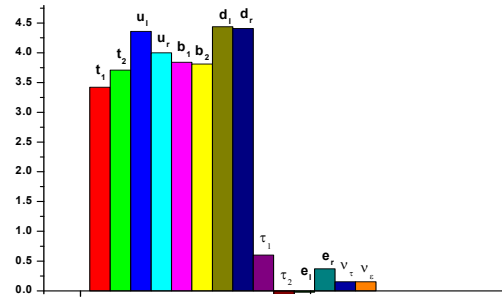
در تمام شرایط مرزی (بجز SPS3) تاثیر خود انرژی کوارک های اسکالر مثبت است و تنها یک رفتار غیر عادی در SPS3 و برای  $\tau_1$  دیده می شود. در مورد لپتون های اسکالر وضعیت پیچیده است و بر اساس شرایط مرزی مختلف رفتار های متفاوتی به لحاظ اندازه و علامت وجود دارد. تنها ذره  $\tau_1$  در تمام شرایط مرزی دارای تاثیر مثبت می باشد.

### مرجع ها

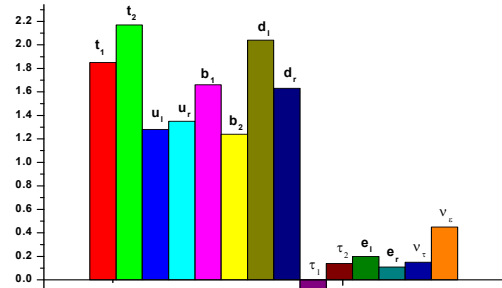
- [۱] S. P. Marin, "Asupersymmetry primier", [hep-ph/9709356].
- [2] B. C Allanach, et al, *Eur. Phys. J. C* **25**(2002)113.
- [3] J. A. Bagger, K. T. Matchev, "Precision corrections in the minimal supersymmetric standard model", [hep-ph/9606211]



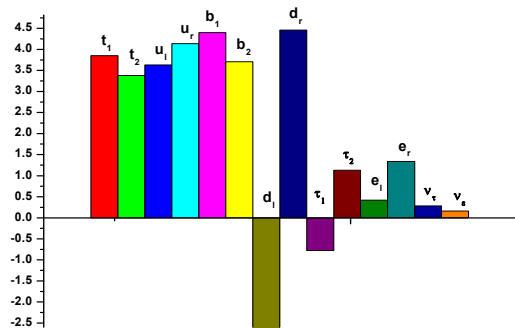
نمودار ۱: درصد تاثیر خود انرژی لپتون ها و کوارک های اسکالر در SPS1a



نمودار ۲: درصد تاثیر خود انرژی لپتون ها و کوارک های اسکالر در SPS1b



نمودار ۳: درصد تاثیر خود انرژی لپتون ها و کوارک های اسکالر در SPS2



نمودار ۴: درصد تاثیر خود انرژی لپتون ها و کوارک های اسکالر در SPS3

## بررسی تأثیر میدان عقبه در سلول تشدید یک شتاب‌دهنده خطی و مقایسه این اثر در سه نوع سلول

شهیدی<sup>۱</sup>، فرزانه<sup>۱</sup>؛ بهجت<sup>۱</sup>، عباس<sup>۱</sup>؛ اعتماد مقدم<sup>۱</sup>، جواد<sup>۱</sup>؛ پورصالح<sup>۲</sup>، علی‌محمد<sup>۲</sup>

<sup>۱</sup>دانشکده فیزیک، دانشگاه یزد، یزد

<sup>۲</sup>سازمان انرژی اتمی، پژوهشگاه علوم و فنون هسته‌ای، پژوهشکده کاربرد پرتوها

### چکیده

در این تحقیق ضمن معرفی اجمالی میدان عقبه در شتاب‌دهنده‌های خطی فرکانس رادیویی، به بررسی تأثیر این عامل بر روی سه نوع از کاواک‌های تشدید در شتاب‌دهنده خطی پرداختیم. در این راستا سه نوع مختلف سلول شتاب توسط نرم افزار CST طراحی و اثر میدان عقبه بر روی این سلول‌ها توسط همین نرم‌افزار شبیه‌سازی شده و نتایج بدست‌آمده مورد تجزیه و تحلیل قرار گرفته است

## Investigation of the Wakefield Effects in Three Types of Linac cavities

Shahidi, Farzaneh<sup>1</sup>; Behjat, Abbas<sup>1</sup>; Etemad Moghaddam, Javad<sup>1</sup> and Poursaleh Ali Mohammad<sup>2</sup>

<sup>1</sup> Department of Physics, Yazd University, Yazd

<sup>2</sup> Radiation Application Research School, Nuclear Science and Technology Research Institute, Yazd

### Abstract

In this paper, three types of cavities for the Linac were designed and simulated by use of CST software. Then, wakefield effect in RF Linac is introduced, briefly. Moreover, the effect of wakefield on these resonant cavities is studied.

PACS No. 89

روش شتاب در شتاب‌دهنده‌های بسامد رادیویی، شتاب ذره به‌وسیله میدان‌های الکتریکی نوسان‌کننده مستقر در یک کاواک الکترومغناطیسی است که در تشدید با یک منبع توان بسامد رادیویی قرار دارد [۱]. ساختار شتاب‌دهنده می‌تواند شامل یک سلول منفرد یا چند سلول جفت شده<sup>۴۹</sup> باشد و باریکه می‌تواند یک رد<sup>۵۰</sup> منفرد یا چند رد درون ساختار شتاب‌دهنده بسازد. ساده‌ترین مفهوم شتاب‌دهنده بسامد رادیویی شامل یک سلول شتاب‌دهنده منفرد است که باریکه یک‌بار از میان آن عبور می‌کند. معمول‌ترین روش شتاب در این شتاب‌دهنده‌ها، عبور باریکه از میان مجموعه خطی از سلول‌های شتاب، که به‌طور الکترومغناطیسی با هم جفت شده‌اند، می‌باشد. عوامل متعددی وجود دارند که کیفیت باریکه را

### مقدمه

شتاب‌دهنده ابزاری است که از آن برای شتاب‌دادن ذرات باردار استفاده می‌شود. یکی از موفق‌ترین روش‌های شتاب، شتاب ذرات مبتنی بر استفاده از میدان میکروویو (بسامد رادیویی<sup>۴۵</sup>) است که منجر به ساخت شتاب‌دهنده‌های خطی رادیوفرکانسی<sup>۴۶</sup> شده است. اجزای اصلی این شتاب‌دهنده‌ها شامل تفنگ الکترونی<sup>۴۷</sup>، منبع مولد بسامد رادیویی و لوله شتاب، که شامل سلول‌های تشدید<sup>۴۸</sup> یا محفظه‌های شتاب است، می‌باشد. ویژگی عمومی

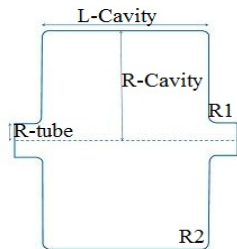
Coupled cavity<sup>۴۹</sup>  
Trace<sup>۵۰</sup>

Radio Frequency (RF)<sup>۴۵</sup>  
RF Linear Accelerators<sup>۴۶</sup>  
Electron gun<sup>۴۷</sup>  
Resonance Cavity<sup>۴۸</sup>

با جمع تمام مدهای قابل تحریک در سلول دانست. این مدها ممکن است جایگزیدگی ذرات باریکه در نزدیکی محور سلول تغییر داده و آن‌ها را شدیداً منحرف نماید. میدان‌های تشعشعی عقبه به دو دسته کوتاه‌برد و بلندبرد تفکیک می‌شوند. ایجاد میدان‌های ضعیف باعث اعمال فشار مضاعف به منبع مولد و سیستم خنک کننده می‌شود [2]. به طور کلی تغییرات ناگهانی در شکل سطح مقطع کاواک نیز باعث ایجاد میدان‌های عقبه می‌شود، این میدان‌ها معمولاً در جهت مخالف میدان شتاب‌دهنده بر روی ذره عمل می‌کنند.

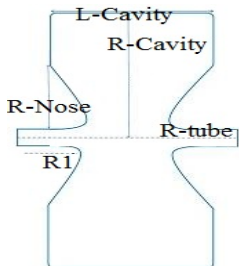
### روش کار

ابتدا سه نوع سلول را در نظر می‌گیریم. سلول اول بدون دماغه و به شکل محفظه استوانه‌ای ساده<sup>۵۴</sup> مطابق با شکل ۱ می‌باشد. سلول نوع دوم دارای دماغه مخروطی شکل مطابق شکل ۲ و سلول نوع سوم دارای دماغه استوانه‌ای شکل مطابق شکل ۳ می‌باشد.



شکل ۱: سلول نوع اول که به صورت استوانه‌ای ساده می‌باشد.

در شکل ۱،  $L$  طول سلول و  $R$  شعاع سلول می‌باشد. شعاع روزنه ورودی و خروجی با  $R$ -Tube نشان داده شده است.



شکل ۲: سلول نوع دوم که دارای دماغه مخروطی شکل است.

تحت تأثیر قرار می‌دهند، میدان عقبه<sup>۵۱</sup> یکی از مهم‌ترین عوامل تأثیرگذار بر باریکه می‌باشد، این اثر در خصوص باریکه‌های نسبیتی مشهودتر است.

میدان‌هایی که به واسطه وجود بارهای الکتریکی در کاواک به وجود می‌آیند و همچنین جریان‌های القایی که در دیواره‌های سیستم ایجاد می‌شوند و ناشی از پیش‌روی باریکه ذرات در ساختار شتاب‌دهنده هستند اثرات چشم‌گیری بر روی رفتار باریکه ایجاد می‌کنند. توزیع میدان الکتریکی یک بار آزاد نسبیتی از دید ناظر ساکن نسبت به آن یک توزیع لورنتزی است، که در آن توزیع عرضی میدان الکتریکی بر روی یک دیسک عمود بر راستای حرکت در یک زاویه فضایی کوچک محدود می‌شود و توزیع طولی میدان به صفر میل می‌کند. هرچه سرعت ذره بیشتر باشد زاویه فضایی توزیع میدان محدودتر می‌شود. انقباض میدان در حالت دیگری نیز رخ می‌دهد و آن هنگامی است که بار متحرک در داخل یک لوله کاملاً یکنواخت با رسانندگی کامل قرار گیرد. اما برای چنین ذره‌ای پراکندگی تابش الکترومغناطیسی رخ می‌دهد، هرچند در حد فرین نسبیتی نیز این تابش قادر به تأثیرگذاری بر روی منبع ذرات نخواهد بود ولی به دلیل نفوذ این تابش در فضای سلول‌های مجاور قادر به متأثر کردن قطار ذرات در همان خوشه<sup>۵۲</sup> یا خوشه‌های مجاور خواهد بود. این تابش به میدان عقبه معروف است. برای ذرات غیرنسبیتی مؤلفه طولی میدان ناشی از ذرات متحرک نیز بسیار پراهمیت می‌شود. این مؤلفه طولی بخصوص برای خوشه‌های کوتاه از طریق ایجاد تداخل سازنده با تابش ناشی از بارهای القایی سطحی منجر به افزایش انرژی میدان ضعیف خواهد شد. در سرعت‌های کم‌تر میان به صورت بسیار همسانگرد به باریکه منتقل می‌شود و مؤلفه طولی تابش ناشی از بارهای القایی سطحی در محدوده‌ای از مرتبه طول‌موج ویژه مد<sup>۵۳</sup> سلول، و یا کمی بزرگ‌تر از آن، با سایر مؤلفه‌های میدان تابش شده تداخل ویران‌گر انجام می‌دهد که منجر به کاهش قدرت میدان عقبه می‌شود. میدان عقبه ماهیت میرا کننده دارد و باعث ایجاد اختلال در نوسانات الکترومغناطیسی می‌شود. این اختلال را می‌توان معادل

Wakefield<sup>۵۱</sup>

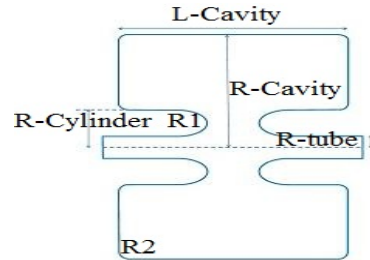
Bunch<sup>۵۲</sup>

Eigenmode<sup>۵۳</sup>

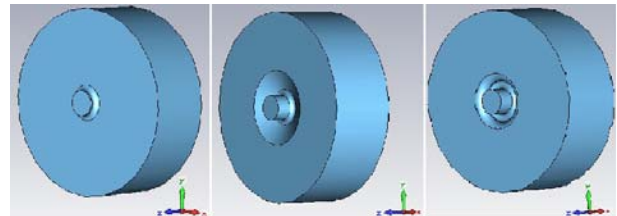
Pill box<sup>۵۴</sup>



در شکل ۲ علاوه بر پارامترهای معرفی شده در قبل، چند پارامتر جدید نشان داده شده که شعاع‌های انحنا در قسمت‌های اتصال است.



شکل ۳: سلول نوع سوم که دارای دماغه استوانه‌ای می‌باشد.



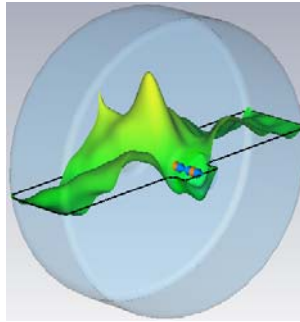
شکل ۴: نمای سه بعدی از سه سلول شتاب.

شکل ۴ نمای سه بعدی سه سلول تعریف شده در بالا را توسط نرم‌افزار CST<sup>55</sup> نشان می‌دهد [3]. ابعاد این سه سلول در جدول ۱ آورده شده است.

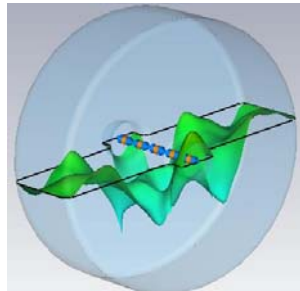
Depth of Nose (mm)	R Nose (mm)	R2 (mm)	R1 (mm)	R Tube (mm)	شعاع سلول (mm)	طول سلول (mm)	نوع سلول
-----	-----	2	2	5/2	38/80	25	سلول اول
7/5	15/2	2	2	5/2	38/80	25	سلول دوم
7/5	8/7	2	2	5/2	38/80	25	سلول سوم

### شبیه‌سازی

شبیه‌سازی اثر میدان عقبه در سه سلول معرفی شده در ادامه آورده شده است. شبیه‌سازی‌های مورد نظر برای هر سه سلول در دو حالت مختلف انجام شد که دو نمونه از این شبیه‌سازی در شکل ۴ و شکل ۵ آورده شده است [1].

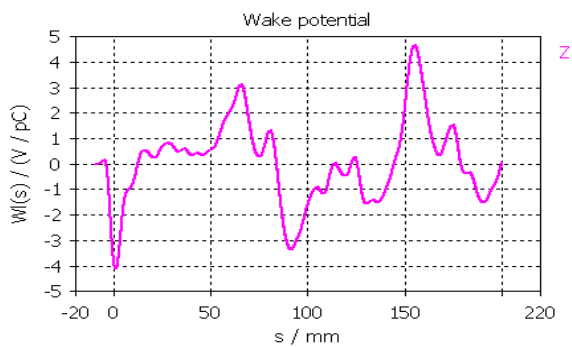


شکل ۴: اثر میدان عقبه در سلول شماره ۲



شکل ۵: اثر میدان عقبه در سلول شماره ۱

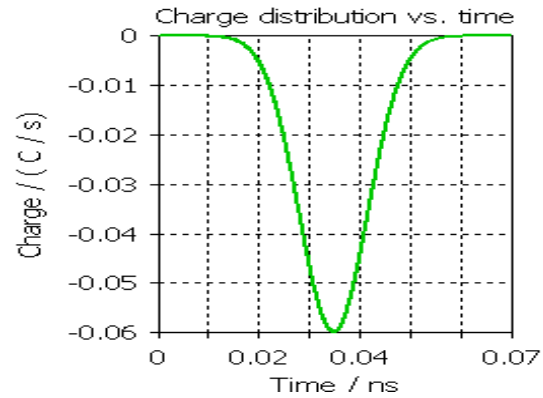
نمودارهای مربوط به این سه نوع سلول نیز رسم شده است که یکی از این نمودارها که برای سلول نوع دوم رسم شده، در شکل ۶ نشان داده شده است.



شکل ۶: نمودار تغییرات پتانسیل ناشی از میدان عقبه بر واحد بار بانج برحسب فاصله طولی در عقب بانج

این نمودار نشان می‌دهد که پس از عبور بانج و تا فواصل نسبتاً دور، اثرات مخرب ناشی از آن همچنان وجود دارد. علت این نوع رفتار فرض غیر اتلافی بودن سلول‌ها می‌باشد. نمودار توزیع زمانی بار در بانچی که توسط آن میدان عقبه شبیه‌سازی شده در شکل ۷ آورده شده است.

(با دماغه مخروطی) برای طول بانچ ۱۰mm (بانچ بلند) و شدت جریان بیش‌تر، نسبت به طول بانچ ۲mm (بانچ کوتاه) با شدت جریان کم‌تر، ضعیف‌تر و نهایتاً اثر تخریبی آن بر روی باریکه کم‌تر است. در سلول نوع سوم (با دماغه استوانه‌ای) نتایج حاکی از رفتاری متفاوت با سلول نوع دوم می‌باشد. برای این سلول در طول بانچ کوتاه‌تر و جریان کم‌تر، باریکه عبوری اثر مخرب میدان عقبه را نسبت به دو سلول دیگر کم‌تر احساس خواهد کرد.



شکل ۷: نمودار توزیع زمانی بار در بانچ

### مرجع‌ها

[۱] اعتمادمقدم، جواد؛ «طراحی و شبیه‌سازی یک سلول شتاب از شتاب‌دهنده خطی الکترون با انرژی ۱۰MeV»، پایان نامه کارشناسی ارشد، دانشگاه یزد، صفحه ۲۰۹ تا ۲۲۱.

[۲] T. P. Wangler, "RF Linear Accelerators"; WILEY-VCH, 2<sup>nd</sup> Edition, 2008, 361-378.

[۳] www.cst.com

با توجه به شکل ۷ پهنای کل بانچی که با استفاده از آن کلیه نتایج فوق به دست آمده است،  $11-5 \times 10^{-11}$  نانوثانیه می‌باشد. نتایج حاصل از این شبیه‌سازی در جدول شماره ۲ برای هر دو حالت گردآوری شده است.

در حالت اول طول rms بانچ ۲mm و تعداد ذرات در آن  $6/25 \times 10^6$  و بار معادل  $10^{-12}$  می‌باشد و در حالت دوم طول rms بانچ ۱۰mm و تعداد ذرات در آن  $6/25 \times 10^7$  و بار معادل  $10^{-11}$  می‌باشد.

سلول	طول خروجی rms	حداکثر شدت میدان عقبه (V/m)
نوع یک	۲ (mm)	۶۰۰
	۱۰ (mm)	۱۵۱۹
نوع دوم	۲ (mm)	۶۱۰
	۱۰ (mm)	۲۲۱
نوع سوم	۲ (mm)	۵۲۸
	۱۰ (mm)	۲۴۵

### نتیجه‌گیری

با توجه به شبیه‌سازی‌های انجام شده و مقایسه داده‌های به دست آمده از جدول و نمودارها در می‌یابیم که اثر تخریبی میدان عقبه برای هر دو حالت بانچ کوتاه و بلند، در سلول نوع اول بیش‌ترین مقدار را دارد. اثر میدان عقبه در سلول نوع دوم

## جرم کوآرک های سنگین

صادقی علویجه، پروا<sup>۱</sup>؛ تعظیمی، نرگس<sup>۲</sup>؛ منعم زاده مجید<sup>۳</sup><sup>۱,۲,۳</sup> دانشکده علوم دانشگاه کاشان، کاشان

## چکیده

در این مقاله با استفاده از تعیین انرژی بستگی برای مزون های چارمونیم و باتومونیم، طیف انرژی را با معرفی دو مدل پتانسیل برای کوآرک های سنگین برای این دو سیستم تعیین می کنیم. همچنین به معرفی جرم قطبی و جرم  $\overline{MS}$  می پردازیم و با بیان رابطه بین این دو جرم، جرم  $\overline{MS}$  را برای این دو سیستم بدست می آوریم، نتایج به دست آمده با این روش توافق خوبی با نتایج موجود در منابع دارد.

## Mass of the Heavy Quarks

*P. Sadeghi alavijeh<sup>1</sup>; N. Tazimi<sup>2</sup>; M. Monemzadeh<sup>3</sup>*  
<sup>1,2,3</sup> Department of Physics, University of Kashan

## Abstract

*In this paper, using Identification of binding energy for heavy meson system of  $\gamma(b\bar{b})$  and  $\Psi(c\bar{c})$ , we identified consequently the mass spectra using two potential models for heavy meson system. We identified  $\overline{MS}$  mass through the relation between pole masse in heavy quarks, too. Our numerical results show that energy eigenvalues which are in good agreement with literature calculations and also with experimental data.*

PACS No.12

شبکه در پدیده شناسی مفید باشد لازم است که جرم‌های لخت کوآرک را در یک طرح بازبهنجارش استاندارد مانند طرح  $\overline{MS}$  ربط دهیم. [3].

## جرم قطبی

طیف کوآرکونیم‌های سنگین (HQ) فرصت مطالعه برهم کنش استاتیک در ناحیه مادون قرمز و اثرات ساختار ریز و فوق ریز را فراهم می آورد. برای استفاده از این فرصت لازم است که جرم کوآرک سنگین را بدانیم که باید به طور غیر مستقیم تعیین شود. [4] جرم قطبی یک پارامتر عمده در فیزیک کوآرک سنگین است. جرم قطبی کوآرک سنگین در نظریه اختلال به عنوان موقعیت قطب در انتشارگر تعریف شده است [5]. جرم کوآرک را می توان بر حسب جرم قطبی گونه تعریف کرد:

$$m_Q \equiv m_{pole} - \delta \bar{m} \quad (1)$$

## مقدمه

تعیین جرم کوآرک‌ها از پارامترهای اساسی مدل استاندارد در فیزیک ذرات است. جرم کوآرک‌ها با کمیت‌های فیزیکی قابل اندازه‌گیری رابطه‌ی مستقیمی ندارد. تعریفی که در حوزه  $QCD$  اختلالی غالباً استفاده می شود بر مبنای  $\overline{MS}$  است که منتهی به اصطلاحاً جرم  $\overline{MS}$  فاصله کوتاه می شود [1-2]. بازبهنجارش روشی است که از طرح *subtraction* استفاده می کند و باعث محدود شدن دامنه‌ها می شود. شایع‌ترین طرح بازبهنجارش برای نظریه اختلال  $QCD$ ، طرح  $\overline{MS}$  (*Minimal Subtraction*) است. در  $QCD$ ، محاسبات عملی غالباً در طرح  $\overline{MS}$  اصلاح شده انجام می شود که منجر به تعریف اصطلاحاً جرم  $\overline{MS}$  فاصله کوتاه می شود. مقادیری که در شبیه سازی‌های شبکه برای جرم کوآرک‌ها به دست می آید، جرم‌های لخت کوآرک هستند. برای این که نتایج

های فعلی (لخت) در لاگرانژین برای دو مزون  $\bar{b}\bar{b}$  و  $\bar{c}\bar{c}$  در زیر آمده است.

این رابطه برای سه حلقه‌ای هاست که در محاسبه ما تا ۲ حلقه‌ای یعنی تا تقریب مرحله‌ی دوم را در نظر گرفته ایم. حال این رابطه را برای دو مزون چارمونیم و باتومونیم بررسی می‌کنیم.

### روش کار

در این روش کد فرترنی را مورد استفاده قرار می‌دهیم که معادله‌ی لیپمن شوئینگر را برای سیستم‌های مقید دو ذره‌ای حل می‌کند. این برنامه انتگرال‌ده را قطری کرده و طیف ویژه مقادیر را تعیین می‌کند. اطلاعات مورد نیاز مساله شامل انرژی بستگی، جرم مزون، ضرائب پتانسیل و همچنین شعاع قطع است. برای هر پتانسیل باید  $r^{max}$  و  $E$  را تعیین کنیم [8].

در این قسمت ما دو پتانسیل کلمب + خطی و کلمب + توان مجذوری زیر را استفاده می‌کنیم

$$V = -a_{-1}/r + a_1 r + a_0$$

$$a_0 = -0.29 \text{ GeV}, \quad a_{-1} = 4/3\alpha_s$$

$$\alpha_s = 0.47, \quad a_1 = 0.18 \text{ GeV}^2 \quad (5)$$

و

$$V = -a_{-1}/r + a_2 r^2 + a_0$$

$$a_0 = -0.05 \text{ GeV}, \quad a_{-1} = 4/3\alpha_s$$

$$\alpha_s = 0.345, \quad a_2 = 0.174 \text{ GeV} \quad (6)$$

و همان طور که در [8] توضیح دادیم با استفاده از برنامه انرژی بستگی را تعیین می‌کنیم و باتوجه به فرمول

$$M_{n,l} = m_1 + m_2 + E_{n,l} \quad (7)$$

طیف را تعیین می‌کنیم. در دو جدول زیر طیف  $\bar{b}\bar{b}$  و  $\bar{c}\bar{c}$  را برای سطوح مختلف انرژی نشان داده ایم.

$$\delta \hat{m} = i \delta m = i \text{Im} m_{pole} \quad (2)$$

که بخش مختلط جرم قطبی را می‌توان این گونه تعریف کرد:

$$\text{Im} m_{pole} = \text{const} \times \Lambda_{QCD} \quad (3)$$

پس جرم قطبی دچار یک ابهام ناشی از بازهنجارش است که این ابهام در جرم قطبی یک کوآرک سنگین از مرتبه‌ی  $\Lambda_{QCD}$  است. رابطه‌ی بین جرم قطبی کوآرک و جرم  $\overline{MS}$  بازهنجار شده تحت تأثیر تکینگی بازهنجارش مادون قرمز است که منجر به ابهام در تعریف جرم قطبی می‌شود که از مرتبه‌ی  $\Lambda_{QCD}$  است. جرم قطبی را نمی‌توان با دقت بالای دلخواه مورد استفاده قرار داد چون کوآرک‌ها محدود شده‌اند به گونه‌ای که جرم قطبی را نمی‌توان خارج از نظریه اختلال معین کرد. از آنجا که سهم خودانرژی غیر اختلالی در جرم مزون سنگین ناچیز است، محدودیت‌های شدیدی در مورد جرم‌های قطبی  $m_c, m_b$  به دست می‌آید [6]. در این قسمت با توجه به رابطه‌ی بین جرم  $\overline{MS}$  و جرم قطبی و رابطه‌های معلوم، جرم  $\overline{MS}$  برای دو کوآرک  $c, b$  را حساب می‌کنیم.

### رابطه‌ی بین جرم قطبی و جرم $\overline{MS}$

در لاگرانژین  $QCD$ ، پارامتر جرم وابسته به طرح بازهنجارش است و این جرم فعلی بنا بر قرارداد در طرح  $\overline{MS}$  در نظر گرفته می‌شود. در نظریه‌ی اختلالی ساده‌تر این است که جرم کوآرک قطبی یعنی قطب انتشاردهنده کوآرک را وارد کنیم. رابطه‌ی بین جرم قطبی و جدول (1) جرم  $\overline{MS}$  این گونه تعریف می‌شود [7]:

$$m_{pole} = m_{\overline{MS}} [1 + M(\overline{\alpha}_s)] \quad (3)$$

$$M(\overline{\alpha}_s) = \sum_{n=0}^{\infty} P_n \overline{\alpha}_s^{n+1} \quad (4)$$

که  $P_n$  ضریبی است که تابع  $n f$  است. ارتباط بین جرم قطبی و جرم  $\overline{MS}$  در رابطه زیر برای سه حلقه‌ای‌ها مشخص شده است [6]:

$$m_{pole} = \overline{m}_Q(\overline{m}_Q) \left\{ 1 + \frac{4}{3} \frac{\alpha_s(\overline{m}_Q)}{\pi} + \xi_2 \left( \frac{\alpha_s}{\pi} \right)^2 + \xi_3 \left( \frac{\alpha_s}{\pi} \right)^3 \right\} \quad (15)$$

$$\xi_2(n_f = 4) \cong 10.5$$

$$m_c = 1.56 \text{ GeV}$$

$$\alpha_s = 0.47 \quad (9)$$

حال با استفاده از فرمول جرم  $\overline{MS}$  کوآرک **b** و **c** را تعیین می‌کنیم. نتایج بدست آمده با نتایج موجود در [6] تطابق خوبی دارد.

کوآرک	جرم $\overline{MS}$ بدست آورده شده	جرم $\overline{MS}$ در [6]
کوآرک <b>b</b>	$\overline{m}_b(\overline{m}_b) = 4.34$	$\overline{m}_b(\overline{m}_b) = 4.19 \pm 0.04 \text{ GeV}$
کوآرک <b>c</b>	$\overline{m}_c(\overline{m}_c) = 1.17 \text{ GeV}$	$\overline{m}_c(\overline{m}_c) = 1.10 \pm 0.05 \text{ GeV}$

### نتیجه گیری:

در این قسمت با استفاده از برنامه ای که معادله لیپمن شوئینگر را برای سیستم های دو ذره ای حل می‌کند [8]، انرژی بستگی را برای سیستم دو ذره ای شامل کوآرک های سنگین را تعیین کردیم و با استفاده از آن طیف باتومونیوم و چارمونمیوم را بدست آوردیم همچنین رابطه بین جرم قطبی و جرم  $\overline{MS}$  را نشان دادیم و با استفاده از این رابطه جرم  $\overline{MS}$  را برای کوآرک **b** و **c** بدست آوردیم. که نتایج بدست آمده با نتایج موجود در منابع توافق خوبی دارد.

### مراجع

- [1] G. 't Hooft, Nucl. Phys. B61 (1973) 455.  
 [2] W.A. Bardeen, A.J. Buras, D.W. Duke and T. Muta, Phys. Rev. D18 (1978) 3998  
 [3] A.V. Manohar, et al. Quark masses, retrieved from [http://arxiv.org/PS\\_cache/arxiv/pdf/0905/0905.1141v2.pdf](http://arxiv.org/PS_cache/arxiv/pdf/0905/0905.1141v2.pdf)  
 [4] I.I. Bigi, M.A. Shifman, N.G. Uraltsev, A.I. Vainshtein, Phys.Rev. D50, 2234-2246 (1994)  
 [5] M. Beneke, Phys.Lett. B344 341-347 (1995)  
 [6] A.M. Badalian, A.I. Veselov, B.L.G. Bakker, Phys.Atom.Nucl. 67, 1367-1377 (2004); Yad.Fiz. 67, 1392-1402 (2004).  
 [7] Taekoon Lee, hep-ph/0304185, JHEP0310:044(2003)  
 [8] Int.J.of theoretical phys.Vol 50 No.3 (2011)  
 [9] R. N. Faustov, V. O. Galkin, A. V. Tatarintsev, A. S. Vshivtsev, Int. J. Mod. Phys. A 15, 209 (2000).  
 [10] Particle Data Group (R. M. Barnett et al.), Phys. Rev. D 54, 1 (1996)

جدول 1: طیف جرمی  $c\bar{c}$  با پارامترهای

$$a_0 = -0.29(-0.05)\text{GeV}, a_1 = 4/3\alpha_s, \alpha_s = 0.47(0.345),$$

$$a_1 = 0.18\text{GeV}^2 (a_2 = 0.174\text{GeV}^3), r_c = 10(3)\text{fm}$$

$$m_c = 1.56(1.55)\text{GeV}.$$

State	linear+coulomb		quadratic+coulomb		Exp. [10]
	Present Faustov et al. [9]		Present Faustov et al. [9]		
1S	3.062	3.068	3.076	3.070	3.0675
2S	3.696	3.697	3.720	3.730	3.663
3S	4.144	4.144	4.331	4.331	4.159
1P	3.529	3.526	3.492	3.508	3.525
2P	3.997	3.993	4.108	4.095	
3P	4.384	4.383	4.652	4.670	
1D	3.832	3.829	3.811	3.841	3.770
2D	4.237	4.234	4.396	4.415	

جدول 2) طیف جرمی  $c\bar{c}$  با  $\alpha_s = 0.39$ ,  $m_b = 4.93(4.95)\text{GeV}$  بقیه پارامترها برای دو پتانسیل. مانند جدول 1) است

State	linear+coulomb		quadratic+coulomb		Exp. [10]
	Present Faustov et al. [9]		Present Faustov et al. [9]		
1S	3.062	3.068	3.076	3.070	3.0675
2S	3.696	3.697	3.720	3.730	3.663
3S	4.144	4.144	4.331	4.331	4.159
1P	3.529	3.526	3.492	3.508	3.525
2P	3.997	3.993	4.108	4.095	
3P	4.384	4.383	4.652	4.670	
1D	3.832	3.829	3.811	3.841	3.770
2D	4.237	4.234	4.396	4.415	

طیف های به دست آمده با طیفهای موجود در [9] و نیز

نتایج تجربی [10] تطابق خوبی دارد. پس انرژی بستگی که توسط حل معادله لیپمن شوئینگر بدست آوردیم انرژی مناسبی است.

پس از بررسی طیف جرمی  $c\bar{c}$ ,  $b\bar{b}$  با استفاده از این اطلاعات

جرم  $\overline{MS}$  را برای کوآرک های **b** با این پارامترها

$$\xi_2(n_f = 5) = 9.6$$

$$m_b = 4.93 (4.95)\text{GeV}$$

$$\alpha_s = 0.39 \quad (8)$$

برای کوآرک **c** با این پارامترها تعیین می‌کنیم